

MINISTERUL EDUCATIEI SI INVATAMANTULUI
INSTITUTUL POLITEHNIC "TRAIAN VULI" TIMISOARA
FACULTATEA DE ELECTROTEHNICA

ing. Mariana Tănase

FENOMENE TRANZITORII RAPIDE IN MASINILE ELCTERICE
DE CURENT ALTERNATIV CU APLICATII LA TESTAREA LOR
IN PROCESUL TEHNOLOGIC DE FABRICATIE

TEZA DE DOCTORAT

BIBLIOTECA CENTRALĂ
UNIVERSITATEA "POLITEHNICA"
TIMIȘOARA

Conducător științific
Prof.dr.ing. POȘA DOLDEA

INSTITUTUL POLITEHNIC TIMIȘOARA	
BIB	
Volume:	504396
Data:	207 9

- 1986 -

C U P R I N S

	Pag.
INDEX ALFABETIC	I ^m
INTRODUCERE	1
Cap.1. CONSIDERAȚII PRIVIND PROPAGAREA UNDELOR DE TENSIVNE IN INFACURABILE SALEXILOR ELECTRICE. . .	5
1.1. Necesitatea studierii propagării undelor de tensiune în MER	5
1.2. Fenomenul de șoc în transformatorul electric	9
1.2.1. Faza inițială	10
1.2.2. Faza oscilațiilor libere	11
1.2.3. Concluzii	15
1.3. Fenomenul tranzitoriu de propagare a șocului de tensiune în MER	16
1.4. Procesul de deconectare a unei MER	21
1.5. Concluzii și observații	23
Cap.2. SCHEMA ECHIVALENȚA ȘI ECUAȚIILE FENOMENILOR TRANZITORII RAPIDE	25
2.1. Schema echivalentă generalizată	25
2.2. Ecuațiile de analiză în operațional	32
2.3. MER simetrică	34
2.4. MER testată prin oscilații de relaxare	37
Cap.3. PARAMETRII TRANZITORII AI MER.	42
3.1. Teoria generală a parametrilor tranzitorii	42
3.2. Determinarea mărimilor de stare ale câmpului electromagnetic dintr-o MER într-un regim carricare	46
3.2.1. Potențialul magnetic vector produs de un conductor	48
3.2.2. Potențialul magnetic vector produs de înfășurarea MER	52
3.2.3. Intensitatea câmpului magnetic și electric produs de înfășurarea MER.	55
3.2.4. Cazul particular al MER în regim sinusoidal	57
3.3. Determinarea valorii momentane a potenția- lului magnetic vector produs de o bobină parcursă de un curent treaptă unitate.	60

	Pag.
3.4. Rezistența tranzitorie echivalentă pierderilor în fier în procese tranzitorii rapide	64
3.5. Pierderile în fier prin cureanți turbionari la regim sinusoidal al MBR	69
3.6. Parametrii tranzitorii proprii și mutuali ai înfășurării MBR	72
3.6.1. Între bobine	72
3.6.2. Între fazele MBR sinistrice	77
3.7. Parametrii tranzitorii de creștătură	79
3.7.1. Potențialul magnetic vector în creștătură	80
3.7.1.1. Nivelul m parcurs de curentul $I(p)$ se află în stratul inferior	82
3.7.1.2. Nivelul m parcurs de curentul $I(p)$ se află în stratul superior	83
3.7.1.3. Nivelul m parcurs de curentul $I(p)$ se află în gîtul creștăturii la înălțimea $h_1+h_2+h_3+h_4+h_5+h_6$	84
3.7.2. Parametrii operaționali de creștătură ai MBR	84
3.7.2.1. Nivelul m aparține stratului inferior	85
3.7.2.2. Cele două nivele i și m aparțin stratului inferior	85
3.7.2.3. Nivelul m aparține stratului superior	85
3.7.2.4. Cele două nivele i și m aparțin stratului superior	85
3.7.2.5. Nivelul i se află în stratul inferior iar nivelul m în stratul superior	86
3.7.3. Parametrii tranzitorii de creștătură	90

	Pag.
3.7.4. Capacitatea unei laturi de spiră față de masă și capacitatea mutuală între laturile de spiră aflate în aceeași creștătură	97
3.7.5. Capacitatea echivalentă între spire și față de masă a laturii de bobină din creștătură	100
3.7.6. Expresia simplificată a lui K_p și Q_p	102
3.8. Parametrii tranzitorii ai capetelor frontale de bobină	104
3.9. Concluzii și observații	105
Cap.4. SOLICITAREA ÎNFĂȘURĂRILOR MER LA UNDE DE TENZIUNE ÎN CADRUL CONTROLULUI DE FABRICAȚIE SAU DEPANĂRII SALE	108
4.1. Necesitatea controlului de fabricație a MSR	108
4.2. Metode de control a înfășurărilor MSR	113
4.3. Aparate de control ai înfășurărilor MSR realizate la I.P.T.	115
4.4. Capacitatea optimă de descărcare	126
4.5. Verificarea compartării MER în procese tranzitorii rapide.	133
4.6. Concluzii și observații	138
Cap.5. CONCLUZII ȘI PERSPECTIVE	140
ANEXA 1	144
ANEXA 2	151
ANEXA 2'	158
ANEXA 3	167
ANEXA 4	175
ANEXA 5	177
BIBLIOGRAFIE	179

INDEX ALFABETIC

$a(t)$ - valoarea momentană a potențialului magnetic vector.

\vec{a} - vectorul potențialului magnetic vector.

\tilde{A} - imaginea operațională a potențialului magnetic vector.

$A_n^{(1)}, A_n^{(2)}, A_n^{(3)}, B_n^{(1)}, B_n^{(2)}, B_n^{(3)}$ - constante de integrare ale potențialului magnetic vector.

b - diametrul exterior statoric.

b_1, b_5, b_6 - lățimi de crestătură.

b_0 - lățimea conductorului din crestătură.

c - diametrul interior rotoric.

c_{indexat} - capacitate tranzitorie

$\tilde{c}_{\text{indexat}}$ - capacitate electrostatică

$d_1, d_2, d_3, d_4, d_5, d_6$ - notație de simplificare (cap.1).

d_0 - grosimea izolației de crestătură.

d_{gh} - grosimea izolației dintre spire.

d_g - grosimea izolației dintre straturi.

$\vec{e}, e(t)$ - vectorul, respectiv valoarea momentană a intensității câmpului electric.

$\vec{\tilde{e}}, \tilde{E}$ - vectorul, respectiv imaginea operațională a intensității câmpului electric.

f , ca indice - se referă la capătul frontal de bobină.

G_{indexat} - imaginea operațională a conductanței.

G_{indexat} - conductanță tranzitorie

$\vec{h}, h(t)$ - vectorul, respectiv valoarea momentană a intensității câmpului magnetic.

$\vec{\tilde{h}}, \tilde{H}$ - vectorul, respectiv imaginea operațională a intensității câmpului magnetic.

h_1, \dots, h_6 - înălțimile porțiunilor de crestătură.

h_0 - înălțimea totală a crestăturii.

h - înălțimea conductorului spirei.

h_p - înălțimea barei.

- i - valoarea momentană a curentului.
- \tilde{I} - imaginea operațională a curentului.
- i_{ef} - valoarea efectivă a curentului sinusoidal.
- $J_n(\gamma s)$ - funcția Bessel modificată de ordinul n , speța I-a
- $j = \sqrt{-1}$
- \vec{j}_r, j_r - vectorul, respectiv valoarea momentană a densității curenților turbionari din miezul feromagnetic.
- k - ordinul exponențialelor procesului tranzitoriu.
- k_{fe} - factor de umplere a miezului feromagnetic.
- $k_{indexat}$ - capacitate între spirele bobinei.
- k_{yn} - factorul de scurtare a înfășurării.
- k_{zn} - factorul de zonă a înfășurării.
- $K_n(\gamma s)$ - funcția Bessel modificată de ordinul n , speța II-a
- l - lungimea înfășurării transformatorului (cap.1).
- l - lungimea totală axială a miezului feromagnetic static.
- l_{int} - inductivitatea interioară proprie în c.c. a conductorului.
- l_{fe} - lungimea echivalentă a materialului feromagnetic al miezului.
- $l_{indexat}$ - inductivitatea tranzitorie a laturii de bobină.
- $\tilde{l}_{indexat}$ - imaginea operațională a inductivității laturii de bobină
- q - numărul de creștături pe pol și fază.
- $q_{indexat}$ - sarcină electrică (paragraful 3.7.4).
- p - operator (transformarea Laplace).
- p_p - numărul perechilor de poli.
- P_{fe} - pierderi în fier momentane.
- $P_{indexat}$ - coeficient de potențial din prima formă a relațiilor lui Maxwell din electrostatică.
- r - raza la care este așezat conductorul în MBR.
- r_0 - raza conductorului.
- $r_{indexat}$ - rezistență tranzitorie
- $\tilde{r}_{indexat}$ - imaginea operațională a rezistenței.

S_0 - numărul de spire ale unei bobine.

t - timp

u - valoarea momentană a tensiunii

\bar{U} - imaginea operațională a tensiunii.

∇ - potențial

x, y, z - sistemul de coordonate carteziene (subcap.3.7)

Z_{indexat} - impedanță operațională

x - variabilă independentă

y - deschiderea bobinei.

Y_{indexat} - admitanță operațională

α - unghiul electric între axele a două bobine consecutive.

$$\beta = \sqrt{\omega \mu \nabla}$$

$\gamma = \sqrt{\rho \mu \nabla}$ - variabilă operațională pentru miezul feromagnetic.

$\gamma_0 = \sqrt{\rho \mu_0 \nabla_0}$ - variabilă operațională pentru materialul conductor

γ_{indexat} - coeficienți de influență (paragraful 3.7.4).

ϵ_{is} - permitivitatea dielectrică a izolației spirelor.

ϵ_0 - permitivitatea dielectrică a izolației de crestătură.

ϵ_{a} - permitivitatea dielectrică a aerului.

ξ, η - soluțiile ecuațiilor (1.5) și (1.9).

ρ, θ, z - sistem de axe de coordonate polare.

θ - unghi electric corespunzător coordonatei θ_g .

ρ_{indexat} - distanța între conductoarele din crestătură (paragraful 3.7.4).

ρ_v - densitatea de volum a sarcinii

μ_0 - permeabilitatea magnetică a aerului

μ - permeabilitatea magnetică a miezului feromagnetic.

μ_0 - permeabilitatea magnetică a materialului conductor.

∇ - conductivitatea electrică a miezului feromagnetic.

∇_0 - conductivitatea electrică a materialului conductor.

- ζ - pasul polar al înfășurării
- ζ_f - constanta de timp a miezului feromagnetic.
- ζ_e - constanta de timp a spirei.
- $\zeta_{exp.c}$ - constanta de timp a amortizării exponențialelor din expresiile parametrilor tranzitorii de creștere.
- $\zeta_{exp.f}$ - constanta de timp a amortizării exponențialelor din expresiile parametrilor tranzitorii de magnetizare.
- ϵ_{rel} - mărimea electrică relativă.

1. INTRODUCERE

Mașina electrică rotativă ocupă și va continua să ocupe un loc de seamă în tehnică. Această afirmație poate fi motivată prin utilizarea ei în două domenii de vârf:

- ea constituie elementul de bază în producerea energiei electrice fără de care nu este posibil progresul tehnic,

- mașina electrică stă la baza oricărei acționări electrice, oricât de modernă ar fi aceasta.

Tendința actuală de creștere neîntreruptă a puterii pe unitate a mașinilor electrice precum și folosirea lor în cele mai deosebite acționări electrice cu elemente statice, dirijate chiar de calculatoare electronice împune continuarea studiilor lor în noile coordonate de dezvoltare tehnică. Acest utilaj electrotehnic, la prima vedere simplu, este totuși un circuit electromagnetice greu de abordat, pentru studiul său făcându-se întotdeauna multiple ipoteze simplificatoare. Având în vedere cele de mai sus precum și perfecționarea neîntreruptă a metodelor utilizate în activitatea de cercetare și proiectare, studiul său se poate aprofunda sub diverse aspecte. Astfel, în ultima perioadă s-a extins tratarea regiunilor tranzitorii ale M.M. [26, 52, 57, 67, 124] și calculul optim al ei [62].

În studiul oricărui proces tranzitoriu al M.M. nu mai pot fi luate în considerare parametrii electrice clasici cunoscuți în teoria regimului staționar ci trebuie să intervină așa zisii parametrii tranzitorii, care țin cont de efectul pelicular și de proximitate din mașina electrică și care la rândul lor sînt variabili în timp. În luarea de față se determină acești parametrii tranzitorii, cunoscîndu-se geometria mașinii și datele înfășurării.

Un regim tranzitoriu important îl constituie propagarea undelor de tensiune de-a lungul înfășurării M.M. Necesitatea studiului acestui proces s-a impus în ultimul timp din următoarele considerații:

- Creșterea puterii pe unitatea instalată determină efecte negative remarcabile în cazul apariției unei unde de supro-

tensiune este pentru mașina respectivă cât și pentru rețea.

- În cadrul acționărilor mecanice cu convertoare statice, respectiv a mașinii electrice cu comutație statică, mașina se găsește în acest regim, deoarece la bornele sale se aplică unde sau impulsuri de tensiune [51, 74].

- În vederea creșterii calității și eficienței muncii, a creșterii productivității și a economiei de materiale trebuie introduse în toate fabricile constructoare de mașini electrice utilaje și aparate pentru testat bobinajele fie într-o fază intermediară, fie în fază finală. Această testare constituie tot o solicitare a înfășurării mașinii electrice prin generarea de unde de tensiune [12, 13, 20, 25, 44, 45, 46, 53, 58, 59, 66, 104, 105].

Tinând seama numai de aceste trei laturi importante de aplicare a studiului MNR solicitate la unde de tensiune, se remarcă însemnătatea problemei abordate în lucrare.

Expresiile stabilite pentru calculul parametrilor tranzitorii ai MNR sînt utile și proiectanților de mașini electrice, iar studiul efectuat permite abordarea mai profundă a nodului de definire și de măsurare a reactanțelor supratranzitorii ale mașinilor sincrone.

În cadrul preocupărilor avute pentru studiul comportării MNR la unde de tensiune, autorul a realizat două prototipuri de aparate portabile pentru testarea bobinajelor MNR cu denumirile "Izolatest" și "Bobinotest" precum și un model experimental "Simetest". Execuția acestora a dus și la două invenții [112, 113].

Conținutul lucrării este următorul:

Capitolul 1 analizează principalele modalități de studiere a comportării mașinii electrice supuse la unde de tensiune, prezintă sintetic unele considerații și observații din bibliografie de care se ține seama în capitolele următoare.

Capitolul 2 abordează studiul propagării undelor de tensiune de-a lungul înfășurării MNR, stabilindu-se schemele electrice echivalente în T și \bar{Y} ale acestora. Se precizează parametrii electrici tranzitorii ce se iau în considerație. În cazul MNR simetrice din punct de vedere electric, se tratează procesul de propagare a undelor de tensiune echivalând faza acestora cu un lanț de cuadripoli, cărui 1 se stabilește în-

pedanța caracteristică prin aplicarea calculului vectorial. Problema este particularizată pentru studiul MNR testată prin oscilații de relaxare cu ajutorul aparatelor realizate.

Capitolul 3, după ce face o prezentare sintetică a teoriei generale a parametrilor tranzitorii elaborată de acad. R. Rădulescu, prezintă determinarea originală a câmpului electromagnetic și a expresiilor parametrilor tranzitorii ai MNR cu considerarea și a pierderilor în fier pentru procesele tranzitorii rapide.

Capitolul 4 arată mai întâi necesitatea și avantajele verificării bobinajelor mașinilor electrice în faze intermediare ale fluxului tehnologic de fabricație, iar apoi redă principiul aparatelor realizate de autoare și performanțele acestora. Se dau rezultatele experimentale obținute prin solicitarea MNR la unde de tensiune în cadrul testării acestora cu ajutorul aparatelor realizate fiind verificate și concluziile teoretice la care s-a ajuns în capitolul 2.

Capitolul 5 cuprinde concluzii și observații ce se desprind din lucrare. Totodată se prezintă posibilitățile și perspectivele de dezvoltare a tematicii abordate în lucrare.

Contribuțiile originale aduse în lucrare sînt următoarele:

- Prezentarea sintetică și sistematizată a bibliografiei în privința pătrunderii undelor de tensiune în mașinile electrice și sublinierea unor concluzii de care s-a ținut cont în studiul ulterior.

- Stabilirea schemelor echivalente de analiză a fenomenului de propagare a undelor de tensiune de-a lungul înfășurărilor MNR, cu respectarea situației reale de variație a parametrilor în lungul înfășurării de la creșterea la capetele frontale. A intrat în considerație cazul cel mai general cînd mașina este nesimetrică pe faze și bobinele diferă chiar în cadrul aceleiași faze. Au fost analizate și cazuri particulare, întâlnite în practică.

- Prezentarea condițiilor de studiu a acestor scheme, introducîndu-se parametrii tranzitorii longitudinali și transversali.

- Studiul vectorial al MNR simetrice, solicitată la unde de tensiune cu particularizarea la testarea bobinajelor. În acest cadru s-a dedus capacitatea optimă a condensatorului de descărcare pentru producerea undelor de tensiune, capacitate a cărei

valoare a fost determinată și experimental pentru o gamă largă de mașini.

- Studiul cîmpului electromagnetic din M&R în procesele tranzitorii rapide, cînd se poate neglija influența rotorului datorită blindării acestuia de către cîmpul creat de curenții turbionari induși în acesta, studia efectuat prin introducerea potențialului magnetic vector. Acest studiu original a fost particularizat pentru regimul sinusoidal, obținându-se rezultate cunoscute din teoria clasică, ceea ce subliniază veridicitatea sa.

- Determinarea pierderilor în fierul statoric în cazul particular de alimentare a mașinii cu un curent treaptă unitate și stabilirea rezistenței tranzitorii echivalente pierderilor în fier corespunzătoare curenților turbionari. Metoda prezentată poate fi aplicată în orice regim tranzitoriu rapid ca sollicitarea înfășurării la un curent de formă oscilantă.

- Determinarea parametrilor tranzitorii proprii și mutuali între bobine, respectiv fazele mașinii electrice în funcție de dimensiunile mașinii și caracteristicile de material.

- Studiul cîmpului electromagnetic din crestătură în cazul unui bobinaj în două straturi prin intermediul potențialului magnetic vector.

- Deducerea parametrilor tranzitorii de crestătură referitor la rezistențe, inductivități și capacități. Expresiile obținute se generalizează pe cele cunoscute din regimul sinusoidal.

- Prezentarea unei metode de determinare a parametrilor tranzitorii ai cuspelor frontale de bobină, parametri acestora în studiul procesului de propagare a undelor de tensiune conform schemei stabilite, precum și în determinarea parametrilor tranzitorii ai unei faze.

- Studiul experimental al sollicitării M&R la unde de tensiune în cadrul testării bobinajului cu aparatele Isolatest, Bobinotest și Sinotest și realizarea acestora.

- Două invenții brevetate referitoare la subansamble din aparatele realizate și o propunere de invenție înaintată la OSIM în august 1965.

CAPITOLUL 1.

CONSIDERATII PRIVIND PROPAGAREA UNDELOR DE TENSIUNE IN INTASURARILE MASINILOR ELASTICE

1.1. Necesitatea studiului propagării undelor de tensiune în MEE

Problema pătrunderii undelor mobile a fost pe larg dezbătută în literatura de specialitate în cazul transformatoarelor electrice, întrucât acestea sînt cuplate, în general, în stațiile de transformare direct la liniile electrice pe care se propagă ele. Undele în cauză au tensiuni de valori foarte mari, numite supratensiuni, cu caracter de impulsuri singulare, periodice sau aperiodeice și pot fi:

- de natură atmosferică,
- de comutație (datorită proceselor de comutare, deconectare sau variații rapide ale sarcinii),
- de svarie.

Aceste supratensiuni, a căror valori pot depăși de mai multe ori tensiunea nominală a transformatorului, supun izolația acestuia la sollicitări electrice mari și adeseori duc la străpungerea ei, scoțînd transformatorul din funcție.

Pe de altă parte, fenomenul propagării șocului din înfășurarea de înaltă tensiune a unui transformator poate fi transmis și la înfășurarea de joasă tensiune prin inducție electrostatică și electromagnetice. Repartiția inițială a tensiunii de-a lungul înfășurării de înaltă tensiune e transmisă la înfășurarea de joasă tensiune prin cuplaj capacitiv (fig.1.3). Astfel la un șoc de tensiune U_{10} aplicat intrării de înaltă tensiune, se obține la borne de intrare a înfășurării de joasă tensiune U_{20} cu următoarea expresie [3] :

$$U_{20} = \frac{q}{\sigma_{p2} \left[\frac{K_2}{K_1} (\sigma_1 \sigma_{p2} \sigma_2) \right]^{1/2}} \cdot U_{10} \quad (1.1')$$

unde:

C - capacitatea între spirele înfășurării de înaltă tensiune și înfășurării de joasă tensiune;

C_1 - capacitatea între înfășurarea de i.t. și masă;

C_2 - capacitatea între înfășurarea de j.t. și masă;

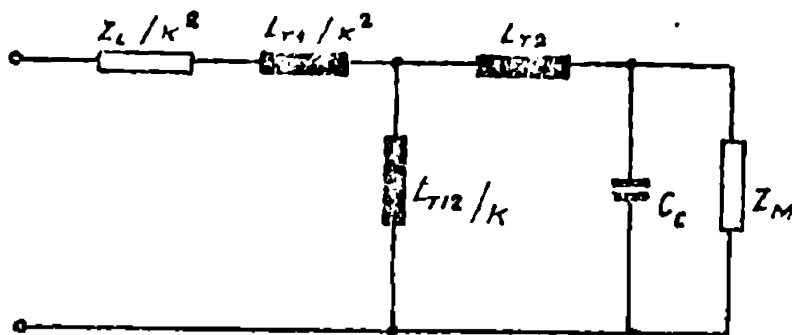
$$C_{p1} = C + C_1; \quad C_{p2} = C + C_2$$

K_1 - capacitatea între spirele înfășurării de i.t.;

K_2 - capacitatea între spirele înfășurării de j.t.;

$$\text{în general } U_{20} = (0,15 - 0,35) U_{10}$$

În afară de această componentă capacitivă inițială, în înfășurarea secundară a transformatorului se stabilește și o componentă ovasistaționară prin inducție electromagnetică, care depinde de raportul de transformare. Dacă raportul de transformare este apropiat de 1, valoarea acesteia poate fi apreciabilă.



Deducerea expresiei componentei inductive se poate face considerând schema în T a transformatorului (fig.1.1).

Z_L - impedanța de undă a liniei de i.t.;

L_{T1}, L_{T2} - inductanțele de dispersie ale înfășurării primare, respectiv secundare

Fig.1.1. Schema echivalentă pentru determinarea componentei inductive a tensiunii de la bornele mașinii.

ale transformatorului,

$L_{T1,2}$ - inductanța mutuală între primarul și secundarul transformatorului (neglijind pierderile în fier),

K - raportul de transformare,

C_C - capacitatea față de pământ a cablului de legătură între transformator și mașină,

Z_M - impedanța de masă a mașinii.

Scrisând ecuația acestui circuit electric, în ipoteza aplicării brusc a tensiunii u_1 la borna, rezultă în final componenta ovasistaționară, care ia naștere prin inducția electromagnetică a tensiunii de la bornele mașinii;

$$u_2 = \frac{L_{T12}}{L_{T1}} u_1 (2 - e^{-\alpha t})$$

unde:

$$\alpha = \frac{Z_2}{L_{T2} - \frac{L_{T12}}{L_{T1}}}$$

Componenta inductivă este mult mai importantă, deoarece dispune de o energie mult mai mare decât cea capacitivă, aceasta amortizându-se rapid. Pe de altă parte, capacitatea C_0 împreună cu inductanța de dispersie a transformatorului poate realiza un circuit oscilant. Astfel, dacă:

$$Z_2 < \frac{1}{2} \sqrt{\left(\frac{L_{T1}}{K^2} + L_{T2}\right) \frac{1}{C_0}}$$

fenomenele tranzitorii sînt aperioidice, iar în caz contrar se produc oscilații cu amplificări ale tensiunii la bornele mașinii. De exemplu studiindu-se cazul unui generator de 11 KV, cuplat la un transformator de 110/11 KV cu schema de conexiuni Y_y , nulul fiind pus la pămînt [42], dacă nivelul șocului aplicat la înfășurarea de înalt este de 400 KV, tensiunea obținută la bornele generatorului a fost de 55 KV. Această valoare este net superioară tensiunii nominale a generatorului și prezintă un real pericol pentru înfășurările sale.

În plus, odată cu creșterea puterii pe unitate a mașinilor electrice a crescut și tensiunea lor nominală. Astfel, ridicarea tensiunii unui generator poate fi considerată pînă la nivelul de transmitere a tensiunii (220 KV sau chiar mai mult) [69]. În situația unei asemenea mașini, legate direct la rețeaua de f.t., pericolul solicitării la supratensiuni tranzitorii este inevitabil. Totodată, presupunerea că lungimile mari ale cablurilor produc asupra șocurilor de tensiune distorsiuni sau elongații astfel încît undele cu front abrupt nu ajung la bornele mașinii, în urma ultimelor cercetări s-a dovedit a nu fi adevărată [2b].

Pe de altă parte, o simplă estimare a situației mașinilor deteriorate fabricate de Elektrozetor Timișoara, arată că ponderea valorică a constituie defectele electrice și anume străpunerile de izolație. Ori, se poate considera nivelul izolației firului amilant folosit de EKT ca fiind $U_{niv.iz} \approx (2-3)KV$, tensiunea de străpungere a izolației crestăturii $U_{nov} \approx 6KV$. Pentru ma-

șinile obișnuite fabricate de SMT $U_n = 380$ V, deci $U_{max} = \sqrt{2} \cdot 380 \approx 536$ V, iar $U_{sp} \approx 10$ V. Comparând U_{nov} cu U_{max} se apreciază că există un coeficient de siguranță $k_{sig.n} \approx 900\%$, iar din compararea $U_{niv.iz}$ cu U_{sp} rezultă un coeficient de siguranță $k_{sig.s} \approx 20000\%$. S-ar părea că din punct de vedere al străpungerii izolației, mașinile au o durată de viață foarte mare, teoretic infinită. Realitatea este însă cu totul alta. Defectele electrice și în special străpungerile la masă sînt numeroase nu numai în faza de exploatare, dar chiar la stand. Cauzele sînt multiple: tehnologice, de material, etc., cauze care nu întotdeauna și în orice fabrică pot fi eliminate. O măsură eficientă însă în vederea micșorării costului defectelor de fabricație este introducerea controlului intermediar. În acest sens s-au conceput aparate de control a mașinilor electrice [10, 20, 25, 53, 50, 59, 60, 75, 77, 104, 109, 114, 115, 135] prin care, sau părți componente, să fie supuse în cadrul verificărilor unor condiții apropiate de cele din exploatare. Pentru o dimensionare corectă a elementelor care intră în componența acestor aparate, pentru a putea interpreta cât mai corect măsurătorile precum și pentru a putea ridica performanțele acestor aparate este necesară studierea fenomenului de pătrundere a undelor de tensiune în înfășurările MĂE.

În cadrul acționărilor moderne, mașinile electrice sînt alimentate prin intermediul convertoarelor statice. În această situație, apare, în general, la bornele mașinii o tensiune de variație în timp sub formă de trenuri de impulsuri, conform fig. 1.2. [54, 74].

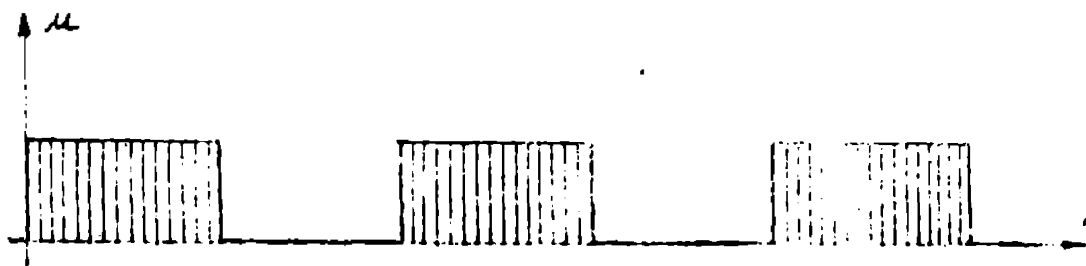


Fig. 1.2. Forma tensiunii la ieșirea convertorului static.

În consecință și acest caz trebuie studiat cu parametrii tranziției ai MĂE, considerîndu-l ca un fenomen de propagare a undelor de-a lungul înfășurării mașinii.

1.2. Fenomenul de soc în transformatorul electric

Pentru studiul pătrunderii unei unde de tensiune într-un transformator electric, s-a considerat schema sa echivalentă în această situație (fig.1.3).

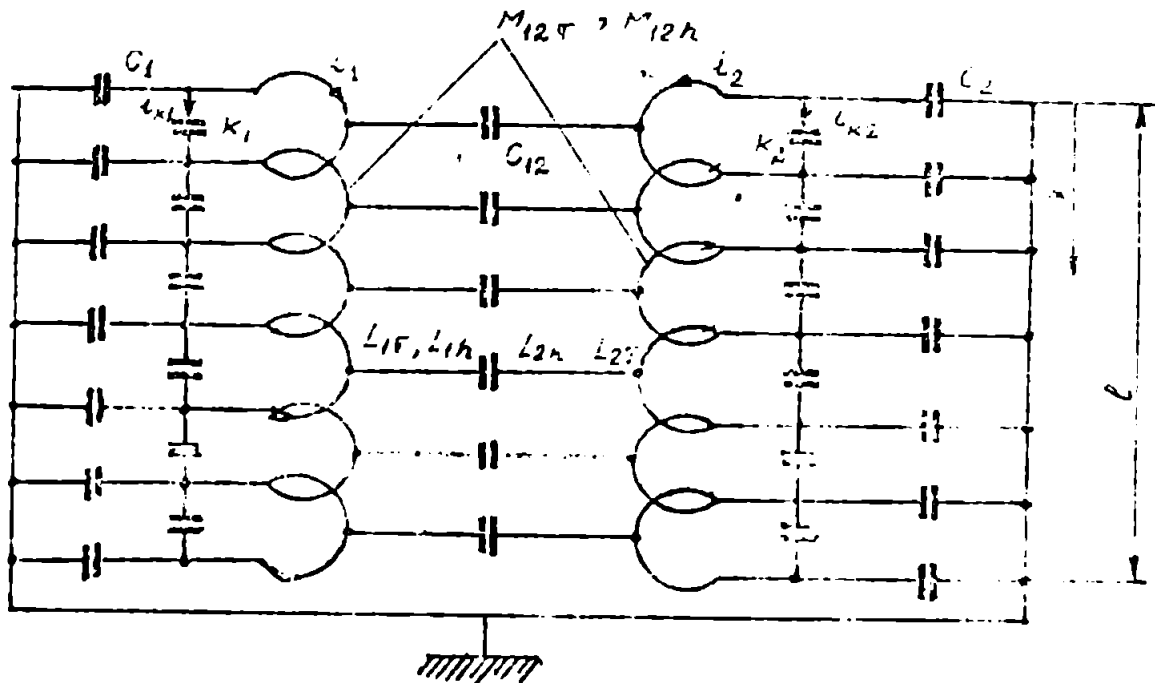


Fig.1.3. Schema echivalentă a transformatorului electric pentru studiul fenomenului de propagare a undelor de tensiune.

În această schemă parametrii sînt următorii:

L_{1r} - inductivitatea proprie de dispersie a unei spire din înfășurarea primară,

L_{2r} - inductivitatea proprie de dispersie a unei spire din înfășurarea secundară,

L_{1h} - inductivitatea proprie principală a spirei primarului,

L_{2h} - inductivitatea proprie principală a spirei secundare,

M_{12} - inductivitatea mutuală de dispersie între două spire una primară, cealaltă secundară,

M_{12h} - inductivitatea mutuală principală între două spire una din primar, cealaltă din secundar,

C_1 - capacitatea unei spire primare față de masă,

C_2 - capacitatea unei spire secundare față de masă,

K_1 - capacitatea între două spire primare

K_2 - capacitatea între două spire secundare.

Correspondența acestei scheme relațiile între tensiuni și curenți, care sînt funcții de timp și de punct se scrie:

$$\frac{\partial(i_1 + i_{K1})}{\partial x} = -r_1 \frac{\partial u_1}{\partial t} - r_{12} \frac{\partial(u_1 - u_2)}{\partial t}$$

$$i_{K1} = -K_1 \frac{\partial^2 u_1}{\partial x \partial t}$$

$$\frac{\partial(i_2 + i_{K2})}{\partial x} = -r_2 \frac{\partial u_2}{\partial t} - r_{12} \frac{\partial(u_2 - u_1)}{\partial t}$$

$$i_{K2} = -K_2 \frac{\partial^2 u_2}{\partial x \partial t}$$

Din primele două relații prin substituție se poate deduce variația curentului de-a lungul înfășurării primare:

$$\frac{\partial i_1}{\partial x} = -r_1 \frac{\partial u_1}{\partial t} - r_{12} \frac{\partial(u_1 - u_2)}{\partial t} + K_1 \frac{\partial^3 u_1}{\partial x^2 \partial t} \quad (1.1)$$

Analog se scrie variația curentului în înfășurarea secundară:

$$\frac{\partial i_2}{\partial x} = -r_2 \frac{\partial u_2}{\partial t} - r_{12} \frac{\partial(u_2 - u_1)}{\partial t} + K_2 \frac{\partial^3 u_2}{\partial x^2 \partial t} \quad (1.2)$$

În aceste relații u_1 , u_2 reprezintă tensiunea punctului de abscisă x , măsurată pe axe înfășurării primare, respectiv înfășurării secundare.

Saltul de tensiune de-a lungul celor două înfășurări va fi [42]:

$$\frac{\partial u_1}{\partial x} = -L_{11} \frac{\partial i_1}{\partial t} - M_{12} \frac{\partial i_2}{\partial t} - L_{1h} \frac{\partial}{\partial t} \int_0^l i_1 dx - M_{12h} \frac{\partial}{\partial t} \int_0^l i_2 dx \quad (1.3)$$

$$\frac{\partial u_2}{\partial x} = -L_{22} \frac{\partial i_2}{\partial t} - M_{12} \frac{\partial i_1}{\partial t} - L_{2h} \frac{\partial}{\partial t} \int_0^l i_2 dx - M_{12h} \frac{\partial}{\partial t} \int_0^l i_1 dx \quad (1.4)$$

Pentru calcul se disting două faze:

1.2.1) Faza inițială cînd fenomenele sînt o variație extrem de rapidă, în care caz se pot neglija inductivitățile proprii și mutuale din schema echivalentă (fig.1.3), deci $i_1 = i_2 = 0$. Se obțin relațiile:

$$K_1 \frac{\partial^2 u_1}{\partial x^2} - (r_1 + r_{12}) u_1 + r_{12} u_2 = 0 \quad (1.5)$$

$$K_2 \frac{d^2 U_2}{dx^2} - (C_2 + C_{12}) U_2 + C_{12} U_1 = 0 \quad (1.6)$$

din care în final rezultă ecuația:

$$\frac{d^4 U_2}{dx^4} - \left(\frac{C_1 + C_{12}}{K_1} + \frac{C_2 + C_{12}}{K_2} \right) \frac{d^2 U_2}{dx^2} + \frac{C_1 C_2 + C_{12} (C_1 + C_2)}{K_1 K_2} U_2 = 0 \quad (1.7)$$

Rezolvând această ecuație diferențială se obține soluția [42]:

$$U_2 = A_2 e^{-\alpha_1 x} + B_2 e^{\alpha_1 x} + C_2 e^{-\alpha_2 x} + D_2 e^{\alpha_2 x}$$

unde:

$$\alpha_{1,2} = \sqrt{\frac{1}{2} \left(\frac{C_1 + C_{12}}{K_1} + \frac{C_2 + C_{12}}{K_2} \right) \pm \frac{1}{2} \left[\left(\frac{C_1 + C_{12}}{K_1} + \frac{C_2 + C_{12}}{K_2} \right)^2 - 4 \frac{C_1 C_2 + C_{12} (C_1 + C_2)}{K_1 K_2} \right]^{1/2}}$$

Constantele de integrare se determină din condiții de limită, pentru care există două situații:

a) nulul pus la pământ:

$$U_1(0) = U_{10} - \text{cunoscută}$$

$$\left(\frac{dU_2}{dx} \right)_{x=0} = 0 - \text{începutul secundarului este izolat}$$

$$U_1(l) = 0 - \text{sfârșitul primarului este pus la pământ}$$

$$U_2(l) = 0 - \text{sfârșitul secundarului este pus la pământ}$$

b) nulul este izolat pentru ambele înfășurări:

$$U_1(0) = U_{10} - \text{cunoscută}$$

$$\left(\frac{dU_2}{dx} \right)_{x=0} = 0$$

$$\left(\frac{dU_1}{dx} \right)_{x=l} = 0$$

$$\left(\frac{dU_2}{dx} \right)_{x=l} = 0$$

Se pot realiza și combinații între aceste cazuri. Usind și de ecuația (1.6) se determină constantele de integrare. În felul acesta se poate studia repartiția inițială a tensiunii datorită cuplajelor capacitive atât în primar, cât și în secundar.

Se constată că datorită cuplajului capacitiv dintre primar și secundar (C_{12}) există o distribuție inițială de tensiune și în secundar care nu trebuie deloc neglijată.

1.2.2) Faza oscilațiilor libere, când se neglijează capacitățile K_1 , K_2 și C_{12} datorită valorilor lor foarte mici și a regi-

mului ceva mai lent decât în prima fază. În acest caz prin introducerea transformării Laplace și a unei restructurări corespunzătoare din (1.1), (1.2), (1.3) și (1.4) se obțin două ecuații:

$$\frac{d^4 U_1}{dx^4} - p^2(L_1 r_1^2 + L_2 r_2^2) \frac{d^2 U_1}{dx^2} - p^4 r_1^2 r_2^2 (\omega_{12}^2 r_1^2 - L_1 r_1 L_2 r_2) U_1 = 0 \quad (1.8)$$

$$\frac{d^4 U_2}{dx^4} - p^2(L_1 r_1^2 + L_2 r_2^2) \frac{d^2 U_2}{dx^2} - p^4 r_1^2 r_2^2 (\omega_{12}^2 r_2^2 - L_1 r_1 L_2 r_2) U_2 = 0 \quad (1.9)$$

unde U_1 și U_2 sînt imaginile Laplace ale funcțiilor $u_1(t, x)$, respectiv $u_2(t, x)$.

Rezolvînd ecuațiile diferențiale (1.8) și (1.9) se obține conform [42]:

$$U_1 = T_1 \operatorname{ch} \gamma x + T_2 \operatorname{sh} \gamma x + T_3 \operatorname{ch} \kappa x + T_4 \operatorname{sh} \kappa x$$

$$U_2 = T_5 \operatorname{ch} \gamma x + T_6 \operatorname{sh} \gamma x + T_7 \operatorname{ch} \kappa x + T_8 \operatorname{sh} \kappa x$$

γ și κ fiind soluțiile ecuației caracteristice, avînd expresiile:

$$\gamma = p \sqrt{\frac{L_1 r_1^2 + L_2 r_2^2}{2} + \left[\frac{(L_1 r_1^2 + L_2 r_2^2)^2}{4} + r_1^2 r_2^2 (\omega_{12}^2 r_1^2 - L_1 r_1 L_2 r_2) \right]^{1/2}} \quad (1.10)$$

$$\kappa = p \sqrt{\frac{L_1 r_1^2 + L_2 r_2^2}{2} - \left[\frac{(L_1 r_1^2 + L_2 r_2^2)^2}{4} + r_1^2 r_2^2 (\omega_{12}^2 r_1^2 - L_1 r_1 L_2 r_2) \right]^{1/2}} \quad (1.11)$$

Coefficienții T_1 la T_8 sînt constante de integrare determinate din condiții de limită, care depind de situația în care se găsească nărilor primarului și secundarului. Între acești coeficienți există relațiile:

$$T_5 = d_1 T_1; \quad T_6 = d_1 T_2; \quad T_7 = d_2 T_3; \quad T_8 = d_2 T_4;$$

în care s-au făcut notațiile:

$$d_1 = \frac{\gamma^2 - p^2 L_1 r_1^2}{p^2 L_2 r_2^2}; \quad d_2 = \frac{\kappa^2 - p^2 L_1 r_1^2}{p^2 L_2 r_2^2} \quad (1.12)$$

Aceste relații fiind generale, ele se pot aplica pentru studiul repartiției tensiunii de-a lungul înfășurărilor în fiecare caz concret în parte.

Pentru exemplificare se consideră la borna de intrare a primarului o tensiune treaptă U_{10} , borna de intrare a secundarului izolată, iar afîșiturile primarului și secundarului sînt puse la pămînt. Din condițiile de limită: $U_1(0) = U_{10}$, $U_1(l) = 0$,

$U_2(l)=0, I_2(0)=0$ conduc la relațiile:

$$T_1 + T_3 = 0$$

$$T_1 \operatorname{ch} \gamma l + T_2 \operatorname{sh} \gamma l + T_3 \operatorname{ch} \kappa l + T_4 \operatorname{sh} \kappa l = 0$$

$$d_1(T_1 \operatorname{ch} \gamma l + T_2 \operatorname{sh} \gamma l) + d_2(T_3 \operatorname{ch} \kappa l + T_4 \operatorname{sh} \kappa l) = 0$$

$$\frac{d_1}{\gamma} T_2 + \frac{d_2}{\kappa} T_4 + B = 0$$

unde B se determină din expresia (1.2).

Rezolvind sistemul de ecuații se obțin:

$$A_1 = -U_{10} \frac{\frac{\beta}{\gamma} d_3 + d_2 \operatorname{coth} \gamma l}{\Delta}$$

$$A_2 = U_{10} \frac{\frac{\beta}{\gamma} d_3 \operatorname{coth} \beta l + \beta d_2 \operatorname{coth} \beta l \operatorname{coth} \gamma l}{\Delta}$$

$$A_3 = U_{10} \frac{\frac{\beta}{\gamma} d_4 + \gamma d_1 \operatorname{coth} \beta l}{\Delta}$$

$$A_4 = -U_0 \frac{\frac{\gamma}{\beta} d_4 \operatorname{coth} \gamma l + \gamma d_1 \operatorname{coth} \beta l \operatorname{coth} \gamma l}{\Delta}$$

notindu-se:

$$d_3 = \frac{d_2 \gamma d_5 + \gamma d_1 d_6}{d_7} \quad \text{și} \quad d_4 = \frac{d_1 \gamma d_5 + \gamma d_1 d_6}{d_7}$$

unde:

$$d_5 = L_{1r} L_{2h} + L_{1h} L_{2r} - L_{1r}^2 L_{2h} - L_{2h}^2 L_{1r}$$

$$d_6 = L_{1r}^2 L_{2h} + L_{1h}^2 L_{2r} - L_{1h}^2 L_{2r} - L_{1r}^2 L_{2h}$$

$$d_7 = \gamma_2 (L_{1r}^2 + L_{2h}^2) - \gamma_2 (L_{1r} + L_{2h}) (L_{2r} + L_{1h})$$

$$\Delta = d_4 \frac{\gamma}{\beta} - d_3 \frac{\beta}{\gamma} + \gamma d_1 \operatorname{coth} \beta l - \beta d_2 \operatorname{coth} \gamma l$$

Intrucât expresiile obținute sînt greoaie și nu se pot trage niște concluzii imediate, se recurge la unele aproximații. Se consideră într-o primă aproximație fluxul comun creat în fier de arbele înfășurării, neglijabil, cînd integralele din ecuațiile (1.3) și (1.4) se anulează și deci: $d_3 = d_4 = 0$ și se obține în final:

$$U_2 = U_{10} \frac{\frac{d_1}{\gamma \Delta l} \operatorname{ch} \beta(l-x) - \frac{d_2}{\gamma \Delta l} \eta \operatorname{sh} \gamma(l-x)}{\operatorname{ch} \beta l - \eta \operatorname{ch} \gamma l} \quad (1.13)$$

în care:

$$\eta = \frac{r d_1}{\beta d_2}$$

Se observă că: $(U_2)_{p \rightarrow \infty} = 0$, adică nu există repartiție inițială de tensiune datorită cuplajului inductiv. În momentul inițial șocul se transmite în secundar numai pe cale capacitivă.

Repartiția finală se obține conform transformării Laplace la $p \rightarrow 0$ ($t \rightarrow \infty$). Deci:

$$(U_2)_{p \rightarrow 0} = U_{10} \frac{d_1 \beta (1-x) - d_2 \eta r (1-x)}{l(\beta - \eta r)}$$

sau făcând înlocuirile se obține:

$$(U_2)_{p \rightarrow 0} = U_{10} \left(1 - \frac{x}{l}\right) \frac{d_1 2r}{L_{1r}} \quad (1.14)$$

Deci repartiția finală, cvasistaționară de-a lungul înfășurării secundare este o funcție liniară de distanță față de borna de început.

Același concluzie se poate trage și pentru primar unde se obține:

$$U_1 = U_0 \frac{\frac{\operatorname{sh} \varphi (l-x)}{\operatorname{ch} \varphi l} - \eta \frac{\operatorname{sh} \pi (l-x)}{\operatorname{ch} \pi l}}{\operatorname{th} \varphi l - \eta \operatorname{th} \pi l} \quad (1.15)$$

Pentru determinarea expresiilor oscilațiilor libere, deci pentru a găsi funcțiile originale ale imaginilor $U_1(p, x)$ și $U_2(p, x)$, se rezolvă mai întâi ecuația transcendentă:

$$\operatorname{th} \varphi l - \eta \operatorname{th} \pi l = 0, \text{ în raport cu operatorul.}$$

Notând $\frac{\varphi}{p} = 0$, $\frac{\pi}{p} = s$ și $p = j\omega$, ecuația respectivă devine:

$$\operatorname{tg} \omega_0 l - \eta \operatorname{tg} \omega s l = 0, \text{ cu rădăcinile } \omega_K,$$

unde $K=1, 2, 3, \dots, \infty$.

Atunci, conform formulei dezvoltării a lui Nevisida se obține:

$$u_1(t, x) = U_{10} \left(1 - \frac{x}{l}\right) + 2U_{10} \sum_{K=1}^{\infty} \frac{\frac{\sin \omega_K s (l-x)}{\omega_K \cos \omega_K s l} - \eta \frac{\sin \omega_K s (l-x)}{\cos \omega_K s l}}{\omega_K \left(\frac{\cos \omega_K s l}{\cos^2 \omega_K s l} - \eta \frac{s l}{\cos^2 \omega_K s l} \right)} \cos \omega_K t \quad (1.16)$$

$$u_2(t, x) = U_{10} \left(1 - \frac{x}{l}\right) \frac{d_1 2r}{L_{1r}} + 2U_{10} \sum_{K=1}^{\infty} \frac{d_1 \frac{\sin \omega_K s (l-x)}{\cos \omega_K s l} - d_2 \eta \frac{\sin \omega_K s (l-x)}{\cos \omega_K s l}}{\omega_K \left(\frac{\cos \omega_K s l}{\cos^2 \omega_K s l} - \eta \frac{s l}{\cos^2 \omega_K s l} \right)} \cos \omega_K t \quad (1.17)$$

Dacă se rețin numai armoniciile fundamentale și se notează amplitudinile acestora cu F_1 , respectiv F_2 , rezultă:

$$u_1(t,x) = U_{10}(1 - \frac{x}{l}) + F_1 \cos \omega_1 t$$

$$u_2(t,x) = U_{10}(1 - \frac{x}{l}) \frac{L_{2r}}{L_{1r}} + F_2 \cos \omega_1 t$$

Raportul amplitudinilor oscilațiilor corespunzătoare celor două părți este:

$$\frac{F_1}{F_2} = \frac{\frac{\sin \omega_1 s(l-x)}{\cos \omega_1 s l} - \eta \frac{\sin \omega_1 s(l-x)}{\cos \omega_1 s l}}{d_1 \frac{\sin \omega_1 s(l-x)}{\cos \omega_1 s l} - d_2 \eta \frac{\sin \omega_1 s(l-x)}{\cos \omega_1 s l}} \quad (1.10)$$

Se observă că raportul amplitudinilor oscilațiilor din primar și secundar este o funcție de coordonata axială x și de parametrii inductivi și capacitivi ai transformatorului. El nu este egal în general cu raportul de transformare. Egalitatea există la transformatoarele pentru care $L_{2r}^2 \approx L_{1r} L_{2r}$.

În mod analog se procedează și în cadrul altor condiții de limită.

1.2.3. Concluzii

- Fenomenul de propagare a undei de tensiune de-a lungul înfășurărilor unui transformator, se solicită în mod complex, atât electric cât și magnetic.

- Pentru studiu trebuie luați în considerație toți parametrii capacitivi și inductivi.

- Procesul se studiază în două etape: faza inițială, când se neglijează inductivitățile înfășurărilor și faza oscilațiilor libere, când se neglijează capacitățile între spire.

- Repartiția inițială este dată în special de cuplajele capacitiv, obținându-se o componentă importantă și în secundar.

- În etapa a doua, cuplajele inductive sînt preponderente și se obțin componente ale șocului de tensiune aplicat în primar, și în înfășurarea secundară.

- În ambele înfășurări ale transformatorului, pe lângă componente staționară, apar o serie de oscilații care solicită complex transformatorul, oscilații care pot ajunge și în circuitul de utilizare.

- Repartiția tensiunii în ambele părți ale transformatorului depinde, în ambele etape, de condițiile de limită, adică de

situația în care se găsesc capetele înfășurărilor.

1.3. Fenomenul tranzitoriu de propagare a șocului de tensiune în MBR

În studiul complet a acestui fenomen implică considerarea tuturor componentelor sistemului format din sursă, linia electrică de alimentare și mașină [65]. Totuși pentru a vedea comportarea MBR solicitată la un impuls de tensiune dat, este suficient să considerăm subsistemul "mașină" [131].

Fenomenul tranzitoriu de pătrundere a șocului de tensiune în MBR prezintă caracterul de unde progresive, lucru demonstrat prin anumite măsurători [2, 13, 22, 28, 54, 65].

Aceeași concluzie se trage și din reprezentarea repartiției tensiunii de șoc în lungul înfășurării unui motor asincron de 1400 KW și 6,6 KV la diferite momente [42] (fig.1.4.)

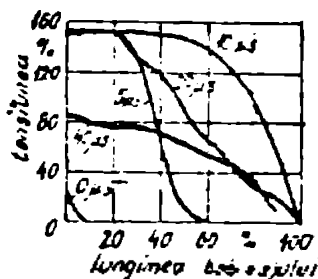


Fig.1.4. Repartiția tensiunii de-a lungul înfășurării unui motor asincron de 1400KW; 6,6KV.

Bobinajul unei MBR este dispus, în general, în creștături. În această situație, se poate considera că nu există capacități mutuale între spirele aflate în creștături diferite. Există doar între spirele aflate în aceeași creștătură și se

apreciază că au valori extrem de mici. În același timp, lungimea totală a înfășurării unei MBR este mult mai mică decât la un transformator (de ex. în raportul 1:10). Motorul mașinii are în general o influență foarte slabă asupra fenomenului de propagare a undelor. Fiind un fenomen tranzitoriu rapid, de frecvență foarte mare, în rotorul mașinii se induc curenți turbionari superficiali considerabili, care au un efect de blindare a acestuia [65, 71]. Având în vedere aceste considerente, se poate echivala înfășurarea MBR cu o linie scurtă. Spre deosebire de o linie electrică simplă, în cazul MBR, însă, pierderile prin curenți Foucault în fierul electromagnetic au o mare influență asupra fenomenului de propagare a undelor. Din măsurătorile efectuate, se constată că impedanțele de undă ale transformatorului și ale MBR se deosebesc mult. Astfel impedanța de undă a unui transformator este de câteva mii de ohmi spre deose-

bire de cea a unui alternator care este de câteva sute de ohmi. Se variază în funcție de puterea mașinii (de exemplu: de la 150 Ω pentru o mașină de 15 KVA la 1450 Ω pentru una de 35 KVA). În comparație cu situația unui transformator, la o MFR trebuie subliniată lipsa repartiției capacitive a tensiunii în momentul pătrunderii undei de șoc [54, 130], spăriind efectul net de propagare a undei de-a lungul înfășurării. Acest lucru se motivează prin aceea că în cazul MFR cuplajele capacitive sînt mult mai slabe și în special capacitățile între spire în multe situații se poate neglija.

Pentru studierea fenomenului, s-au considerat valorile medii ale parametrilor pe unitatea de lungime și s-a echivalat fiecare fază a mașinii cu un lanț de cuadripoli [54]. Fiecare cuadripol

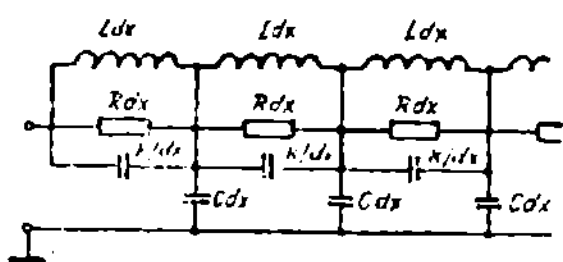


Fig. 1.5. Schema echivalentă a unei faze a MFR cupusă unui șoc de tensiune.

corespunde unei bobine a înfășurării mașinii și e compus din inductivitatea L , rezistența R echivalentă pierderilor în fier, capacitățile mutuală între spire K și capacitățile față de masă (fig. 1.5). Dacă numărul de cuadripoli este mai mare decât 5 (de obicei la o mașină numărul de bobine este superior

lui 5), se poate studia fenomenul fără a comite o eroare prea mare, înlocuind ecuațiile cu diferențe finite prin ecuații diferențiale. În această situație mărimile L , R , C , K se raportează la unitatea de lungime a înfășurării în aceste condiții scriind relațiile între tensiuni și curenți, care sînt funcții de timp și de distanță față de începutul înfășurării:

$$\frac{\partial(i + i_K)}{\partial x} = -\sigma \frac{\partial u}{\partial t}$$

$$i_K = -K \frac{\partial^2 u}{\partial x \partial t}$$

$$\frac{\partial u}{\partial x} = -L \frac{\partial i}{\partial t}$$

$$\frac{\partial u}{\partial x} = i_H \cdot H$$

prin derivări și înlocuiri succesive se obține în final o ecuație diferențială care descrie procesul tranzitoriu, de forma:

504396
207 G

$$K \frac{\partial^4 u}{\partial x^2 \partial t^2} + \frac{1}{K} \frac{\partial^3 u}{\partial x^2 \partial t} + \frac{1}{L} \frac{\partial^2 u}{\partial x^2} = \sigma \frac{\partial^2 u}{\partial t^2} \quad (1.19)$$

Cum capacitatea longitudinală între bobine K este neglijabilă, ecuația devine:

$$\frac{1}{K} \frac{\partial^3 u}{\partial x^2 \partial t} + \frac{1}{L} \frac{\partial^2 u}{\partial x^2} - \sigma \frac{\partial^2 u}{\partial t^2} = 0 \quad (1.20)$$

La un impuls unitar de tensiune dat începutului înfășurării pentru determinarea oscilațiilor libere în orice moment t are loc condiția de limită $u(0, t) = 0$. Se încercă o soluție de forma: $u = A_n \sin n x f(t)$, unde n - coeficient determinat din condiții de limită.

De exemplu, pentru sfârșitul înfășurării izolat, rezultă:

$$n = \frac{K \gamma}{2l} \quad (K=1, 3, 5, \dots) \quad \text{iar:}$$

$$u = 1 - \sum_n A_n \sin \frac{n \gamma}{2} e^{-\delta_n t} \left[\frac{\delta_n^2 - \omega_n^2}{\omega_n} \frac{-\sin(\omega_n t + \psi_n)}{\sqrt{\delta_n^2 + \omega_n^2}} + 2\delta_n \frac{\cos(\omega_n t + \psi_n)}{\sqrt{\delta_n^2 + \omega_n^2}} \right] \quad (1.21)$$

cu:

$$A_n = \frac{2 \sin \frac{n \gamma}{2}}{\frac{n \gamma}{2}}, \quad \delta_n = \frac{n^2 \gamma^2}{8Kl^2}, \quad \omega_n = \frac{n^2 \gamma^2}{4\sigma L l^2}, \quad \psi_n = \arctg \frac{\omega_n}{\delta_n}$$

După cum se observă din expresia lui δ_n , armonicile de ordin mai mare se amortisează foarte repede ($\delta_n \sim n^2$). O expresie analogă se obține dacă sfârșitul înfășurării este pus la pământ.

Faptul că fenomenul de propagare depinde de condițiile de limită este pus în evidență și prin măsurători experimentale efectuate asupra diverselor mașini [53, 71] în două situații:

- extremitatea înfășurării este izolată,
- extremitatea înfășurării este pusă la masă.

Dacă se măsoară tensiunea în diverse puncte ale înfășurării în primul caz se constată că datorită reflexiilor se ridică la 2,60 ori tensiunea undei incidente. Dacă sfârșitul înfășurării este pus la masă, nu apar reflexii și ca atare tensiunea rămâne la aproximativ 1,35 undă incidentă. Situația cea mai avantajoasă este de a pune sfârșitul înfășurării la masă prin intermediul unei rezistențe de aceeași valoare cu a impedanței de undă a bobinajului. Măsurătorile oscilografice efectuate [42], în diverse puncte ale înfășurării unui generator de 6,6 kV

aflat în această situație, arată că nu se obțin creșteri ale șocului de tensiune datorită unor eventuale reflexii (fig.1.6).

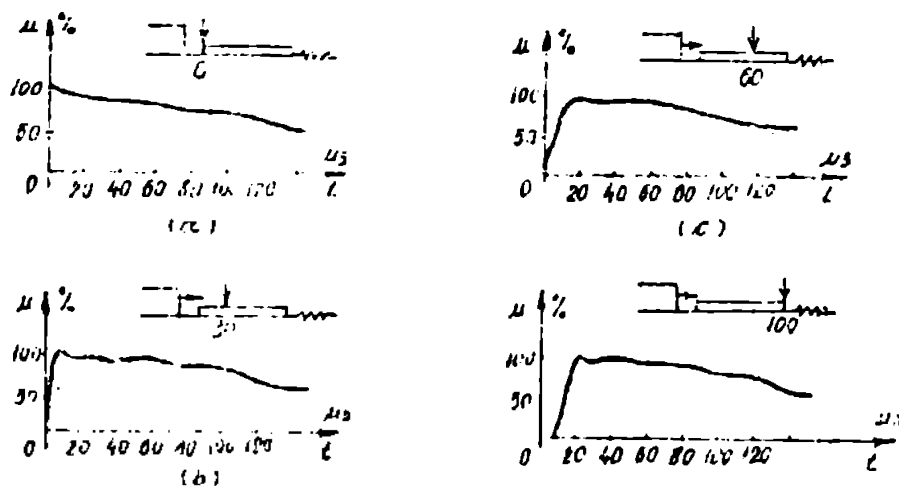


Fig.1.6. Variația tensiunii de șoc la un generator cu extremitatea înfășurării pusă la masă prin intermediul unei rezistențe de 500Ω . a) la borna de intrare; b) la distanța de 30%; c) la distanța de 60%; d) la sfârșitul înfășurării.

În toate studiile teoretice întreprinse de propagare a unei de tensiune de-a lungul bobinajului unei MAR , s-au presupus atât parametrii longitudinali cât și cei transversali uniform distribuiți pe lungimea conductorului. Chiar și cele mai recente cercetări în domeniu [65] consideră schema echivalentă a mașinii ca fiind un lanț de cuadripoli cu parametrii egali.

Rotorul are o influență neglijabilă [65]. Ecuațiile care descriu fenomenul sînt [65] :

$$\frac{d}{dt} \begin{pmatrix} U \\ I \end{pmatrix} = \begin{pmatrix} -r_s S_1 & \\ L^{-1} S_u & L^{-1} R \end{pmatrix} \begin{pmatrix} U \\ I \end{pmatrix} + \begin{pmatrix} 0 \\ L^{-1} \omega \end{pmatrix} \quad (1.22)$$

în care :

$$L = \begin{pmatrix} L_S & M_{RS} \\ M_{SE} & L_R \end{pmatrix}$$

L_S - reprezentînd matricea inductanțelor statorului,

L_R - matricea inductanțelor rotorului,

$M_{SE} = M_{RS}$ - matricea inductanțelor de cuplaj între bobinele statorice și circuitul rotoric,

E_u - matricea de distribuție a tensiunii pe bobine,

S_1 - matricea de distribuție a curenților în punctele nodale;

I - matricea curenților,

U - matricea tensiunilor,

C_E - matricea capacităților,

R - matricea rezistențelor,

W - vectorul tensiunii de excitație.

Acest sistem de ecuații diferențiale se poate rezolva cu o precizie ridicată cu ajutorul integrării numerice pe calculator. Se constată că solicitarea cea mai mare a înfășurării are loc la fronturi ale undei cu durată scurtă (0,4/170 us).

În toate studiile efectuate asupra propagării undei de tensiune în MEF parametrii care intervin în ecuații s-au considerat constanți. Cu toate acestea prin măsurătorile efectuate [2] se pune în evidență variația impedanței de undă în timp. Într-o măsurătoare fenomenul respectiv se desfășoară la frecvențe înalte, ori este cunoscută variația rezistenței, inductivității, pierderilor în fier cu frecvența [6, 23, 26, 41, 57, 95]. Măsurătorile concrete efectuate în cazul pătrunderii unui șoc de tensiune într-un alternator de 2 MVA și 3,1 kV [55] au arătat modul de variație a rezistenței și inductanței cu frecvența (fig.1.7 și 1.8).

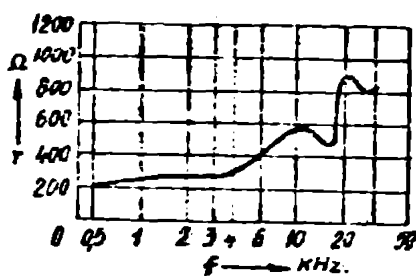


Fig.1.7. Variația rezistenței r a unui alternator de 2 MVA și 3,1 kV în funcție de frecvență.

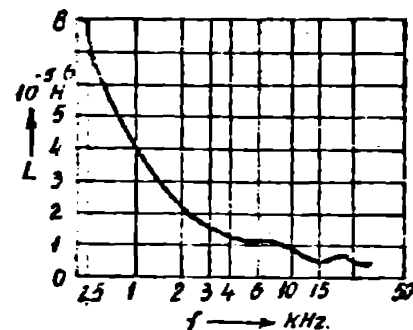


Fig.1.8. Variația inductanței L a unui alternator de 2 MVA și 3,1 kV în funcție de frecvență.

În studiile teoretice întreprinse s-a presupus că atât parametrii longitudinali cât și cei transversali sînt uniform distribuiți pe lungimea conductorului. În realitate, din teoria clasică a MEF [30, 33, 34, 95] se știe că inductivitatea este diferită în creșterea de cea a capetelor frontale a bobinelor.

De asemenea și capacitatea față de masă în creștătură este mai mare decât a capetelor frontale. Ca săge, viteza de propagare la capetele frontale, care se găsesc în aer se apreciază ca fiind aproximativ 200.000 km/s, spre deosebire de cea în creștături care este de ordinul 15.000-20.000 km/s [43]. Viteza de propagare medie depinde evident de construcția și dimensiunile mașinii, obținând valori de 40.000-100.000 km/s. Ea se calculează ca fiind:

$$v_{med} = \frac{l_c v_c + l_f v_f}{l_c + l_f} = v_f \frac{1 + \frac{l_c v_c}{l_f v_f}}{1 + \frac{l_c}{l_f}} \approx v_f \frac{1}{1 + \frac{l_c}{l_f}} \quad (1.23)$$

- unde: l_c - lungimea creștăturii,
 l_f - lungimea capătului frontal,
 v_c - viteza de propagare în creștătură,
 v_f - viteza de propagare în capetele frontale.

Formula (1.23) dă valori cu totul orientative a vitezei de propagare a undei. Pentru o determinare mai exactă, trebuie să se cunoască parametrii reali ai înfășurării. Viteza de propagare variază în timp și se micșorează cu creșterea puterii mașinii.

1.4. Procesul de deconectare a unei MBR

Un proces tranzitoriu asemănător cu cel obținut în cazul transmiterii de pe linia de alimentare a unui șoc de tensiune la bornele MBR are loc și în cazul deconectării acesteia de la rețea. Și în această situație apar oscilații, care duc la creșterea tensiunii în înfășurarea statorică a MBR.

Apariția supratensiunilor la decuplarea unei MBR este legată de procesul tranzitoriu de anulare a valorii instantanee a curentului inductiv i_0 la întrerupere. Evident, energia magnetică acumulată, corespunzătoare acestui curent nu poate dispărea instantaneu, ci ea se va consuma treptat în circuitul oscilant format între inductivitatea înfășurării statorice și capacitatea sa față de masă.

Spre exemplu, studiind deconectarea unei MBR cu sfârșitul înfășurării sale pus la masă și cu inductivitatea și capacitatea față de masă repartizate, considerate pentru unitatea de lungime, se poate scrie ecuația circuitului echivalent astfel format:

$$\frac{\partial^2 u}{\partial x^2} = LC \frac{\partial^2 u}{\partial t^2} \quad (1.24)$$

$$\frac{\partial i}{\partial x} = -C \frac{\partial u}{\partial t} \quad (1.25)$$

Soluția ecuației (1.24) este de forma:

$$u(x,t) = \sum_n [F_n(x) \cos \omega_n t + G_n(x) \sin \omega_n t] \quad (1.26)$$

Funcțiile $F_n(x)$ și $G_n(x)$ se deduc din condițiile inițiale la $t=0$:

$$u(x,0) = u_0 \left(1 - \frac{x}{l}\right) \quad (1.27)$$

$$i(x,0) = i_0 \frac{x}{l} \quad (1.28)$$

unde u_0 și i_0 sînt tensiunea, respectiv curentul la borne în momentul întreruperii.

Dezvoltînd în serie Fourier expresia (1.26):

$$u(x,0) = \frac{u_0}{\pi^2} \sum_n \frac{\cos \frac{n\pi x}{2l}}{n^2} \quad (n=1,3,5,\dots)$$

se obține:

$$F_n(x) = \frac{8u_0}{n^2 \pi^2} \cos \frac{n\pi}{2l} x \quad (1.29)$$

Funcția G_n trebuie să îndeplinească condiția:

$$\frac{d^2 G_n}{dx^2} = -\frac{n^2 \pi^2}{4l^2} G_n, \text{ deci}$$

$$G_n = A_n \sin \frac{n\pi}{2l} x + B_n \cos \frac{n\pi}{2l} x \quad (1.30)$$

Înlocuim expresia (1.26) în care s-a introdus (1.29), în (1.25) și efectuînd integrarea, se obține:

$$i(x,t) = \sum_n \frac{8u_0}{2n\pi^2} \sin \frac{n\pi}{2l} x \sin \frac{n\pi}{2l\sqrt{LC}} t - \frac{8i_0}{2l\pi^2} \cos \frac{n\pi}{2l\sqrt{LC}} t \int_0^x G_n(x) dx \quad (1.31)$$

Introducînd (1.30) și utilizînd de condiția (1.28) se găsesc constantele:

$$A_n = 0$$

$$B_n = -\frac{8Zi_0}{n^2 \pi^2} (-1)^{\frac{n-1}{2}}$$

unde $Z = \sqrt{\frac{L}{C}}$

Făcând substituția: $\omega_n = \frac{\alpha \gamma}{2l \sqrt{LC}}$ și introducând constantele în expresiile (1.26) și (1.31) se obțin curentul și tensiunea ca funcții de timp și de spațiu:

$$i(x,t) = \sum_n \frac{u_0}{n^2 \gamma^2} \sin \frac{\alpha \gamma}{2l} x \left[\frac{u_0}{Z} \sin \omega_n t + (-1)^{\frac{n-1}{2}} i_0 \cos \omega_n t \right]$$

$$u(x,t) = \sum_n \frac{u_0}{n^2 \gamma^2} \cos \frac{\alpha \gamma}{2l} x \left[u_0 \cos \omega_n t + (-1)^{\frac{n-1}{2}} Z i_0 \sin \omega_n t \right]$$

Se observă că cea mai mare supratensiune apare la intrarea în bobinaj ($x=0$). Amplitudinea diverselor armonici la intrarea în bobinaj este determinată de:

$$U_n = \frac{u_0}{n^2 \gamma^2} \sqrt{1 + \left(\frac{Z i_0}{u_0}\right)^2}$$

Prin urmare supratensiunile ce pot apărea într-o mașină electrică la deconectarea sa depind de impedanța de undă a mașinii. Cu cât mașina este de putere mai mică și tensiunea mai mare, impedanța de undă are valori mai ridicate, ajungând la 1000-1500 Ω , deci pericolul supratensiunilor este iminent. Astfel la deconectarea unui motor asincron cu rotor în scurtcircuit de 240 KV și 6,3 KV s-a obținut o supratensiune de 29 KV.

1.5. Concluzii și observații

- Fenomenele tranzitorii care au loc la apariția sau dispariția unei tensiuni la bornele MER se propagă progresiv de-a lungul înfășurării acestora.

- Datorită construcției MER la care înfășurarea este dispusă în creștături, cuplajul mutual capacitiv și inductiv este mai slab, în special capacitățile între spire practic se poate neglija.

- Influența rotorului este neglijabilă datorită blindării sale de către câmpul magnetic de frecvență înaltă produs de curenții turbionari.

- Parametrii care intră în considerație în procesul de propagare a undelor variază de-a lungul înfășurării unei MER, astfel înaltă rezistența, inductivitatea și capacitățile de masă a porțiunii cuprinse în creștături sînt mai mari decît a capetelor frontale.

- Propagarea undelor de-a lungul înfășurării MBR depinde de tipul conexiunii și de modul de aplicare a undei: pe o fază, pe două sau în mod simetric pe toate trei fazele. De asemenea, în cazul conexiunii stea, fenomenul depinde și de situația în care se găsește extremitatea înfășurării: cu nulul izolat sau pus la masă. Astfel, la un bobinaj în conexiune stea cu nulul izolat, dacă unda pătrunde pe o singură fază, ajungând la nul, unda se împarte în două, trecând în celelalte două faze cu amplitudine $2/3$ din valoarea inițială. Dacă unda pătrunde pe două faze cu amplitudine egală, la neutru tensiunea va fi de $4/3$ din cea incidentă, trecând în faza a treia cu această valoare. Dacă unda pătrunde pe toate fazele, la nul unda se reflectă și se va produce o tensiune dublă. În cazul bobinajului în stea cu nulul pus la masă, nu se produc reflexii la extremitatea înfășurării. Dacă unda mobilă apare la o bornă a mașinii cu conexiune Δ , ea se împarte în două părți, propagându-se de-a lungul celorlalte două faze. Dacă pătrunde simultan pe două sau trei faze, undele mobile vin din ambele extremități ale fazelor cu amplitudini egale, se întâlnesc la mijloc și apoi tensiunea se dublează.

- Comportarea cea mai bună în fenomenul de propagare a undelor o are bobinajul în conexiune stea cu nulul pus la masă peste o rezistență egală cu însăși impedanța de undă a mașinii.

- Pierderile în fier au o influență deosebită asupra fenomenului tranzitoriu discutat, având în vedere frecvențele mari la care se desfășoară. Ca rezultat al acestei influențe, fenomenul de amortizează repede în timp.

- Practic, la MBR nu are loc o repartiție inițială, capacitivă a tensiunii ci numai etape inductivă în care au loc o serie de oscilații amortizate în timp.

- Parametrii MBR variază în timpul procesului de propagare a tensiunii datorită curenților turbionari din fierul mașinii și a efectului pelicular din conductoare.

- Fenomenele care apar la dispariția instantanee a tensiunii sînt tot atît de importante ca și cele legate de apariția șocului de tensiune la bornele MBR.

- Se poate conchide că din punct de vedere a comportării la unde de tensiune, MBR se poate compara cu o linie electrică multifilară, însă avînd parametrii variabili atît în timp, cît și de-a lungul conductorului.

CAPITOLUL 2

SCHEMA ECHIVALENTĂ ȘI ECUAȚIILE FENOMENELOR TRANZITORII RAPIDE

Pentru studiul cât mai fidel al procesului de propagare a undei de tensiune în MER trebuie să se imagineze o schemă echivalentă care să cuprindă toți parametrii mașinii, atât cei longitudinali cât și cei transversali. Totodată, parametrii cuprinși în schema respectivă sînt variabili în timp, fiind numiți parametrii transitorii ai MER. Pentru generalizarea problemei, se consideră că bobinile cu care este realizată înfășurarea mașinii nu sînt identice. De fapt, se poate întîmpla ca nici cele două laturi ale unei bobine să nu fie similare, putînd diferi ^{fi} parametrii longitudinali, fie cei transversali ai lor (de ex.: izolație diferită determină modificarea parametrilor transversali sau datorită poziției diferite în creștături cum e cazul înfășurării în două straturi, sînt modificați cei longitudinali). Pe de altă parte s-a arătat anterior că parametrii diferă și de la partea bobinei cuprinsă în creștătură la capetele frontale. Avînd în vedere aceste considerații se dă schema electrică echivalentă generalizată, care conține schema de toate aceste observații.

2.1. Schema echivalentă generalizată

Schema echivalentă generalizată a MER pentru procese tranzitorii rapide cuprinde un lanț de multipoli de număr egal cu $4N$, unde N reprezintă numărul de bobine pe o fază. În fig.2.1 este redat un ansamblu de doi multipoli, de ordinul S și $S+1$ (în schema echivalentă $S=1, 2, \dots, 4N$), semnificînd latura t de bobină din creștătură și capătul frontal $S+1$. Fiecare multipol este alcătuit din cîte m cuadripoli de tip $\tilde{\pi}$, unde m este numărul de faze ale mașinii. S-a presupus această schemă întrucît elementul de circuit - cuadripolul $\tilde{\pi}$ - este un cuadripol simetric și reciproc, prin urmare în anumite cazuri particulare prezintă avantaje în punerea și studiarea problemei. S-a considerat cazul unei MER m -fazate,

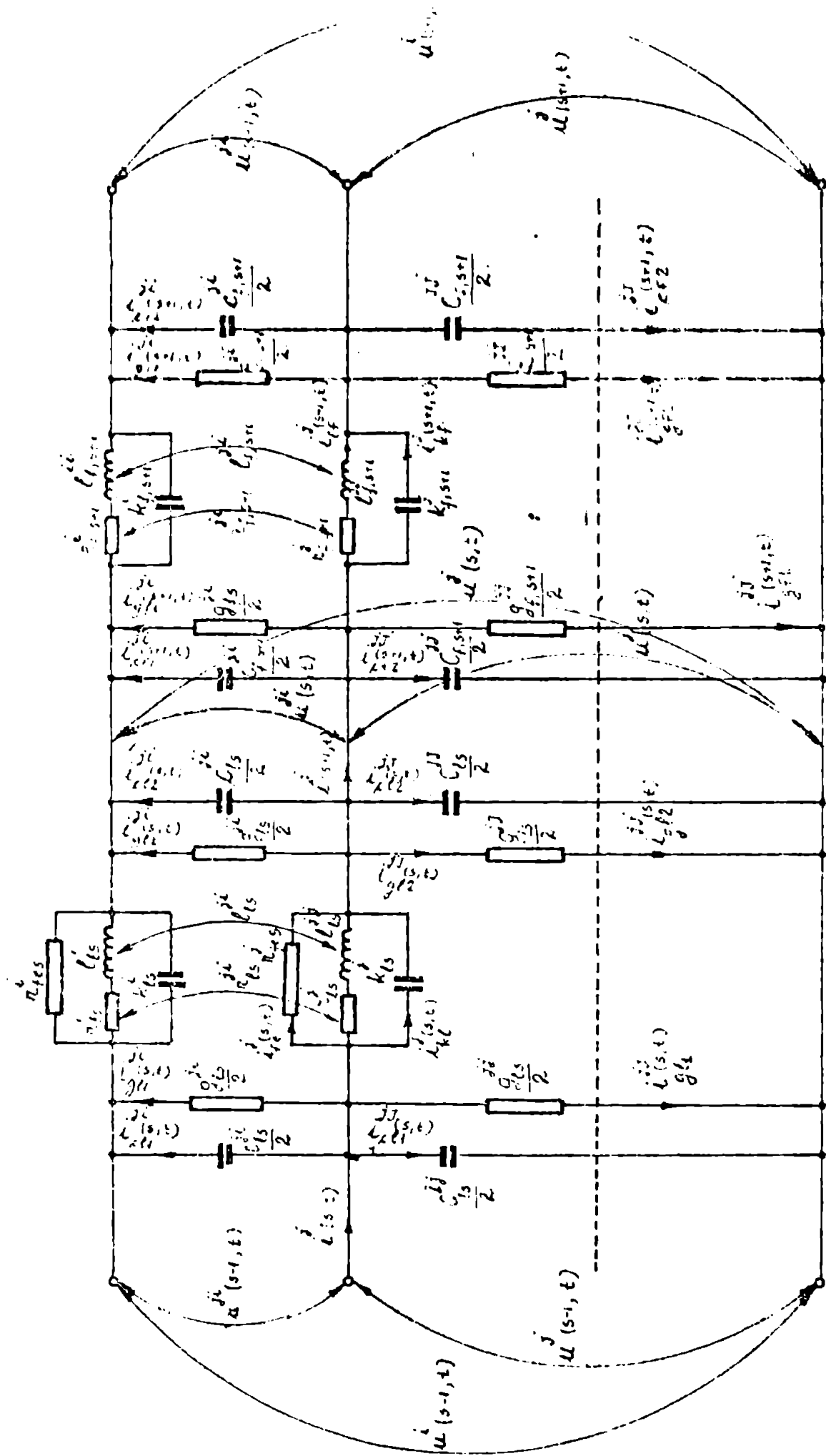


Fig. 2.1. Dof multipoli din scheme echivalentă în \mathcal{N} e MNR.

cu conexiune Y la care nulul este pus la masă printr-o rezistență. Această situație se poate particulariza la situația nulului izolat prin întreruperea rezistenței respective. Parametrii sînt diferiți de la un multipol la multipol și respectiv de la fază la fază. Semnificația parametrilor, care se referă la latura de bobină S a fazei j, din schemă este:

- r_{jE}^1 - rezistența echivalentă pierderilor în fier corespunzătoare laturii de bobină respectivă,
- r_{jS}^1 - rezistența laturii de bobină,
- L_{jS}^{jj} - inductivitatea laturii de bobină, incluzînd și inductivitatea mutuală cu celelalte laturi de bobină aparținînd aceleiași faze,
- L_{jS}^{ji}, r_{jS}^{ji} - inductivitatea respectiv rezistența mutuală între laturile de bobină corespunzătoare,
- k_{jS}^1 - capacitatea între laturile spirelor bobinei,
- c_{jS}^{jj} - capacitatea față de masă,
- g_{jS}^{jj} - conductanța față de masă
- c_{jS}^{ji} - capacitatea mutuală între laturile de bobină,
- g_{jS}^{ji} - conductanța mutuală între laturile de bobină.

Parametrii capătului frontal care corespunde circuitului j din multipolul S+1 au aceeași semnificații, cu singura deosebire că lipsește rezistența echivalentă pierderilor în fier. În schemă alternăm multipoli de formă S cu multipoli de formă S+1, însă parametrii diferind de la unul la altul. $i, j=1, 2, \dots, m$ unde m este numărul de faze ale mașinii. În fig. 2.1 s-au reprezentat toți parametrii unui pentru circuitul j.

Avantajele subliniate mai sus ale cuadripolului \tilde{Y} , le prezintă și cuadripolul T. De aceea MBR se poate studia și pe baza schemei echivalente sînd la bază acest cuadripol. În fig. 2.2 s-au reprezentat multipolii de ordinal S și S+1 din scheme echivalente în T a unei MBR trifazate (m=3).

Ecuațiile de analiză a pătrunderii unei de tensiune în MBR se stabilesc considerînd că aceasta se propagă din aproape în aproape și se scriu ecuațiile dintre curenții și tensionile nemăsurate ale multipolilor $1, 2, \dots, S-1, S+1, \dots, 4N$, rezultate prin aplicarea teoremelor lui Kirchoff I și II.

Circuitele la care se referă lucrarea, sînt formate din elemente la care se manifestă efectul particular și de proximitate-

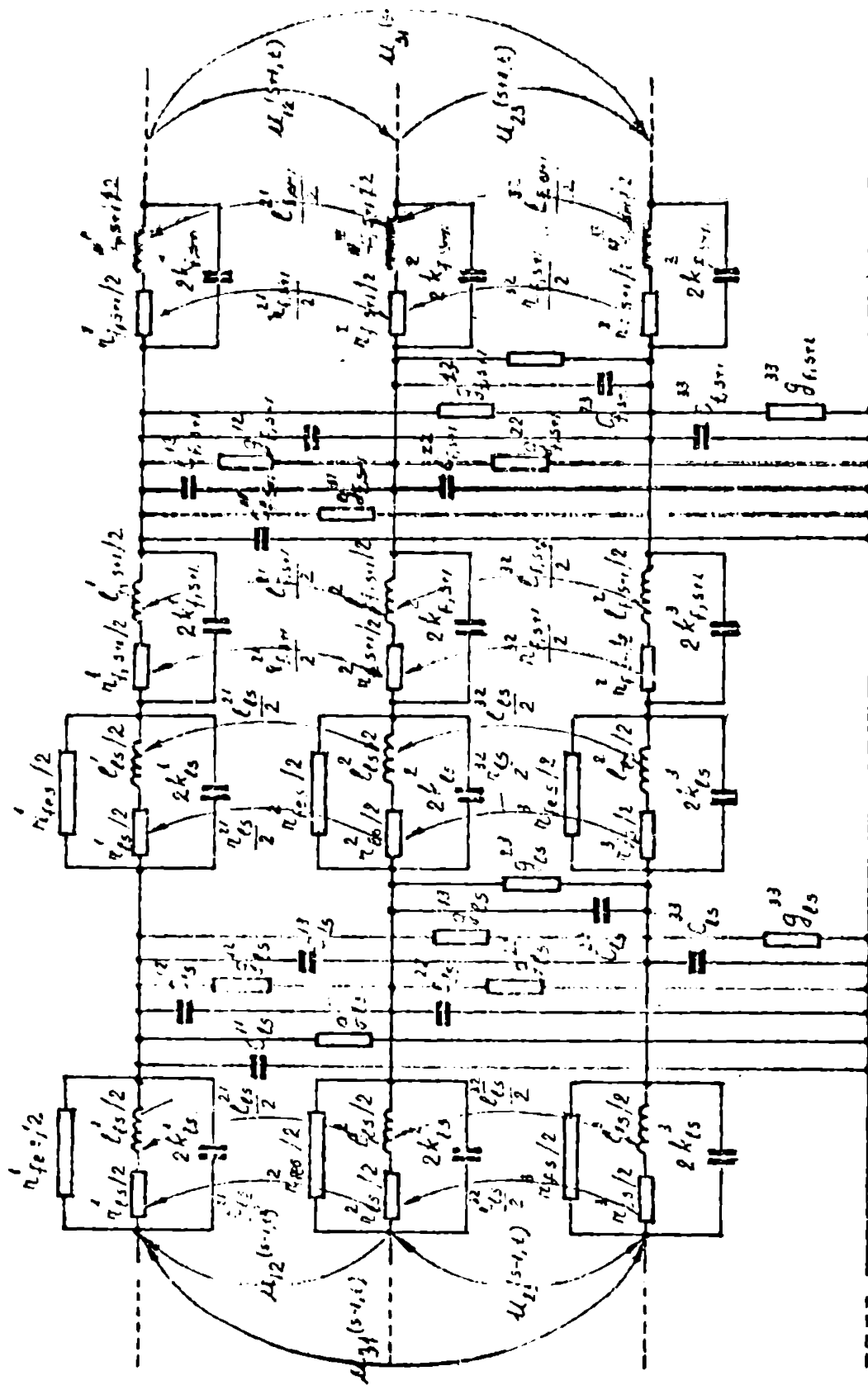


Fig. 2.2. Scheme equivalentă în T a MBR trifazate (multipoli de ordinul 5 și 5+1).

te, fiind vorba de conductoare plasate în creștături, chiar bare groase, de material feromagnetic cu pierderi apreciabile datorita curenților turbionari. În această situație fenomenul transitoriu de propagare a undelor nu mai poate fi studiat prin considerarea parametrilor constanți. Se știe că în regim armonic, studiul efectului pelicular, chiar din conductoare scurte, conduce la rezistențe și inductivități dependente de frecvență, cum este cazul MFR [30, 33, 34, 52, 63, 66, 61, 67, 68, 95, 101]. Cu atât mai mult în regim tranzitoriu, când tensiunile și curenții, funcții de timp, au un spectru larg de frecvențe ale componentelor lor armonice, trebuie să se introducă parametri variabili în timp. Problema a fost abordată în cazul liniilor electrice lungi prin elaborarea unei noi teorii [91, 92, 93] de către acad. R. Sădăleț, epurarea căreia s-au introdus așa numiții parametrii transitorii care definesc elementele de circuit respective.

Considerând deci parametrii transitorii, ecuațiile amintite pentru multipolul de ordinul S (fig.2.1) se scriu:

- pentru curentul din legătura la masă a nulului $i_0(t)$:

$$i^0(t) = \sum_{j=1}^n i^j(s, t)$$

- pentru curenții longitudinali $i^j(s, t)$:

$$u^j(s-1, t) = u_{l_0}^j(s, t) + \sum_{S=1}^{4N} \sum_{I=1}^n l_{IS}^{jI} \text{ext} \frac{di_u^I(s, t)}{dt} + \frac{d}{dt} \int_0^t r_{IS}^{jI}(t-\tau) \cdot$$

$$\cdot i_u^I(s, \tau) d\tau + u^j(s, t)$$

$$u^j(s-1, t) = u_{L_e}^j(s, t) + \frac{d}{dt} \int_0^t r_{L_e}^j(s, t-\tau) i_{L_e}^j(s, \tau) d\tau + u^j(s, t)$$

$$u^j(s-1, t) = u_{K_{l_0}}^j(s, t) + \frac{1}{K_{IS}} \int i_{K_1}^j(s, t) dt + u^j(s, t)$$

- pentru curenții capacitivi $i_{11}^{jj}(s, t)$ și $i_{12}^{jj}(s, t)$:

$$i_{11}^{jj}(s, t) = i^j(s, t) - i_{L_e}^j(s, t) - i_u^j(s, t) - i_{K_1}^j(s, t) - i_{S_{11}}^{jj}(s, t) - \sum_{I=1}^n \frac{1}{I+J}$$

$$\cdot [i_{11}^{jI}(s, t) + i_{S_{11}}^{jI}(s, t)]$$

$$i_{12}^{jj} (s, t) = i_{L_2}^j (s, t) + i_{L_1}^j (s, t) + i_{K_1}^j (s, t) - i^j (s+1, t) - i_{E_{12}}^{jj} (s, t) - \sum_{\substack{l=1 \\ l \neq j}}^n .$$

$$\cdot \left[i_{12}^{j1} (s, t) + i_{E_{12}}^{j1} (s, t) \right]$$

- pentru tensionile de fază $u^j(s-1, t)$ și $u^j(s, t)$:

$$\frac{du^j(s-1, t)}{dt} = 2 \frac{i_{11}^{jj} (s, t)}{\gamma_{12}^{jj}}$$

$$\frac{du^j(s, t)}{dt} = 2 \frac{i_{12}^{jj} (s, t)}{\gamma_{12}^{jj}}$$

- pentru tensiunile dintre faze $u^{j1}(s-1, t)$ și $u^{j1}(s, t)$:

$$u^{j1}(s-1, t) = u^j(s-1, t) - u^1(s-1, t)$$

$$u^{j1}(s, t) = u^j(s, t) - u^1(s, t)$$

- pentru curenții capacitivi $i_{11}^{j1} (s, t)$ și $i_{12}^{j1} (s, t)$:

$$i_{11}^{j1} (s, t) = \frac{\gamma_{12}^{j1}}{2} \frac{du^{j1}(s-1, t)}{dt}$$

$$i_{12}^{j1} (s, t) = \frac{\gamma_{12}^{j1}}{2} \frac{du^{j1}(s, t)}{dt}$$

(2.1)

- pentru curenții prin conductanțe:

$$i_{E_{11}}^{j1} (s, t) = \frac{G_{12}^{j1}}{2} u^{j1}(s-1, t)$$

$$i_{E_{12}}^{j1} (s, t) = \frac{G_{12}^{j1}}{2} u^{j1}(s, t)$$

$$i_{E_{11}}^{jj} (s, t) = \frac{G_{12}^{jj}}{2} u^j(s-1, t)$$

$$i_{E_{12}}^{jj} (s, t) = \frac{G_{12}^{jj}}{2} u^j(s, t)$$

În aceste ecuații $j, l=1, 2, \dots, n$, iar $s=1, 3, 5, \dots, 4N-1$. Se completează cu ecuațiile pentru multipolii care reprezintă capetele de bobină. Aceste ecuații sînt:

$$i^0(t) = \sum_{j=1}^n i^j(s+1, t)$$

$$u^j(s, t) = u_{k_{f_0}}^j(s+1, t) + \sum_{i=1}^{n-1} \sum_{l=1}^n [i_{k_{f_0}, s+1}^{j1} \exp \frac{di_{lf}^j(s+1, t)}{dt} + \\ + \frac{d}{dt} \int_0^t k_{k_{f_0}, s+1}^{j1}(t-\gamma) i_{lf}^j(s+1, \gamma) d\gamma] + u^j(s+1, t)$$

$$u^j(s, t) = u_{k_{f_0}}^j(s+1, t) + \frac{1}{k_{k_{f_0}, s+1}^j} \int i_{k_{f_0}}^j(s+1, t) dt$$

$$i_{k_{f_1}}^{j1}(s+1, t) = i^j(s+1, t) - i_{lf}^j(s+1, t) - i_{k_{f_1}}^{jj}(s+1, t) - \sum_{\substack{i=1 \\ i \neq j}}^n \cdot$$

$$\cdot [i_{k_{f_1}}^{j1}(s+1, t) + i_{k_{f_1}}^{j1}(s+1, t)] - i_{k_{f_1}}^j(s+1, t)$$

$$i_{k_{f_2}}^{j1}(s+1, t) = i_{lf}^j(s+1, t) + i_{k_{f_2}}^j(s+1, t) - i^j(s+2, t) - i_{k_{f_2}}^{jj}(s+1, t) - \sum_{\substack{i=1 \\ i \neq j}}^n \cdot$$

$$\cdot [i_{k_{f_2}}^{j1}(s+1, t) + i_{k_{f_2}}^{j1}(s+1, t)]$$

$$\frac{du^j(s, t)}{dt} = 2 \frac{i_{k_{f_1}}^{j1}(s+1, t)}{k_{k_{f_1}, s+1}^{j1}}$$

$$\frac{du^j(s+1, t)}{dt} = 2 \frac{i_{k_{f_2}}^{j1}(s+1, t)}{k_{k_{f_2}, s+1}^{j1}}$$

$$u^{j1}(s, t) = u^j(s, t) - a^1(s, t)$$

$$u^{j1}(s+1, t) = u^j(s+1, t) - a^1(s+1, t)$$

$$i_{k_{f_1}}^{j1}(s+1, t) = \frac{k_{k_{f_1}, s+1}^{j1}}{2} \frac{du^{j1}(s, t)}{dt}$$

$$i_{k_{f_2}}^{j1}(s+1, t) = \frac{k_{k_{f_2}, s+1}^{j1}}{2} \frac{du^{j1}(s+1, t)}{dt}$$

$$i_{k_{f_1}}^{j1}(s+1, t) = \frac{k_{k_{f_1}, s+1}^{j1}}{2} u^{j1}(s, t)$$

$$i_{k_{f_2}}^{j1}(s+1, t) = \frac{k_{k_{f_2}, s+1}^{j1}}{2} u^{j1}(s+1, t)$$

$$i_{E_1}^{jj}(S+1, t) = \frac{S_{E_1}^{jj}}{2} u^j(S, t)$$

$$i_{E_2}^{jj}(S+1, t) = \frac{S_{E_2}^{jj}}{2} u^j(S+1, t)$$

În ultimele ecuații $j, i=1, 2, \dots, n$, iar $S+1=2, 4, \dots, 4N$.

La ecuațiile (2.1) și (2.2) se mai adaugă:

$$u^j(4N, t) = u^i(4N, t) = R^0 i^0(t)$$

În aceste ecuații mai intervin mărimile:

$$- u_{U_0}^j(S, t), u_{E_0}^j(S, t), u_{K_0}^j(S, t), u_{I_0}^j(S+1, t), u_{K_0}^j(S+1, t)$$

care vin seama de influența condițiilor inițiale de cîmp,

- $l_{E, ext}^{ji}$, $l_{I, S+1, ext}^{ji}$ - inductivitatea mutuală exterioară între circuitele j și i , respectiv cea proprie (cînd $j=i$).

Ecuațiile au fost scrise considerînd numai parametrii longitudinali variabili în timp. Într-adevăr parametrii transversali (capacitățile și conductanțele) ai circuitelor masinii sînt constanți în timp, regimul presupunîndu-l cvasistaționar.

Schemele echivalente date corespund cazului celui mai general a MMS nesimetrice pe fază, cu bobini inegale chiar în cadrul aceleiași faze și cu șecuri de tensiune inegale aplicate la borne.

2.2. Ecuațiile de analiză în operațional

Parametrii operaționali corespunzători schemelor echivalente ale MMS, conform fig.2.1 și fig.2.2 sînt:

$$\tilde{r}_{IS}^{ji}(p), \tilde{l}_{IS}^{ji}(p), \tilde{r}_{E, S}^j(p), \tilde{r}_{I, S+1}^j(p), \tilde{l}_{I, S+1}^{ji}(p)$$

În ecuații mai intervin parametrii:

$$r_{I_0}^j = r_{IS}^j(\infty); r_{IS_0}^{ji} = 0; r_{I, S+1, 0}^j = r_{I, S+1}^j(\infty) \text{ și } r_{E, S_0}^j = r_{E, S}^j(\infty)$$

rezistențe în regim staționar (c.c.).

$$l_{E, ext}^{ji} = l_{IS}^{ji}(0+), \quad l_{I, S+1, ext}^{ji} = l_{I, S+1}^{ji}(0+)$$

Capacitățile din schemă sînt cele electrostatice și deci capacitățile pentru $t=0+$, iar conductanțele sînt cele din c.c., adică pentru $t=\infty$.

Cu aceste precizări, forma operațională a ecuațiilor procesului de prepegare a unei de tensiune de-a lungul înfășurării MMS este:

$$\tilde{I}^0(p) = \sum_{j=1}^M \tilde{I}^j(s, p)$$

$$\tilde{U}^j(s-1, p) = \tilde{U}_{l_0}^j(s, p) + p \sum_{s=1}^{M_j} \sum_{l=1}^M \left[l_{lS}^{j1}(s+) \tilde{I}_{ll}^1(s, p) + \tilde{E}_{lS}^{j1}(p) \tilde{I}_{ll}^1(s, p) \right] + \tilde{U}^j(s, p) \quad (2.3)$$

$$\tilde{U}^j(s-1, p) = \tilde{U}_{l_e 0}^j(s, p) + p \tilde{E}_{l_e S}^j(p) \tilde{I}_{l_e}^j(s, p) + \tilde{U}^j(s, p) \quad (2.4)$$

$$\tilde{U}^j(s-1, p) = \tilde{U}_{k_1 0}^j(s, p) + \frac{1}{p k_{lS}^j(s+)} \tilde{I}_{k_1}^j(s, p) + \tilde{U}^j(s, p) \quad (2.5)$$

$$\begin{aligned} \tilde{I}_{l_1}^{jj}(s, p) &= \tilde{I}^j(s, p) - \tilde{I}_{l_e}^j(s, p) - \tilde{I}_{ll}^j(s, p) - \tilde{I}_{k_1}^j(s, p) - \tilde{I}_{E_{l_1}}^{jj}(s, p) - \\ &- \sum_{\substack{l=1 \\ l \neq j}}^M \left[\tilde{I}_{l_1}^{jl}(s, p) + \tilde{I}_{E_{l_1}}^{jl}(s, p) \right] \end{aligned} \quad (2.6)$$

$$\begin{aligned} \tilde{I}_{l_2}^{jj}(s, p) &= \tilde{I}_{l_e}^j(s, p) + \tilde{I}_{ll}^j(s, p) + \tilde{I}_{k_1}^j(s, p) - \tilde{I}^j(s+1, p) - \tilde{I}_{E_{l_2}}^{jj}(s, p) - \\ &- \sum_{\substack{l=1 \\ l \neq j}}^M \left[\tilde{I}_{l_2}^{jl}(s, p) + \tilde{I}_{E_{l_2}}^{jl}(s, p) \right] \end{aligned} \quad (2.7)$$

$$\tilde{U}^j(s-1, p) = \frac{2}{p c_{lS}^{jj}(s+)} \tilde{I}_{l_1}^{jj}(s, p) \quad (2.8)$$

$$\tilde{U}^j(s, p) = \frac{2}{p c_{lS}^{jj}(s+)} \tilde{I}_{l_2}^{jj}(s, p) \quad (2.9)$$

$$\tilde{U}^{j1}(s-1, p) = \tilde{U}^j(s-1, p) - \tilde{U}^1(s-1, p) \quad (2.10)$$

$$\tilde{U}^{j1}(s, p) = \tilde{U}^j(s, p) - \tilde{U}^1(s, p) \quad (2.11)$$

$$\tilde{I}_{l_1}^{j1}(s, p) = \frac{p c_{lS}^{j1}(s+)}{2} \tilde{U}^{j1}(s-1, p) \quad (2.12)$$

$$\tilde{I}_{l_2}^{j1}(s, p) = \frac{p c_{lS}^{j1}(s+)}{2} \tilde{U}^{j1}(s, p) \quad (2.13)$$

$$\tilde{I}_{E_{l_1}}^{j1}(s, p) = \frac{c_{lS}^{j1}(\infty)}{2} \tilde{U}^{j1}(s-1, p) \quad (2.14)$$

$$\tilde{I}_{E_{l_2}}^{j1}(s, p) = \frac{c_{lS}^{j1}(\infty)}{2} \tilde{U}^{j1}(s, p) \quad (2.15)$$

se completează cu ecuațiile operaționale pentru multipelul \$s+1\$ care se scriu la fel însă cu respectarea indicilor corespun-

zătorii acestui multipol, iar ecuația (2.4) nu există.

Observație: La toate mașinile, la care rezistența obținută este apreciabilă (nu se neglijează), în cazul în care convine, în loc de ecuația (2.3) se poate scrie:

$$\tilde{U}^j(s-1, p) = \tilde{U}_{u_0}^j(s, p) + r_{1s}^j(\infty) \tilde{I}_2^j(s, p) + p^2 \sum_{k=1}^{4N} \sum_{l=1}^m \tilde{L}_{ls}^{jkl}(p) \tilde{I}_{ll}^j(s, p) + \tilde{U}^j(s, p) \quad (2.16)$$

În cazul în care nu există cuplaje între bobini (se pot considera mașinile cu înfășurări într-un strat), ecuațiile (2.3) (2.4), (2.5) se pot înlocui printr-o singură ecuație de forma:

$$\tilde{U}^j(s-1, p) = \tilde{U}_{10}^j(s, p) + \frac{p}{\tilde{R}_{1s}^j(p) + \tilde{R}_{1s}^j(p) + |J_{1s}^j(s)|} + U^j(s, p) \frac{\tilde{R}_{1s}^j(p) [\tilde{R}_{1s}^j(p) + |J_{1s}^j(s)|] + p^2 k_{1s}^j(s)}{\quad} \quad (2.17)$$

Dacă schema echivalentă a MBR se consideră cu elemente liniare (liniarizarea caracteristicii de magnetizare) se poate proceda astfel: presupunând că la $t=0$ i se aplică primului multipol tensiunii treaptă de forma $u^j(0, t) = E^j \cdot 1(t)$, se găsesc răspunsurile $y^j(s, t)$ în acest caz pe baza ecuațiilor date. Rezolvarea în operațional este acum mai ușoară, deoarece aplicând transformata Laplace unei funcții treaptă se obține: $\mathcal{L}[u^j(0, t)] = \frac{E^j}{s}$. La aplicarea unei tensiuni de formă carecure în timp, pentru aflarea răspunsurilor transitorii se folosește integrala Duhamel:

$$u^j(s, t) = u^j(s-1, t) y^j(s, 0+) + \int_0^t u^j(s-1, t-\tau) y^{j'}(s, \tau) d\tau \quad (2.18)$$

2.5. MBR simetrică

Cazul ideal de MBR este cea simetrică pe cele m faze. Spre acest tip de mașină se ține și în exploatare, o MBR bună fiind considerată simetrică. În această situație parametrii sînt egali pe fazele mașinii și chiar sînt aceiași de la bobină la bobină. Presupunind că și tensiunea de intrare pe fiecare fază este aceeași, caz frecvent în practică (conectări, deconec-tări, șocuri pe rețeaua de alimentare), se poate studia o sin-gură fază, fenomenul fiind același pentru toate fazele. Schema echivalentă pentru o fază conform fig.2.3 conține un lanț de cuadripoli simetrici și reciproci de tip \tilde{Y} . Schema este re-

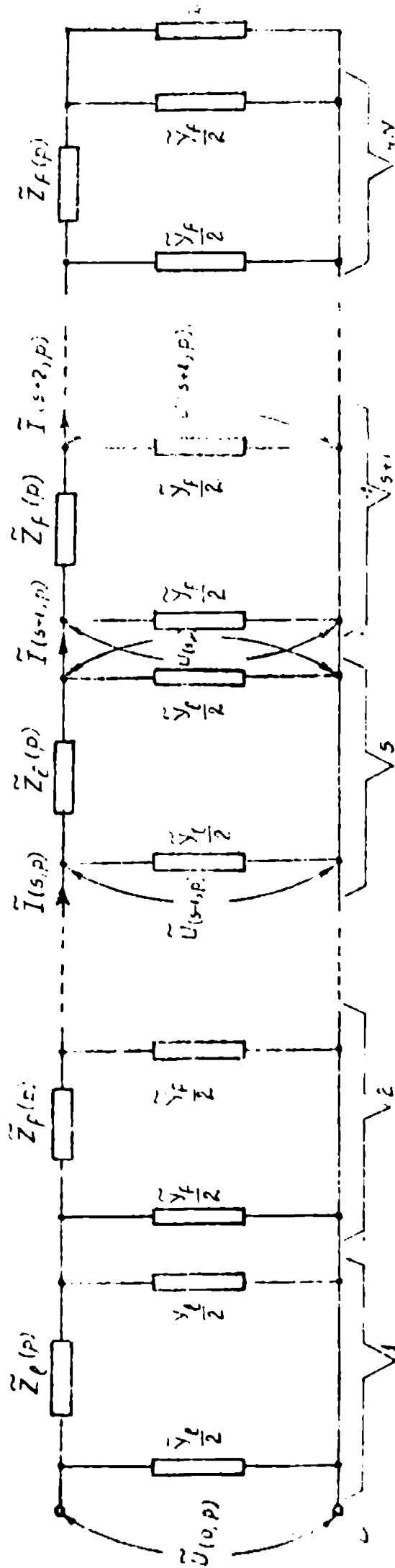


Fig. 2.3. Schema echivalentă în \tilde{I} e M.P. simetrice.

prezentată cu parametrii operaționali:

$$\tilde{Z}_1(p) = \frac{p}{\tilde{R}_{f_1}(p) + \tilde{H}_1(p) + l_1(\sigma^+)} + p^2 k_1(\sigma^+) \quad (2.19)$$

$$\tilde{Y}_1(p) = p g_1(\sigma^+) + g_1(\sigma^+)$$

$$\tilde{Z}_f(p) = \frac{p}{\tilde{R}_f(p) + l_f(\sigma^+)} + p^2 k_f(\sigma^+) \quad (2.20)$$

$$\tilde{Y}_f(p) = p g_f(\sigma^+) + g_f(\sigma^+)$$

lanțul nu este omogen, alternând cuadripolii cu parametri diferiți. Relațiile între mărimile de ieșire și intrare a doi cuadripoli consecutivi S și $S+1$ scrise matricial, sînt:

$$\begin{aligned} \begin{vmatrix} \tilde{U}(S,p) \\ \tilde{I}(S+1,p) \end{vmatrix} &= \|\tilde{M}_S\| \begin{vmatrix} \tilde{U}(S-1,p) \\ \tilde{I}(S,p) \end{vmatrix} \\ \begin{vmatrix} \tilde{U}(S+1,p) \\ \tilde{I}(S+2,p) \end{vmatrix} &= \|\tilde{M}_{S+1}\| \begin{vmatrix} \tilde{U}(S,p) \\ \tilde{I}(S+1,p) \end{vmatrix} \end{aligned} \quad (2.21)$$

în care matriciile caracteristice sînt:

$$\begin{aligned} \|\tilde{M}_S\| &= \begin{vmatrix} \frac{1}{2} \tilde{Z}_1(p) \tilde{Y}_1(p) + 1 & -\tilde{Z}_1(p) \\ -\frac{\tilde{Y}_1(p)}{2} & \frac{\tilde{Z}_1(p) \tilde{Y}_1(p)}{2} + 2 \end{vmatrix} + \frac{1}{2} \tilde{Z}_1(p) \tilde{Y}_1(p) + 1 \\ \|\tilde{M}_{S+1}\| &= \begin{vmatrix} \frac{1}{2} \tilde{Z}_f(p) \tilde{Y}_f(p) + 1 & -\tilde{Z}_f(p) \\ -\frac{\tilde{Y}_f(p)}{2} \left[\frac{\tilde{Z}_f(p) \tilde{Y}_f(p)}{2} + 2 \right] & \frac{1}{2} \tilde{Z}_f(p) \tilde{Y}_f(p) + 1 \end{vmatrix} \end{aligned} \quad (2.22)$$

Dei doi cuadripoli fiind în conexiune lanț, matricea caracteristică a cuadripolului rezultat se obține:

$$\|\tilde{M}_{S+1,S}\| = \|\tilde{M}_{S+1}\| \cdot \|\tilde{M}_S\| \quad (2.23)$$

efectuînd produsul se obține matricea de formă:

$$\|\tilde{M}_{S+1,S}\| = \begin{vmatrix} \tilde{Y}_{11} & \tilde{Y}_{12} \\ \tilde{Y}_{21} & \tilde{Y}_{22} \end{vmatrix} \quad (2.24)$$

În felul acesta s-a redus problema la un lanț omogen de cuadripoli și deci matricea sa caracteristică este:

$$\|\tilde{M}\| = \|\tilde{M}_{S+1,S}\|^{2N} \quad (2.25)$$

unde matricea $\| \tilde{a}_{E+1, S} \|$ corespunde unei jumătăți de bobina, iar N reprezintă numărul de bobine ale MBR. Matricea caracteristică a lanțului rezultă de forma:

$$\| \tilde{a} \| = \begin{vmatrix} \tilde{a}_{11} & \tilde{a}_{12} \\ \tilde{a}_{21} & \tilde{a}_{22} \end{vmatrix} \quad (2.26)$$

Tunocindu-se elementele acestei matrici, se poate determina impedanța caracteristică a lanțului ca fiind:

$$\tilde{z}_u(p) = \frac{1}{2\tilde{a}_{21}} \left[\tilde{a}_{11} - \tilde{a}_{22} \pm \sqrt{(\tilde{a}_{11} - \tilde{a}_{22})^2 + 4\tilde{a}_{12}\tilde{a}_{21}} \right] \quad (2.27)$$

care este de fapt impedanța caracteristică a înfășurării unei faze a MBR simetrice.

Dacă raportăm matricea caracteristică (2.24) la direcțiile sale proprii, ea devine:

$$\| \tilde{a}_{E+1, S} \| = \begin{vmatrix} \tilde{\lambda}_1 & 0 \\ 0 & \tilde{\lambda}_2 \end{vmatrix} \quad (2.28)$$

în care:

$$\tilde{\lambda}_{1,2} = \frac{1}{2} \left[\tilde{\gamma}_{11} + \tilde{\gamma}_{22} \pm \sqrt{(\tilde{\gamma}_{11} + \tilde{\gamma}_{22})^2 + 4\tilde{\gamma}_{12}\tilde{\gamma}_{21}} \right] \quad (2.29)$$

Fiind scema acum de proprietatea matricilor diagonale, matricea caracteristică lanțului va fi:

$$\| \tilde{a} \| = \begin{vmatrix} \tilde{\lambda}_1^{2N} & 0 \\ 0 & \tilde{\lambda}_2^{2N} \end{vmatrix}$$

Dacă mașina are nulul pus la masă prin impedanța sa caracteristică determinată cu relația (2.27), caz ideal, introdus nu apar reflexii pe nul, atunci:

$$\tilde{U}_N(p) = \tilde{\lambda}_1^{2N} \tilde{U}_0(p)$$

în care $\tilde{U}_N(p)$ s-a notat tensiunea nulului înfășurării, iar $\tilde{U}_0(p)$ este tensiunea de intrare.

2.4. MBR testată prin oscilații de relaxare

La o mașină de curent alternativ executată bine, cele trei faze sînt simetrice, ceea ce înseamnă că parametrii sînt aceiași de-a lungul celor trei înfășurări. În procesul de fabricație, însă, pot apărea defecte electrice, datorită unor condiții de ma-

benial sau tehnologic, care au implicații economice mari sub aspect valoric. De asemenea, în exploatare sînt insurte defectele electrice datorită schimbării caracteristicilor materialelor în timp prin îmbătrînire sau prin condiții neprevăzute de mediu precum și datorită unor suprasolicitări electrice de diverse naturi în cadrul funcționării. Un astfel de defect apărut la o anumită bobină schimbă parametrii electrici ai acesteia. De exemplu bobinarea cu un număr diferit de spire modifică în special inductivitatea și respectiv rezistența bobinei respective; scurtcircuit între spire modifică în plus și capacitatea longitudinală K , iar scurtcircuit la masă sau între faze modifică parametrii transversali. Ca urmare și impedanța caracteristică a fazei unde se găsește bobina în cauză, suferă modificări, care sînt influențate de locul pe care-l ocupă bobina defectă în cadrul înfășurării fazei respective: la început, mijloc sau sfîrșit.

Se notează cu $Z_u(p)$ impedanța caracteristică a înfășurării fazei sănătoase, obținută cu relația (2.27). Matricea caracteristică a bobinei defecte se poate cunoaște, fiind:

$$| \tilde{M}_b | = | \tilde{M}_{s+1,s} |^2 \quad (2.30)$$

unde matricea $| \tilde{M}_{s+1,s} |$ se determină cu relația (2.23), dar termenii celor două matrici componente se calculează cu parametrii modificați în mod corespunzător tipului de defect. Matricea caracteristică a întregului lanț, echivalent fazei cu bobină defectă, depinde de ordinea acestei bobine față de începutul înfășurării. Astfel, dacă se consideră că a 0-a bobină este în discuție, atunci matricea caracteristică a fazei este:

$$| \tilde{M}_{d0} | = | \tilde{M}_{s+1,s} |^{2(x-0)} | \tilde{M}_b | | \tilde{M}_{s+1,s} |^{2(e-1)} \quad (2.31)$$

Prin urmare matricea caracteristică a înfășurării defecte depinde atât de felul defectului prin intermediul parametrilor cu care se determină matricea $| \tilde{M}_b |$ cât și de locul defectului prin puterile celor două matrici care intervin în relația (2.31). Obținându-se o matrice de forma:

$$| \tilde{M}_{d0} | = \begin{vmatrix} \tilde{m}_{11d0} & \tilde{m}_{12d0} \\ \tilde{m}_{21d0} & \tilde{m}_{22d0} \end{vmatrix}$$

Impedanța caracteristică se determină cu:

$$\tilde{Z}_{udo}(p) = \frac{1}{2\tilde{a}_{21do}} \left[\tilde{a}_{11do} - \tilde{a}_{22do} \pm \sqrt{(\tilde{a}_{11do} - \tilde{a}_{22do})^2 + 4\tilde{a}_{12do}\tilde{a}_{21do}} \right] \quad (2.32)$$

Se constată, deci, că impedanțele caracteristice $\tilde{Z}_u(p)$ și $\tilde{Z}_{udo}(p)$ diferă atât datorită felului defectului electric cât și datorită locului unde este situat acesta în lungul înfășurării.

Pentru depistarea defectelor electrice de bobinaj ale unui MBR s-a căutat punerea în evidență a diferenței impedanțelor unei înfășurări sănătoase, etalon și a înfășurării defecte. Acest lucru se poate realiza prin crearea a două circuite oscilante:

- unul format dintr-o capacitate C și impedanța \tilde{Z}_u a înfășurării sănătoase,
- celălalt format dintr-o capacitate C identică cu prima și impedanța \tilde{Z}_{udo} a înfășurării presupuse defectă.

Schema de principiu este redată în fig.2.4. Cu întrerupătoarele K_1 și K_2 pe poziția deschisă, prin închiderea întrerupătorului K , cele două capacități identice (perfect echilibrate) se

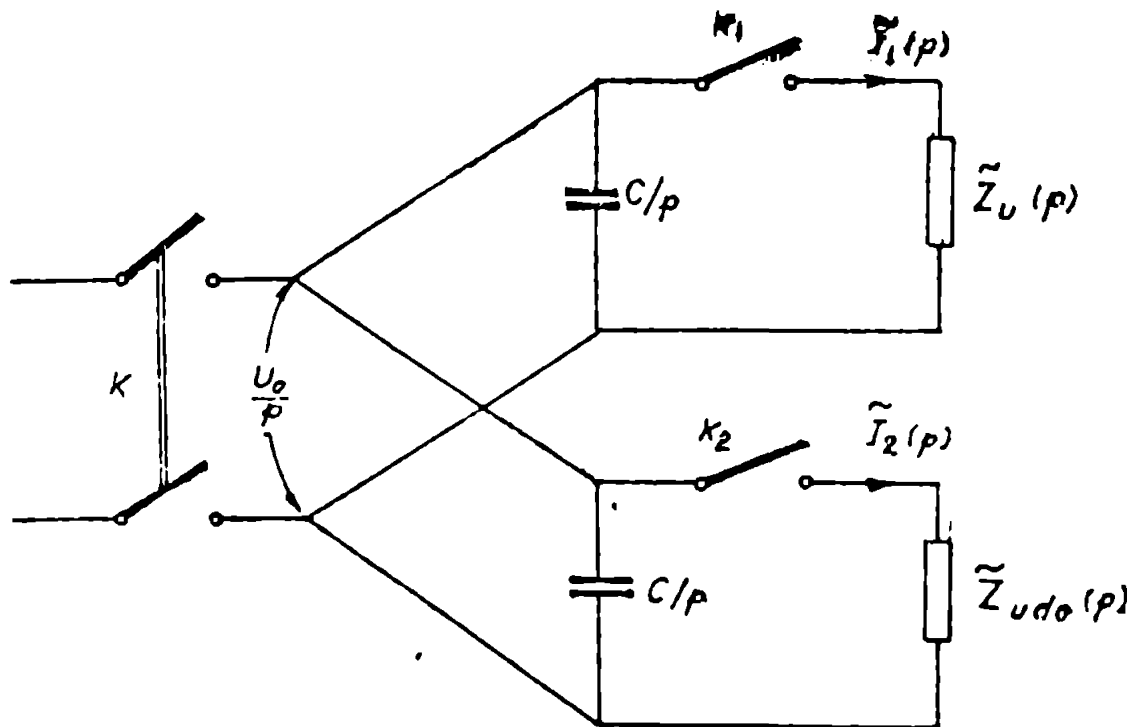


Fig.2.4. Schema de principiu operațională a testării bobinajului MBR prin oscilații de relaxare.

incercă sub aceeași tensiune. În etapa următoare se deschide întrerupătorul K și se închide K_1 și K_2 simultan. Se formează cele două circuite oscilante de descărcare a capacităților C peste impedanțele \tilde{Z}_u și respectiv \tilde{Z}_{udo} . Curenții prin cele două circuite sînt:

$$\tilde{I}_1(p) = \frac{U_0}{p\tilde{Z}_u(p) + \frac{1}{C}} ; \quad (2.33)$$

$$\tilde{I}_2(p) = \frac{U_0}{p\tilde{Z}_{udo}(p) + \frac{1}{C}}$$

și tensiunile la bornele impedanțelor se obțin:

$$\tilde{U}_{Z_u}(p) = \frac{U_0}{p + \frac{1}{C\tilde{Z}_u(p)}} ; \quad (2.34)$$

$$\tilde{U}_{Z_{udo}}(p) = \frac{U_0}{p + \frac{1}{C\tilde{Z}_{udo}(p)}} = \frac{U_0}{p + \frac{1}{C[\tilde{Z}_u(p) + \tilde{\delta}(p)]}}$$

unde $\tilde{\delta}(p)$ reprezintă diferența între cele două impedanțe datorită defectului.

Între cele două circuite există diferența de tensiune:

$$\tilde{U}_{12}(p) = \frac{U_0}{p} \left[\frac{1}{1 + \frac{1}{pC\tilde{Z}_u(p)}} - \frac{1}{1 + \frac{1}{pC[\tilde{Z}_u(p) + \tilde{\delta}(p)]}} \right] \quad (2.35)$$

Această tensiune $\tilde{U}_{12}(p)$ trebuie sesizată chiar și pentru $\tilde{\delta}(p)$ foarte mic (de exemplu cînd una din bobine a fost realizată cu o spirală mai puțin). Trebuie să mărităm oscilațiile tensiunii la maxim, independent de mărimea. S-a constatat și practic că diferențele de tensiune între cele două circuite depind de capacitatea C , existînd o valoare a sa pentru care oscilațiile sînt maxime. Pentru aflarea ei se recurge la procedeul cunoscut de determinare a derivății întîi și egalarea ei cu zero:

$$\frac{\partial \tilde{U}_{12}(p)}{\partial C} = 0 \rightarrow C_{opt} = \frac{1}{p \sqrt{\tilde{Z}_u(p) [\tilde{Z}_u(p) + \tilde{d}(p)]}} \quad (2.36)$$

Deoarece această valoare depinde de defect, se ia o valoare apropiată:

$$C_{opt} = \frac{1}{p \tilde{Z}_u(p)} \quad (2.37)$$

și atunci tensiunea corespunzătoare este:

$$\tilde{U}_{12a}(p) = \frac{U_R}{p} \frac{\tilde{d}(p)}{2 [2\tilde{Z}_u(p) + \tilde{d}(p)]} \quad (2.38)$$

La aparatele construite pentru testarea bobinajelor MBR valoarea lui C_{opt} a fost dedusă prin tâlcuiri, încercând o gamă largă de condensatoare. Graficele obținute se pot vedea în capitolul 4.

Din relația (2.37) se observă că C_{opt} variază de la mașină la mașină depinzând atât de materialul feromagnetic prin intermediul rezistenței echivalente pierderilor în fier, cât și de caracteristicile înfășurării mașinii respective.

Prin urmare, se vor realiza aparate proprii unei anumite game de mașini pentru care este îndeplinită aproximativ condiția (2.37).

Au fost realizate trei aparate portabile [114, 115] pentru testarea bobinajelor MBR care se bazează pe principiul expus mai sus și care sînt prezentate în capitolul 4.

CAPITOLUL 3

PARAMETRII TRANZITORII AI M.S.R.

În studiile efectuate asupra propagării impulsului de tensiune de-a lungul înfășurării unui M.S.R., chiar și cele mai recente [65] s-au considerat parametrii constanți. S-a recurs la această aproximație a parametrilor reali ai mașinii în procesele tranzitorii, pentru simplificare. Datorită, însă existenței ordinatoarelor electronice se poate recurge la așa numiții parametrii tranzitorii ai M.S.R., care sînt funcții de timp.

3.1. Teoria generală a parametrilor tranzitorii

Un grup de cercetători sub conducerea acad. R. Zăduș, a elaborat o teorie de determinare a parametrilor tranzitorii ai circuitelor electrice și a aplicat-o la studiul propagării undelor de tensiune de-a lungul liniilor electrice lungi cu pierderi [91, 92, 93], care constă în următoarele:

În cazul considerării efectului pelicular, densitatea de curent și cîmpul magnetic asociat în conductoare au faze variabile de la punct la punct și diferite une de alta, astfel că fluxul magnetic total al unui circuit închis nu este în fază cu intensitatea curentului și nu mai e proporțională cu aceasta, pentru a se putea defini o inductivitate proprie, constantă a circuitului. Studiul complet și corect al propagării undelor electromagnetice se face prin rezolvarea ecuațiilor lui Maxwell [24, 40, 70, 110, 119, 126, 127]:

$$\begin{aligned} \operatorname{rot} \vec{h} &= \vec{j} + \frac{\partial \vec{e}}{\partial t} \\ \operatorname{rot} \vec{e} &= -\mu \frac{\partial \vec{h}}{\partial t} \\ \operatorname{div}(\epsilon \vec{e}) &= \rho \quad (3.1) \\ \operatorname{div}(\mu \vec{h}) &= 0 \\ \vec{j} &= \sigma \vec{e} \end{aligned}$$

Conform teoriei relaxației, densitatea de volum a sarcinii tinde exponențial către zero în orice porțiune omogenă a unui material de conductibilitate mărginită:

$$\rho_{\nabla}(x, y, z, t) = \rho_{\nabla}(x, y, z, 0) e^{-\frac{t}{\tau}}$$

unde timpul de relaxație $\tau = \frac{\epsilon}{\sigma}$.

Constantele de material au în general valorile [5] :

- pentru conductoare :

$$\tau = (1-5)10^7 \Omega^{-1} m^{-1}, \mu = (1-10^3)\mu_0, \epsilon \approx \epsilon_0$$

- pentru dielectric (aer) :

$$\tau = 10^{-10}-10^{-15} \Omega^{-1} m^{-1}, \mu \approx \mu_0, \epsilon = (1-80)\epsilon_0$$

- pentru material feromagnetic (tablă Fe Arco) :

$$\tau = 9,2 \cdot 10^6 \Omega^{-1} m^{-1}, \mu \approx 4 \cdot 10^{-3} \frac{H}{m}, \epsilon \approx \epsilon_0$$

Se consideră regim ovasistaționar pentru studiul cîmpului electromagnetic, regimul în care $f \ll \frac{1}{2\pi\tau}$. Ori în conductoare și material feromagnetic se observă că $\frac{1}{2\pi\tau} \approx (10^{16}-5 \cdot 10^{17}) Hz$, deci densitatea curenților de deplasare este neglijabilă față de cea a curenților de conducție pentru toată gama de frecvențe utilizată azi în tehnică. În dielectric se poate considera această situație numai la frecvențe nu prea înalte, la care este satisfăcută inegalitatea:

$$\lambda_{min} = \frac{v}{f_{max}} \gg d_{max}$$

în care λ_{min} este cea mai mică lungime de undă, corespunzătoare celei mai înalte frecvențe f_{max} , care poate interveni în problema considerată, v = viteză de propagare a unei electromagnetice, iar d_{max} este grosimea maximă a dielectricului în direcția de propagare.

În consecință se poate presupune regim ovasistaționar, neglijînd densitatea curenților de deplasare, adică efectul variației în timp a cîmpului electric asupra cîmpului magnetic, care rezultă astfel univoc determinat de repartiția instantanee a curenților de conducție numai în material conductor sau semiconductor. În dielectricul condensatoarelor, în general, tre-

bule să se țină seama de existența curentului de deplasare.

În condițiile regimului cvasistacionar, domeniul ce deține elementele de circuit al căror parametri tranzitorii este necesar să fie determinați, se împarte în subdomenii pentru care se scriu ecuațiile ce definesc câmpul electromagnetic, folosind calcule operaționale, care este cea mai potrivită în acest caz. Intensitatea câmpului electric și magnetic sînt funcții atât de timp (de operatorul p în calculul operațional) cît și de punctul M . Deci ecuațiile câmpului sînt:

$$\begin{aligned} \operatorname{rot} \vec{E}(M,p) - (p\epsilon + \sigma) \vec{E}(M,p) &= 0 \\ \operatorname{rot} \vec{H}(M,p) + p\mu \vec{H}(M,p) &= 0 \end{aligned} \quad (3.2)$$

Acste ecuații scrise în condiții inițiale de repaus, se integrează ținînd cont de:

- condițiile de trecere la suprafețele de discontinuitate:

$$(\vec{E}_1)_t = (\vec{E}_2)_t; \quad (\vec{H}_1)_t = (\vec{H}_2)_t$$

- condiții de frontieră:

$$\vec{n} \operatorname{rot} \vec{E}(M_1,p) = 0 \quad \text{unde } M_1 \in \text{suprafeței ce limitează domeniul,}$$

$$\vec{n} \operatorname{rot} \vec{E}(M_2,p) = 0 \quad M_2 \in \text{suprafeței ce limitează domeniul de material conductor,}$$

$$\vec{n} \times \vec{E}(M_3,p) = 0 \quad M_3 \in \text{secțiunii conductoarelor.}$$

- condiții la borne adecvate identificării parametrilor.

Pentru determinarea impedanței operaționale a elementului de circuit, se consideră că la momentul $t=0+$, acesta este parcurs de un curent treaptă unitate, iar pentru determinarea admitanței operaționale - pus sub o tensiune treaptă unitate. Dacă în domeniul respectiv se găsesc mai multe circuite între care există cuplaje inductive și capacitive, condițiile la borne necesare determinării impedanței operaționale proprii și mutuale se exprimă prin:

$$\oint_{\Gamma_i} \vec{H}^k(M,p) d\vec{r} = \frac{1}{p} \delta_{iK} \quad \text{unde } \delta_{iK} = \begin{cases} 1 & \text{pentru } i=K \\ 0 & \text{pentru } i \neq K \end{cases} \quad (3.3)$$

iar pentru determinarea admitanței operaționale proprii și mutuale:

$$\int_{\Gamma_K} \vec{H}^j(u, p) dr = \frac{1}{p} \delta_{jK} \text{ unde } \delta_{jK} = \begin{cases} 1 & \text{pentru } j=K \\ 0 & \text{pentru } j \neq K \end{cases} \quad (3.4)$$

În relația (3.3) Γ_1 reprezintă conturul circuitului 1 la intrarea în domeniul considerat, iar $\vec{H}^K(u, p)$ este intensitatea câmpului magnetic, corespunzătoare alimentării circuitului prin borna K cu un curent treaptă unitate, toate celelalte borne fiind lăsate în gol, în condiții inițiale de repaus.

Γ_K din relația (3.4) reprezintă curba după care se face integrarea între bornele circuitului K, iar $\vec{H}^j(u, p)$ este soluția ecuațiilor (3.2) corespunzătoare alimentării circuitului j cu o tensiune treaptă unitate, toate celelalte circuite fiind scurt-circuitate, în condiții inițiale de repaus.

Rezolvând ecuațiile câmpului electromagnetic (3.2) în condițiile (3.3), se determină impedanța operațională ca fiind definită sub forma:

$$\tilde{Z}_{1K}(p) = p \int_{\Gamma_1} \vec{a}^K(u, p) dr \quad (3.5)$$

Deci $i=K$ se obține impedanța operațională de intrare (proprie) a circuitului 1, iar dacă $i \neq K$ se obține impedanța operațională de transfer (mutuală) dintre circuitul 1 și K.

Pentru determinarea admitanței operaționale, după rezolvarea ecuațiilor (3.2) în condițiile (3.4), se aplică relația de definiție:

$$\tilde{Y}_{Kj}(p) = p \int_{\Gamma_K} \vec{H}^j(u, p) dr \quad (3.6)$$

în care pentru $j=K$ se obține admitanța operațională proprie (de intrare) a circuitului K, iar dacă $j \neq K$ se obține admitanța operațională de transfer (mutuală) dintre circuitul K și j.

Din modul de definire a acestor parametri operaționali se observă că există relația:

$$\sum_{K=1}^n \tilde{Z}_{1K}(p) \tilde{Y}_{Kj}(p) = \delta_{1j} \text{ unde } \delta_{1j} = \begin{cases} 1 & \text{dacă } i=j \\ 0 & \text{dacă } i \neq j \end{cases}$$

adică matricile corespunzătoare sînt inverse.

Observație: Presupunând regimul quasistationar, pentru determinarea parametrilor tranzitorii ai circuitelor inductive, se consideră ecuațiile (3.2) cu $\varepsilon = 0$, iar pentru determinarea parametrilor tranzitorii ai circuitelor capacitive, se consideră, $\mu = 0$.

Dacă s-au determinat acești parametri operaționali ai circuitelor, atunci în condiții inițiale oarecare, prin rezolvarea ecuațiilor cimpului sub formă operațională, mărimile electrice necunoscute ale circuitelor se pot exprima în funcție de cele cunoscute:

$$\begin{aligned} \tilde{U}_1(p) &= \sum_{K=1}^n \tilde{Z}_{1K}(p) \tilde{I}_K(p) + \tilde{U}_1^0(p) \\ \tilde{I}_K(p) &= \sum_{J=1}^n \tilde{Y}_{KJ}(p) \tilde{U}_J(p) + \tilde{I}_K^0(p) \end{aligned} \quad (3.7)$$

unde:

$\tilde{U}_1^0(p)$ - imaginea tensiunii la bornele circuitului 1 determinată de condițiile inițiale de cimp, fiind toate legăturile la borne sînt întrerupte pentru $t > 0$,

$\tilde{I}_K^0(p)$ - imaginea curentului de scurtcircuit din borna circuitului K determinată de condiții inițiale de cimp fiind toate bornele sînt scurtcircuitate pentru $t > 0$.

Ce valori instantanee:

$$z_{1K}(t) = \mathcal{L}^{-1} \left[\frac{\tilde{Z}_{1K}(p)}{p} \right], \quad y_{KJ}(t) = \mathcal{L}^{-1} \left[\frac{\tilde{Y}_{KJ}(p)}{p} \right]$$

și reprezintă funcțiile de răspuns tranzitoriu în regim de mers în gol la alimentare cu curenți treaptă unitate, respectiv în regim de scurtcircuit la alimentare cu tensiune unitate. Aceste funcții depind numai de structura elementelor de circuit, oricare ar fi regimul de funcționare. Ele însă, nu sînt adecvate folosirii practice pentru că includ singularități de tip $\delta(t)$ în origine și totodată nu se reduc la cazul parametrilor obișnuiți în cazul circuitelor filiforme. De aceea se introduc parametrii tranzitorii:

- rezistența tranzitorie:

$$r_{1K}(t) = \mathcal{L}^{-1}[\tilde{R}_{1K}(p)] = \mathcal{L}^{-1}\left[\frac{\tilde{Z}_{1K}(p)}{p} - \lim_{p \rightarrow \infty} \frac{\tilde{Z}_{1K}(p)}{p}\right] \quad (3.8)$$

$$r_{1K}(\infty) = \delta_{1K} r_{10} \quad \text{unde} \quad \delta_{1K} = \begin{cases} 1 & \text{pentru } K=1 \\ 0 & \text{pentru } K \neq 1 \end{cases}$$

în care $r_{10} = \frac{1}{\varepsilon_{10}} = \lim_{p \rightarrow 0} \tilde{Z}_{11}(p) \neq \infty$ și reprezintă rezistența în c.c.

- inductivitatea tranzitorie:

$$l_{1K}(t) = \mathcal{L}^{-1}[\tilde{L}_{1K}(p)] = \mathcal{L}^{-1}\left[\frac{\tilde{Z}_{1K}(p) - r_{10} \delta_{1K}}{p^2}\right] \quad (3.9)$$

$$l_{1K}(\infty) = l_{1Kext} + l_{1Kint}$$

$$l_{1K}(0+) = \lim_{p \rightarrow \infty} \frac{\tilde{Z}_{1K}(p)}{p} = l_{1Kext} \quad (3.10)$$

- conductența tranzitorie:

$$g_{KJ}(t) = \mathcal{L}^{-1}[\tilde{G}_{KJ}(p)] = \mathcal{L}^{-1}\left[\frac{\tilde{Y}_{KJ}(p)}{p} - \lim_{p \rightarrow \infty} \frac{\tilde{Y}_{KJ}(p)}{p}\right] \quad (3.11)$$

$$g_{KJ}(\infty) = \delta_{KJ} g_{K0} \quad \delta_{KJ} = \begin{cases} 1 & \text{dacă } K=J \\ 0 & \text{dacă } K \neq J \end{cases}$$

$g_{K0} = \frac{1}{r_{K0}} = \lim_{p \rightarrow 0} \tilde{Y}_{KK}(p) \neq 0$ și reprezintă conductența în c.c.

- capacitatea tranzitorie:

$$c_{KJ}(t) = \mathcal{L}^{-1}[\tilde{C}_{KJ}(p)] = \mathcal{L}^{-1}\left[\frac{\tilde{Y}_{KJ}(p) - g_{K0} \delta_{KJ}}{p^2}\right] \quad (3.12)$$

$$c_{KJ}(\infty) = c_{stat.}$$

$$c_{KJ}(0+) = \lim_{p \rightarrow \infty} \frac{\tilde{Y}_{KJ}(p)}{p} \quad (3.13)$$

Între impedanța operațională, admitanța operațională și imaginile parametrilor tranzitoriei există relațiile:

$$\tilde{Z}_{1K}(p) = p l_{1K}(0+) + p \tilde{R}_{1K}(p) = \delta_{1K}^2 K_0 + p^2 \tilde{L}_{1K}(p) \quad (3.14)$$

$$\tilde{Y}_{KJ}(p) = p C_{KJ}(0+) + p \tilde{G}_{KJ}(p) = \delta_{KJ}^2 K_0 + p^2 \tilde{C}_{KJ}(p)$$

În cazul unui element inductiv, în regim ovasistationar inductivitatea inițială este egală cu inductivitatea exterioară, determinabilă în ipoteza unei conductivități infinite a conductorului, iar capacitățile inițiale și conductanțele inițiale sînt nule.

În concluzie, dacă se determină parametrii tranzitorii ai elementelor de circuit, prin rezolvarea generală a ecuațiilor câmpului electromagnetic pentru cazul concret și în condițiile arătate, se poate apoi studia modul de variație a tensiunilor și curenților chiar în situația unor circuite electrice cu ramificații prin scrierea corespunzătoare a ecuațiilor lui Kirchoff.

3.2. Determinarea mărimilor de stare ale câmpului electromagnetic într-o MBR într-un regim ovasistationar

3.2.1. Potențialul magnetic vector produs de un conductor

Se consideră o MBR idealizată cu p_p perechi de pali, caracterizată prin următoarele:

- are circuitul magnetic nesaturat de permeabilitate magnetică μ ,

- solenoida de creștere se consideră concentrată la mijlocul acestora și respectiv la suprafața ei,

- se neglijează influența creșterii asupra formei circuitului magnetic. Această ipoteză făcută este însă conformă cu realitatea pentru mașinile foarte mari la care înfășurarea statorică este o înfășurare "de întrefier" [69],

- se neglijează influența rotorului care în general este blindat de câmpul produs de curenții turbionari puternici induși în procesele tranzitorii, lucru arătat anterior ca fiind și specificat în literatura de specialitate,

- câmpul electromagnetic se consideră plan-paralel, neglijîndu-se efectele de capăt.

- regiul este evastatlonar, deci se neglijează curenții de deplasare,

- condițiile inițiale sînt nule.

Presupunind inițial o cressătură a cărei solenoidie este concentrată în punctul P, conform fig.3.1, se urmărește determinarea potențialului magnetic vector \vec{A} . Cu ajutorul acestuia se

poate apoi defini câmpul magnetic și electric în orice punct al domeniului considerat [9, 117].

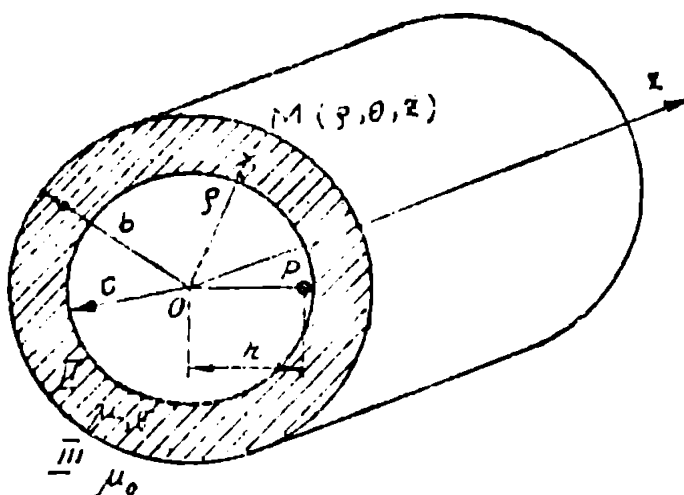


Fig.3.1. Schița MBR pentru calculul potențialului magnetic vector.

Ținând cont de configurația geometrică, se va face uz de sistemul de coordonate cilindrice (ρ, θ, z) cu axe coîncizând cu axa mașinii, iar originea unghiului electric θ corespunzând cu poziția punctului P.

Prin particularitatea problemei și a ipotezelor făcute, potențialul magnetic vector \vec{A} , precum și intensitatea câmpului electric \vec{E} depind numai de coordonatele ρ , θ și de timp și sînt dirijate după axa oz . Liniiile de câmp magnetic, însă, se găsesc în planul ρ , θ și intensitatea acestuia depinde de coordonatele ρ , θ și de timp.

Ecuația care definește câmpul electromagnetic este [117] :

$$\Delta \vec{a} = -\mu \vec{j}_p \quad (3.15)$$

unde: Δ - laplacianul,

\vec{j}_p - densitatea momentană a curentului de conducție.

Avînd în vedere că: $\vec{j}_p = \nabla \bar{e}$, iar $\bar{e} = \frac{\partial \bar{e}}{\partial t}$, ecuația (3.15) devine:

$$\Delta \vec{a} = \mu \nabla \frac{\partial \bar{e}}{\partial t} = 0$$

Intrucît studiul se face pentru regia variabil cresscare se aplică calculul operațional. Ca atare, ecuația anterioară

transpusă în operațional pe baza transformării Laplace, este:

$$\Delta \tilde{A}(p, \rho, \theta) - p\mu\sigma \tilde{A}(p, \rho, \theta) = 0 \quad (3.16)$$

Notând:

$$\gamma^2 = p\mu\sigma \quad (3.17)$$

se obține:

$$\Delta \tilde{A} - \gamma^2 \tilde{A} = 0 \quad (3.18)$$

Scrind laplacianul în coordonate cilindrice, ecuația (3.18) devine:

$$\frac{\partial^2 \tilde{A}}{\partial \rho^2} + \frac{1}{\rho} \frac{\partial \tilde{A}}{\partial \rho} + \frac{1}{\rho^2} \frac{\partial^2 \tilde{A}}{\partial \theta^2} - \gamma^2 \tilde{A} = 0 \quad (3.19)$$

ecuație de tip Laplace, în care \tilde{A} este imaginea operațională a potențialului magnetic vector.

Soluția ecuației (3.19) este reprezentată de produsul lui Laplace: $\tilde{A} = R(\rho) T(\theta)$, ale cărui componente sînt soluții ale ecuațiilor de o singură variabilă [7] :

$$\frac{d^2 R}{d\rho^2} + \frac{1}{\rho} \frac{dR}{d\rho} - R(\gamma^2 + \frac{n^2}{\rho^2}) = 0 \quad (3.20)$$

$$\frac{1}{T} \frac{d^2 T}{d\theta^2} = -n^2 \quad (3.21)$$

Ecuația (3.20) admite soluții de forma:

$$R_n = R_{n1} I_n(\gamma\rho) + R_{n2} K_n(\gamma\rho) \quad (3.22)$$

în care R_{n1} și R_{n2} sînt constante de integrare, iar $I_n(\gamma\rho)$ și $K_n(\gamma\rho)$ reprezintă funcțiile Bessel modificate de ordinul n .

Ecuația (3.21) admite soluții de forma:

$$T_0(\theta) = T_{01} + T_{02}\theta \quad (3.23)$$

$$T_n(\theta) = T_{n1} \cos n\theta + T_{n2} \sin n\theta$$

unde T_{01} , T_{02} , T_{n1} și T_{n2} sînt de asemenea constante de integrare.

Ecuația (3.20) și soluția (3.22) obțin forme particulare pentru domeniul I și III (fig.3.1). Modul de determinare a potențialului magnetic vector pe cele trei domenii (fig.3.1) este dat

În Anexa 1. Potențialul magnetic vector în domeniul I este:

$$\begin{aligned} \tilde{A}_1(\rho, \varphi, \theta) = \tilde{I}(\rho) \left[A_0^{(1)} + \sum_{n=1}^{\infty} A_n^{(1)} \rho^n \cos n\theta - \frac{\mu_0}{2\tilde{I}} \ln \rho + \right. \\ \left. + \frac{\mu_0}{2\tilde{I}} \sum_{n=1}^{\infty} \frac{1}{n} \left(\frac{\rho}{\rho_0}\right)^n \cos n\theta \right] \end{aligned} \quad (3.24)$$

Potențialul magnetic vector în domeniul II, reprezentat de miezul feromagnetic static are expresia:

$$\begin{aligned} \tilde{A}_2(\rho, \varphi, \theta) = \tilde{I}(\rho) \left\{ A_0^{(2)} I_0(r\varphi) + B_0^{(2)} K_0(r\varphi) + \right. \\ \left. + \sum_{n=1}^{\infty} [A_n^{(2)} I_n(r\varphi) + B_n^{(2)} K_n(r\varphi)] \cos n\theta \right\} \end{aligned} \quad (3.25)$$

Potențialul magnetic vector în domeniul III, reprezentat de exteriorul mașinii este:

$$\begin{aligned} \tilde{A}_3(\rho, \varphi, \theta) = \tilde{I}(\rho) \left\{ A_0^{(3)} + \sum_{n=1}^{\infty} A_n^{(3)} \rho^{-n} \cos n\theta - \frac{\mu_0}{2\tilde{I}} \ln \rho + \right. \\ \left. + \frac{\mu_0}{2\tilde{I}} \sum_{n=1}^{\infty} \frac{1}{n} \left(\frac{\rho}{\rho_0}\right)^n \cos n\theta \right\} \end{aligned} \quad (3.26)$$

În expresiile (3.24), (3.25) și (3.26) s-au făcut, conform Anexei 1, notațiile:

$$\begin{aligned} A_0^{(1)} &= \frac{\mu}{2\tilde{I}r_{ob}} \cdot \frac{[aK_0'(r_c) - bK_0'(r_b)] I_0(r_c) - [cI_0'(r_c) - bI_0'(r_b)] K_0(r_c)}{I_0'(r_c) K_0'(r_b) - I_0'(r_b) K_0'(r_c)} + \\ &+ \frac{\mu_0}{2\tilde{I}} \ln \rho \\ A_0^{(2)} &= \frac{\mu}{2\tilde{I}r_{ob}} \cdot \frac{aK_0'(r_c) - bK_0'(r_b)}{I_0'(r_c) K_0'(r_b) - I_0'(r_b) K_0'(r_c)} \\ A_0^{(3)} &= \frac{\mu}{2\tilde{I}r_{ob}} \cdot \frac{[cK_0'(r_c) - bK_0'(r_b)] I_0(r_b) - [cI_0'(r_c) - bI_0'(r_b)] K_0(r_b)}{I_0'(r_c) K_0'(r_b) - I_0'(r_b) K_0'(r_c)} + \\ &+ \frac{\mu_0}{2\tilde{I}} \ln \rho \end{aligned}$$

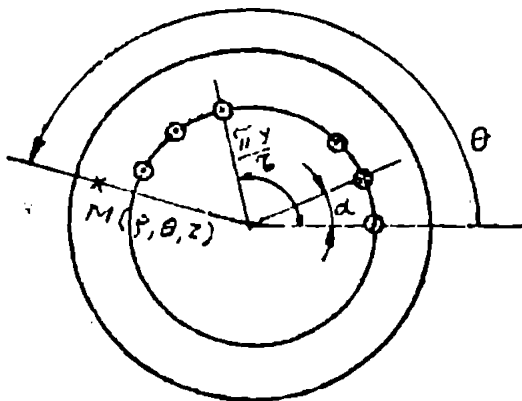
$$\begin{aligned}
 I_0^{(2)} &= - \frac{\mu}{2\pi r_0 b} \cdot \frac{eI^0(r_0) - bI^0(r_b)}{I_0^0(r_0)K_0^0(r_b) - I_0^0(r_b)K_0^0(r_0)} \\
 A_n^{(1)} &= \frac{\mu}{\pi r_0^{n+1}} \cdot \frac{I_n(r_0) \cdot S_{1n}(r_b) - K_n(r_0) P_{1n}(r_b)}{P_{1n}(r_b) \cdot S_{2n}(r_0) - P_{2n}(r_0) S_{1n}(r_b)} - \frac{\mu_0}{2\pi n r_0^n} \\
 A_n^{(2)} &= \frac{\mu}{\pi r_0} \cdot \frac{S_{1n}(r_b)}{P_{1n}(r_b) S_{2n}(r_0) - P_{2n}(r_0) S_{1n}(r_b)} \quad (3.27) \\
 B_n^{(2)} &= - \frac{\mu}{\pi r_0} \cdot \frac{P_{1n}(r_b)}{P_{1n}(r_b) S_{2n}(r_0) - P_{2n}(r_0) S_{1n}(r_b)} \\
 A_n^{(3)} &= \frac{\mu b^n}{\pi r_0} \cdot \frac{I_n(r_b) S_{1n}(r_b) - K_n(r_b) \cdot P_{1n}(r_b)}{P_{1n}(r_b) \cdot S_{2n}(r_0) - P_{2n}(r_0) S_{1n}(r_b)} - \frac{\mu_0 r_0^n}{2\pi n}
 \end{aligned}$$

in care P_{1n} , S_{1n} , P_{2n} , S_{2n} sînt notații conform (A1.7).

3.2.2. Potențialul magnetic vector produs de înfășurarea MBR

Se consideră acum o înfășurare monofazată repartizată pe circumferința interioară a statorului compusă din bobine cu deschidere egală și formate din S_p spire, q bobine pe pol și fază,

p_p perechi de poli, iar α este unghiul electric între bobinele consecutive (fig.3.2).



Potențialul magnetic vector pe domenii produs de o spirală cu scurtarea γ - y este:

$$\begin{aligned}
 \tilde{A}_{1E} = \tilde{I}(p) \sum_{n=1}^{\infty} A_n^{(1)} \rho^n [\cos n\theta - \\
 - \cos n(\theta - \frac{\gamma y}{r})] + \frac{\mu_0 \tilde{I}(p)}{2\pi} \sum_{n=1}^{\infty} \\
 \cdot \frac{1}{n} \left(\frac{\rho}{r}\right)^n [\cos n\theta - \cos n(\theta - \frac{\gamma y}{r})]
 \end{aligned}$$

Fig.3.2. Reprezentarea bobinilor MBR.

Cu factorul de scurtare:

$$K_{yn} = \sin n \frac{\gamma y}{2\tau} \quad (3.28)$$

se obține:

$$\tilde{A}_{1c} = -\tilde{I}(p) \sum_{n=1}^{\infty} K_{yn} \rho^n \left[2A_n^{(1)} + \frac{\mu_0}{\gamma n c^n} \right] \sin n \left(\theta - \frac{\gamma y}{2\tau} \right) \quad (3.29)$$

Proceedind analog pentru domeniul II și III, se găsesc:

$$\tilde{A}_{2s} = -2\tilde{I}(p) \sum_{n=1}^{\infty} K_{yn} \left[A_n^{(2)} I_n(r\rho) + B_n^{(2)} K_n(r\rho) \right] \sin n \left(\theta - \frac{\gamma y}{2\tau} \right) \quad (3.30)$$

$$\tilde{A}_{3c} = -\tilde{I}(p) \sum_{n=1}^{\infty} K_{yn} \rho^{-n} \left[2A_n^{(3)} + \frac{\mu_0 c^n}{\gamma n} \right] \sin n \left(\theta - \frac{\gamma y}{2\tau} \right) \quad (3.31)$$

Pentru o bobină:

$$\tilde{A}_{1b} = \varepsilon_b \tilde{A}_{1c}; \quad \tilde{A}_{2b} = \varepsilon_b \tilde{A}_{2s}; \quad \tilde{A}_{3b} = \varepsilon_b \tilde{A}_{3c}.$$

Pentru q bobini decalate cu unghiul $\alpha = 2\gamma p_p / N_p$, unde N_p este numărul de creștături ale mașinii:

$$\tilde{A}_{1q} = \varepsilon_b \tilde{I}(p) \sum_{n=1}^{\infty} K_{yn} \rho^n \left[2A_n^{(1)} + \frac{\mu_0}{\gamma n c^n} \right] \sum_{m=0}^{q-1} \sin n \left(\theta - \frac{\gamma y}{2\tau} - m\alpha \right) =$$

$$= q \varepsilon_b \tilde{I}(p) \sum_{n=1}^{\infty} K_{yn} K_{qn} \rho^n \left[2A_n^{(1)} + \frac{\mu_0}{\gamma n c^n} \right] \sin n \left(\theta - \frac{\gamma y}{2\tau} - \frac{q-1}{2} \alpha \right)$$

$$\tilde{A}_{2q} = 2q \varepsilon_b \tilde{I}(p) \sum_{n=1}^{\infty} K_{yn} K_{qn} \left[A_n^{(2)} I_n(r\rho) + B_n^{(2)} K_n(r\rho) \right] \sin n \left(\theta - \frac{\gamma y}{2\tau} - \frac{q-1}{2} \alpha \right)$$

$$\tilde{A}_{3q} = q \varepsilon_b \tilde{I}(p) \sum_{n=1}^{\infty} K_{yn} K_{qn} \rho^{-n} \left[2A_n^{(3)} + \frac{\mu_0 c^n}{\gamma n} \right] \sin n \left(\theta - \frac{\gamma y}{2\tau} - \frac{q-1}{2} \alpha \right)$$

unde:

$$K_{qn} = \frac{\sin nq \frac{\alpha}{2}}{q \sin n \frac{\alpha}{2}} \quad (3.32)$$

Dacă mașina are p_p perechi de poli, grupul de bobine de la al i-lea pol face un unghi electric de 2γ față de originea coordonatei θ . Atunci potențialul magnetic produs de toată înfășurarea fazei respective este:

$$\begin{aligned} \tilde{A}_{1r} &= q \tilde{I}(p) \sum_{n=1}^{\infty} K_{yn} K_{qn} \rho^n \left[2A_n^{(1)} + \frac{K_0}{\gamma_{ac}^n} \right] \sum_{l=0}^{p-1} \sin n(\theta - \frac{\gamma}{2l} - \frac{q-1}{2} \alpha - 2l\gamma) = \\ &= n \tilde{I}(p) \sum_{n=1}^{\infty} K_{yn} K_{qn} \rho^n \left[2A_n^{(1)} + \frac{K_0}{\gamma_{ac}^n} \right] \sin n(\theta - \frac{\gamma}{2l} - \frac{q-1}{2} \alpha) \end{aligned} \quad (3.33)$$

$$\tilde{A}_{2r} = 2n \tilde{I}(p) \sum_{n=1}^{\infty} K_{yn} K_{qn} \left[A_n^{(2)} I_n(r\rho) + B_n^{(2)} K_n(r\rho) \right] \sin n(\theta - \frac{\gamma}{2l} - \frac{q-1}{2} \alpha) \quad (3.34)$$

$$\tilde{A}_{3r} = n \tilde{I}(p) \sum_{n=1}^{\infty} K_{yn} K_{qn} \rho^{-n} \left[2A_n^{(3)} + \frac{K_0 \rho^n}{\gamma_n} \right] \sin n(\theta - \frac{\gamma}{2l} - \frac{q-1}{2} \alpha) \quad (3.35)$$

în care: n - numărul de spire pe fază MBR.

În cazul unei mașini m -fazate, înfășurarea fazei de ordinul λ , cu n spire, parcursă de curentul $\tilde{I}_\lambda(p)$, produce într-un punct $M(\rho, \theta, z)$ potențialul magnetic vector:

- dacă punctul M este situat în domeniul I:

$$\begin{aligned} \tilde{A}_{1\lambda}(\rho, \rho, \theta) &= n \tilde{I}_\lambda(p) \sum_{n=1}^{\infty} K_{yn} K_{qn} \rho^n \left(2A_n^{(1)} + \frac{K_0}{\gamma_{ac}^n} \right) \sin n \left[\theta - \right. \\ &\quad \left. - \frac{\gamma}{2l} - \frac{q-1}{2} \alpha - (\lambda-1) \frac{2\gamma}{n} \right] \end{aligned} \quad (3.36)$$

- dacă punctul M este situat în domeniul II:

$$\begin{aligned} \tilde{A}_{2\lambda}(\rho, \rho, \theta) &= 2n \tilde{I}_\lambda(p) \sum_{n=1}^{\infty} K_{yn} K_{qn} \left[A_n^{(2)} I_n(r\rho) + B_n^{(2)} K_n(r\rho) \right] \sin n \left[\theta - \right. \\ &\quad \left. - \frac{\gamma}{2l} - \frac{q-1}{2} \alpha - (\lambda-1) \frac{2\gamma}{n} \right] \end{aligned} \quad (3.37)$$

- dacă punctul M este situat în domeniul III:

$$\begin{aligned} \tilde{A}_{3\lambda}(\rho, \rho, \theta) &= n \tilde{I}_\lambda(p) \sum_{n=1}^{\infty} K_{yn} K_{qn} \rho^{-n} \left(2A_n^{(3)} + \frac{K_0 \rho^n}{\gamma_n} \right) \sin n \left[\theta - \right. \\ &\quad \left. - \frac{\gamma}{2l} - \frac{q-1}{2} \alpha - (\lambda-1) \frac{2\gamma}{n} \right] \end{aligned} \quad (3.38)$$

Potențialul magnetic vector dat de înfășurarea polifazăată simetrică a MBR, fazele fiind parcursă de un sistem de m curenți carecare este:

$$\tilde{A}_{1n}(p, \rho, \theta) = \sum_{\lambda=1}^n \tilde{A}_{1\lambda}(p, \rho, \theta)$$

$$\tilde{A}_{2n}(p, \rho, \theta) = \sum_{\lambda=1}^n \tilde{A}_{2\lambda}(p, \rho, \theta) \quad (3.39)$$

$$\tilde{A}_{3n}(p, \rho, \theta) = \sum_{\lambda=1}^n \tilde{A}_{3\lambda}(p, \rho, \theta)$$

În expresiile de mai sus coeficienții $A_n^{(1)}$, $A_n^{(2)}$, $B_n^{(2)}$, $A_n^{(3)}$ sînt dați de relațiile (3.27).

3.2.3. Intensitatea câmpului electric și magnetic produs de înfășurarea M R

Ecuațiile lui Maxwell în regiile cvasistacionare și condițiile inițiale de repaus în operațional au forma (3.2). Avînd în vedere și relația de definiție a potențialului magnetic vector: $\vec{B} = \text{rot } \vec{A}$, iar $\vec{H} = \vec{B}/\mu$, rezultă că:

$$\vec{E}(p, \rho, \theta) = -\text{grad } \tilde{A}(p, \rho, \theta) \quad (3.40)$$

$$\vec{H}(p, \rho, \theta) = \frac{1}{\mu} \text{rot } \tilde{A}(p, \rho, \theta) \quad (3.40')$$

Intensitatea câmpului electric este dirijată după axa oz (axa mașinii) și cea produsă de faza λ pe cele trei domenii este:

$$\begin{aligned} \tilde{E}_{1\lambda} = \rho n \tilde{I}_\lambda(p) \sum_{n=1}^{\infty} K_{yn} K_{qn} \rho^{-n} (2A_n^{(1)} + \frac{\mu_0}{\mu_{oc} n}) \sin n[\theta - \\ - \frac{\pi x}{2\tau} - \frac{\rho-1}{2} \alpha - (\lambda-1) \frac{2\tau}{n}] \end{aligned} \quad (3.41)$$

$$\begin{aligned} \tilde{E}_{2\lambda} = 2\rho n \tilde{I}_\lambda(p) \sum_{n=1}^{\infty} K_{yn} K_{qn} [A_n^{(2)} I_n(r\rho) + B_n^{(2)} K_n(r\rho)] \sin n[\theta - \\ - \frac{\pi x}{2\tau} - \frac{\rho-1}{2} \alpha - (\lambda-1) \frac{2\tau}{n}] \end{aligned} \quad (3.42)$$

$$\begin{aligned} \tilde{E}_{3\lambda} = \rho n \tilde{I}_\lambda(p) \sum_{n=1}^{\infty} K_{yn} K_{qn} \rho^{-n} (2A_n^{(3)} + \frac{\mu_0}{\mu_n}) \sin n[\theta - \\ - \frac{\pi x}{2\tau} - \frac{\rho-1}{2} \alpha - (\lambda-1) \frac{2\tau}{n}] \end{aligned} \quad (3.43)$$

Intensitatea cîmpului magnetic nu are componentă după axa mașinii, ci numai componentă radială și tangențială:

$$\begin{aligned} \tilde{H}_{1\lambda\varphi} = & -\frac{2N}{\mu_0} \tilde{I}_\lambda(\rho) \sum_{n=1}^{\infty} K_{yn} K_{qn} \rho^{n-1} \left(nA_n^{(1)} + \frac{\mu_0}{2\mu_0^n} \right) \cos n \left[\theta - \frac{Y}{2\tau} - \right. \\ & \left. - \frac{\alpha-1}{2} \alpha - (\lambda-1) \frac{2Y}{n} \right] \end{aligned} \quad (3.44)$$

$$\begin{aligned} \tilde{H}_{1\lambda\theta} = & \frac{2N}{\mu_0} \tilde{I}_\lambda(\rho) \sum_{n=1}^{\infty} K_{yn} K_{qn} \rho^{n-1} \left(nA_n^{(1)} + \frac{\mu_0}{2\mu_0^n} \right) \sin n \left[\theta - \frac{Y}{2\tau} - \right. \\ & \left. - \frac{\alpha-1}{2} \alpha - (\lambda-1) \frac{2Y}{n} \right] \end{aligned} \quad (3.45)$$

$$\begin{aligned} \tilde{H}_{2\lambda\varphi} = & -\frac{2N}{\mu_0} \tilde{I}_\lambda(\rho) \sum_{n=1}^{\infty} \alpha K_{yn} K_{qn} \left[A_n^{(2)} I_n(r\varphi) + B_n^{(2)} K_n(r\varphi) \right] \cos n \left[\theta - \right. \\ & \left. - \frac{Y}{2\tau} - \frac{\alpha-1}{2} \alpha - (\lambda-1) \frac{2Y}{n} \right] \end{aligned} \quad (3.46)$$

$$\begin{aligned} \tilde{H}_{2\lambda\theta} = & \frac{2N}{\mu} \tilde{I}_\lambda(\rho) \sum_{n=1}^{\infty} K_{yn} K_{qn} \left[A_n^{(2)} I_n(r\varphi) + B_n^{(2)} K_n(r\varphi) \right] \sin n \left[\theta - \right. \\ & \left. - \frac{Y}{2\tau} - \frac{\alpha-1}{2} \alpha - (\lambda-1) \frac{2Y}{n} \right] \end{aligned} \quad (3.47)$$

$$\begin{aligned} \tilde{H}_{3\lambda\varphi} = & -\frac{2N}{\mu_0} \tilde{I}_\lambda(\rho) \sum_{n=1}^{\infty} K_{yn} K_{qn} \rho^{-n-1} \left(nA_n^{(3)} + \frac{\mu_0 \rho^n}{2\mu} \right) \cos n \left[\theta - \right. \\ & \left. - \frac{Y}{2\tau} - \frac{\alpha-1}{2} \alpha - (\lambda-1) \frac{2Y}{n} \right] \end{aligned} \quad (3.48)$$

$$\begin{aligned} \tilde{H}_{3\lambda\theta} = & -\frac{2N}{\mu_0} \tilde{I}_\lambda(\rho) \sum_{n=1}^{\infty} K_{yn} K_{qn} \rho^{-n-1} \left(nA_n^{(3)} + \frac{\mu_0 \rho^n}{2\mu} \right) \sin n \left[\theta - \right. \\ & \left. - \frac{Y}{2\tau} - \frac{\alpha-1}{2} \alpha - (\lambda-1) \frac{2Y}{n} \right] \end{aligned} \quad (3.49)$$

Analizînd aceste expresii se constată că în M&B există ambele componente ale cîmpului magnetic, deși în teoria clasică se consideră numai componenta radială. În realitate există și componenta tangențială deoarece aceasta contribuie la transferul de putere dintr-o parte în alta a mașinii.

3.2.4. Cazul particular al M&R în regim sinusoidal

Ce o verificare a corectitudinii expresiilor obținute, se încearcă particularizarea lor pentru regimul sinusoidal.

Presupunând faza de ordinul λ , străbătută de curentul sinusoidal în timp:

$$i_\lambda = I_{ef} \sqrt{2} \sin\left[\omega t - (\lambda-1) \frac{2\tilde{Y}}{\alpha}\right],$$

în complex se obține:

$$\underline{i}_\lambda = I_{ef} \sqrt{2} e^{-j(\lambda-1) \frac{2\tilde{Y}}{\alpha}}.$$

Se vor urmări mărimile de stare ale câmpului electromagnetic numai în domeniul I, întrucât concluziile sînt aceleași și pentru celelalte domenii. Se trec deci expresiile (3.36), (3.41), (3.44) și (3.45) în complex prin înlocuirea $p=j\omega$. Se obține:

$$\underline{A}_{1\lambda} = -2NI_{ef} \sqrt{2} \sum_{n=1}^{\infty} K_{yn} K_{qn} \rho^n \left| \Lambda_n^{(1)} + \frac{\mu_p}{2\tilde{Y}_{ncn}} \right| e^{j\left[\gamma_n - (\lambda-1) \frac{2\tilde{Y}}{\alpha}\right]} \cdot \sin n\left[\theta - \frac{\tilde{Y}}{2\tilde{Y}} - \frac{\alpha-1}{2} \alpha - (\lambda-1) \frac{2\tilde{Y}}{\alpha}\right]$$

unde:

$$\gamma_n = \arcsin \frac{I_n \left(\Lambda_n^{(1)} + \frac{\mu_p}{\tilde{Y}_{ncn}} \right)}{\left| \Lambda_n^{(1)} + \frac{\mu_p}{\tilde{Y}_{ncn}} \right|}$$

Expresia momentană a potențialului magnetic vector este componenta imaginară a lui $\underline{A}_{1\lambda} e^{j\omega t}$:

$$e_{1\lambda}(t, \rho, \theta) = -NI_{ef} \sqrt{2} \sum_{n=1}^{\infty} K_{yn} K_{qn} \rho^n \left| 2\Lambda_n^{(1)} + \frac{\mu_p}{\tilde{Y}_{ncn}} \right| \cdot \sin\left[\omega t + \gamma_n - (\lambda-1) \frac{2\tilde{Y}}{\alpha}\right] \cdot \sin n\left[\theta - \frac{\tilde{Y}}{2\tilde{Y}} - \frac{\alpha-1}{2} \alpha - (\lambda-1) \frac{2\tilde{Y}}{\alpha}\right]$$

Transformând produsul de sinusuri și notând $K_{wn} = K_{yn} K_{qn}$, rezultă:

$$e_{1n}(t, \rho, \theta) = -\sqrt{2} N I_{ef} \sum_{n=1}^{\infty} K_{wn} \rho^n \left| A_n^{(1)} + \frac{\mu_n}{2\gamma n \omega^n} \left[\cos \left[n \left(\theta - \frac{\gamma y}{2\gamma} - \frac{\alpha-1}{2} \omega t - \gamma_n - \frac{2\gamma}{n} (\lambda-1)(n-1) \right) - \cos \left[n \left(\theta - \frac{\gamma y}{2\gamma} - \frac{\alpha-1}{2} \omega t + \gamma_n - \frac{2\gamma}{n} (\lambda-1)(n+1) \right) \right] \right]$$

Dacă mașina este m-fazată:

$$e_{1n}(t, \rho, \theta) = -m\sqrt{2} N I_{ef} \sum_{n=1}^{\infty} K_{wn} \rho^n \left| A_n^{(1)} + \frac{\mu_n}{2 n \omega^n} \left\{ K_{BI_n} \cos \left[n \left(\theta - \frac{\gamma y}{2\gamma} - \frac{\alpha-1}{2} \omega t - \gamma_n - (n-1)(n-1) \frac{\gamma}{n} \right) - K_{BII_n} \cos \left[n \left(\theta - \frac{\gamma y}{2\gamma} - \frac{\alpha-1}{2} \omega t + \gamma_n - (n-1)(n+1) \frac{\gamma}{n} \right) \right] \right\} \right. \quad (3.50)$$

unde:

$$K_{BI_n} = \frac{\sin n(n-1) \frac{\gamma}{n}}{n \sin(n-1) \frac{\gamma}{n}}$$

$$K_{BII_n} = \frac{\sin n(n+1) \frac{\gamma}{n}}{n \sin(n+1) \frac{\gamma}{n}}$$

Intrucît n = număr întreg, numărătorii lui K_{BI_n} și K_{BII_n} sînt întotdeauna nuli. Prin urmare acești factori sînt diferiți de zero numai dacă și numitorii sînt nuli, adică pentru:

$$n = Kn+1 \quad \text{se obține} \quad K_{BI_n} = 1 \quad \text{și} \quad K_{BII_n} = 0$$

$$\text{și } n = Kn-1 \quad \text{se obține} \quad K_{BI_n} = 0 \quad \text{și} \quad K_{BII_n} = 1.$$

Procedînd analog și cu expresiile (3.41), (3.44) și (3.45) rezultă în final expresiile momentane ale intensității cimpului

electrice, componentei radiale și respectiv tangențiale ale intensității cîmpului magnetic:

$$\begin{aligned}
 e_{1n}(t, \rho, \theta) = n \sqrt{2} \omega N I_{ef} \sum_{n=1}^{\infty} K_{wn} \rho^n \left| A_n^{(1)} + \frac{\mu_0}{2 \sqrt{1 - \alpha^2}} \right| \cdot \left\{ K_{BI_n} \sin n \left[\theta - \right. \right. \\
 \left. \left. - \frac{\sqrt{1 - \alpha^2}}{2} - \frac{\alpha}{2} \right] - \omega t - \varphi_n - (n-1)(n-1) \frac{\sqrt{1 - \alpha^2}}{2} \right] + K_{BII_n} \sin n \left[\theta - \right. \\
 \left. - \frac{\sqrt{1 - \alpha^2}}{2} - \frac{\alpha}{2} \right] + \omega t + \varphi_n - (n-1)(n+1) \frac{\sqrt{1 - \alpha^2}}{2} \left. \right\} \quad (3.51)
 \end{aligned}$$

$$\begin{aligned}
 h_{1n\rho}(t, \rho, \theta) = \frac{n \sqrt{2}}{\mu_0} N I_{ef} \sum_{n=1}^{\infty} n K_{wn} \rho^{n-1} \left| A_n^{(1)} + \frac{\mu_0}{2 \sqrt{1 - \alpha^2}} \right| \cdot K_{BI_n} \\
 \sin \left[n \left(\theta - \frac{\sqrt{1 - \alpha^2}}{2} - \frac{\alpha}{2} \right) - \omega t - \varphi_n - (n-1)(n-1) \frac{\sqrt{1 - \alpha^2}}{2} \right] - K_{BII_n} \\
 \sin \left[n \left(\theta - \frac{\sqrt{1 - \alpha^2}}{2} - \frac{\alpha}{2} \right) + \omega t + \varphi_n - (n-1)(n+1) \frac{\sqrt{1 - \alpha^2}}{2} \right] \left. \right\} \quad (3.52)
 \end{aligned}$$

$$\begin{aligned}
 h_{1n\theta}(t, \rho, \theta) = \frac{n \sqrt{2}}{\mu_0} N I_{ef} \sum_{n=1}^{\infty} n K_{wn} \rho^{n-1} \left| A_n^{(1)} + \frac{\mu_0}{2 \sqrt{1 - \alpha^2}} \right| \cdot \left\{ K_{BI_n} \right. \\
 \cos \left[n \left(\theta - \frac{\sqrt{1 - \alpha^2}}{2} - \frac{\alpha}{2} \right) - \omega t - \varphi_n - (n-1)(n-1) \frac{\sqrt{1 - \alpha^2}}{2} \right] - K_{BII_n} \\
 \cos \left[n \left(\theta - \frac{\sqrt{1 - \alpha^2}}{2} - \frac{\alpha}{2} \right) + \omega t + \varphi_n - (n-1)(n+1) \frac{\sqrt{1 - \alpha^2}}{2} \right] \left. \right\} \quad (3.53)
 \end{aligned}$$

După cum se constată din analiza expresiilor obținute, toate trei mărimile prin care este definit cîmpul electromagnetic reprezintă în regiile sinusoidal două sume infinite de unde rotitoare, unele în sens direct și altele în sens contrar succesiunii fasciilor. Aceste unde există numai pentru $n = Km \pm 1$.

Rezultatul obținut corespunde teoriei clasice care arată că solenoidul produsă de o înfășurare n -fazată este sumă de unde rotitoare în sens direct, peste care se suprapune o sumă de unde rotitoare în sens invers [33]. Studiul făcut, însă, generalizează problema, arătând clar că undele rotitoare ale cîmpului fie într-un sens, fie în celălalt sens au amplitudinile și defazațiile dependente de coordonata ρ , adică de raza pe care se desfășoară.

șansă, cit și de densitatea de existență la care se referă.

3.3. Determinarea valorii constante a potențialului magnetic vector produs de o bobină parcursă de un curent trecut unitate

Potențialul magnetic vector produs de o bobină în miezul ABH, exprimat în operațional este:

$$\tilde{A}_{2b} = - \frac{2 \mu \tilde{I}(p) \varepsilon_b}{r r_0} \sum_{n=1}^{\infty} K_{jn} \frac{S_{1n}(r_b) I_n(r_f) - P_{1n}(r_b) K_n(r_f)}{P_{1n}(r_b) S_{2n}(r_0) - P_{2n}(r_0) S_{1n}(r_b)} \cdot \sin n(\theta - \frac{rY}{2r}) \quad (3.54)$$

unde notațiile corespund cu (A1.7).

Notându-se numărătorul fracției cu P_{1n} , iar numitorul cu P_{2n} , și făcînd uz de formulele de recurență referitoare la funcțiile Bessel modificate de ordinul n [7]:

$$\begin{aligned} I_n'(z) &= -\frac{n}{z} I_n(z) + I_{n-1}(z) \\ K_n'(z) &= -\frac{n}{z} K_n(z) - K_{n-1}(z) \end{aligned} \quad (3.55)$$

se obține:

$$P_{1n} = \left[-\frac{n}{r_b} K_n(r_b) - K_{n-1}(r_b) + \frac{\mu n}{\mu_0 r_b} K_n(r_b) \right] I_n(r_f) - \left[-\frac{n}{r_b} I_n(r_b) + I_{n-1}(r_b) + \frac{\mu n}{\mu_0 r_b} I_n(r_b) \right] K_n(r_f)$$

$$P_{2n} = \left[-\frac{n}{r_b} I_n(r_b) + I_{n-1}(r_b) + \frac{\mu n}{\mu_0 r_b} I_n(r_b) \right] \left[-\frac{n}{r_0} K_n(r_0) - K_{n-1}(r_0) - \frac{\mu n}{\mu_0 r_0} K_n(r_0) \right] - \left[-\frac{n}{r_0} I_n(r_0) + I_{n-1}(r_0) - \frac{\mu n}{\mu_0 r_0} I_n(r_0) \right] \cdot \left[-\frac{n}{r_b} K_n(r_b) - K_{n-1}(r_b) + \frac{\mu n}{\mu_0 r_b} K_n(r_b) \right]$$

Decorese $\gamma = \sqrt{\rho\mu\sigma}$ și μ respectiv γ referindu-se la material feromagnetic sînt mari, iar ρ este de asemenea mare întrucît studiază procese tranzitorii, se poate face uz de dezvoltarea asimptotică a funcțiilor Bessel modificate:

$$I_n(z) \approx \frac{e^z}{\sqrt{2\gamma z}} \quad \text{și} \quad K_n(z) \approx \sqrt{\frac{\pi}{2z}} e^{-z} \quad (3.56)$$

Polocind totodată și expresiile:

$$\operatorname{sh} x = \frac{e^x - e^{-x}}{2} \quad \text{și} \quad \operatorname{ch} x = \frac{e^x + e^{-x}}{2}$$

se obține:

$$F_{1n} = \frac{\rho}{r^2} \left(\frac{\rho}{b\sqrt{b\varrho}} - \frac{\mu}{\mu_0 b\sqrt{b\varrho}} \right) \operatorname{sh} \gamma(b-\varrho) - \frac{1}{r\sqrt{b\varrho}} \operatorname{ch} \gamma(b-\varrho)$$

$$F_{2n} = \frac{1}{r\sqrt{cb}} \left(\frac{\rho^2}{r^2 cb} - \frac{\mu^2 \rho^2}{\mu_0^2 r^2 cb} - 1 \right) \operatorname{sh} \gamma(b-c) + \frac{\rho}{r^2 \sqrt{cb}}$$

$$\cdot \left(\frac{1}{b} - \frac{1}{c} - \frac{\mu}{\mu_0 b} - \frac{\mu}{\mu_0 c} \right) \operatorname{ch} \gamma(b-c)$$

În aceste condiții, potențialul magnetic vector este:

$$\begin{aligned} \tilde{A}_{2b} = & - \frac{2\mu_0 \rho \tilde{I}(\rho)}{\gamma} \sqrt{\frac{\rho}{\varrho}} \sum_{n=1}^{\infty} K_{yn} \sin n\left(\theta - \frac{\tilde{I}y}{2\tilde{r}}\right) \cdot \\ & \cdot \frac{n\left(1 - \frac{\mu}{\mu_0}\right) \operatorname{sh} \gamma(b-\varrho) - b\gamma \operatorname{ch} \gamma(b-\varrho)}{\left(n^2 - \frac{\mu^2 \rho^2}{\mu_0^2} - r^2 cb\right) \operatorname{sh} \gamma(b-c) - nr\left(\frac{\mu \rho}{\mu_0} + \frac{\mu b}{\mu_0} + b-c\right) \operatorname{ch} \gamma(b-c)} \end{aligned} \quad (3.57)$$

Știind că:

$$\begin{aligned} \operatorname{sh} x &= -j \sin jx \\ \operatorname{ch} x &= \cos jx \end{aligned} \quad (3.58)$$

și făcînd schimbarea de variabilă:

$$x = (b-c) \sqrt{-\rho\mu\sigma} \quad (3.59)$$

rezultă:

$$\tilde{A}_{2b} = - \frac{2\mu_0 \rho \tilde{I}(\rho)}{\gamma} \sqrt{\frac{\rho}{\varrho}} \sum_{n=1}^{\infty} K_{yn} \sin n\left(\theta - \frac{\tilde{I}y}{2\tilde{r}}\right) \frac{F_1(x)}{F_2(x)} \quad (3.60)$$

in care:

$$F_1(x) = \frac{A}{x} \left(\frac{\mu}{\mu_0} - 1 \right) \sin \left[\frac{b-l}{b-c} x \right] + \frac{b}{b-c} \cos \left[\frac{b-l}{b-c} x \right] \quad (3.61)$$

$$F_2(x) = \left[\frac{A^2}{x} \left(\frac{\mu^2}{\mu_0^2} - 1 \right) - \frac{ab}{(b-c)^2} x \right] \sin x + n \left[\frac{\mu}{\mu_0} \cdot \frac{b+c}{b-c} + 1 \right] \cos x$$

Se poate afla originalul potențialului magnetic vector cînd bobina este parcursă de un curent treaptă unitate. Imaginea unei funcții treaptă unitate este:

$$\tilde{I}(p) = \frac{1}{p}$$

In această situație se poate scrie:

$$\tilde{A}_{2b} = - \frac{2\mu S_b}{\gamma} \sqrt{\frac{a}{\rho}} \sum_{n=1}^{\infty} K_{yn} \sin n \left(\theta - \frac{\gamma y}{2l} \right) \cdot \frac{F_1(p)}{p F_2(p)}$$

unde $F_1(p)$ și $F_2(p)$ au expresiile de mai sus (3.59) și x este funcția de p (3.59). Se observă că $\tilde{A}_{2b}(p)$ este o sumă de cîtură a două funcții fără zerouri comune. In acest caz pentru aflarea originalului expresiei operaționale $\tilde{A}_{2b}(p)$ se aplică formula generalizată a dezvoltării a lui Heaviside:

$$a_{2b}(t) = - \frac{2\mu S_b}{\gamma} \sqrt{\frac{a}{\rho}} \sum_{n=1}^{\infty} K_{yn} \sin n \left(\theta - \frac{\gamma y}{2l} \right) \left[\frac{F_1(0)}{F_2(0)} + \sum_{k=1}^{\infty} \frac{F_1(p_k)}{p_k F_2'(p_k)} \cdot p_k^t \right]$$

unde p_k reprezintă rădăcinile nenule ale ecuației:

$$F_2(p) = 0$$

această ecuație arată astfel:

$$\left[\frac{A^2}{x} \left(\frac{\mu^2}{\mu_0^2} - 1 \right) - \frac{ab}{(b-c)^2} x \right] \sin x + n \left[\frac{\mu}{\mu_0} \cdot \frac{b+c}{b-c} + 1 \right] \cos x = 0 \quad (3.62)$$

care este o ecuație transcendentă. Rezolvarea ei se poate face numai numeric și este dată în anexa 2. Se aproximează valorile rădăcinilor cu: $x_k \approx K\gamma$.

Derivata $F_2'(p)$ este:

$$i_2(\rho) = \frac{x}{2\rho} \left\{ \left[-\frac{A^2}{x^2} \left(\frac{\mu^2}{\mu_0^2} - 1 \right) - \frac{b^2}{(b-c)^2} - \frac{a\mu}{\mu_0} \cdot \frac{b+c}{b-c} - a \right] \sin x + \right. \\ \left. + \left[\frac{A^2}{x} \left(\frac{\mu^2}{\mu_0^2} - 1 \right) - \frac{ba}{(b-c)^2} x \right] \cos x \right\}$$

$$\frac{F_1(0)}{F_2(0)} = \frac{n \left(\frac{\mu}{\mu_0} - 1 \right) \frac{b-c}{b-c} + \frac{b}{b-c}}{n^2 \left(\frac{\mu^2}{\mu_0^2} - 1 \right) + n \frac{\mu}{\mu_0} \cdot \frac{b+c}{b-c} + n}$$

Deci potențialul magnetic vector produs în miezul feromagnetic al M&B de către o bobină parcursă de un curent treaptă unitate, ce mărire dependentă de timp, este:

$$a_{2b}(t, \rho, \theta) = -\frac{2\mu_0 b}{\gamma} \sqrt{\frac{a}{\rho}} \sum_{n=1}^{\infty} K_{yn} \left\{ \frac{n \left(\frac{\mu}{\mu_0} - 1 \right) \frac{b-c}{b-c} + \frac{b}{b-c}}{n^2 \left(\frac{\mu^2}{\mu_0^2} - 1 \right) + n \frac{\mu(b+c)}{\mu_0(b-c)} + n} \right. \\ \left. - 2 \sum_{k=1}^{\infty} \frac{1}{x_k} \cdot \frac{f_1(x_k)}{f_2(x_k)} e^{-\frac{x_k^2}{\tau} t} \right\} \sin n \left(\theta - \frac{\sqrt{a} y}{2\tau} \right) \quad (3.63)$$

unde:

$$f_1(x_k) = \frac{A}{x_k} \left(\frac{\mu}{\mu_0} - 1 \right) \sin \left(\frac{b-c}{b-c} x_k \right) + \frac{b}{b-c} \cos \left(\frac{b-c}{b-c} x \right) \quad (3.64)$$

$$f_2(x_k) = \left[\frac{A^2}{x_k^2} \left(\frac{\mu^2}{\mu_0^2} - 1 \right) + \frac{ba}{(b-c)^2} + \frac{a\mu}{\mu_0} \cdot \frac{b+c}{b-c} + n \right] \sin x_k - \\ - \left[\frac{A^2}{x_k} \left(\frac{\mu^2}{\mu_0^2} - 1 \right) - \frac{ba}{(b-c)^2} x_k \right] \cos x_k$$

$$\tau_p = \mu \tau (b-c)^2 - \text{unită constantă de timp a miezului feromagnetic.} \quad (3.65)$$

Analizând expresia (3.63), pe baza rezultatelor obținute în Anexa 2, se constată că în cazul parcurgerii bobinei M&B de un curent treaptă unitate, potențialul magnetic vector are vales-

sea zero la $t=0$ și tinde spre valoarea de regim permanent la $t=\infty$. Din punct de vedere fizic rezultatul este explicabil, deoarece s-a iaput un salt brusc de curent într-un element inductiv și datorită inerției electromagnetice câmpul din miezul feromagnetic este nul la $t=0$ în condiții inițiale nule, ca apoi să crească treptat spre valoarea de c.c.

3.4. Rezistența tranzitorie echivalentă pierderilor în fier în procese tranzitorii rapide

În valori momentane, relația de legătură între intensitatea câmpului electric și potențialul magnetic vector este:

$$e = - \frac{\partial a}{\partial t}$$

Atunci intensitatea câmpului electric în miezul feromagnetic creat de bobina parcursă de curentul treseptă unitate este:

$$e_{2b}(t, \varphi, \theta) = \frac{4S_b}{\gamma r(b-c)^2} \sqrt{\frac{c}{\rho}} \sum_{n=1}^{\infty} K_{jn} \sum_{k=1}^{\infty} x_k \frac{f_1(x_k)}{f_2(x_k)} e^{-\frac{x_k^2}{\gamma^2} t} \cdot \sin n(\theta - \frac{\gamma x}{2\gamma}) \tag{3.66}$$

La calcularea pierderilor în fier prin curenți turbionari, se ține seama că, în sens axial, miezul este format din tole izolate între ele. Deci lungimea totală axială l a fierului din care s-a scâzut eventualele canale de ventilație existente, se înmulțește cu factorul de umplere k_{fe} , obținându-se: $l_{fe} = k_{fe} \cdot l$. Valoarea lui k_{fe} depinde de lățimea tolelor și de materialul de izolație a acestora. În aceste condiții se pot determina pierderile în fier prin curenți turbionari, ce fiind:

$$P_{feb} = P_p \gamma l_{fe} \int_0^b \int_0^{2\gamma} e_{2b}^2 d\varphi d\theta \tag{3.67}$$

Având în vedere că $\int_0^{2\gamma} \sin n_1 \gamma \sin n_2 \gamma d\gamma = 0$ pentru

$n_1 \neq n_2$, pierderile în fier sînt egale cu suma pierderilor determinate de fiecare termen în parte cînd $n \in [1, \infty]$. De știe că:

$$\int_0^{2\pi} \sin^2 n\gamma d\gamma = \pi$$

Prin urmare pierderile în fier determinate de terminal de ordinul n , sînt:

$$P_{feb(n)} = \frac{16 p_0 l_f \delta_c^2}{\pi \Gamma(b-c)^2} K_{yn}^2 \int_0^b \left[\sum_{k=1}^{\infty} x_k \frac{f_1(x_k, \rho)}{\sqrt{\rho} f_2(x_k)} e^{-\frac{x_k^2}{\rho}} \right]^2 d\rho \quad (3.63)$$

unde $f_1(x_k, \rho)$ și $f_2(x_k, \rho)$ au expresiile (3.64), respectiv (3.65).

Dezvoltînd pătratul sumei, se obține:

$$P_{feb(n)} = \frac{16 p_0 l_f \delta_c^2}{\pi \Gamma(b-c)^2} K_{yn}^2 \int_c^b \sum_{k, l=1}^{\infty} x_k x_l \frac{f_1(x_k, \rho) \cdot f_1(x_l, \rho)}{\rho \cdot f_2(x_k) \cdot f_2(x_l)} \cdot e^{-\frac{x_k^2 + x_l^2}{\rho}} d\rho \quad (3.64)$$

unde:

$$\begin{aligned} \frac{f_1(x_k, \rho) f_1(x_l, \rho)}{\rho} &= \left[\frac{a^2}{x_k x_l} \left(\frac{a}{b} - 1 \right)^2 + \frac{b^2}{(b-c)^2} \right] \left[\cos b \frac{x_k - x_l}{b-c} \cdot \right. \\ &\cdot \frac{\cos \frac{x_k - x_l}{b-c} \rho}{\rho} + \sin b \frac{x_k - x_l}{b-c} \cdot \left. \frac{\sin \frac{x_k - x_l}{b-c} \rho}{\rho} \right] - \left[\frac{a^2}{x_k x_l} \left(\frac{a}{b} - 1 \right)^2 - \right. \\ &- \frac{b^2}{(b-c)^2} \left[\cos b \frac{x_k + x_l}{b-c} \cdot \frac{\cos \frac{x_k + x_l}{b-c} \rho}{\rho} + \sin b \frac{x_k + x_l}{b-c} \cdot \frac{\sin \frac{x_k + x_l}{b-c} \rho}{\rho} \right] + \\ &+ \frac{ab}{b-c} \left(\frac{a}{b} - 1 \right) \left(\frac{1}{x_k} + \frac{1}{x_l} \right) \left[\sin b \frac{x_k + x_l}{b-c} \cdot \frac{\cos \frac{x_k + x_l}{b-c} \rho}{\rho} - \cos b \frac{x_k + x_l}{b-c} \cdot \right. \\ &\cdot \left. \frac{\sin \frac{x_k + x_l}{b-c} \rho}{\rho} \right] + \frac{ab}{b-c} \left(\frac{a}{b} - 1 \right) \left(\frac{1}{x_k} - \frac{1}{x_l} \right) \left[\sin b \frac{x_k - x_l}{b-c} \cdot \frac{\cos \frac{x_k - x_l}{b-c} \rho}{\rho} - \right. \\ &- \left. \cos b \frac{x_k - x_l}{b-c} \cdot \frac{\sin \frac{x_k - x_l}{b-c} \rho}{\rho} \right] \end{aligned} \quad (3.70)$$

Înlocuind expresia (3.70) în (3.69), se observă că apar integrale transcendentale de forma:

$$\int_c^b \frac{\sin \eta \rho}{\rho} d\rho = \int_c^\infty \frac{\sin \eta \rho}{\rho} d\rho - \int_b^\infty \frac{\sin \eta \rho}{\rho} d\rho = \text{si}(b\eta) - \text{si}(c\eta) \quad (3.71)$$

sau

$$\int_c^b \frac{\cos \eta \rho}{\rho} d\rho = \int_c^\infty \frac{\cos \eta \rho}{\rho} d\rho - \int_b^\infty \frac{\cos \eta \rho}{\rho} d\rho = \text{ci}(b\eta) - \text{ci}(c\eta) \quad (3.72)$$

în care $\text{si}(x)$ și $\text{ci}(x)$ reprezintă funcțiile sinus și cosinus integral, definite prin [98] :

$$\text{si}(x) = - \int_x^\infty \frac{\sin t}{t} dt = - \frac{i}{2} + \int_0^x \frac{\sin t}{t} dt \quad (3.73)$$

$$\text{ci}(x) = - \int_x^\infty \frac{\cos t}{t} dt = C + \ln x + \int_0^x \frac{\cos t - 1}{t} dt \quad (3.74)$$

unde C este constanta lui Euler:

$$C = 0,57721566490\dots$$

Luând în considerație aceste notații, pierderile în fier corespunzătoare unei bobine din mașină, se poate scrie:

$$P_{\text{feb}} = \frac{16 p_p l_f e^{-2} c}{\sqrt{\pi} (b-c)^2} \sum_{n=1}^{\infty} \frac{1}{\sqrt{n}} \sum_{k,i=1}^{\infty} x_k^{2i-1} \frac{f_3(x_k, x_i)}{f_2(x_k) \cdot f_2(x_i)} \cdot \frac{x_k^2 + x_i^2}{\sqrt{f}} \quad (3.75)$$

unde:

$$f_3(x_k, x_i) = \left[\frac{a^2}{x_k x_i} \left(\frac{x_k}{b} - 1 \right)^2 + \frac{b^2}{(b-c)^2} \right] \left[\cos b \frac{x_k - x_i}{b-c} \left(\text{ci} b \frac{x_k - x_i}{b-c} - \text{ci} 0 \frac{x_k - x_i}{b-c} \right) + \sin b \frac{x_k - x_i}{b-c} \left(\text{si} b \frac{x_k - x_i}{b-c} - \text{si} 0 \frac{x_k - x_i}{b-c} \right) \right] - \left[\frac{a^2}{x_k x_i} \cdot \right]$$

$$\begin{aligned}
 & \cdot \left(\frac{\mu}{\mu_0} - 1 \right)^2 - \frac{b^2}{(b-c)^2} \left[\cos b \frac{x_K + x_1}{b-c} \left(\cos b \frac{x_K + x_1}{b-c} - \cos c \frac{x_K + x_1}{b-c} \right) + \right. \\
 & + \sin b \frac{x_K + x_1}{b-c} \left(\sin b \frac{x_K + x_1}{b-c} - \sin c \frac{x_K + x_1}{b-c} \right) \left. \right] + \frac{2b}{b-c} \left(\frac{\mu}{\mu_0} - 1 \right) \left(\frac{1}{x_K} + \frac{1}{x_1} \right) \cdot \\
 & \cdot \left[\sin b \frac{x_K + x_1}{b-c} \left(\cos b \frac{x_K + x_1}{b-c} - \cos c \frac{x_K + x_1}{b-c} \right) - \cos b \frac{x_K + x_1}{b-c} \left(\sin b \frac{x_K + x_1}{b-c} - \right. \right. \\
 & \left. \left. - \sin c \frac{x_K + x_1}{b-c} \right) \right] + \frac{2b}{b-c} \left(\frac{\mu}{\mu_0} - 1 \right) \left(\frac{1}{x_K} + \frac{1}{x_1} \right) \left[\sin b \frac{x_K - x_1}{b-c} \left(\cos b \frac{x_K - x_1}{b-c} - \right. \right. \\
 & \left. \left. - \cos c \frac{x_K - x_1}{b-c} \right) - \cos b \frac{x_K - x_1}{b-c} \left(\sin b \frac{x_K - x_1}{b-c} - \sin c \frac{x_K - x_1}{b-c} \right) \right] \quad (3.76)
 \end{aligned}$$

Se constată că pierderile în fier depind atât de ordinal armonicii de spațiu n cât și de ordinalul K, i . Cu creșterea lui n ele scad, iar cu creșterea lui K, i se măresc foarte mult, însă se amortizează extrem de repede. Se constată că la $t=0, P_{fe}$ sînt infinite, ceea ce este perfect justificat prin aceea că ele sînt condiționate de o variație instantanee (un salt) a curentului prin bobină. La $t=\infty, P_{fe}$ sînt nule; într-adevăr în c.c. $P_{fe}=0$.

Avînd stabilită relația (3.75), se pot determina pierderile în fier produse de o înfășurare monofazată parcursă de un curent treaptă unitate:

$$\begin{aligned}
 P_{fer} &= \frac{16 p_0 l_{fe} N^2 c}{\pi \sigma (b-c)^2} \sum_{n=1}^{\infty} K_{yn}^2 K_{qn}^2 \sum_{K, i=1}^{\infty} x_K x_1 \frac{f_3(x_K, x_1)}{f_2(x_K) f_2(x_1)} \cdot \\
 & \quad \cdot \frac{x_K^2 + x_1^2}{r} \cdot \quad (3.77)
 \end{aligned}$$

unde $f_3(x_K, x_1)$ are expresia (3.76), iar f_2 expresia (3.64).

În cazul studiat, cînd bobina este parcursă de un curent treaptă unitate nu are loc un proces de magnetizare ciclică a miezului feromagnetic și prin urmare pierderile prin histeresia sînt nule. În aceste condiții, pentru stabilirea rezistenței echivalente pierderilor în fier se iau în considerație numai

cele datorate curentilor turbionari. Curentul total echivalent curentilor turbionari din miez determinat de curentul treaptă unitate dintr-o bobină, este:

$$i_{feb} = p_p \sigma \int_c^b \int_0^{\gamma} e_{2b} d\varphi d\theta$$

Folosind expresia (3.66) a lui e_{2b} și ținând cont de faptul că:

$$\int_0^{\gamma} \frac{\sin \eta \varphi}{\sqrt{\varphi}} d\varphi = \int_0^{\gamma} \frac{\cos \eta \varphi}{\sqrt{\varphi}} d\varphi = \sqrt{\frac{\gamma}{2\eta}}$$

se obține în final:

$$i_{feb} = \frac{2 \sqrt{2\sigma} p_p s_p}{(b-c) \sqrt{\gamma (b-c)}} \sum_{n=1}^{\infty} K_{yn} \sqrt{1-K_{yn}^2} \sum_{k=1}^{\infty} \frac{\sqrt{x_k}}{f_2(x_k)} \left[\frac{A}{x_k} \left(\frac{A}{x_k} - 1 \right) \cdot \left(\sin x_k - \cos x_k + 1 \right) + \frac{b}{b-c} \left(\sin x_k + \cos x_k - 1 \right) \right] e^{-\frac{x_k^2}{\gamma} t} \quad (3.78)$$

În cazul unei înfășurări monofazate parcursă de un curent treaptă unitate rezultă:

$$i_{ref} = \frac{2 \sqrt{2\sigma} p_p N}{(b-c) \sqrt{\gamma (b-c)}} \sum_{n=1}^{\infty} K_{yn} K_{qn} \cos n \left(\frac{\gamma}{2} + \frac{\alpha-1}{2} \alpha \right) \sum_{k=1}^{\infty} \frac{\sqrt{x_k}}{f_2(x_k)} \cdot \left[\frac{A}{x_k} \left(\frac{A}{x_k} - 1 \right) \left(\sin x_k - \cos x_k + 1 \right) + \frac{b}{b-c} \left(\sin x_k + \cos x_k - 1 \right) \right] e^{-\frac{x_k^2}{\gamma} t} \quad (3.79)$$

Ținând pierderile în fier și curentul echivalent care le determină, se poate stabili o rezistență echivalentă transitorie:

$$R_{fo}(t) = \frac{p_{fo}(t)}{i_{fo}^2(t)}$$

Astfel rezistența echivalentă pierderilor în fier corespunzătoare unei bobine din mașină este:

$$r_{feb}(t) = \frac{P_{feb}(t)}{I_{feb}^2(t)} \quad (3.80)$$

in care pierderile și curentul echivalent sînt date de (3.75), respectiv (3.76). Rezistența echivalentă pierderilor în fier corespunzătoare unei înfășurări monofazate este:

$$r_{fef}(t) = \frac{P_{fef}(t)}{I_{fef}^2(t)} \quad (3.81)$$

in care pierderile și curentul echivalent sînt date de (3.77) și (3.79). Această ultimă rezistență se poate folosi în cazul studierii unui proces tranzitoriu la o MBR fără a se urmări fenomenul de propagare.

3.5. Pierderile în fier prin curenți turbionari la rețea sinusoidală și MBR

În cazul în care înfășurările MBR sînt percorse de un sistem de n curenți sinusoidali simetrici de forma:

$$i_\lambda = I_{ef} \sqrt{2} \sin[\omega t - (\lambda-1) \frac{2Y}{\alpha}] ,$$

pe baza aceluiași raționament ca și în subcapitolul 3.2.4 se ajunge la expresia potențialului magnetic vector în domeniul II ca mărime momentană, sub forma:

$$a_{2n}(t, \varphi, \theta) = -2n I_{ef} \sqrt{2} \sum_{\lambda=1}^n \sum_{\alpha=1}^{\infty} K_{y\alpha} K_{z\alpha} |A_\alpha^{(2)} I_\alpha(\gamma\varphi) + B_\alpha^{(2)} K_\alpha(\gamma\varphi)| \cdot \sin[\omega t + \gamma_{\lambda\alpha} - (\lambda-1) \frac{2Y}{\alpha}] \sin \alpha [\theta - \frac{Y}{2\gamma} - \frac{\alpha-1}{2} \alpha - (\lambda-1) \frac{2Y}{\alpha}] \quad (3.82)$$

Modulul din expresie se determină folosindu-se proprietățile funcțiilor Bessel modificate, respectiv expresia (3.57) în care se pune $\gamma = \sqrt{j\omega\mu\sigma}$. Se face uz în calcul de identități cunoscute:

$$\sqrt{j} = j^{1/2} \text{ iar } \operatorname{sh} jx = j \sin x, \quad \operatorname{ch} jx = \cos x$$

Se obține în final modulul respectiv:

$$d = \frac{\mu \sqrt{\sigma}}{\gamma \sqrt{\rho}} \cdot \frac{\alpha \left(\frac{\mu}{\mu_0} - 1 \right) \sin \beta (b - c) + b \beta \cos \beta (b - c)}{\sqrt{f(\alpha, \beta)}} \quad (3.83)$$

în care:

$$f(\alpha, \beta) = \alpha^2 \left[\alpha \left(\frac{\mu}{\mu_0} - 1 \right) \sin \beta (b - c) + \beta \left(\mu \frac{c + b}{\mu_0} - b - c \right) \cos \beta (b - c) \right]^2 + \beta^4 b^2 c^2 \sin^2 \beta (b - c) \quad (3.84)$$

unde s-a notat: $\beta = \sqrt{\omega \mu \sigma}$

Defazajul γ_{fn} corespunde mării complexe ce se găsește între bare în expresia (3.02), deci:

$$\gamma_{fn} = \arctg \frac{I_n^{(2)} [A_n^{(2)} I_n(r\beta) + B_n^{(2)} K_n(r\beta)]}{\operatorname{Re} [A_n^{(2)} I_n(r\beta) + B_n^{(2)} K_n(r\beta)]}$$

sau

$$\gamma_{fn} = - \frac{\beta^2 b c \sin \beta (b - c)}{\alpha^2 \left(\frac{\mu}{\mu_0} - 1 \right) \sin \beta (b - c) + \alpha \beta \left(\mu \frac{c + b}{\mu_0} - b - c \right) \cos \beta (b - c)} \quad (3.85)$$

tunci intensitatea cîmpului electric este:

$$e_{\underline{en}}(t, r, \theta) = 2 \omega N I_{ef} \sqrt{2} \sum_{n=1}^{\infty} \sum_{q=1}^{\infty} K_{yn} K_{qn} \cos \left[\omega t + \gamma_{fn} - (-1)^n \frac{2\gamma}{n} \right] \cdot \sin n \left[\theta - \frac{\gamma \gamma}{2\gamma} - \frac{2-1}{2} \alpha - (-1)^n \frac{2\gamma}{n} \right] \quad (3.86)$$

Dinoscind intensitatea cîmpului electric în axul feromagnetic, pe baza relației (3.67) se pot determina pierderile momentane în fier datorate curenților turbionari:

$$p_{fow}(t) = \frac{4 \mu^2}{\gamma} p_p \sigma l_{fo} \omega^2 N^2 I_{ef}^2 \sum_{n=1}^{\infty} K_{yn}^2 K_{qn}^2 \frac{v(\alpha, \beta)}{f(\alpha, \beta)} \sum_{q=1}^{\infty} \cos^2 \left[\omega t + \gamma_{fn} - (-1)^n \frac{2\gamma}{n} \right] \quad (3.87)$$

unde:

$$v(\alpha, \beta) = \left[\alpha^2 \left(\frac{\mu}{\mu_0} - 1 \right)^2 + b^2 \beta^2 \right] \ln \frac{b}{c} - \left[\alpha^2 \left(\frac{\mu}{\mu_0} - 1 \right)^2 - b^2 \beta^2 \right]$$

$$\begin{aligned} & \cdot [\cos 2\beta b (\cos 2\beta b - \cos 2\beta c) + \sin 2\beta b (\sin 2\beta b - \sin 2\beta c)] + \\ & + 2ab\beta \left(\frac{\mu}{\mu_0} - 1\right) [\sin 2\beta b (\cos 2\beta b - \cos 2\beta c) - \cos 2\beta b \cdot \\ & \cdot (\sin 2\beta b - \sin 2\beta c) \end{aligned} \quad (3.08)$$

Iar $f(n, \beta)$ este conform expresiei (3.04).

Se știe însă că prin putere activă, respectiv pierderi, care se pot evalua și experimental se înțelege:

$$P = \frac{1}{T} \int_0^T p \, dt \quad (3.09)$$

unde T reprezintă perioada procesului sinusoidal.

Aplicând formula (3.09) expresiei (3.07) rezultă pierderile prin curenți turbionari în miezul feromagnetic al MAF m -fazate în regia sinusoidal:

$$P_{\text{fer}} = \frac{4m\mu^2}{\pi} p_p \sigma l_{\text{fe}} \omega^2 N^2 I_{\text{ef}}^2 \cdot \sum_{n=1}^{\infty} K_{yn}^2 K_{qn}^2 \frac{V(n, \beta)}{f(n, \beta)} \quad (3.90)$$

Analizând expresia (3.90) a pierderilor prin curenți turbionari în fierul statoric al unui MAF m -fazate, alimentată cu un sistem de curenți m -fazați simetrici, se constată că acestea depind de numărul de faze, de caracteristicile materialului feromagnetic, dar și de caracteristicile înfășurării respective. Se observă că ele depind pătratic de frecvență, dar aceasta mai intervine și în expresiile V și f prin intermediul lui β . Practic, influența frecvenței prin intermediul raportului V/f nu este sesizată, întrucât apare ca la același puteri în numărătorul și numitorul acestei fracții.

Expresia (3.90) a fost calculată pentru cazul unui motor de fabricație electromotor tip IB_{100L} de 3 kW, cu ajutorul ordinatului electronic (Anexa 2). Funcțiile K_{yn} și K_{qn} , care intervin, au fost integrate numeric, prin aplicarea metodei trapezilor [31]. Pentru o valoare efectivă a curentului 7A s-a obținut $P_{\text{fercalc}} = 25,117793$ W. Pe de altă parte, s-au efectuat și măsurători experimentale pe același motor, cu rotorul scos, rezultând pentru un curent de 7A, $P_{\text{ferexp}} = 95$ W. Aceste pierderi reprezintă suma dintre pierderile prin curenți turbionari și cele prin histeresis. Conform cu [95] pentru toată obișnuită de grosi-

cu 0,35 mm, pierderile prin curenți turbionari sînt de aproximativ 3 ori mai mici decît cele prin histeresis. Prin urmare $P_{fexp} = 95/4 = 23,75$ W. Prin compararea celor două valori obținute prin calcul și experimental, rezultă eroarea:

$$\xi = \frac{P_{fexp} \text{ calcul} - P_{fexp} \text{ MBR}}{P_{fexp} \text{ calcul}} = 5,41 \%$$

valoare satisfăcătoare de mică, ceea ce certifică valabilitatea expresiei (3.90).

3.6. Parametrii tranzitorii proprii și mutuali ai înfășurării MBR

3.6.1. Între bobine

În subcapitolele 3.2 și 3.3 s-a determinat potențialul magnetic vector dintr-o MBR pentru diverse situații. Cunoașterea expresiei sale este importantă și pentru că facilitează, conform teoriei generale a parametrilor tranzitorii determinarea acestora. Această teorie a fost expusă în subcapitolul 3.1 și conform ei se poate obține impedanța operațională proprie și mutuală între două bobine carecure sunt în statorul MBR. Fie aceste bobine de ordinul α și respectiv β . Considerînd bobina α parcursă de un curent treaptă unitate, avînd în vedere relația de definiție (3.5) în care curba de integrare se ia cu arcul de cerc de rază c cuprins între cele două laturi ale bobinei α , se poate scrie impedanța operațională mutuală între cele două bobine ca fiind:

$$\tilde{Z}_{\alpha\beta}(p) = pS_{\alpha\beta} \int_{\alpha(\theta=1)}^{\alpha(\theta=1)} \tilde{Z}(p, \theta, \theta) d\theta \quad (3.91)$$

unde:

- $S_{\alpha\beta}$ - numărul de spire al bobinei α
- α - unghiul electric între două bobine consecutive
- l - reprezintă lungimea laturii active a bobinelor.

Știînd că lungimea operațională a curentului treaptă unitate este: $\tilde{I}(p) = 1/p$, iar $\tilde{Z}(p) = -p\tilde{A}(p)$ și înlocuind potențialul magnetic vector cu expresia sa (3.30) dar pentru α bobină

de ordinul n , se obține:

$$\begin{aligned} \tilde{Z}_{oE}(p) &= -2pL_{bo}S_{bo} \sum_{n=1}^{\infty} K_{yn} [A_n^{(2)} I_n(\gamma c) + B_n^{(2)} K_n(\gamma c)] \sin n \cdot \\ &\cdot \left[\alpha (s-s) - \frac{\gamma \gamma}{2\gamma} \right] + 2pL_{bo}S_{bo} \sum_{n=1}^{\infty} K_{yn} [A_n^{(2)} I_n(\gamma c) + B_n^{(2)} K_n(\gamma c)] \cdot \\ &\cdot \sin n \left[\alpha (s-s) + \frac{\gamma \gamma}{2\gamma} \right] \end{aligned}$$

Prin transformarea sumei funcțiilor trigonometrice în produs, rezultă:

$$\begin{aligned} \tilde{Z}_{oE}(p) &= 4pL_{bo}S_{bo} \sum_{n=1}^{\infty} K_{yn}^2 [A_n^{(2)} I_n(\gamma c) + B_n^{(2)} K_n(\gamma c)] \cdot \\ &\cdot \cos n (s-s)\alpha \end{aligned} \quad (3.92)$$

Dacă $s=0$ se obține impedanță operațională proprie bobinei E :

$$\tilde{Z}_{iE}(p) = 4pL_{bo}^2 \sum_{n=1}^{\infty} K_{yn}^2 [A_n^{(2)} I_n(\gamma c) + B_n^{(2)} K_n(\gamma c)] \quad (3.93)$$

Dacă se explicitază constantele de integrare $A_n^{(2)}$ și $B_n^{(2)}$ conform (3.27), și se utilizează de formulele de recurență ale funcțiilor Bessel modificate de ordinul n (3.55) și de dezvoltările lor asimptotice (3.56), se găsește o expresie mai accesibilă, în vederea folosirii impedanțelor respective în rezolvări de circuite în operațional și totodată pentru găsirea parametrilor transitorii. Se reamintește că se pot folosi dezvoltările asimptotice ale funcțiilor Bessel modificate întrucât argumentul lor este mare fiind vorba de valori ridicate în condițiile problemei studiate pentru μ , γ și p . În final se obține:

$$\tilde{Z}_{oE}(p) = \frac{4\mu}{\gamma} pL_{bo}S_{bo} \sum_{n=1}^{\infty} K_{yn}^2 \frac{F_1(\gamma)}{F_2(\gamma)} \cos n(s-s)\alpha \quad (3.94)$$

în care:

$$F_1(\gamma) = a \left(\frac{A}{\mu} - 1 \right) \operatorname{sh} \gamma (b-a) + b \gamma \operatorname{ch} \gamma (b-c)$$

$$F_2(\gamma) = \left(\frac{2\mu^2}{\mu_0} - a^2 + \gamma^2 bc \right) \operatorname{sh} \gamma (b-c) + n \gamma \left(\frac{A^2}{\mu_0} + \frac{Ab}{\mu_0} + b-c \right) \operatorname{ch} \gamma (b-c)$$

Știind că $\gamma = \sqrt{p\mu r}$ și $\mu r(b-c)^2 = \tau_r$ care s-a denumit constanta de timp feromagnetică, expresiile lui F_1 și F_2 devin:

$$F_1(p) = \frac{a}{\sqrt{p\tau_r}} \left(\frac{\mu}{\mu_0} - 1 \right) \operatorname{sh} \sqrt{p\tau_r} + \frac{b}{b-c} \operatorname{ch} \sqrt{p\tau_r} \quad (3.95)$$

$$F_2(p) = \left[\frac{a^2}{\sqrt{p\tau_r}} \left(\frac{\mu}{\mu_0} - 1 \right) + \frac{bs}{(b-c)^2} \sqrt{p\tau_r} \right] \operatorname{sh} \sqrt{p\tau_r} + \frac{a}{b-c} \left(\frac{\mu a}{\mu_0} + \frac{\mu b}{\mu_0} + b-c \right) \cdot \operatorname{ch} \sqrt{p\tau_r}$$

Mată aflată expresia impedanței operaționale mutuale între bobine, se pot determina parametrii tranzitorii necesari studiului propagării tensiunii de-a lungul înfășurării MEF:

Rezistența în c.c., pe baza relației (3.8), este:

$$r_{000} = \lim_{p \rightarrow 0} Z_{0S}(p) = 0 \quad (3.96)$$

atât pentru $S=0$ cât și pentru $S=0$.

Rezultatul este corect întrucât corespunde ipotezei inițiale făcute de a presupune conductoarele înfășurării filiforme în comparație cu dimensiunile radiale ale mașinii și de conductivitate infinită. Inductivitatea operațională mutuală și proprie este:

$$\tilde{L}_{0S}(p) = \frac{\tilde{Z}_{0S}(p) - r_{0S0}}{p^2} = \frac{\tilde{Z}_{0S}(p)}{p^2}$$

Făcând înlocuirile, se obține:

$$\tilde{L}_{0S}(p) = \frac{4\mu}{\gamma} l \varepsilon_{00} \varepsilon_{0S} \sum_{n=1}^{\infty} K_{yn}^2 \frac{F_1(p)}{p F_2(p)} \cos n(\alpha - \varepsilon) \alpha \quad (3.97)$$

unde $F_1(p)$ și $F_2(p)$ au expresiile (3.95).

Inductivitatea tranzitorie mutuală și proprie se determină folosind formula generalizată a dezvoltării, a lui Heaviside, aplicabilă în acest caz, deoarece avem o sumă de fracții cu gradul numitorului mai mare decât al numărătorului:

$$l_{0i}(t) = \frac{4\mu}{\gamma} l \varepsilon_{00} \varepsilon_{0S} \sum_{n=1}^{\infty} K_{yn}^2 \left\{ \frac{F_1(0)}{F_2(0)} + \sum_{K=1}^{\infty} \frac{F_1(p_K)}{p_K F_2'(p_K)} \cdot p_K^t \right\} \cdot \cos n(\alpha - \varepsilon) \alpha$$

$$\frac{F_1(0)}{F_2(0)} = \frac{n(\frac{\mu}{\mu_0} - 1) + \frac{b}{b-c}}{n^2(\frac{\mu^2}{\mu_0^2} - 1) + n \frac{\mu}{\mu_0} \cdot \frac{b+c}{b-c} + n}$$

Derivata numitorului este:

$$F_2'(p) = \frac{\tau_f}{2\sqrt{p\tau_f}} \left[-\frac{n^2}{p\tau_f} \left(\frac{\mu^2}{\mu_0^2} - 1\right) + \frac{bc}{(b-c)^2} + \frac{n\mu}{\mu_0} \cdot \frac{b+c}{b-c} + n \right] \cdot \\ \cdot \operatorname{sh} \sqrt{p\tau_f} + \left[\frac{n^2}{\sqrt{p\tau_f}} \left(\frac{\mu^2}{\mu_0^2} - 1\right) + \frac{bc}{(b-c)^2} \sqrt{p\tau_f} \operatorname{ch} \sqrt{p\tau_f} \right]$$

p_K reprezintă rădăcinile ecuației transcendente:

$$\left[\frac{n^2}{\sqrt{p\tau_f}} \left(\frac{\mu^2}{\mu_0^2} - 1\right) + \frac{bc}{(b-c)^2} \sqrt{p\tau_f} \right] \operatorname{sh} \sqrt{p\tau_f} + n \left(\frac{\mu}{\mu_0} \cdot \frac{b+c}{b-c} + 1 \right) \operatorname{ch} \sqrt{p\tau_f} = 0 \quad (3.98)$$

Metoda de rezolvare a acestei ecuații transcendente cu ordinato-
rul este dată în Anexa 2.

Inductivitatea transitorie mutuală și proprie devine:

$$L_{os}(t) = \frac{4\mu}{\tau_f} \varepsilon_{00} \varepsilon_{0c} \sum_{n=1}^{\infty} K_{na}^2 \left\{ \frac{n(\frac{\mu}{\mu_0} - 1) + \frac{b}{b-c}}{n^2(\frac{\mu^2}{\mu_0^2} - 1) + n \frac{\mu}{\mu_0} \cdot \frac{b+c}{b-c} + n} - \right. \\ \left. - 2 \sum_{K=1}^{\infty} \frac{F_1(p_K)}{F_3(p_K)} \cdot p_K t \right\} \cos n(\sigma - S)\alpha \quad (3.99)$$

unde:

$F_1(p_K)$ are expresia (3.95) pentru $p=p_K$

iar:

$$F_3(p_K) = \sqrt{p_K\tau_f} \left\{ \left[\frac{n^2}{p_K\tau_f} \left(\frac{\mu^2}{\mu_0^2} - 1\right) - \frac{bc}{(b-c)^2} - \frac{n\mu}{\mu_0} \cdot \frac{b+c}{b-c} - n \right] \operatorname{ch} \sqrt{p_K\tau_f} - \right. \\ \left. - \left[\frac{n^2}{\sqrt{p_K\tau_f}} \left(\frac{\mu^2}{\mu_0^2} - 1\right) + \frac{bc}{(b-c)^2} \sqrt{p_K\tau_f} \right] \operatorname{ch} \sqrt{p_K\tau_f} \right\} \quad (3.100)$$

Avind în vedere că rădăcinile p_K sînt negative (Anexa 2), se obține:

$$l_{\text{ext}} + l_{\text{int}} = l_{\text{os}}(\infty) = \frac{4\mu}{\gamma} S_{\text{bo}} S_{\text{bS}} \left| \sum_{n=1}^{\infty} K_{2n}^2 \right. \\ \cdot \frac{n(\frac{\mu}{\mu_0} - 1) + \frac{b}{b-c}}{n^2(\frac{\mu}{\mu_0} - 1) + n \frac{\mu}{\mu_0} \cdot \frac{bca}{b-c} + n} \cos n(\sigma - \delta) \alpha \quad (3.101)$$

Pe de altă parte inductivitatea exterioară mutuală și proprie este:

$$l_{\text{osext}} = l_{\text{os}}(\sigma+) = 0 \quad (3.102)$$

Rezultatul este perfect justificat prin faptul că nu există linii de câmp care să se închidă numai în aer, toate străbat și miezul feromagnetic.

Rezistența operațională mutuală între bobina S și o este:

$$\tilde{R}_{\text{os}}(p) = \frac{\tilde{Z}_{\text{os}}(p)}{p} - \lim_{p \rightarrow \infty} \frac{\tilde{Z}_{\text{os}}(p)}{p} = \frac{\tilde{Z}_{\text{os}}(p)}{p} - l_{\text{os}}(\sigma+)$$

Dar $l_{\text{os}}(\sigma+) = 0$, deci:

$$\tilde{R}_{\text{os}}(p) = \frac{\tilde{Z}_{\text{os}}(p)}{p}$$

Înlocuind, se obține:

$$\tilde{R}_{\text{os}}(p) = \frac{4\mu}{\gamma} l_{\text{Sbo}} S_{\text{bS}} \sum_{n=1}^{\infty} K_{2n}^2 \frac{F_1(p)}{F_2(p)} \cos n(\sigma - \delta) \alpha \quad (3.103)$$

unde $F_1(p)$ și $F_2(p)$ au forma (3.95).

Rezistența tranzitorie este:

$$r_{\text{os}}(t) = \mathcal{L}^{-1} [\tilde{R}_{\text{os}}(p)]$$

sau în condițiile inițiale puse și la $r_{\text{os}} = 0$ este:

$$r_{\text{os}}(t) = \frac{d l_{\text{os}}(t)}{dt}$$

Indiferent de relația aplicată, se obține:

$$F_{OS}(t) = - \frac{4\mu}{\gamma} l S_{bo} S_{bs} \sum_{n=1}^{\infty} K_{yn}^2 \sum_{k=1}^{\infty} P_k \frac{F_1(p_k)}{F_3(p_k)} e^{p_k t} \cos n(\sigma-2)\alpha \quad (3.104)$$

unde $F_1(p_k)$ și $F_2(p_k)$ au semnificațiile (3.95) respectiv (3.100).

Parametrii proprii bobinei S se obțin dacă în expresiile (3.94), (3.96), (3.97), (3.99), (3.102), (3.103) și (3.104) se face $\sigma=S$.

3.6.2. Intre fazele MSB simetrice

Considerând două faze ale mașinii λ și ν , folosind expresia (3.37) a potențialului magnetic produs într-un punct de fază λ și urmărind același raționament de la bobină la bobină a fazei ν , se ajunge la armătura impedanță operațională mutuală între faze λ și ν :

$$\tilde{Z}_{\nu\lambda}(p) = 4p l N^2 \sum_{n=1}^{\infty} K_{yn}^2 K_{qn}^2 [A_n^{(2)} I_n(\gamma_0) + B_n^{(2)} K_n(\gamma_0) \cos n(\nu-\lambda) \frac{2\gamma}{n} \quad (3.105)$$

sau expresia aproximativă:

$$\tilde{Z}_{\nu\lambda}(p) = \frac{4\mu}{\gamma} p l N^2 \sum_{n=1}^{\infty} K_{yn}^2 K_{qn}^2 \frac{F_1(p)}{F_2(p)} \cos n(\nu-\lambda) \frac{2\gamma}{n} \quad (3.106)$$

ceilalți parametri se deduc similar urmînd procedeul de la determinarea acestora pentru două bobine oarecare:

$$F_{\nu\lambda 0} = 0 \quad (3.107)$$

$$\tilde{L}_{\nu\lambda}(p) = \frac{4\mu}{\gamma} l N^2 \sum_{n=1}^{\infty} K_{yn}^2 K_{qn}^2 \frac{F_1(p)}{p F_2(p)} \cos n(\nu-\lambda) \frac{2\gamma}{n} \quad (3.108)$$

$$l_{\lambda}(t) = \frac{4\mu}{\gamma} l N^2 \sum_{n=1}^{\infty} K_{yn}^2 K_{qn}^2 \left\{ \frac{n(\frac{\mu}{\mu_0} - 1) + \frac{b}{b-c}}{n^2(\frac{\mu}{\mu_0} - 1) + n \frac{\mu}{\mu_0} \cdot \frac{b+c}{b-c} + n} - 2 \sum_{k=1}^{\infty} \frac{F_1(p_k)}{F_3(p_k)} e^{p_k t} \right\} \cos n(\nu-\lambda) \frac{2\gamma}{n} \quad (3.109)$$

unde $F_3(p_k)$ este conform expresiei (3.100), iar p_k sînt rădăci-

nile ecuației transcendente (3.98) și au valori negative:

$$l_{\lambda \text{ ext}} = 0 \quad (3.110)$$

$$l_{\lambda \text{ int}} = \frac{4\mu}{\gamma} N^2 \sum_{n=1}^{\infty} K_{yn}^2 K_{qn}^2 \frac{n(\frac{\mu}{\mu_0} - 1) + \frac{b}{b-c}}{n^2(\frac{\mu^2}{\mu_0^2} - 1) + n \frac{\mu}{\mu_0} \cdot \frac{b+c}{b-c} + n}$$

$$\cdot \cos n(\gamma - \lambda) \frac{2\tilde{I}}{n} \quad (3.111)$$

$$\tilde{R}_{\gamma\lambda}(p) = \frac{4\mu}{\gamma} N^2 \sum_{n=1}^{\infty} K_{yn}^2 K_{qn}^2 \frac{F_1(p)}{F_2(p)} \cos n(\gamma - \lambda) \frac{2\tilde{I}}{n} \quad (3.112)$$

$$r_{\gamma\lambda}(t) = - \frac{4\mu}{\gamma} N^2 \sum_{n=1}^{\infty} K_{yn}^2 K_{qn}^2 \sum_{k=1}^{\infty} p_k \frac{F_1(p_k)}{F_3(p_k)} e^{p_k t} \cos n(\gamma - \lambda) \frac{2\tilde{I}}{n} \quad (3.113)$$

Parametrii proprii unei faze se obțin din cei mutuali în expresiile cărora se face $\gamma = \lambda$.

Inductivitatea exterioară atât cea proprie cât și cea mutuală a rezultat nulă, deoarece nu există linii de câmp care să se închidă numai prin aer. Rezistența în c.c. proprie s-a obținut nulă datorită ipotezei inițiale făcute, că conductivitatea electrică a conductoarelor este infinită. Rezistența în c.c. mutuală este nulă deoarece în c.c. nu există cuplaje rezistive între circuite. În momentul inițial ($t=0+$) rezistențele tranzitorii atât cele proprii cât și cele mutuale sînt infinite, deoarece tensiunea inițială la borne rezultă infinită, impunându-se un salt brusc de curent unui element inductiv. Modul de variație în timp a parametrilor tranzitorii este prezentat în fig. 3.3.

Analizînd expresiile parametrilor se constată că toți depind atât de caracteristicile înfășurării cât și de caracteristicile de material și geometrice ale miezului feromagnetic. Se observă că parametri variază cu cosinusul defazajului dintre înfășurările la care se referă, după cum era și de așteptat. Acești parametri au fost determinați în ipoteza neglijării poziționării înfășurărilor în creștături și conductorul înfășurării filiforme de rezistivitate zero.

În cazul proceselor mai lente cînd trebuie ținută seama de existența miezului rotoric în calculul câmpului electromagnetic

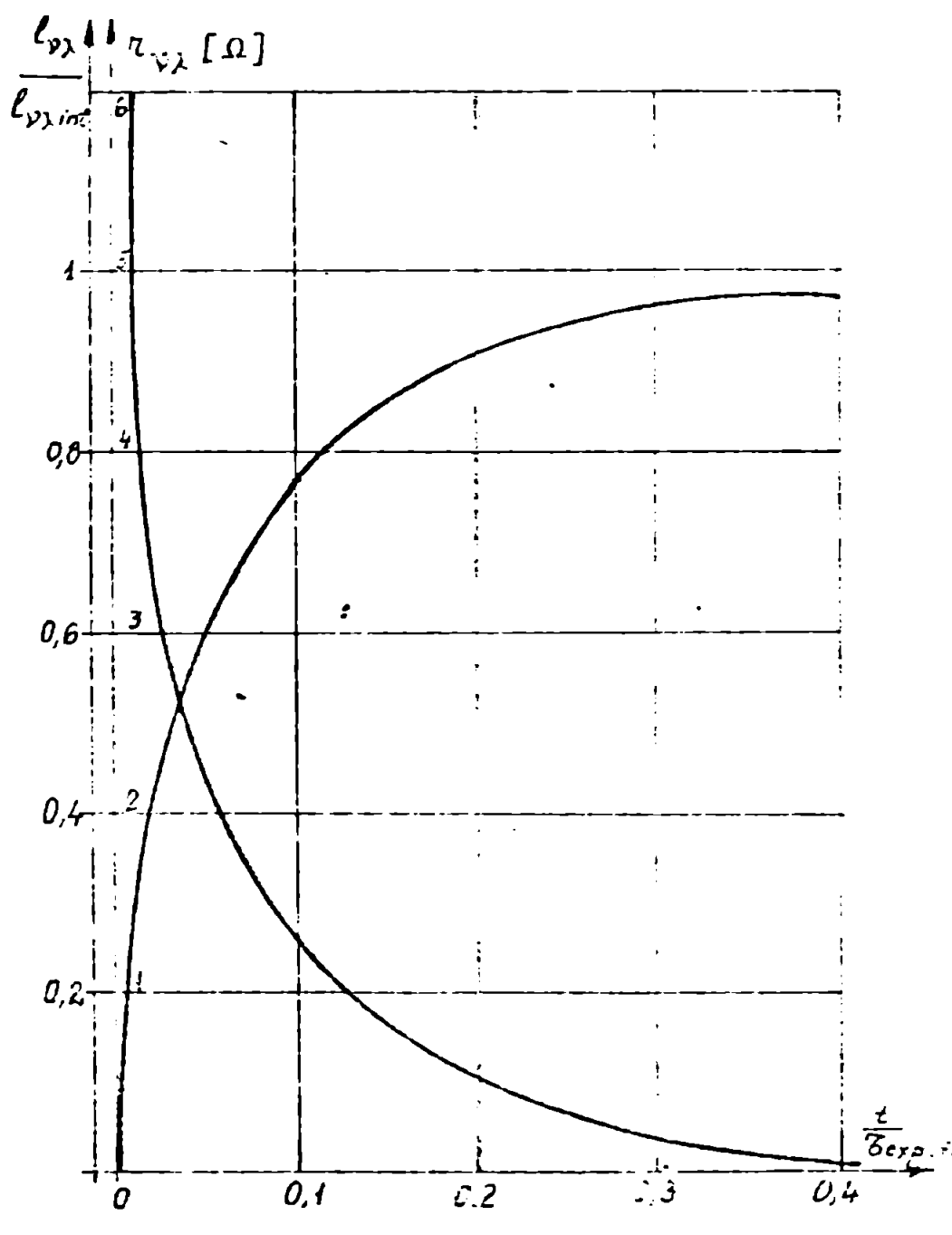


Fig. 3.1. Variația parametrilor transitorii ai înfășurărilor unei M&H trifazate simetrice.

tic, toți acești parametri există, însă cu expresii mult mai complicate decât cele de față datorită introducerii unui domeniu de existență în plus, conform fig. 3.1, care impune caracteristici de material și geometrice suplimentare. Le pot determina, însă, exact după metoda prezentată.

3.7. Parametri transitorii de creșteră

În realitate, în mașinile electrice înfășurările sunt plasate în creștături practicte în miezul feromagnetic. Acest lucru influențează foarte mult comportarea înfășurărilor mașin-

ali în diverse procese. De asemenea conductoarele nu sînt fili-
forme, cu conductivitate infinită ci au o secțiune bine deter-
minată, finită, manifestîndu-se și efectul pelicular. Ca atare,
aceste elemente suplimentare introduc noi parametri înfășurării
și. Pentru determinarea acestora se procedează conform
teoriei generale a parametrilor tranzitorii, însă aplicată la
un micropesajiu - domeniul crenelurilor.

3.7.1. Potențialul magnetic vector în crenelură

Se presupune o crenelură echivalentă oricărei alte for-
me, cu pereții paraleli, semificchișă, fig.3.4. Se consideră ca-
zul mai general că înfășurarea este în două straturi.

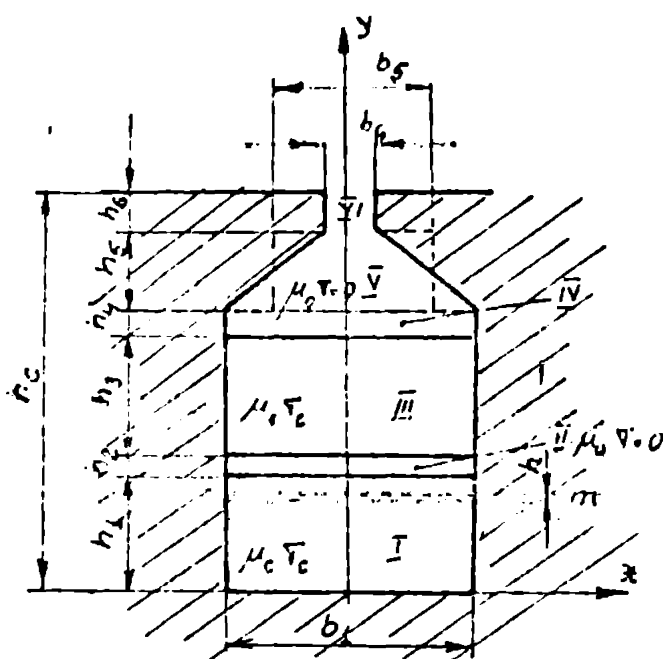


Fig.3.4. Crenelura de calcul.

clinași din zone penei (domeniul V) se presupune de lățime con-
stantă, echivalentă cu $b_5 = (b_1 + b_6)/2$.

- Nucleul feromagnetic care înconjoară spațiul crenelurii
se presupune format din tole, asaturat și de permeabilitate
magnetică infinită ($\mu_{Fe} = \infty$).

- Materialul electrodizolant dintre straturi, precum și
materialul penei se consideră de permeabilitate magnetică μ_0
și conductivitate electrică $\sigma = 0$.

- Lungimea mașinii se presupune mult mai mare decît dimen-
siunile transversale ale crenelurii; astfel încît se neglije-

Pentru rezolvarea
problemei de câmp, se fac
următoarele ipoteze:

- Materialul con-
ductor din crenelură are
conductivitatea electrică
 σ_0 și permeabilitatea
magnetică μ_0 .

- Înfășurarea se
consideră izolată de pe-
reții crenelurii cu un
strat izolat de grosime
neglijabilă, deci $b_0 = b_1$,
 b_0 fiind lățimea materia-
lului conductor.

- Porțiunea de
crenelură cu pereții in-

să afecteze de capăt, iar câmpul este plan paralel.

- Condițiile inițiale în problema rezolvării câmpului se consideră nule.

- Bobinile se presupun formate din N_0 spire cu secțiune dreptunghiulară de dimensiuni $b_0 \times h_0$.

- Se presupune că numărul nivelului n , corespunzător celei de a m -a spire este parcurs de un curent $i(t)$, a cărui imagine operațională este $\tilde{I}(p)$.

Deoarece natura materialului variază în microspațiul creștătură, acesta se împarte în domenii de material omogen (fig.3.4). Alegând un sistem de axe xyz , unde axa oz este paralelă cu axa mașinii, se caută rezolvarea în coordonate carteziene a ecuației potențialului magnetic vector. Calculul se face în operațional, având în vedere considerarea regimului tranzitoriu corectare. Ecuația potențialului magnetic vector în condiții inițiale nule, scrisă în operațional pe domenii este:

$$\Delta \tilde{A} = p \mu_0 \sigma_0 \tilde{A} \quad \text{pentru domeniul I și III} \quad (3.114)$$

$$\Delta \tilde{A} = 0 \quad \text{pentru domeniul II, IV, V și VI} \quad (3.115)$$

Având în vedere ipotezele făcute și anume câmp plan paralel și $\mu_{r0} = \infty$, în toate domeniile \tilde{A} este orientat după axa oz și nu depinde decât de coordonata y . Același lucru se poate spune și despre intensitatea câmpului electric. Se presupune creștătura suficient de îngustă încât liniile de câmp magnetic sînt considerate paralele cu baza creștăturii și intensitatea \tilde{H} depinde de aceeași număr de coordonata y .

Ecuațiile (3.113) și (3.114) transpuse în coordonate carteziene, devin:

$$\frac{\partial^2 \tilde{A}}{\partial y^2} - p \mu_0 \sigma_0 \tilde{A} = 0 \quad (3.116)$$

$$\frac{\partial^2 \tilde{A}}{\partial y^2} = 0 \quad (3.117)$$

Rezolvînd ecuațiile (3.116) și (3.117), conform Anexei 3, se obțin expresiile potențialului magnetic vector pe domenii pentru trei situații:

3.7.1.1. Nivelul n de suprafața de curentul $\tilde{I}(p)$ se află în stratul inferior

Potențialul magnetic vector în domeniul I, sub nivelului n este:

$$\tilde{A}_I(p, y) = \frac{\mu_n \tilde{I}(p)}{b_1 \gamma_0 \operatorname{sh} \gamma_0 h} \quad \text{pentru } y < ah \quad (3.118)$$

Potențialul magnetic vector în domeniul I, deasupra nivelului n, este:

$$\tilde{A}_I(p, y) = \frac{\mu_n \tilde{I}(p)}{b_1 \gamma_0 \operatorname{sh} \gamma_0 h} \operatorname{ch} \gamma_0 [y - h(n-1)] \quad \text{pentru } y \geq ah$$

Potențialul magnetic vector în izolația dintre straturi se obține:

$$\tilde{A}_{II}(p, y) = \frac{\mu_0 \tilde{I}(p)}{b_1} \left\{ y - h_1 + \frac{\mu_n \operatorname{ch} \gamma_0 [h_1 - h(n-1)]}{\mu_0 \gamma_0 \operatorname{sh} \gamma_0 h} \right\} \quad (3.119)$$

Potențialul magnetic vector în stratul superior este:

$$\begin{aligned} \tilde{A}_{III}(p, y) = \frac{\mu_0 \tilde{I}(p)}{b_1} \left\{ \frac{1}{\gamma_0} \operatorname{sh} \gamma_0 (y - h_1 - h_2) + \frac{1}{\gamma_0 \operatorname{sh} \gamma_0 h} \operatorname{sh} \gamma_0 [h_1 - h(n-1)] \right. \\ \left. \cdot \operatorname{ch} \gamma_0 (y - h_1 - h_2) + \frac{\mu_n h_2}{\mu_0} \operatorname{ch} \gamma_0 (y - h_1 - h_2) \right\} \quad (3.120) \end{aligned}$$

Potențialul magnetic vector în domeniul IV, se obține:

$$\begin{aligned} \tilde{A}_{IV}(p, y) = \frac{\mu_0 \tilde{I}(p)}{b_1} \left\{ y - h_1 - h_2 - h_3 + \frac{\mu_n}{\mu_0 \gamma_0} \operatorname{sh} \gamma_0 h_3 + \frac{\mu_n}{\mu_0 \gamma_0 \operatorname{sh} \gamma_0 h} \right. \\ \left. \cdot \operatorname{ch} \gamma_0 [h_1 - h(n-1)] \operatorname{ch} \gamma_0 h_3 + h_2 \operatorname{ch} \gamma_0 h_3 \right\} \quad (3.121) \end{aligned}$$

Potențialul magnetic vector în domeniul pensii este:

$$\begin{aligned} \tilde{A}_V(p, y) = \frac{\mu_0 \tilde{I}(p)}{b_1} \left\{ \frac{b_1}{b_5} (y - h_1 - h_2 - h_3 - h_4) + h_4 + \frac{\mu_n}{\mu_0 \gamma_0} \operatorname{sh} \gamma_0 h_3 + \right. \\ \left. + \frac{\mu_n}{\mu_0 \gamma_0 \operatorname{sh} \gamma_0 h} \operatorname{ch} \gamma_0 [h_1 - h(n-1)] \operatorname{ch} \gamma_0 h_3 + h_2 \operatorname{ch} \gamma_0 h_3 \right\} \quad (3.122) \end{aligned}$$

Potențialul magnetic vector în gita creștăturii se obține:

$$\tilde{A}_{VI}(p, y) = \frac{\mu_0 \tilde{I}(p)}{b_1} \left\{ \frac{b_1}{b_6} (y - h_1 - h_2 - h_3 - h_4 - h_5) + \frac{b_1}{b_5} h_5 + h_4 + \frac{\mu_0}{\mu_0 \gamma_c} \cdot \right. \\ \left. \cdot \operatorname{sh} \gamma_c h_3 + \frac{\mu_0}{\mu_0 \gamma_c \operatorname{sh} \gamma_c h} \operatorname{ch} \gamma_c [h_1 - h(n-1)] \operatorname{ch} \gamma_c h_3 + h_2 \operatorname{ch} \gamma_c h_3 \right\} \quad (3.123)$$

3.7.1.2. Nivelul m parcurs de curentul $\tilde{I}(p)$ se află în stratul superior

În această situație potențialul magnetic vector este constant sub nivelul m indiferent de domeniul (Anexa 3):

$$\tilde{A}_I(p, y) = \tilde{A}_{II}(p, y) = \tilde{A}_{III}(p, y) = \frac{\mu_0 \tilde{I}(p)}{b_1 \gamma_c \operatorname{sh} \gamma_c h} \quad (3.124)$$

$y < h_1 + h_2 + \operatorname{sh}$

Potențialul magnetic vector în stratul superior, deasupra nivelului m este:

$$\tilde{A}_{III}(p, y) = \frac{\mu_0 \tilde{I}(p)}{b_1 \gamma_c \operatorname{sh} \gamma_c h} \operatorname{ch} \gamma_c [y - h_1 - h_2 - h(n-1)] \quad (3.124)$$

$y \geq h_1 + h_2 + \operatorname{sh}$

Potențialul magnetic în domeniul IV este:

$$\tilde{A}_{IV}(p, y) = \frac{\mu_0 \tilde{I}(p)}{b_1} \left\{ y - h_1 - h_2 - h_3 + \frac{\mu_0}{\mu_0 \gamma_c \operatorname{sh} \gamma_c h} \operatorname{ch} \gamma_c [h_3 - h(n-1)] \right\} \quad (3.125)$$

Potențialul magnetic vector în pană este:

$$\tilde{A}_V(p, y) = \frac{\mu_0 \tilde{I}(p)}{b_1} \left\{ \frac{b_1}{b_5} (y - h_1 - h_2 - h_3 - h_4) + h_4 + \frac{\mu_0}{\mu_0 \gamma_c \operatorname{sh} \gamma_c h} \cdot \right. \\ \left. \cdot \operatorname{ch} \gamma_c [h_3 - h(n-1)] \right\} \quad (3.126)$$

Potențialul magnetic în gîtul creștăturii este:

$$\tilde{A}_{VI}(p, y) = \frac{\mu_0 \tilde{I}(p)}{b_1} \left\{ \frac{b_1}{b_6} (y - h_1 - h_2 - h_3 - h_4 - h_5) + \frac{b_1}{b_5} h_5 + h_4 + \frac{\mu_0}{\mu_0 \gamma_c \operatorname{sh} \gamma_c h} \cdot \right. \\ \left. \cdot \operatorname{ch} \gamma_c [h_3 - h(n-1)] \right\} \quad (3.127)$$

3.7.1.3. Nivelul a parosa de curentul $\tilde{I}(p)$ se află în gîtul cressăturii la înălțimea

$$h_1 + h_2 + h_2 + h_3 + h_4 + h_5 + h_6$$

Potențialul magnetic vector este constant în tot spațiul cressăturii, fiind egal cu:

$$\begin{aligned} \tilde{A}_I(p, y) &= \tilde{A}_{II}(p, y) = \tilde{A}_{III}(p, y) = \tilde{A}_{IV}(p, y) = \tilde{A}_V(p, y) = \tilde{A}_{VI}(p, y) = \\ &= \frac{\mu_0 \tilde{I}(p)}{b_1 \gamma_0 \operatorname{sh} \gamma_0 h} \end{aligned} \quad (3.128)$$

Avînd determinate expresiile potențialului magnetic vector, se pot cunoaște toate mărimile de stare ale cîmpului electromagnetic în cressătură: intensitatea cîmpului electric și magnetic, precum și densitatea de curent din partea conductoare, adică acolo unde $\nabla \neq 0$.

3.7.2. Parametrii operaționali de cressătură ai M&E

Conform teoriei generale a parametrilor tranzitorii, cunoscîndu-se mărimile de stare ale cîmpului electromagnetic, se pot afla parametrii operaționali proprii și mutuali între circuite.

Considerînd un nivel din unul din straturile cressăturii, reprezentînd o latură de spirală, se formează un circuit complet dacă se adaugă cealaltă latură a spirei respective, care la o mașină este situată în cu totul altă cressătură. Pentru determinarea însă a parametrilor de cressătură, condiționați numai de cîmpul din microspațiul - cressătură, pentru punerea în evidență a caracterului dipolar al spirei, se presupune că toate spirele care au o latură în unul din straturile cressăturii în discuție, au cealaltă latură în gîtul cressăturii la coordonata $y = h_1 + h_2 + h_3 + h_4 + h_5 + h_6 = h_0$. În aceste condiții se determină mai întîi impedanța operațională mutuală între spira i și n , aplicînd formula (3.5), în care se ține seama că $\tilde{E} = -p\tilde{A}$. Înălțimile straturilor se exprimă în funcție de numărul laturilor de spire cuprinse în ele:

$$\begin{aligned} h_1 &= \varepsilon_{b1} h \\ h_2 &= \varepsilon_{b2} h \end{aligned} \quad (3.129)$$

Se iau în considerare următoarele cazuri:

3.7.2.1. Nivelul m aparține stratului inferior

Impedanța operațională proprie acestui nivel este:

$$\begin{aligned} \tilde{z}_{m1}^1(p) = p \left[\frac{\mu_0}{b_1 \gamma_0} \operatorname{cth} \gamma_0 h + \mu_0 \frac{h_2}{b_1} \operatorname{ch} \gamma_0 h s_{bS} + \frac{\mu_0}{b_1 \gamma_0} \operatorname{sh} \gamma_0 h s_{bS} + \right. \\ \left. + \frac{\mu_0}{b_1 \gamma_0 \operatorname{sh} \gamma_0 h} \operatorname{ch} \gamma_0 h (s_{b1} - u + 1) \operatorname{ch} \gamma_0 h s_{bS} + \mu_0 \frac{h_4}{b_1} + \mu_0 \frac{h_5}{b_5} + \right. \\ \left. + \mu_0 \frac{h_6}{b_6} \right] \end{aligned} \quad (3.130)$$

3.7.2.2. Cele două nivele 1 și m aparțin stratului inferior:

$$\begin{aligned} \tilde{z}_{1m}^{11}(p) = p \left[\frac{\mu_0}{b_1 \gamma_0 \operatorname{sh} \gamma_0 h} + \mu_0 \frac{h_2}{b_1} \operatorname{ch} \gamma_0 h s_{bS} + \frac{\mu_0}{b_1 \gamma_0} \operatorname{sh} \gamma_0 h s_{bS} + \frac{\mu_0}{b_1 \gamma_0 \operatorname{sh} \gamma_0 h} \cdot \right. \\ \left. \cdot \operatorname{ch} \gamma_0 h (s_{b1} - u + 1) \operatorname{ch} \gamma_0 h s_{bS} + \mu_0 \frac{h_4}{b_1} + \mu_0 \frac{h_5}{b_5} + \mu_0 \frac{h_6}{b_6} \right] \end{aligned} \quad (3.131)$$

3.7.2.3. Nivelul m aparține stratului superior

În acest caz impedanța operațională proprie este:

$$\begin{aligned} \tilde{z}_{m1}^{2E}(p) = p \left[\frac{\mu_0}{b_1 \gamma_0} \operatorname{cth} \gamma_0 h + \frac{\mu_0}{b_1 \gamma_0 \operatorname{sh} \gamma_0 h} \operatorname{ch} \gamma_0 h (s_{bS} - u + 1) + \mu_0 \frac{h_4}{b_1} + \right. \\ \left. + \mu_0 \frac{h_5}{b_5} + \mu_0 \frac{h_6}{b_6} \right] \end{aligned} \quad (3.132)$$

3.7.2.4. Cele două nivele 1 și m aparțin stratului superior

$$\tilde{z}_{1m}^{2S}(p) = p \left[\frac{\mu_0}{b_1 \gamma_0 \operatorname{sh} \gamma_0 h} + \frac{\mu_0}{b_1 \gamma_0 \operatorname{sh} \gamma_0 h} \operatorname{ch} \gamma_0 h (s_{bS} - u + 1) + \mu_0 \frac{h_4}{b_1} + \right.$$

$$+ \mu_0 \frac{h_5}{b_5} + \mu_0 \frac{h_6}{b_6}] \quad (3.133)$$

3.7.2.5. Nivelul 1 se află în stratul inferior, iar nivelul m în stratul superior:

$$\begin{aligned} \tilde{Z}_{1m}^I(p) = pl \left[\frac{\mu_0}{b_1 \gamma_0 \operatorname{sh} \gamma_0 h} + \frac{\mu_0}{b_1 \gamma_0 \operatorname{sh} \gamma_0 h} \operatorname{ch} \gamma_0 h (\varepsilon_{05} - m + 1) + \mu_0 \frac{h_4}{b_1} + \right. \\ \left. + \mu_0 \frac{h_5}{b_5} + \mu_0 \frac{h_6}{b_6} \right] \quad (3.134) \end{aligned}$$

Se notează cu r_0 rezistența în c.c. a unei laturi de spirală, care trebuie să fie aceeași, independent de poziția nivelului care reprezintă latura:

$$r_0 = \frac{1}{\gamma} \frac{l}{b_1 h} = \frac{\mu_0 pl}{b_1 h \gamma_0^2}, \text{ deoarece } b_0 = b_1 \quad (3.135)$$

Inductivitatea exterioară pentru nivelele din stratul inferior este:

$$l_{\text{ext}}^I = \mu_0 l \frac{h_2}{b_1} + \mu_0 l \frac{h_4}{b_1} + \mu_0 l \frac{h_5}{b_5} + \mu_0 l \frac{h_6}{b_6} \quad (3.136)$$

Iar pentru nivelele din stratul superior este:

$$l_{\text{ext}}^S = \mu_0 l \frac{h_4}{b_1} + \mu_0 l \frac{h_5}{b_5} + \mu_0 l \frac{h_6}{b_6} \quad (3.137)$$

Pe baza relațiilor (3.8), (3.9) și ținând cont de expresia (3.136), respectiv (3.132), se obțin:

- rezistența tranzitorie proprie nivelului m din stratul inferior:

$$\tilde{R}_{mm}^I(p) = \frac{\mu_0 l}{b_1 \gamma_0} \operatorname{cth} \gamma_0 h + \frac{\mu_0 l}{b_1 \gamma_0 \operatorname{sh} \gamma_0 h} \operatorname{ch} \gamma_0 h (\varepsilon_{01} - m + 1) \operatorname{ch} \gamma_0 h \varepsilon_{05} \quad (3.138)$$

- inductivitatea operațională proprie a nivelului m din stratul inferior:

$$\tilde{L}_{mm}^I(p) = \frac{r_0}{p^2} (\gamma_0 h \operatorname{cth} \gamma_0 h - 1) + \mu_0 \frac{lh_2}{pb_1} \operatorname{ch} \gamma_0 h \varepsilon_{05} + \frac{\mu_0 l}{pb_1 \gamma_0} \operatorname{ch} \gamma_0 h \varepsilon_{05}$$

$$\begin{aligned}
 & + \frac{\mu_0 l}{pb_1 \gamma_c \operatorname{sh} \gamma_c h} \operatorname{ch} \gamma_c h (S_{b1} - a + 1) \operatorname{ch} \gamma_c h \varepsilon_{bS} + \mu_0 \frac{lh_4}{pb_1} + \mu_0 \frac{lh_5}{pb_5} + \\
 & + \mu_0 \frac{lh_6}{pb_6}
 \end{aligned} \tag{3.139}$$

- rezistența tranzitorie proprie nivelului m aflat în stratul superior

$$\tilde{R}_{mm}^{\sim}(p) = \frac{\mu_0 l}{b_1 \gamma_c} \operatorname{cth} \gamma_c h + \frac{\mu_0 l}{b_1 \gamma_c \operatorname{sh} \gamma_c h} \operatorname{ch} \gamma_c h (S_{bS} - m + 1) \tag{3.140}$$

- inductivitatea operațională proprie a nivelului m aflat în stratul superior:

$$\begin{aligned}
 \tilde{L}_{mm}^{\sim}(p) &= \frac{2}{p^2} (\gamma_c h \operatorname{cth} \gamma_c h - 1) + \frac{\mu_0 l}{pb_1 \gamma_c \operatorname{sh} \gamma_c h} \operatorname{ch} \gamma_c h (S_{bS} - m + 1) + \\
 & + \mu_0 \frac{lh_4}{pb_1} + \mu_0 \frac{lh_5}{pb_5} + \mu_0 \frac{lh_6}{pb_6}
 \end{aligned} \tag{3.141}$$

Rezistența operațională mutuală între nivelul 1 și m , ambele aparținând stratului inferior, aplicând relația (3.8), se obține:

$$\tilde{R}_{1m}^{\sim}(p) = \frac{\mu_0 l}{b_1 \gamma_c \operatorname{sh} \gamma_c h} + \frac{\mu_0}{b_1 \gamma_c \operatorname{sh} \gamma_c h} \operatorname{ch} \gamma_c h (S_{b1} - a + 1) \operatorname{ch} \gamma_c h \varepsilon_{bS} \tag{3.142}$$

Rezistența operațională mutuală între nivelul 1 și m , ambele aparținând stratului superior este:

$$\tilde{R}_{1m}^{\sim SE}(p) = \frac{\mu_0 l}{b_1 \gamma_c \operatorname{sh} \gamma_c h} + \frac{\mu_0 l}{b_1 \gamma_c \operatorname{sh} \gamma_c h} \operatorname{ch} \gamma_c h (S_{bS} - m + 1) \tag{3.143}$$

Inductivitatea operațională mutuală între nivelul 1 și m , ambele fiind plasate în stratul inferior, este:

$$\begin{aligned}
 \tilde{L}_{1m}^{\sim}(p) &= \frac{1}{p} \left[\frac{\mu_0}{b_1 \gamma_c \operatorname{sh} \gamma_c h} + \mu_0 \frac{h_2}{b_1} \operatorname{ch} \gamma_c h \varepsilon_{bS} + \frac{\mu_0}{b_1 \gamma_c \operatorname{sh} \gamma_c h} \operatorname{ch} \gamma_c h (S_{b1} - a + 1) \cdot \right. \\
 & \left. \operatorname{ch} \gamma_c h \varepsilon_{bS} + \mu_0 \frac{h_4}{b_1} + \mu_0 \frac{h_5}{b_5} + \mu_0 \frac{h_6}{b_6} \right]
 \end{aligned} \tag{3.144}$$

Dacă cele două nivele aparțin stratului superior, induc-
tivitatea operațională mutuală se obține:

$$\begin{aligned} \tilde{L}_{12}^{SS}(p) = \frac{l}{p} & \left[\frac{\mu_0}{b_1 \gamma_0 \operatorname{sh} \gamma_0 h} + \frac{\mu_0}{b_1 \gamma_0 \operatorname{sh} \gamma_0 h} \operatorname{ch} \gamma_0 h (S_{bS}^{-m+1}) + \mu_0 \frac{h_4}{b_1} + \right. \\ & \left. + \mu_0 \frac{h_5}{b_5} + \mu_0 \frac{h_6}{b_6} \right] \end{aligned} \quad (3.145)$$

Inductivitatea și rezistența operațională mutuală între
nivelul i și n, unul situat în stratul inferior, iar celălalt în
stratul superior, sînt:

$$\begin{aligned} \tilde{L}_{12}^{IS}(p) = \frac{l}{p} & \left[\frac{\mu_0}{b_1 \gamma_0 \operatorname{sh} \gamma_0 h} + \frac{\mu_0}{b_1 \gamma_0 \operatorname{sh} \gamma_0 h} \operatorname{ch} \gamma_0 h (S_{bS}^{-m+1}) + \mu_0 \frac{h_4}{b_1} + \right. \\ & \left. + \mu_0 \frac{h_5}{b_5} + \mu_0 \frac{h_6}{b_6} \right] \end{aligned} \quad (3.146)$$

$$\tilde{R}_{12}^{IS}(p) = \mu_0 \frac{l}{b_1 \gamma_0 \operatorname{sh} \gamma_0 h} \left[1 + \operatorname{ch} \gamma_0 h (S_{bS}^{-m+1}) \right] \quad (3.147)$$

Intrucît în studierea proceselor rapide, respectiv al feno-
menului de propagare a undelor de tensiune de-a lungul înfășurării
MKR, conform capitoului 2, vin în considerație parametrii
laturilor de bobină, se determină expresiile acestora, cunoscîndu-
se faptul că o latură de bobină dintr-un anumit strat este
formată din totalitatea nivelelor aceluia strat, înseriate.

Rezistența laturii de bobină din stratul inferior, este:

$$\begin{aligned} \tilde{R}^i(p) &= \sum_{n=1}^{S_{b1}} \left[\tilde{R}_{nn}^i(p) + \sum_{l=1}^{S_{b1}-1} \tilde{R}_{ln}^i(p) \right] \\ \tilde{L}^i(p) &= \sum_{n=1}^{S_{b1}} \left[\tilde{L}_{nn}^i(p) + \sum_{l=1}^{S_{b1}-1} \tilde{L}_{ln}^i(p) \right] \end{aligned} \quad (3.148)$$

În care sumele se referă la indicii inferior i din notația pa-
rametrilor operaționali mutuali ai nivelelor. Prin efectuarea
sumelor se obțin expresiile:

$$\tilde{R}^1(p) = \frac{\mu_0 l \varepsilon_{b1}}{b_1 \gamma_0 \operatorname{sh} \gamma_0 h} \left[\operatorname{ch} \gamma_0 h + \varepsilon_{b1} - 1 + \frac{\operatorname{sh} \gamma_0 h \frac{\varepsilon_{b1} + 1}{2}}{\operatorname{sh} \frac{\gamma_0 h}{2}} \cdot \operatorname{ch} \gamma_0 h \left(\frac{\varepsilon_{b1}}{2} + 1 \right) \cdot \operatorname{ch} \gamma_0 h \varepsilon_{bS} - \operatorname{ch} \gamma_0 h (\varepsilon_{b1} + 1) \operatorname{ch} \gamma_0 h \varepsilon_{bS} \right] \quad (3.149)$$

$$\tilde{L}^1(p) = \frac{\mu_0 l \varepsilon_{b1}}{p b_1 \gamma_0 \operatorname{sh} \gamma_0 h} \left[\operatorname{ch} \gamma_0 h + \varepsilon_{b1} - 1 + \frac{\operatorname{sh} \gamma_0 h \frac{\varepsilon_{b1} + 1}{2}}{\operatorname{sh} \frac{\gamma_0 h}{2}} \cdot \operatorname{ch} \gamma_0 h \left(\frac{\varepsilon_{b1}}{2} + 1 \right) \cdot \operatorname{ch} \gamma_0 h \varepsilon_{bS} - \operatorname{ch} \gamma_0 h (\varepsilon_{b1} + 1) \operatorname{ch} \gamma_0 h \varepsilon_{bS} \right] + \varepsilon_{b1}^2 \frac{\mu_0 l}{p} \cdot \left[\frac{h_2}{b_1} \operatorname{ch} \gamma_0 h \varepsilon_{bS} + \frac{h_4}{b_1} + \frac{h_5}{b_5} + \frac{h_6}{b_6} \right] \quad (3.150)$$

Proceedind analog pentru latura de bobina din stratul superior se obtine rezistenta și inductivitatea operațională proprie acesteia:

$$\tilde{R}^S(p) = \frac{\mu_0 l \varepsilon_{bS}}{b_1 \gamma_0 \operatorname{sh} \gamma_0 h} \left[\operatorname{ch} \gamma_0 h + \varepsilon_{bS} - 1 + \frac{\operatorname{sh} \gamma_0 h \frac{\varepsilon_{bS} + 1}{2}}{\operatorname{sh} \frac{\gamma_0 h}{2}} \cdot \operatorname{ch} \gamma_0 h \left(\frac{\varepsilon_{bS}}{2} + 1 \right) - \operatorname{ch} \gamma_0 h (\varepsilon_{bS} + 1) \right] \quad (3.151)$$

$$\tilde{L}^S(p) = \frac{\mu_0 l \varepsilon_{bS}}{p b_1 \gamma_0 \operatorname{sh} \gamma_0 h} \left[\operatorname{ch} \gamma_0 h + \varepsilon_{bS} - 1 + \frac{\operatorname{sh} \gamma_0 h \frac{\varepsilon_{bS} + 1}{2}}{\operatorname{sh} \frac{\gamma_0 h}{2}} \cdot \operatorname{ch} \gamma_0 h \left(\frac{\varepsilon_{bS}}{2} + 1 \right) - \operatorname{ch} \gamma_0 h (\varepsilon_{bS} + 1) \right] + \varepsilon_{bS}^2 \frac{\mu_0 l}{p} \left[\frac{h_4}{b_1} + \frac{h_5}{b_5} + \frac{h_6}{b_6} \right] \quad (3.152)$$

In cazul general, când curenții sînt diferiți în cele două straturi trebuie avuți în vedere și parametrii operaționali mutuali între cele două straturi din creștătură. Rezistența operațională mutuală între laturile de bobina din stratul inferior și superior este:

$$\tilde{R}^{1S}(p) = \sum_{i=1}^{\varepsilon_{b1}} \sum_{j=1}^{\varepsilon_{bS}} \tilde{R}_{1S}^{ij}(p) \quad (3.153)$$

Prin efectuarea sumelor se obține:

$$\tilde{R}^{1S}(p) = \frac{\mu_0 l}{b_1 \gamma_0 \operatorname{sh} \gamma_0 h} \left[s_{b1} s_{bS} + s_{b1} \frac{\operatorname{sh} \gamma_0 h \frac{s_{bS} + 1}{2}}{\operatorname{sh} \frac{\gamma_0 h}{2}} \operatorname{ch} \gamma_0 h \left(\frac{s_{bS}}{2} + 1 \right) - s_{b1} \operatorname{ch} \gamma_0 h (s_{bS} + 1) \right] \quad (3.154)$$

$$\tilde{L}^{1S}(p) = \frac{l}{p} \frac{\mu_0 l}{b_1 \gamma_0 \operatorname{sh} \gamma_0 h} \left[s_{b1} s_{bS} + s_{b1} \frac{\operatorname{sh} \gamma_0 h \frac{s_{bS} + 1}{2}}{\operatorname{sh} \frac{\gamma_0 h}{2}} \operatorname{ch} \gamma_0 h \left(\frac{s_{bS}}{2} + 1 \right) - s_{b1} \operatorname{ch} \gamma_0 h (s_{bS} + 1) \right] + s_{b1} s_{bS} \frac{\mu_0 l}{p} \left[\frac{h_4}{b_1} + \frac{h_5}{b_5} + \frac{h_6}{b_6} \right] \quad (3.155)$$

Parametrii operaționali și laturilor de bobină având expresiile (3.149), (3.150), (3.151), (3.152), (3.154) și (3.155) se folosesc pentru studiul procesului de propagare al impulsurilor de tensiune de-a lungul înfășurării M&R cu ajutorul ecuațiilor operaționale (2.3) - (2.15) date în capitolul 2.

3.7.3. Parametrii tranzitorii de creștătură

Pentru a avea o imagine mai clară asupra modului de variație a parametrilor de creștătură în timp, precum și pentru studiul proceselor tranzitorii în real, se stabilesc parametrii tranzitorii de creștătură prin aflarea originalelor expresiilor obținute ale parametrilor operaționali. Mai întâi se determină originalele expresiilor (3.136) - (3.143) ce reprezintă parametrii operaționali și laturilor spirelor și apoi se fac încaștrile corespunzătoare pentru aflarea parametrilor tranzitorii și laturilor de bobină.

Conform Anexei 4 se obțin parametrii tranzitorii și laturii de spirală după cum urmează:

Rezistența tranzitorie proprie a nivelului (laturii) n aflat în stratul inferior:

$$r_{nm}^1(t) = r_0 \left(1 + 2 \sum_{k=1}^{\infty} e^{-\frac{k^2 \tau^2}{\tau_s}} \right) + 2r_0 \sum_{k=1}^{\infty} (-1)^{K(s_{b1} + s_{bS} - n)} e^{-\frac{k^2 \tau^2}{\tau_s}} \quad (3.156)$$

Se notează inductivitatea interioară de c.c. a laturii de spirală cu:

$$l_{int} = \mu_0 \frac{lh}{3b_1} \quad (3.157)$$

Inductivitatea tranzitorie proprie aceluiași nivel este:

$$l_{mm}^I(t) = \frac{6l_{int}}{\gamma^2} \sum_{K=1}^{\infty} \frac{1}{K^2} (1 - e^{-\frac{K^2 \gamma^2}{\tau_S} t}) + \mu_0 \frac{lh_2}{b_1} + \frac{6l_{int}}{\gamma^2} \sum_{K=1}^{\infty} \frac{1}{K^2} (-1)^{K(\varepsilon_{b1} + \varepsilon_{b5} - m)} (1 - e^{-\frac{K^2 \gamma^2}{\tau_S} t}) + \mu_0 l \left(\frac{h_4}{b_1} + \frac{h_5}{b_5} + \frac{h_6}{b_6} \right) \quad (3.158)$$

Rezistența tranzitorie proprie nivelului m situat în stratul superior este:

$$r_{mm}^S(t) = r_0 \left(1 + 2 \sum_{K=1}^{\infty} e^{-\frac{K^2 \gamma^2}{\tau_S} t} \right) + 2r_0 \sum_{K=1}^{\infty} (-1)^{K(\varepsilon_{b5} - m)} e^{-\frac{K^2 \gamma^2}{\tau_S} t} \quad (3.159)$$

Inductivitatea tranzitorie proprie aceluiași nivel este:

$$l_{mm}^S(t) = \frac{6l_{int}}{\gamma^2} \sum_{K=1}^{\infty} \frac{1}{K^2} (1 - e^{-\frac{K^2 \gamma^2}{\tau_S} t}) + \frac{6l_{int}}{\gamma^2} \sum_{K=1}^{\infty} \frac{1}{K^2} (-1)^{K(\varepsilon_{b5} - m)} e^{-\frac{K^2 \gamma^2}{\tau_S} t} + \mu_0 l \left(\frac{h_4}{b_1} + \frac{h_5}{b_5} + \frac{h_6}{b_6} \right) \quad (3.160)$$

Rezistența și inductivitatea tranzitorie mutuală între nivelele 1 și m situate în stratul inferior sînt (1-m):

$$r_{1m}^{11}(t) = 2r_0 \sum_{K=1}^{\infty} \left[(-1)^K + (-1)^{K(\varepsilon_{b1} + \varepsilon_{b5} - m)} \right] e^{-\frac{K^2 \gamma^2}{\tau_S} t} \quad (3.161)$$

$$l_{1m}^{11}(t) = \frac{6l_{int}}{\gamma^2} \sum_{K=1}^{\infty} \frac{1}{K^2} \left[(-1)^K + (-1)^{K(\varepsilon_{b1} + \varepsilon_{b5} - m)} \right] (1 - e^{-\frac{K^2 \gamma^2}{\tau_S} t}) + \mu_0 l \left(\frac{h_2 + h_3}{b_1} + \frac{h_5}{b_5} + \frac{h_6}{b_6} \right) \quad (3.162)$$

Rezistența și inductivitatea tranzitorie mutuală între nivelele 1 și n, ambele aparținând stratului superior, au expresiile (1+n):

$$r_{1n}^{SS}(t) = 2r_0 \sum_{k=1}^{\infty} [(-1)^k + (-1)^{k(S_{bS}-n)}] e^{-\frac{k^2 \gamma^2}{\tau_S} t} \quad (3.163)$$

$$l_{1n}^{SS}(t) = \frac{6l_{10t}}{\gamma^2} \sum_{k=1}^{\infty} \frac{1}{k^2} [(-1)^k + (-1)^{k(S_{bS}-n)}] (1 - e^{-\frac{k^2 \gamma^2}{\tau_S} t}) + \mu_0 l \left(\frac{h_4}{b_1} + \frac{h_5}{b_5} + \frac{h_6}{b_6} \right) \quad (3.164)$$

Rezistența și inductivitatea tranzitorie mutuală între nivelul 1 din stratul inferior și nivelul n situat în stratul superior este:

$$r_{1n}^{IS}(t) = 2r_0 \sum_{k=1}^{\infty} [(-1)^k + (-1)^{k(S_{bS}-n)}] (1 - e^{-\frac{k^2 \gamma^2}{\tau_S} t}) \quad (3.165)$$

$$l_{1n}^{IS}(t) = \frac{6l_{10t}}{\gamma^2} \sum_{k=1}^{\infty} \frac{1}{k^2} [(-1)^k + (-1)^{k(S_{bS}-n)}] (1 - e^{-\frac{k^2 \gamma^2}{\tau_S} t}) + \mu_0 l \left(\frac{h_4}{b_1} + \frac{h_5}{b_5} + \frac{h_6}{b_6} \right) \quad (3.166)$$

În studierea fenomenului de propagare a undelor de tensiune de-a lungul înfășurării MFR cu ajutorul ecuațiilor în valori momentane, conform capitolului 2, este necesar cunoașterea parametrilor tranzitorii ai laturilor de bobină, parametri ai căror expresii depind de poziționarea laturilor în creștătură. Parametrii tranzitorii ai unei laturi de bobină se obțin prin însumarea parametrilor corespunzători ai nivelelor aparținând stratului reprezentând latura de bobină considerată.

Rezistența tranzitorie proprie stratului inferior este:

$$r^I(t) = S_{b1} r_0 + 2S_{b1} r_0 \sum_{k=1}^{\infty} \left[1 + (S_{b1}-1)(-1)^k + \frac{1}{2} (-1)^{kS_{bS}} - \frac{1}{2} (-1)^{k(S_{b1}+S_{bS})} \right] e^{-\frac{k^2 \gamma^2}{\tau_S} t} \quad (3.167)$$

Inductivitatea tranzitorie proprie straturii inferioare are expresia:

$$l^i(t) = \frac{6S_{b1} l_{int}}{\gamma^2} \sum_{k=1}^{\infty} \frac{1}{k^2} \left[1 + (S_{b1} - 1)(-1)^k + \frac{1}{2} (-1)^{kS_{bS}} - \right. \\ \left. - \frac{1}{2} (-1)^{k(S_{b1} + S_{bS})} \right] \left(1 - e^{-\frac{k^2 \gamma^2}{\tau^2} t} \right) + S_{b1}^2 \mu_0 l \left(\frac{h_2 + h_3}{b_1} + \frac{h_5}{b_5} + \frac{h_6}{b_6} \right) \quad (3.168)$$

Rezistența tranzitorie proprie laturii de bobină reprezentată de stratul superior este:

$$r^S(t) = S_{bS} r_0 + 2S_{bS} r_0 \sum_{k=1}^{\infty} \left[1 + (S_{bS} - 1)(-1)^k + \frac{1}{2} - \frac{1}{2} (-1)^{kS_{bS}} \right] e^{-\frac{k^2 \gamma^2}{\tau^2} t} \quad (3.169)$$

Inductivitatea tranzitorie proprie straturii superioare are expresia:

$$l^S(t) = \frac{6S_{bS} l_{int}}{\gamma^2} \sum_{k=1}^{\infty} \frac{1}{k^2} \left[1 + (S_{bS} - 1)(-1)^k + \frac{1}{2} - \frac{1}{2} (-1)^{kS_{bS}} \right] \cdot \\ \cdot \left(1 - e^{-\frac{k^2 \gamma^2}{\tau^2} t} \right) + S_{bS}^2 \mu_0 l \left(\frac{h_4}{b_1} + \frac{h_5}{b_5} + \frac{h_6}{b_6} \right) \quad (3.170)$$

Rezistența tranzitorie mutuală între stratul inferior și superior este:

$$r^{1S}(t) = 2S_{b1} r_0 \sum_{k=1}^{\infty} \left[S_{bS} (-1)^k + \frac{1}{2} - \frac{1}{2} (-1)^{kS_{bS}} \right] e^{-\frac{k^2 \gamma^2}{\tau^2} t} \quad (3.171)$$

$$l^{1S}(t) = \frac{6S_{b1} l_{int}}{\gamma^2} \sum_{k=1}^{\infty} \frac{1}{k^2} \left[S_{bS} (-1)^k + \frac{1}{2} - \frac{1}{2} (-1)^{kS_{bS}} \right] \left(1 - e^{-\frac{k^2 \gamma^2}{\tau^2} t} \right) + \\ + S_{b1} S_{bS} \mu_0 l \left(\frac{h_4}{b_1} + \frac{h_5}{b_5} + \frac{h_6}{b_6} \right) \quad (3.172)$$

Analizând expresiile parametrilor tranzitorii de creștere obținuți, se constată că rezistențele tranzitorii proprii sînt infinite în momentul inițial și scad monoton în timp către valorile lor în curent continuu. Rezistențele tranzitorii mutuale ve-

riază ajungând male la $t = \infty$. Acest mod de variație se explică prin faptul că în momentul inițial repartiția curentului este strict superficială, ceea ce implică o tensiune aplicată infinită la un salt de curent treaptă.

Inductivitățile tranzitorii sînt egale cu cele exterioare în momentul inițial, iar cu trecerea timpului cresc monoton spre valorile lor din curent continuu, care sînt egale cu suma celor exterioare și interioare. Valorile inițiale ale inductivităților tranzitorii sînt egale cu cele exterioare în momentul inițial, deoarece la injectarea unui curent-treaptă, în condiții inițiale de repaus, câmpul magnetic nu pătrunde instantaneu în conductor.

Rezistența tranzitorie a stratului inferior reprezintă suma rezistențelor r_0 în c.c. a laturilor (nivelurilor) de spirală din care e format la care se adaugă un termen variabil în timp. Acest termen este dat atât de cuplajele inductive dintre laturile de spirală din stratul inferior, cît și dintre acestea și laturile de spirală din stratul superior.

Rezistența tranzitorie a stratului superior este dată de suma rezistențelor r_0 în c.c. a laturilor (nivelurilor) de spirală din care e format acest strat și un termen variabil în timp. Acest termen este compus dintr-o infinitate de exponențiale datorate cuplajelor inductive dintre laturile de spirală din stratul superior. Laturile de spirală din stratul inferior nu au nici o contribuție deoarece în cazul alimentării numai a stratului superior nu există cuplaj între cele două straturi.

Rezistența tranzitorie mutuală între cele două straturi nu are componentă continuă, fiind formată dintr-o sumă infinită de exponențiale care se amortizează în timp și care se datoresc cuplajului inductiv dintre laturile de spirală din ambele straturi.

Analizînd expresiile (3.15c) și (3.16c) care dau inductivitatea tranzitorie proprie nivelului m din stratul inferior, respectiv superior, se constată că ambele conțin termenul:

$$\lambda(t) = \frac{6l}{\gamma^2} \sum_{k=1}^{\infty} \frac{1}{k^2} \left(1 - e^{-\frac{k^2 \gamma^2}{\tau_s} t} \right) \quad (3.173)$$

Această expresie corespunde inductivității tranzitorii proprii unui nivel dacă s-ar afla singur în creațătură și în absența la-

ductivității exterioare. În adevăr, în momentul inițial $\lambda(0^+) = 0$ și $\lambda(\infty) = l_{int}$, având în vedere că [99] :

$$\sum_{k=1}^{\infty} \frac{1}{k^2} = \frac{\gamma^2}{6}$$

Prin urmare inductivitatea tranzitorie proprie unei latură de spirală fie din stratul inferior, fie din cel superior este dată de această inductivitate $\lambda(t)$ corespunzătoare cîmpului magnetic propriu interior laturii de spirală, la care se adaugă influențele cuplajelor inductive a tuturor laturilor de deasupra, indiferent de strat și inductivitatea exterioară respectivă.

În cazul general studiat, când se ține seama de efectul pelicular, inductivitatea tranzitorie proprie unei bobine nu mai depinde de pătratul numărului de spire (expresia (3.168) și (3.170)), iar inductivitatea tranzitorie mutuală de produsul numerelor de spire a celor două bobine ce intră în considerație (expresia (3.172)). Acest lucru se explică prin faptul că fluxul nu mai este același prin spirele unei bobine datorită efectului amintit. Numai inductivitățile exterioare au dependența de numărul de spire cunoscută din teoria clasică.

Pentru înfășurări într-un strat rezistența și inductivitatea tranzitorie a laturii active de bobină se determină cu relațiile (3.169) și (3.170) în care S_{bS} reprezintă numărul de spire din care e formată bobina considerată.

În cazul mașinilor mari, la care bobinele sînt realizate din bare groase, determinarea parametrilor tranzitorii de creșteră se face cu expresiile (3.156), (3.158), (3.159), (3.160), (3.165) și (3.166) în care se consideră $S_{b1} = S_{bS} = m-1$, iar prin h se înțelege înălțimea barei din care este realizată înfășurarea.

Deoarece mașina prezintă creștături deschise, situație întâlnită la o gamă largă de mașini fabricate de Fabrica de mașini electrice Deșița, parametrul tranzitorii de creșteră se determină cu expresiile prezentate în care se consideră $h_5/b_5 + h_6/b_6 = 0$, iar h_6 reprezintă înălțimea de la stratul superior pînă la extremitatea creștăturii.

Procesul tranzitoriu studiat depinde de constanta de timp a spirii $\gamma_S = \mu_0 \sigma_0 h^2$. Presupunind materialul conductor ca fiind

cupru electrolitic, care are conductivitatea electrică $\sigma_{20^{\circ}} = 5,599 \cdot 10^7 \Omega^{-1} \text{ m}^{-1}$ și permeabilitatea magnetică $\mu_0 = \mu_0 = 4\pi \cdot 10^{-7} \text{ H/m}$ se obține: $\tau_{\Sigma} = 70,360366 \text{ h}^2$.

De fapt fisură exponențială din expresiile parametrilor tranzitorii se amortizează cu constanta de timp:

$$\tau_{\text{exp.c}} = \frac{\tau_{\Sigma}}{K^2 \gamma^2} \quad (3.174)$$

Pentru $K=1$: $\tau_{\text{exp.c}} = 7,036037 \text{ h}^2$.

Prin urmare constanta de timp depinde de înălțimea conductorului din care este executată înfășurarea. La mașinile mari cu înfășurare în bare $\tau_{\text{exp.c}}$ poate ajunge de ordinul de mărime a constantelor de timp supratranzitorii. Astfel pentru o înfășurare din bară de înălțime $b=45 \cdot 10^{-3} \text{ m}$ se obține o constantă de timp:

$$\tau_{\text{exp.c}} = 0,01424 \text{ s}$$

Deci $\tau_{\text{exp.c}}$ este de același ordin de mărime cu constante de timp supratranzitorie care este de $(0,01-0,1) \text{ s}$ [33]. Prin urmare procesele tranzitorii rapide obținute prin conectarea sau deconectarea mașinii electrice, scurtcircuitarea bruscă a unui generator, variații bruște de sarcină, etc. trebuie studiate folosind expresiile parametrilor tranzitorii și parametrilor de crestătură.

Acești parametri devin utili și în proiectare pentru a lua măsurile necesare încă în această fază pentru realizarea unei mașini care să fie fiabilă, să prezinte siguranță în funcționare, în cadrul căreia apar procese tranzitorii care solici-tă mașina în mod deosebit.

Pentru o mașină simetrică din punct de vedere electric se pot determina parametrii tranzitorii de crestătură ai unei faze știind numărul de bobine, iar pentru o bobină se are în vedere că laturile sale se află în straturi diferite, în cazul unei înfășurări în două straturi.

3.7.4. Capacitatea unei laturi de spirală față de masă și capacitatea mutuală între laturile de spirală aflate în aceeași creștătură

În tratarea problemei propuse, s-a presupus regim ovașt-staționar. Undele electromagnetice se propagă de-a lungul înfășurării mașinii electrice care este considerată un element spațial unidimensional, preponderând lungimea conductorului față de celelalte dimensiuni. Parametrii transversali în această situație sînt constanți și egali cu cei electrostatici.

Pentru determinarea capacității electrostatice a unei laturi de spirală din creștătura unei MNE față de masă și față de alte spire aflate în creștătură respectivă se au în vedere următoarele:

- se consideră o creștătură cu pereții paraleli, la care înălțimea se presupune mult mai mare decît lățimea sa b_1 ,
- în creștătură se găsesc $q_0 = S_0^1 + S_0^E$ conductoare rotunde de rază r , paralele cu baza creștăturii și încărcate cu sarcină astfel încît $q_1 + q_2 + \dots + q_{n_0} = 0$,
- materialul conductor se presupune de rezistivitate electrică nulă,
- se fixează un sistem de axe de coordonate carteziene bidimensional xy , (cîmpul fiind plan-paralel) conform fig.3.5.

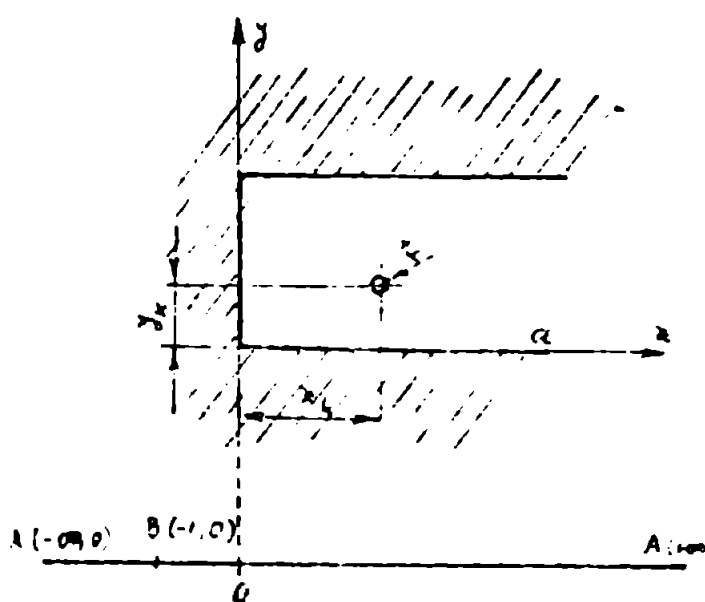


Fig.3.5. Transformarea conformă aplicată creștăturii.

Trebuie determinat mai întâi cîmpul electric, respectiv potențialele electrice ale conductoarelor electrice. Pentru aceasta se folosește metoda reprezentării conforme. Se aplică teorema lui Christoffel-Schwarz, transformînd planul (z) al creștăturii într-un plan (z') astfel încît interiorul creștăturii să devină semiplanul superior în (z'), iar punctul $z_k = x_k + jy_k$ să se regăsească în punctul $z'_k = x'_k + jy'_k$. În ve-

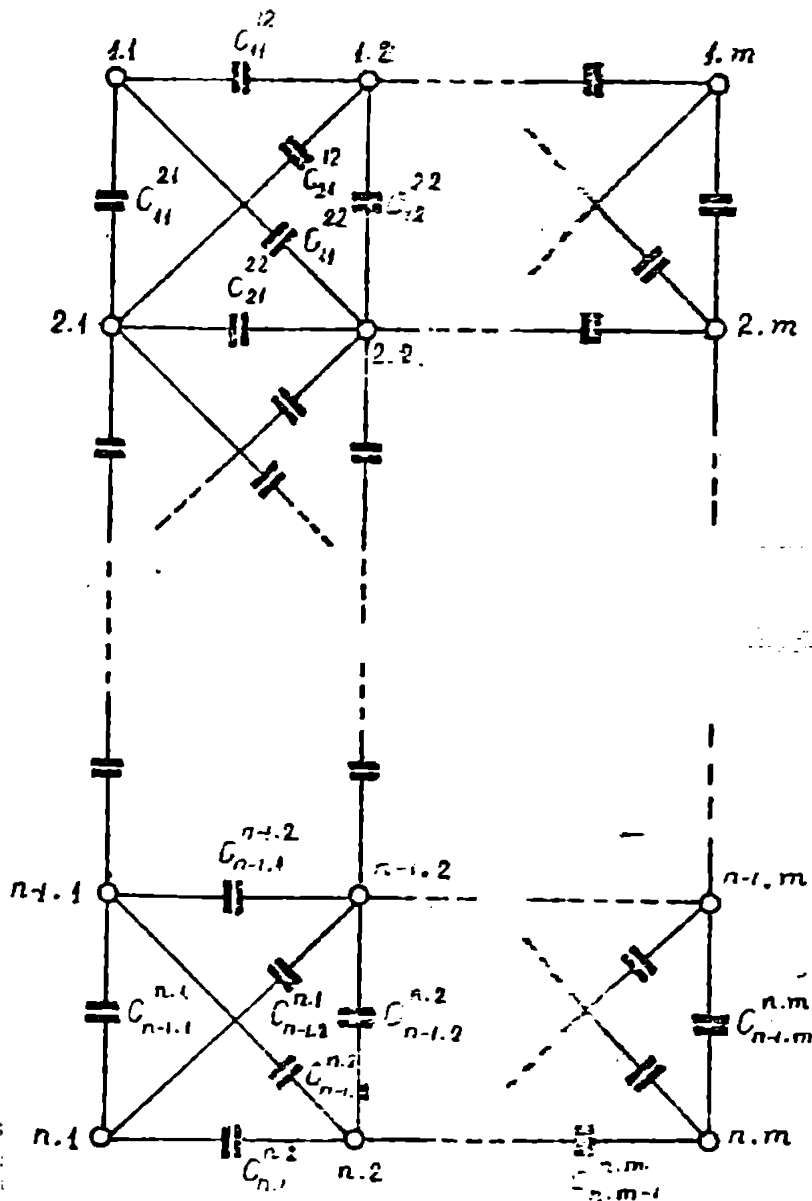
$$f_{kk} = sh \frac{\gamma x_k}{b_1} \sin \frac{\gamma y_k}{b_1}$$

$$F_{kk} = F_0$$

Faptă precizată aceste lucruri și cunoscând amplitudinea conductoarelor în creștătură se pot determina, deci capacitățile conductoarelor față de masă și între ele.

3.7.5. Capacitatea echivalentă între spira și față de masă a laturii de bobină din creștătură

Cunoscându-se capacitățile parțiale între conductoare și respectiv a acestora față de masă, se poate determina capacitatea K_1 echivalentă între laturile active ale spirelor unei bobine și



capacitatea C_1 a laturii de bobină față de masă. Pentru aceasta se stabilește o schemă electrică echivalentă care să țină seama de așezarea conductoarelor în creștătură conform fig.3.6. Se consideră conductoarele plasate pe a rânduri paralele cu baza creștăturii și câte a conductoare pe fiecare rând. Avînd în vedere acest mod de aranjare și că părțile conductoare sînt despărțite doar de materialul izolant, se presupune că există influență electrostatică numai între conductoarele învecinate.

Fig.3.6. Schemă echivalentă a capacităților între laturile de spirală din creștătură

Determinarea capacității echivalente între punctul 1.1 și m.m; considerate ca puncte de intrare și ieșire, se rezumă la identificarea din aproape în aproape a o serie de legături în triunghi a capacităților cu legări în stea. De exemplu pentru o latură de bobină forată din patru conductoare, se determină capacitatea echivalentă între 1.1 și 2.2 în modul următor:

Se transfigurează triunghiul format de capacitățile c_{11}^{12} , c_{11}^{21} și c_{21}^{12} în stea, obținându-se (fig.3.7) prin identificare:

$$c_{11}^I = \frac{c_{11}^{12} c_{11}^{21} + c_{11}^{12} c_{21}^{12} + c_{11}^{21} c_{21}^{12}}{c_{11}^{21}}$$

$$c_{11}^{II} = \frac{c_{11}^{12} c_{11}^{21} + c_{11}^{12} c_{21}^{12} + c_{11}^{21} c_{21}^{12}}{c_{11}^{12}} \quad (3.184)$$

$$c_{11}^{III} = \frac{c_{11}^{12} c_{11}^{21} + c_{11}^{12} c_{21}^{12} + c_{11}^{21} c_{21}^{12}}{c_{11}^{12}}$$

Conform fig.3.7, se poate acum obține capacitatea între laturile de spirală 1.1 și 2.2 ca fiind:

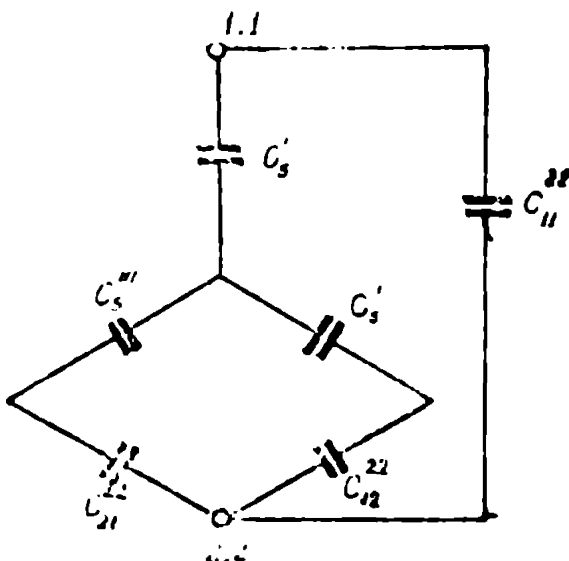


Fig.3.7. Transfigurarea triunghi în stea.

$$K_1 = \frac{c_{11}^{III} \cdot c_{12}^{22} + \frac{c_{11}^{II} \cdot c_{12}^{22}}{c_{11}^{II} + c_{21}^{12}} + \frac{c_{11}^{I} \cdot c_{12}^{22}}{c_{11}^{I} + c_{21}^{12}}}{c_{11}^{III} + c_{12}^{22}} + c_{11}^{22}$$

$$c_{11}^{III} = \frac{c_{11}^{II} \cdot c_{12}^{22} + \frac{c_{11}^{I} \cdot c_{12}^{22}}{c_{11}^{I} + c_{21}^{12}}}{c_{11}^{II} + c_{21}^{12}}$$

(3.185)

Capacitatea laturii de bobină față de masă se determină considerând paralelismul capacităților față de masă a conductoarelor din care este formată. Deci se obține:

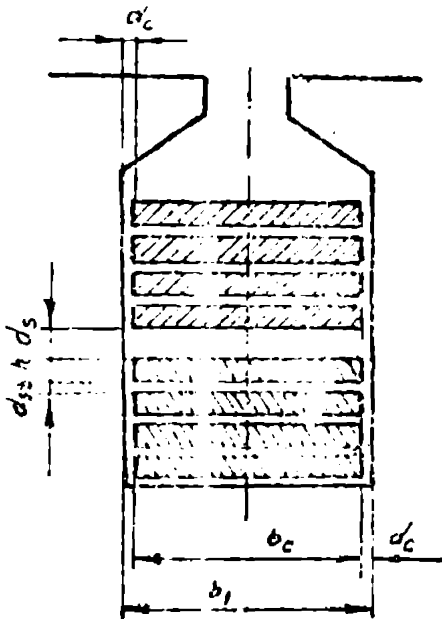
$$G_1 = \sum_{k=1}^b c_{ko} \quad (3.186)$$

În expresiile (3.185) și (3.186) capacitățile ce intervin se de-

termină cu formulele (3.184), respectiv cu formulele (3.179) și (3.180) stabilite în subcapitolul 3.7.4.

3.7.6. Expresia simplificată a lui K_1 și C_1

Se presupune laturile de spirală a ambelor straturi din creștătură ca fiind de secțiune dreptunghiulară $h \times b_c$, conform fig.3.8 și de lungime l . Dimensiunea h , fiind mai mică decât



b_c , a cărui valoare este apropiată de cea a lățimii creștăturii b_1 , se poate neglija cîmpul electric ce se închide pe fețele laterale $h \times l$ ale spirelor față de cel dintre suprafețele $b_c \times l$. Considerînd ϵ_{b_i} conductoare în stratul inferior și ϵ_{b_s} în stratul superior, capacitatea echivalentă dintre spire corespunzătoare laturii de bobină din stratul inferior este:

$$K_{11} = \frac{\epsilon_{b_i} \cdot b_c \cdot l}{(\epsilon_{b_i} - 1) d_{sb}} \quad (3.187)$$

Fig.3.8. Reprezentarea creștăturii pentru determinarea capacității electrostatice a înfășurării MEB.

iar cea corespunzătoare laturii de bobină din stratul superior este:

$$K_{12} = \frac{\epsilon_{b_s} \cdot b_c \cdot l}{(\epsilon_{b_s} - 1) d_{sb}} \quad (3.188)$$

în care ϵ_s reprezintă permitivitatea dielectrică a izolației spirelor, iar d_{sb} este grosimea izolației dintre spire. În aceeași condiții, capacitatea mutuală între cele două straturi este:

$$K_{112} = \frac{\epsilon_s \cdot b_c \cdot l}{d_s} \quad (3.189)$$

în care d_s reprezintă grosimea izolației dintre straturi.

Capacitatea față de masă a celor două straturi este diferită datorită poziționării lor diferite în creștătură. Astfel

capacitatea stratului inferior față de masă este:

$$C_{11} = \frac{\epsilon_0 \cdot b_0 \cdot l}{d_0} + 2 \sum_{k=1}^{S_{b1}} \frac{\epsilon_0 \cdot h \cdot l}{d_0} \quad (3.190)$$

iar în stratul superior este:

$$C_{12} = 2 \sum_{k=1}^{S_{b2}} \frac{\epsilon_0 \cdot h \cdot l}{d_0} \quad (3.191)$$

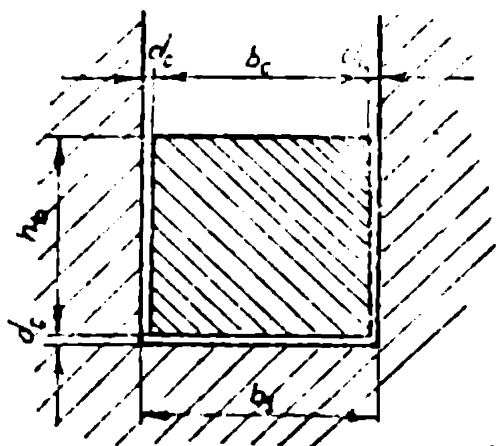
unde ϵ_0 este permitivitatea dielectrică a izolației de creștătură.

În caz obișnuit $S_{b1} = S_{b2}$ și deci capacitatea echivalentă K_{11} dintre spire corespunzătoare laturii de bobină din stratul inferior este egală cu capacitatea K_{12} dintre spirele laturii de bobină din stratul superior.

În expresiile (3.187) și (3.190) s-a considerat izolația dintre spire din același material și de aceeași grosime. În cazul existenței unui defect care modifică valoarea lui ϵ_0 sau d_{0b} , se ține seama în inserierea celor $(S_{b1}-1)$ sau $(S_{b2}-1)$ condensatori echivalenți formați.

Pentru mașinile mari, la care spre exemplu, bobina este constituită din bară grosă, noțiunea de capacitate între spire își pierde sensul. Capacitatea barei față de masă va fi constituită din trei capacități în paralel:

- cele două capacități ale condensatorilor plini formați de fețele laterale ale barei cu masa,
- capacitatea condensatorului plan format de baza barei cu masa.



$$C_l = 2 \frac{\epsilon_0 \cdot h_b \cdot l}{d_c} + \frac{\epsilon_0 \cdot b_0 \cdot l}{d_0} =$$

$$= \frac{\epsilon_0 \cdot l}{d_0} (2h_b + b_0) \quad (3.192)$$

Fig. 3.9. Constituirea unei spire cu înfășurare în bară.

3.8. Parametrii tranzitorii și crențelor frontale de bobină

Determinarea parametrilor crențelor frontale de bobină constituie o problemă foarte dificilă și în teoria clasică a parametrilor constanți datorită configurației geometrice diversificate și costul de imprecizie a acestei zone de bobinaj. Cu atât mai mult în cazul tratării parametrilor tranzitorii, dificultatea cunoașterii geometriei exacte a zonei în cauză implică impedimente în rezolvarea ecuațiilor câmpului electromagnetic. De aceea problema rezolvării ecuațiilor câmpului este tratată corespunzător cazului concret de mașină. Totuși se va da modal de determinare a rezistenței și inductivității tranzitorii proprii unui capăt de bobină format din S_p conductoare de secțiune dreptunghiulară. Pentru aceasta se consideră că toate liniile de câmp magnetic sînt paralele cu planul median $M-M$ (fig.3.10), deci perpendiculare pe latura de înălțime h a conductoarelor din care este constituit capătul de bobină. În aceste condiții, jumătate din numărul de conductoare are câmpul similar cu acela al unei crențături cu jumătate din numărul de conductoare S_p , dar crențătura de lățime $b_1 \approx b_c + 1,2h_p$ unde b_c este lățimea conductoarelor iar h_p reprezintă înălțimea capătului de bobină (fig.3.11). Prin urmare $h_p = S_p \cdot h$.

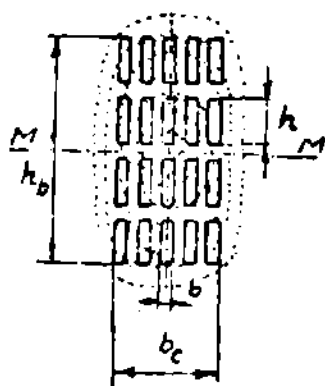


Fig. 3.10. Capătul de bobină în aer.

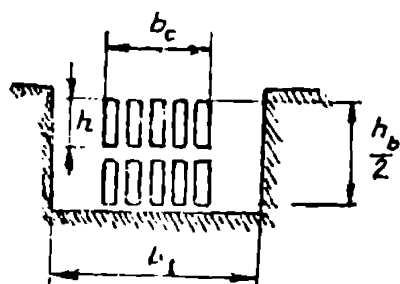


Fig. 3.11. Crențătura de calcul echivalentă capătului frontal de bobină.

din crențătura de calcul se obține în final expresia rezistenței și inductivității tranzitorii proprii a capătului frontal de bobină:

Aplicînd în mod corespunzător expresia (3.169) și (3.170) în cazul crențăturii de calcul din fig.3.11 și ținînd cont că numărul de conductoare ale capătului de bobină este dublu față de cel

$$z_f(t) = \frac{b_0 S_0}{b_0 + 1,2h_0} \left\{ 1 + 2 \sum_{K=1}^{\infty} \left[1 + \left(\frac{S_0}{2} - 1 \right) (-1)^K + \frac{1}{2} - \frac{1}{2} (-1)^{\frac{K-S_0}{2}} \right] e^{-\frac{K^2 r^2}{\tau_0} t} \right\} \quad (3.193)$$

$$l_f(t) = \frac{6b_0 S_0 l_{10t}}{\gamma^2 (b_0 + 1,2h_0)} \sum_{K=1}^{\infty} \frac{1}{K^2} \left[1 + \left(\frac{S_0}{2} - 1 \right) (-1)^K + \frac{1}{2} - \frac{1}{2} (-1)^{\frac{K-S_0}{2}} \right] \cdot e^{-\frac{K^2 r^2}{\tau_0} t} + \frac{S_0^2}{2} \mu_0 l \left(\frac{h_4}{b_1} + \frac{h_5}{b_5} + \frac{h_6}{b_6} \right) \quad (3.194)$$

Deoarece capătul frontal de bobină are o formă diversificată de la mașină la mașină, rezistența și inductivitatea tranzitorie se determină pentru fiecare caz concret în parte prin aceeași metodă și anume rezolvarea mai întâi a ecuației potențialului magnetic vector în zona respectivă și aplicarea teoriei generale a parametrilor tranzitorii redată pe scurt în paragraful 3.1.

Capacitatea între spire și față de masă a capătului frontal se deduce prin aplicarea relațiilor lui Maxwell (3.176) referitoare la potențialele electrice, după ce în prealabil s-a făcut reprezentarea conformă adecvată transformării capătului feromagnetic al mașinii într-un semiplan.

3.9. Concluzii și observații

Capitolul 3 tratează problema parametrilor tranzitorii ai MFR, care au fost determinați pe baza teoriei generale elaborată de acad.R. Hădulet, pentru circuite electrice și aplicată în special la liniile electrice.

Parametrii tranzitorii ale căror expresii au fost determinate, sînt utili în studiu corect al oricărui proces variabil în timp.

Metodica adoptată pentru studiul cîmpului electromagnetic din MFR în regim tranzitoriu este corectă, lucru confirmat de rezultatele obținute prin particularizare pentru regim sinusoidal, staționar. În acest caz au rezultat pentru stările de stare ale cîmpului electromagnetic o sumă infinită de unde rotitoare în sens direct peste care se suprapune o sumă infinită de unde roti-

teare în sens invers succesiunii fazelor mașinii, ceea ce corespunde intratutului teoriei clasice.

Cunoașterea mărimilor de stare ale circuitului electromagnetic în funcție de curentul care parcurge înfășurarea MFR, face posibilă determinarea pierderilor în fier prin curenți turbionari în orice regiune a mașinii. Aceste pierderi depind atât de caracteristicile de material și geometrice ale miezului feromagnetic, cât și de caracteristicile înfășurării mașinii. Creșterea de 5,41% între valoarea măsurată și calculată a pierderilor în fier prin curenți turbionari în cazul regimului sinusoidal confirmă aplicarea metodei propuse.

Rezistența tranzitorie echivalentă pierderilor în fier, a cărei expresie a fost stabilită, este utilă atât în studiul propagării undelor de tensiune de-a lungul înfășurării MFR cât și a oricărui proces tranzitoriu.

Parametrii tranzitorii ai bobinelor se utilizează în studiul fenomenului de propagare a undelor de tensiune de-a lungul înfășurării mașinii cu ajutorul ecuațiilor stabilite în capitolul 2. Rezistența și inductivitatea tranzitorie proprie unei bobine, de exemplu bobinei de ordinul o sînt:

$$r_b^0(t) = r_{00}(t) + r^1(t) + r^S(t) + 2r_f(t)$$

$$l_b^0(t) = l_{00}(t) + l^1(t) + l^S(t) + 2l_f(t)$$

în care parametrii tranzitorii proprii parțiali ai bobinei din aceste relații sînt dați de expresiile (3.104), (3.167), (3.169), (3.193), (3.99), (3.168), (3.170) și (3.194).

Rezistențele și inductivitățile tranzitorii mutuale între bobine, faze și respectiv cele de dresătură, a căror expresii generale au fost determinate intră în considerație în studiul problemei în funcție de situația concretă a existenței de cuplaje inductive între părțile în cauză.

Exponențialele care intră în componența parametrilor tranzitorii de magnetizare determinați în paragraful 3.6 se amortizează cu constanta de timp:

$$\tau_{\text{exp } f_0} = \frac{\tau_f}{k^2 \gamma^2} = \frac{\mu_{fe} \sigma_{fe} (b-c)^2}{k^2 \gamma^2}$$

unde b și c reprezintă diametrul exterior și interior statoric.

Această constantă obține valori apreciabile. Astfel pentru motorul de fabricație KMT tip IB₃ leo L rezultă $\tau_{exp} f_0 = 2,75 \cdot 5$ pentru K=1. Pe măsură ce ordinul K al exponențialei crește, valoarea lui $\tau_{exp} f_0$ scade mult. Aceste rezultate duc la concluzia că parametrii tranzitorii determinați în paragraful 3.6 se impun a fi folosiți în studiul arisării proces tranzitoriu.

Decarare constanta de timp $\tau_{exp} e$ avind expresia (3.174) are în general valori mult mai mici, de ordinul de mărime a constantelor supratranzitorii, parametrii tranzitorii de creșteră este necesar să introducă numai în stadiul proceselor ultrarapide, în rest se pot utiliza cei din c.c.

Expresiile parametrilor tranzitorii dau modul lor de variație de la $t=0$ la $t=\infty$. Complexitatea lor se reduce dacă interesează funcționarea mașinii pe anumite intervale de timp. În aceste condiții se obțin parametri cunoscuți: tranzitorii, supratranzitorii.

Capacitățile între spire și față de masă se iau în considerație numai în procesele ultrarapide. Chiar și în fenomenele de propagare a șocurilor de tensiune intervin numai un timp foarte scurt, de ordinul μs .

Dificultatea determinării parametrilor tranzitorii și a capacităților transversale a capetelor frontale de bobină constă în stabilirea geometriei, a amplasării acestora, în vederea rezolvării ecuațiilor câmpului electromagnetic. Procedul este același pentru orice caz particular, adică dacă se cunoaște geometria acestei zone, se rezolvă ecuația potențialului magnetic vector, iar apoi se determină impedanțele operaționale și în final parametrii tranzitorii.

CAPITOLUL 4

SOLICITAREA INFASURABILOR M.M.R. LA UNDE DE TENSIUNE IN CADRUL CONTROLULUI DE FABRICATIE SAU DEPARABIL SALE

4.1. Necesitatea controlului de fabricatie al M.M.R.

Urmariind ciclul de realizare a unui M.M.R., de la concepție și pînă la utilizare, se poate face următoarea clasificare a costului calității sale:

- a) Costul de fabricație.
- b) Costul de prevedere a calității, care înseamnă cheltuielile legate de personalul care se ocupă de proiectarea și aplicarea indicatorilor de calitate, cheltuieli legate de controlul procesului tehnologic.
- c) Costul de evaluare în domeniul calității.
- d) Costul defectelor de fabricație, care cuprinde pierderile cauzate de rebuturile de la standurile de probă nerecuperabile, cheltuieli legate de remedieri, remanieri.
- e) Costul de exploatare, care cuprinde:
 - e₁ - costul de constatare,
 - e₂ - costul defectelor din exploatare
 - e₃ - costul siguranței în exploatare sau costul mentenabilității.

Costele aceste costuri concurează la stabilirea costului global al produsului, care se tinde să fie cît mai mic. Unele categorii de costuri sînt evitabile. Astfel costul de fabricație, costul defectelor din exploatare, precum și costul siguranței în exploatare pot fi evitate, respectiv considerabil reduse prin aplicarea sistemului terotehnic și adoptarea de măsuri legate de creșterea fiabilității produsului. În acest sens trebuie studiate următoarele probleme:

- analiza fenomenelor fizice, tehnologice și de material care concurează la ridicarea costului defectelor de fabricație, respectiv din exploatare,

- cauzale căderilor premature în exploatare,
- studiul tehnologic aprofundat în vederea stabilirii de soluții pentru rezolvarea problemei încă în faza de concepție.

În cadrul unei fabrici constructoare de mașini electrice prin controlul calității care se efectuează în standul final se pot depista următoarele defecte:

A. - defecte electrice, dintre care:

- corp-fază
- scurtcircuit între spire
- întrerupt
- legături inversate
- parametrii electrici necorespunzători
- scurtcircuit între faze

B. - defecte mecanice, care constau în:

- rulment necorespunzător
- frecă rotorul
- apariția de vibrații
- diverse defecte mecanice (frecări ventilator, aspect exterior etc.)

Nici unul din defecte nu trebuie neglijat, deoarece fiecare poate perturba desfășurarea procesului tehnologic. Având însă în vedere că sub aspect valoric defectele au o pondere diferită, s-a făcut o statistică a defectelor de fabricație rezultate în urma încercărilor efectuate asupra mașinilor electrice la standul final din secția 12 a întreprinderii Electromotor Timișoara, în cursul anului 1977 și primul trimestru al anului 1978. Această statistică urmărește atât ponderea diferitelor tipuri de defecte de fabricație asupra numărului de motoare fabricate, cât și asupra costului de fabricație al produsului. S-a obținut situația conform tabelului 4.1.

Analizând rezultatele, se constată următoarele:

- Motoarele defecte reprezintă 15 - 20 % din motoarele încercate trimestrial,

- Luând în considerare materialul rebutat și costul operațiilor pentru remedierea acestor defecte, se obține o pierdere valorică substanțială de 1,2 - 2,2 mil./triac., ajungându-se la 6,5% mil. pe un an,

- Sub aspect procentual pierderea cea mai mare o au defectele mecanice și dintre acestea defectele determinate de rulment necorespunzător,

TABLEA 4.1. Statistica defectelor de fabricație la SMT.

		Trim.I 1977	Trim.II 1977	Trim.III 1977	Trim.IV 1977	TOTAL 1977	Trim.I. 1978
Total increcate		26369	27192	23093	25929	102583	23111
Total defecte	buc.	5093	4904	3024	5029	18396	4026
	%	19,31	18,53	16,56	19,4	18,45	17,42
	val.	1295123	1405504	1618199	2171304	6569966	2243621
Courtois- cuit corp - faza	buc.	430	524	671	634	2459	844
	%	1,63	1,927	2,9	3,206	2,39	3,65
	val.	826074	1006654	1298991	1602114	4723739	1621324
Courtois- cuit spi- re	buc.	105	137	94	199	535	242
	%	0,390	0,503	0,407	0,767	0,520	1,047
	val.	201705	263244	180574	382279	1027735	464862
Parametrii electrici	buc.	99	143	49	216	507	221
	%	0,370	0,525	0,210	0,03	0,49	0,95
	val.	5775	11011	5990	16632	38808	17017
Diverse electrice	buc.	207	591	412	617	2027	193
	%	0,785	2,17	1,70	3,15	1,97	0,83
	val.	2008	4521	3233	6334	16096	6302
Total defecte electrice	buc.	641	1395	1226	2066	5528	1500
	%	3,109	5,13	5,30	7,967	5,309	6,49
	val.	1035552	1286430	1478130	2077359	5506379	2109525
Aliment mecanico- pulsator	buc.	3700	2819	1961	2907	10795	1872
	%	14,06	10,37	8,49	0,89	10,52	8,10
	val.	255294	194033	135014	158904	743245	128093
Diverse mecanice	buc.	256	487	333	363	1379	373
	%	0,97	1,57	1,44	1,5	1,304	1,61
	val.	2008	3351	2613	2705	10744	2926

	buc.	12	2	1	7	22	3
Frecăță interior	%	0,045	0,007	0,004	0,0269	0,071	0,012
	val.	93	14	7	53	167	25
Defecte montaj, vibrații	buc.	276	341	303	286	1206	270
	%	1,046	1,25	1,31	1,10	1,17	1,24
	val.	2166	2676	2377	2243	9462	2252
Total defecte mecanice	buc.	4252	3509	2590	2963	13402	2520
	%	16,12	13,198	11,25	11,427	13,06	10,92
	val.	259561	200074	140011	163945	763500	134096

- Costul de fabricație al produsului este însă mult mărit de existența defectelor electrice (60 - 90 % din pierderea valorică) și în special de către defectul corp - fază care determină 65 - 80 % din întreaga pierdere valorică.

Aceleași constatări rezultă și din celelalte secții ale uzinei mai sus amintite, unde se execută mașini electrice de gabarite mai mici. Urmărind cauzele defectelor de fabricație ale mașinilor electrice, se precizează că există cauze comune tuturor defectelor și cauze specifice fiecărui defect în parte. Dintre cauzele comune se pot specifica:

- calificarea scăzută, respectiv neatenția în executarea unor operații a personalului,
- nerespectarea ritmului de producție care duce la depozitări interfasice sau strângeri ale fluxului tehnologic,
- nerespectarea materialelor prescrise în documentația tehnică,
- nerespectarea procesului tehnologic prescris și a planului de operații.

Dintre cauzele specifice, cele mai importante sînt:

a) Defectul "corp-fază", care poate fi întâlnit în ancoșă, la coborârile de legătură sau între coroană și carcasă, se pot datora:

- materialului izolației de crestătură necorespunzător,
- tăierea izolației la capătul pachetului statoric prin frecările din timpul bobinării,
- desizolării sîrmei la introducerea ei în ancoșă datorită existenței unor tole mai ușoare.

- deplasării izolației de creștătură în timpul bobinării datorită neatenției executantului sau a unei izolații prost debitată,

- izolației necorespunzătoare a cablurilor de legătură, respectiv leziuni anterioare ale acestei izolații.

b) Scurtcircuitul între faze - poate apărea în anecșă, între cablurile de legătură și în carcasă. Se datorează:

- deplasării izolației dintre straturi în anecșă sau a unei izolații necorespunzătoare între straturi,

- existenței unei izolații deficitare între capetele de bobină aparținând la faze diferite sau a deplasării acestei izolații, care este de dimensiuni prea mici,

- izolației necorespunzătoare a cablurilor de legătură.

c) Scurtcircuitul între spire se poate datora:

- defectelor peliculare și punctiforme ale izolației sârmei,

- picăturilor de zgură rezultate în urma sudării capetelor de bobină,

- lezării bobinajului datorită unor manipulări necorespunzătoare,

- șpanului rezultat la curățirea mașinii electrice în urma impregnării.

d) Principalele cauze care determină defectul "Parametrii electrice necorespunzătoare" sînt:

- întrefier neuniform datorat deformării pachetului statoric fie prin lovire, fie printr-o presare necorespunzătoare,

- întrefier neuniform datorită unei curățiri excesive a lacului de impregnare,

- folosirea unei table silicioase cu proprietăți necorespunzătoare ceea ce duce în general la mărirea pierderilor în fier,

- mărirea rezistenței rotorice prin tarnaxea Al (în cazul mașinii sincronă cu rotor în colivie) cu suflări sau chiar prin existența de bare întrerupte,

- bobinări defectuoase cu nerespectarea pasului de bobinaj sau folosirea unei sârme cu diametru necorespunzător.

Analizînd cauzele defectelor electrice, care produc o creștere accentuată a costului de fabricație a mașinilor electrice, se constată că majoritatea sînt de natură tehnologică. Nu întotdeauna și în orice fabrică se pot lua măsuri radicale

în vederea reducerii acestor esase, fiind condiționate atât de defecte interne cât și externe. O măsură eficientă însă, în scopul micșorării costului defectelor de fabricație este introducerea controlului intermediar, pe fluxul tehnologic de realizare a MEB. În felul acesta este posibilă remedierea defectelor constatate pe flux, fără pierderi considerabile (tăierea întregului bobinaj, demontarea și montarea completă a mașinii etc.). În acest sens s-au conceput aparate de control a MEB, prin care acestea sau părți componente să fie supuse în cadrul verificărilor unor condiții apropiate de cele din exploatare. Aceste aparate urmăresc depistarea în special a defectelor cu ponderea cea mai mare în pierderile valorice: defectul corp-fază, scurtcircuit între faze și scurtcircuit între spire.

4.2. Metoda de control a înfășurărilor MEB

STAS 1093-65 prevede încercarea izolației prin aplicarea unei tensiuni de frecvență industrială și menținerea ei un timp (1 - 3 minute). Se prevede modul de aplicare a acestei tensiuni și valoarea minimă a rezistenței rezultată ca raportul tensiunii aplicate și a curentului de fugă măsurat. Această metodă are o serie de neajunsuri:

- existind o valoare minimă a rezistenței care determină refuzarea mașinii, nu se primesc informații asupra stării izolației în diverse puncte, unde datorită unor cauze mecanice sau constructive izolația este slăbită și influențează valoarea globală în mod nesemnificativ,

- nu se pot depista defecte cum ar fi scurtcircuitarea unei spire în cazul unui număr mai mare de spire pe fază,

- înfășurarea nu este sollicitată complex,

- nu se pot trage concluzii asupra locului defectului.

Pentru a putea formula un verdict asupra stării izolației, această probă trebuie combinată cu măsurarea $\tan \delta$. Metoda este deci și neproductivă.

Având în vedere că în timp producția de mașini electrice a crescut considerabil, s-a impus necesitatea verificării înfășurării sale printr-o metodă rapidă și eficientă pe fluxul tehnologic de fabricație, care să răspundă și desideratelor expuse la subcapitolul 4.1.

Este utilă o clasificare a metodelor pe care se bazează diferite aparate de testare a înfășurărilor MFR în funcție de principiul care stă la baza metodei. Astfel se pot distinge:

4.2.1. Metode care se bazează pe variația parametrilor înfășurării la apariția scurtcircuitelor rezultate prin deteriorarea izolației.

4.2.1.1. Variația rezistenței în curent continuu, care constă în compararea rezistenței înfășurării cu aceea a unei etalon sau cu o valoare calculată. Intrucât variația rezistenței în cadrul scurtcircuitării unei spire, de exemplu, este neglijeabilă, metoda se dovedește neconcludentă [67, 76, 94, 136].

4.2.1.2. Variația inductivității.

4.2.1.2.1. Sesizarea scurtcircuitului între spire pentru bobine separate, neintroduse în ancoșe, prin dezamorsarea osciloștilor unui circuit oscilant acordat pe o anumită frecvență. Această situație se întâlnește în special la verificarea bobinelor turbo și hidrogeneratorelor electrice [23, 20, 45, 25, 105]. Metoda este eficientă în sensul arătat, însă prezintă dezavantajul că nu se poate aplica bobinajului introdus în crestături, în special la mașini mici.

4.2.1.2.2. Sesizarea scurtcircuitului prin dezechilibrarea unei punți, care are într-un braț o înfășurare de referință. Această metodă prezintă unele dezavantaje:

- necesită o înfășurare de referință pentru fiecare tip și gabarit de mașină,
- nu se încarcă mașina la tensiunea nominală,
- variația inductivității la scurtcircuitarea unei spire se găsește în toleranțele de execuție și neuniformitate ale circuitului magnetic.

4.2.1.3. Modificarea impedanței înfășurării. Acesta constă în modificări ale curentului la o tensiune dată, atât în modul cât și ca fază [18, 61, 75]. Pe baza acestei metode s-au realizat o diversitate de aparate deoarece permite verificarea bobinajelor chiar dacă acestea prezintă accesibilitate doar la borne.

4.2.2. Metode inductive, care constau în sesizarea cimpului magnetic produs de curenții care se închid datorită defectu-

lui. Aplicarea acestei metode a dus la o mare varietate de soluții constructive, dovedindu-se mai eficientă decât celelalte metode. Prezintă impedimentul necesității de a avea accesibilitate în interiorul mașinii, palpatoarele fiind greu de manevrat în multe situații [58].

4.2.3. Metoda testării prin studiul repartiției undei de tensiune aplicată înfășurării. Folosirea acestei metode aduce un progres în verificarea înfășurărilor mașinilor electrice, datorită avantajelor pe care le prezintă:

- înfășurarea mașinii este solicitată în condiții asemănătoare exploatarei,
- defectele de izolație apar vizibil, chiar dacă nu sînt acute,
- verificarea înfășurării este complexă, putîndu-se obține informații în legătură cu teste defectele electrice,
- metoda în sine este simplă, ușor de aplicat, dînd rezultate bune, cu o sensibilitate suficientă, cînd există o anumită rutină.

Deși dintre metodele analizate, aceasta este cea mai avantajoasă, nu s-a generalizat în toate fabricile constructoare de mașini electrice și ateliere de reparat întrucît din punct de vedere teoretic nu s-au făcut progrese în privința studierii comportării mașinii la unde de tensiune. Ea se folosește în special la verificarea izolației mașinilor electrice mari, de înaltă tensiune [59, 66, 104, 134] întrucît o defecțiune în exploatarea acestora are urmări foarte grave. În rest se folosește în general metoda clasică (a măsurării curentului de fugă și $\tan \delta$) [116] sau combinată (între spire la ună de impuls, iar la masă cu tensiune sinusoidală la 50 Hz) [60].

4.3. Aparata de control al înfășurărilor MES realizate la I.P.T.

Tehnica defectoscopiei cu impulsuri de tensiune a bobinajelor MES a cîștigat tot mai mare importanță, datorită avantajelor expuse anterior. Soluțiile constructive diferă după:

4.3.1. Modul de producere a impulsurilor.

4.3.1.1. Pe cale electrostatică - metodă simplă, ieftină, dar necesită mult gabaritul aparatului.

4.3.1.2. Pe cale mecanică - metodă simplă, ieftină, însă contactul eclatorului se uzează în timp.

4.3.1.3. Pe cale electronică - metodă sigură, robustă, dar costisitoare.

4.3.2. Modul de observare a răspunsurilor înfășurărilor testate.

4.3.2.1. Observarea în timp pe oscilograf a răspunsului unei singure înfășurări - metodă sigură, precisă, însă costisitoare și necesită personal calificat.

4.3.2.2. Observarea simultană pe oscilograf a răspunsurilor suprapuse - are aceleași avantaje și dezavantaje.

4.3.2.3. Observarea cu un instrument auxiliar, respectiv cu senzorare luminoase - metodă simplă, ieftină, nu necesită personal calificat.

4.3.3. Modul de conștinare succesivă a impulsurilor de tensiune pe înfășurările testate.

4.3.3.1. Mecanic.

4.3.3.2. Electric.

Având în vedere posibilitățile constructive ale aparatelor de control al bobinajelor MEB, s-a realizat instalația complexă ACIB introdusă în producția întreprinderii Electrotinaj [137], la care a contribuit și autorul. Această instalație este pentru bobinajele trifazate simetrice următoarele posibilități de control:

- verificarea continuității și corectitudinii marcării bornelor,
- măsurarea rezistenței fiecărei faze,
- verificarea izolației între înfășurări și față de miez prin unde de tensiune cu $10/60 \mu\text{sec.}$, iar amplitudinea undelor reglabilă între 500 - 5000 V,
- verificarea izolației între spire,
- inversare de bobine pe o fază,
- inversarea începutului cu sfârșitul.

Deși instalația dă posibilitatea testării complexe a mașinii, ea este ușor de mînut și afișajul este simplă. Se poate folosi și este de fapt necesar să se folosească în teste fabricile constructoare de mașini electrice de puteri pînă la 1000 KW și tensiuni sub 1000 V.

În scopul verificării bobinajelor MBR în orice atelier de reparat, s-au conceput aparate portabile, care să stea la dispoziția electricianului depanator. În acest sens au fost realizate de către autorea acestei lucrări documentația de proiectare a două prototipuri în cadrul Sectorului de prototipuri și micro-produșie a Institutului Politehnic "Gheorghe Muzila", numite Izolatest și Robinetest, iar în cadrul catedrei de electrotehnica și mașini electrice aparatul Linetest. Iată aceste aparate de control satisfac o serie de cerințe tehnico-economice, executând un control complex și într-un timp scurt, cu o precizie ridicată, indică clar natura defectului, locul defectului, o bună manevrabilitate care nu cere un personal cu o calificare deosebită, sînt robuste și ieftine, fiind realizate numai cu piese indigene. Iate aparatele elaborate utilizează trenuri de unde amortizate la o frecvență medie de 2,5 - 15 kHz. Tensiunea este ridicată, dar curenții sînt limitați, astfel încît energia disipată este mică și deci controlul este nedistructiv.

Aparatul Izolatest

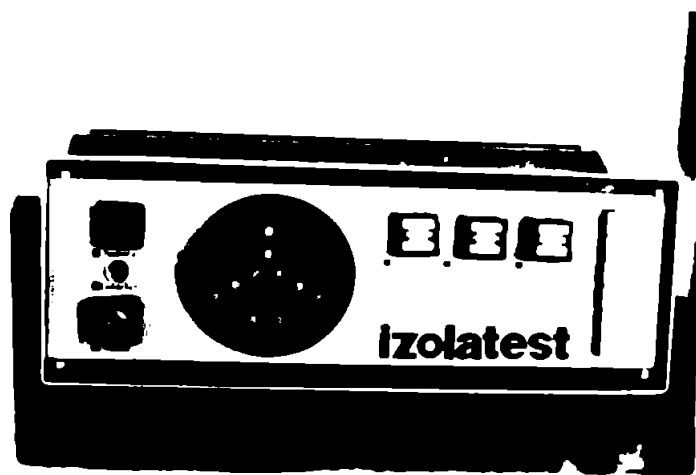


Fig.4.1. Aparatul Izolatest.

Se folosește la testarea bobinajelor cu trifazate sau nu accesibil. Principiul de funcționare este următorul: se formează trei circuite oscilante compuse din fazele mașinii și o baterie de condensatoare perfect echilibrate pe cele trei faze. Prin in-

cărcarea bateriei la tensiuni înalte identice pe faze și descărcarea ei pe înfășurările mașinii, oscilațiile de relaxare ce iau naștere în cele trei circuite sînt identice numai atunci cînd mașina prezintă aceeași parametri pe fiecare fază, adică în condițiile unor înfășurări fără defecte. Între cele trei circuite oscilante sînt puse sesizoare care să vizualizeze diferențele în funcție de natura defectului. Schema electrică principială este dată în fig.4.2. Frecvența de repetiție a oscilațiilor de relaxare este de 1 Hz, cu tensiunea de încercare reglabilă între 500 și 3000 V. Aparatul mai poate fi folosit și ca sursă de l.e. alternativă la 50 Hz în vederea încercării rigidității dielectrice a materialelor electreizolante.

Subansamblele aparatului, sesizarea de semnale și eclatorul rotativ au constituit obiectul a două invenții ale autoarei [112, 113]. Recent s-a întocmit documentația unui nou aparat bazat pe același principiu și cu aceeași utilitate însă eclatorul rotativ a fost înlocuit cu un ventil electronic. Totodată a fost conceput un sesizor pentru absența punerii la pământ a aparatelor de înaltă tensiune, care a fost înaintat ca propunere de invenție la OSIM.

Aparatul Bobinotest

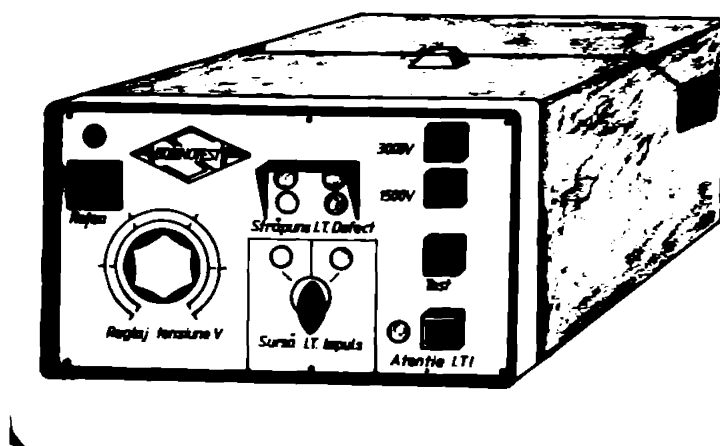


Fig.4.3. Aparatul Bobinotest.

Este destinat testărilor bobinelor mari, reintroduse în creștături. Tensiunea de încercare este reglabilă între 2500 -

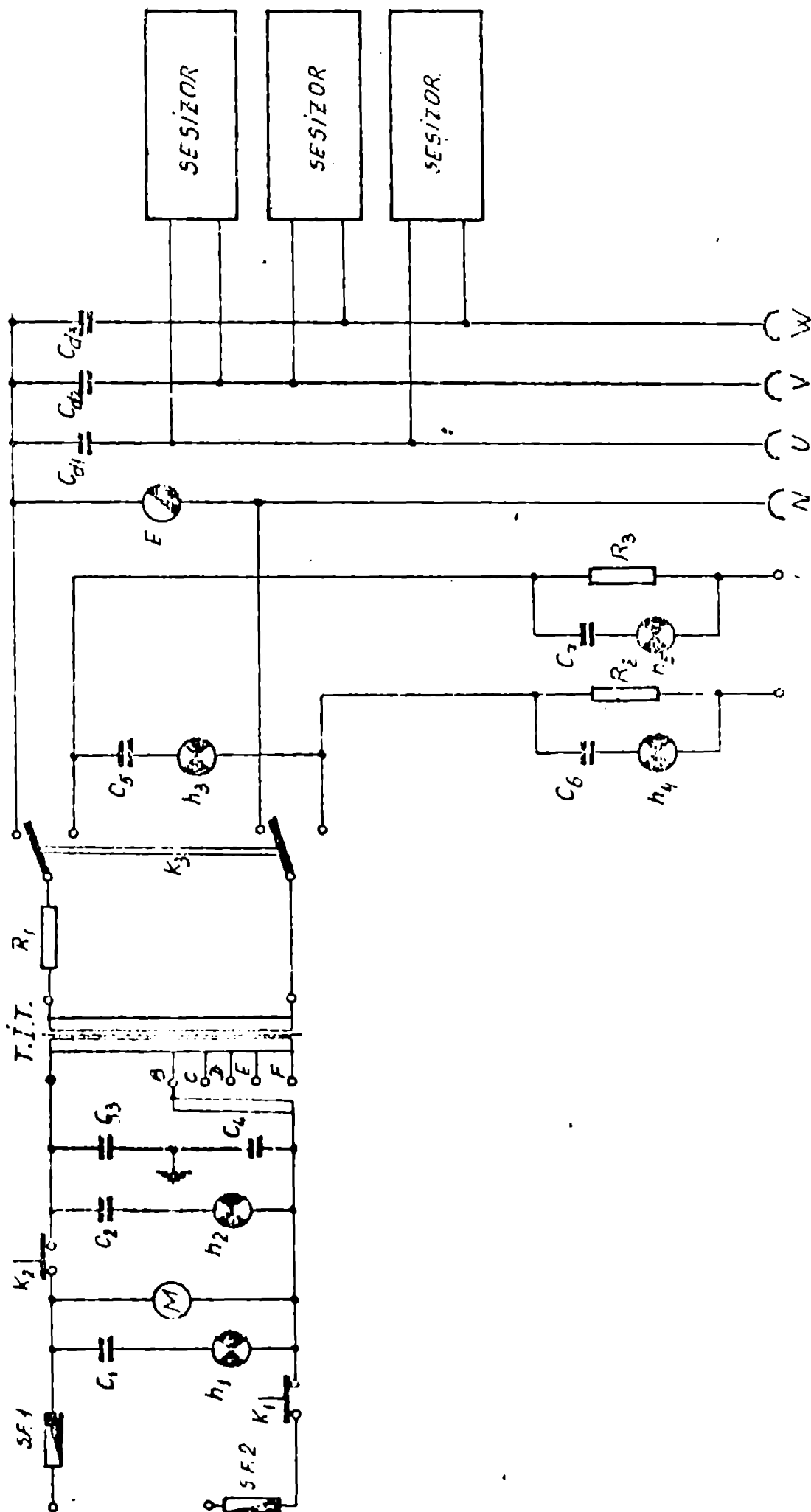


Fig. 5.2. Schema electrică de principiu a aparatului **IZOLATEST**

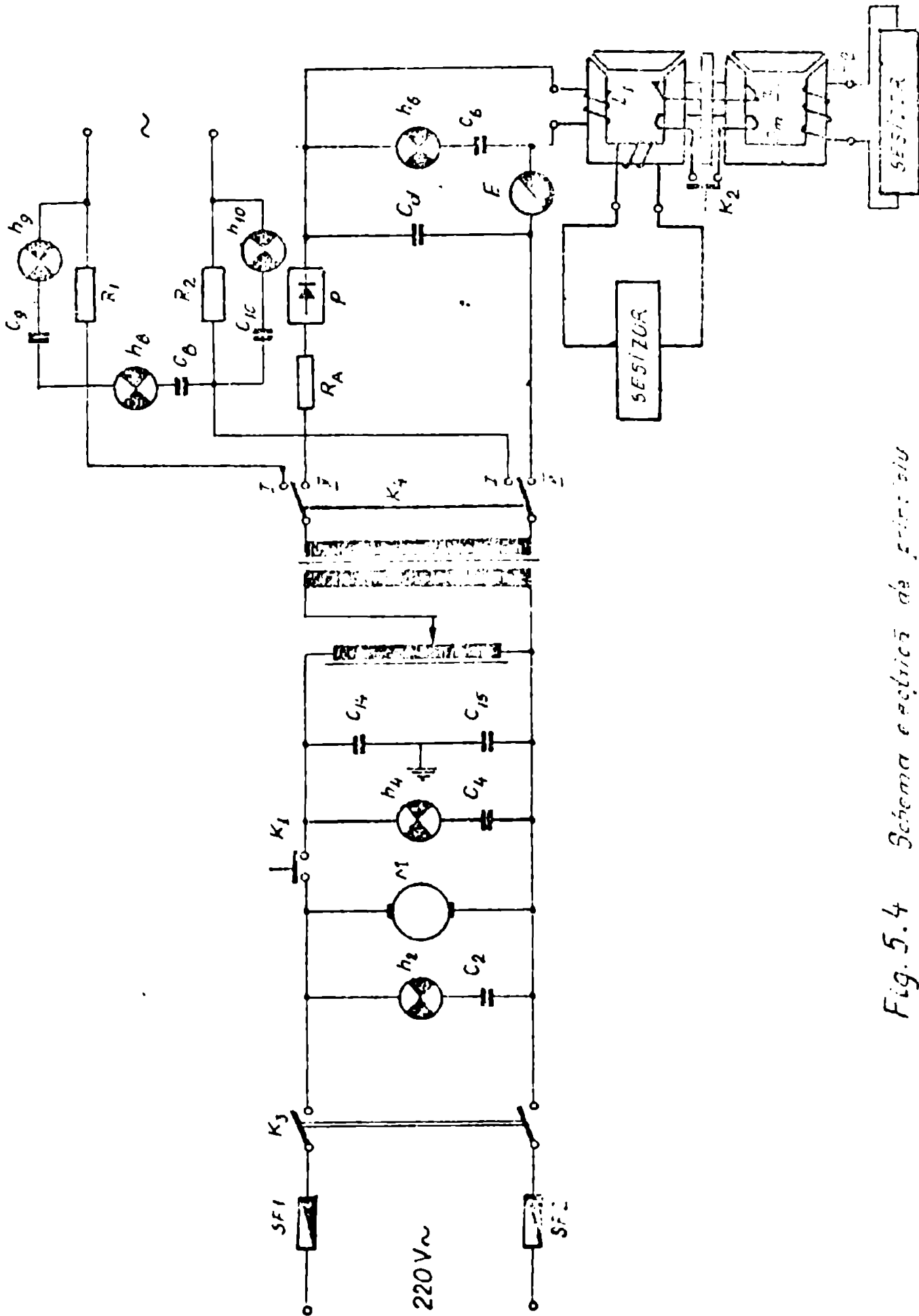


Fig. 5.4 Schema electrică de principiu
a aparatului BOBINOTEST

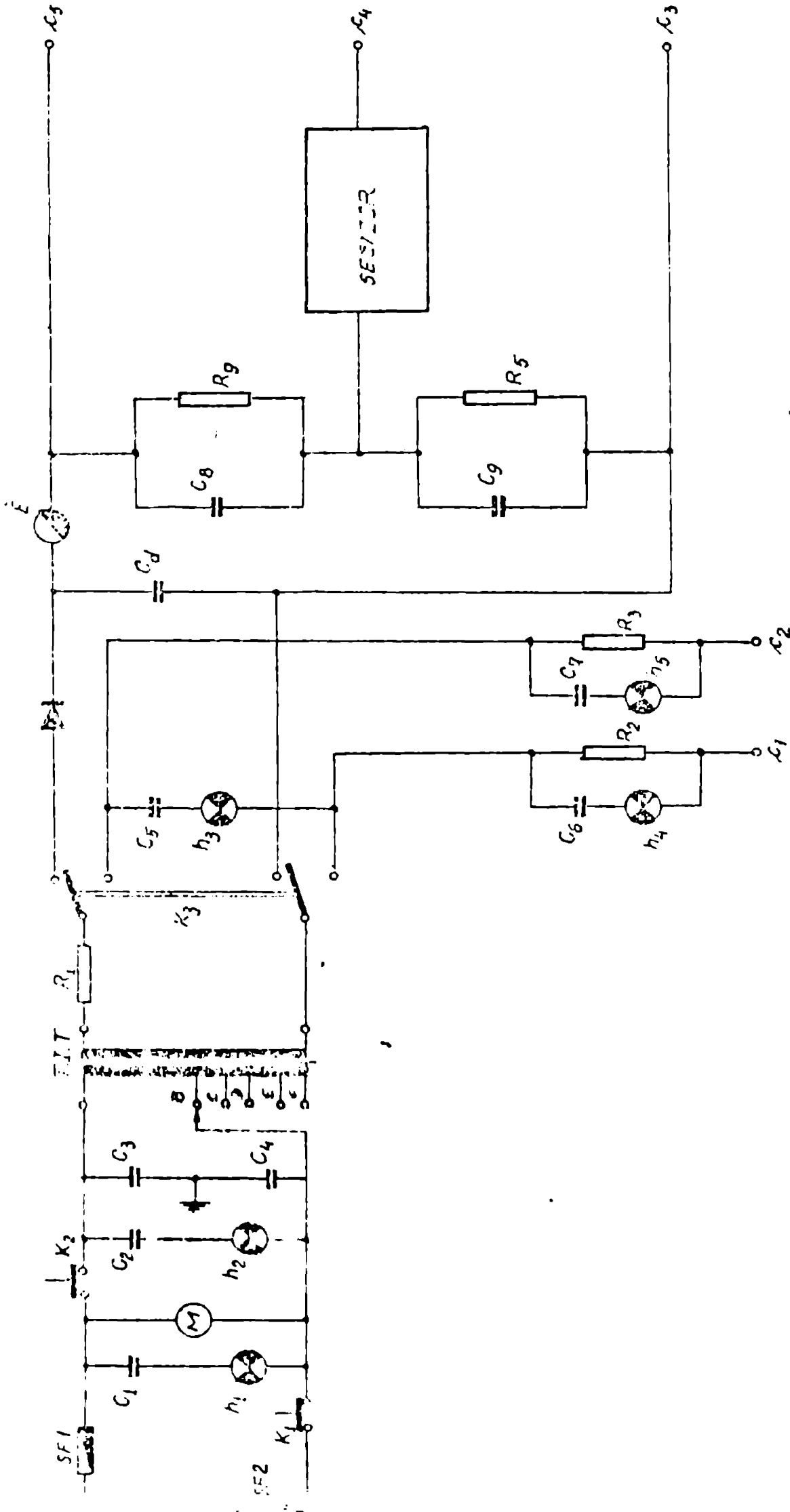


Fig. 5.6. Schema electrică de principiu a aparatului SIMETEST

6000 V. Bobina testată B_2 (fig.4.4) este supusă unei tensiuni oscilante cu frecvența de 5000 - 10000 Hz, inclusă în ea de un circuit oscilant a cărui inductivitate L_1 este plasată pe aceeași miez feromagnetic. Dacă bobina încercată are un defect de izolație, induce într-un al doilea miez un flux care este sesizat în mod corespunzător prin intermediul inductivității L_2 . Bobina mare B_3 care înălțăie și ea același miez are rolul de a verifica închiderea circuitului magnetic a celui de al doilea miez. Acest aparat se poate folosi ca sursă de c.c. la 50 Hz.

Aparatul de test

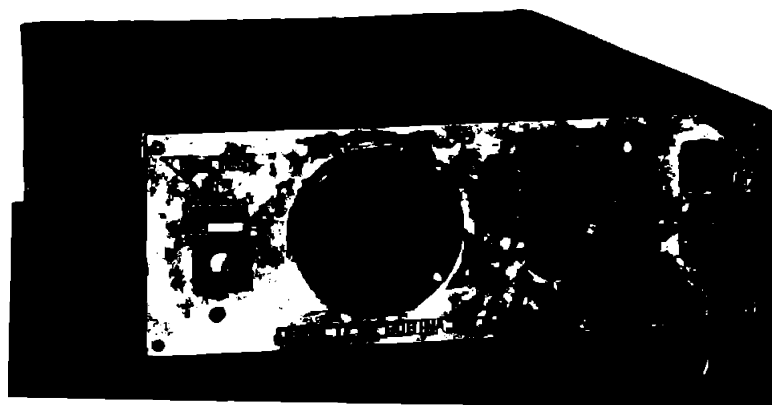


fig.4.5. Aparatul de test.

are aceeași schemă principială în prima parte ca și izolatorul, însă prezintă o baterie de condensatoare monofazate, de descărcare (fig.4.6). Divizorul de tensiune de la bornele bateriei B_1 face ca aparatul să aibă nevoie pentru testare doar de trei borne de referință și respectiv două puncte de simetrie. Astfel se poate folosi la verificarea bobinajelor sau cu conexiune triunghi sau stea fără nul accesibil. De asemenea se pretează la verificarea mașinilor asincrone monofazate și respectiv a rotorilor de c.c.

4.4. Capacitatea optimă de descărcare

În capitolul 2 al lucrării s-a arătat că și fenomenele ce au loc la controlul înfășurărilor MEF se studiază în același mod ca și procesul de propagare a undelor, în exploatare. De asemenea s-a stabilit că în aparatele de control concepute, capacitatea de descărcare pentru care oscilațiile sînt maxime și deci sînt mai ușor sesizabile este diferită de la mașină la mașină, depinzînd de impedanța $Z_0(p)$ a acestuia, conform relației (2.37).

Experimental s-a verificat acest lucru la o gamă largă de mașini de puteri între 0,37 KW și 75 KW, avînd o spiră în scurt-circuit pe o fază; punîndu-le pe rînd capacități diferite de descărcare, s-a măsurat tensiunea minimă pentru care becul de la senzor se aprinde. Astfel în cazul aparatului izolat s-au obținut curbele tensiunii minime de sesizare funcție de capacitatea totală C_g a bateriei (cele trei faze luate în paralel) pentru motoare mici la frecvența de descărcare de 1 Hz (fig.4.7) și la frecvența de 0,5 Hz (fig.4.6). Cum era și de așteptat această tensiune minimă de aprindere U_g practic nu depinde de frecvența de repetiție. Din interpretarea curbelor, rezultă că pentru motoare mici cu $P_n(0,37 - 7,5)$ KW, capacitatea optimă este:

$$C_g \text{ opt} = 0,44 \mu F$$

Pentru această valoare tensiunea minimă de aprindere este:

$$U_g = (200 - 400) V$$

În cazul motoarelor mari cu $P_n(30 - 75)$ KW s-a obținut:

$$C_g \text{ opt} = 2,145 \mu F$$

pentru care $U_g = (250 - 400) V$.

Tinînd seama că în mod obișnuit tensiunea de încercare este minimum 100%, rezultă un coeficient de siguranță de 300% pentru ambele gabarite. În aceste condiții s-ar putea acoperi întreaga gamă de motoare cu o singură baterie de capacități la un coeficient de siguranță de 200%, dacă se ia:

$$C_g = 1,45 \mu F$$

pentru această valoare $U_g = (300 - 600) V$.

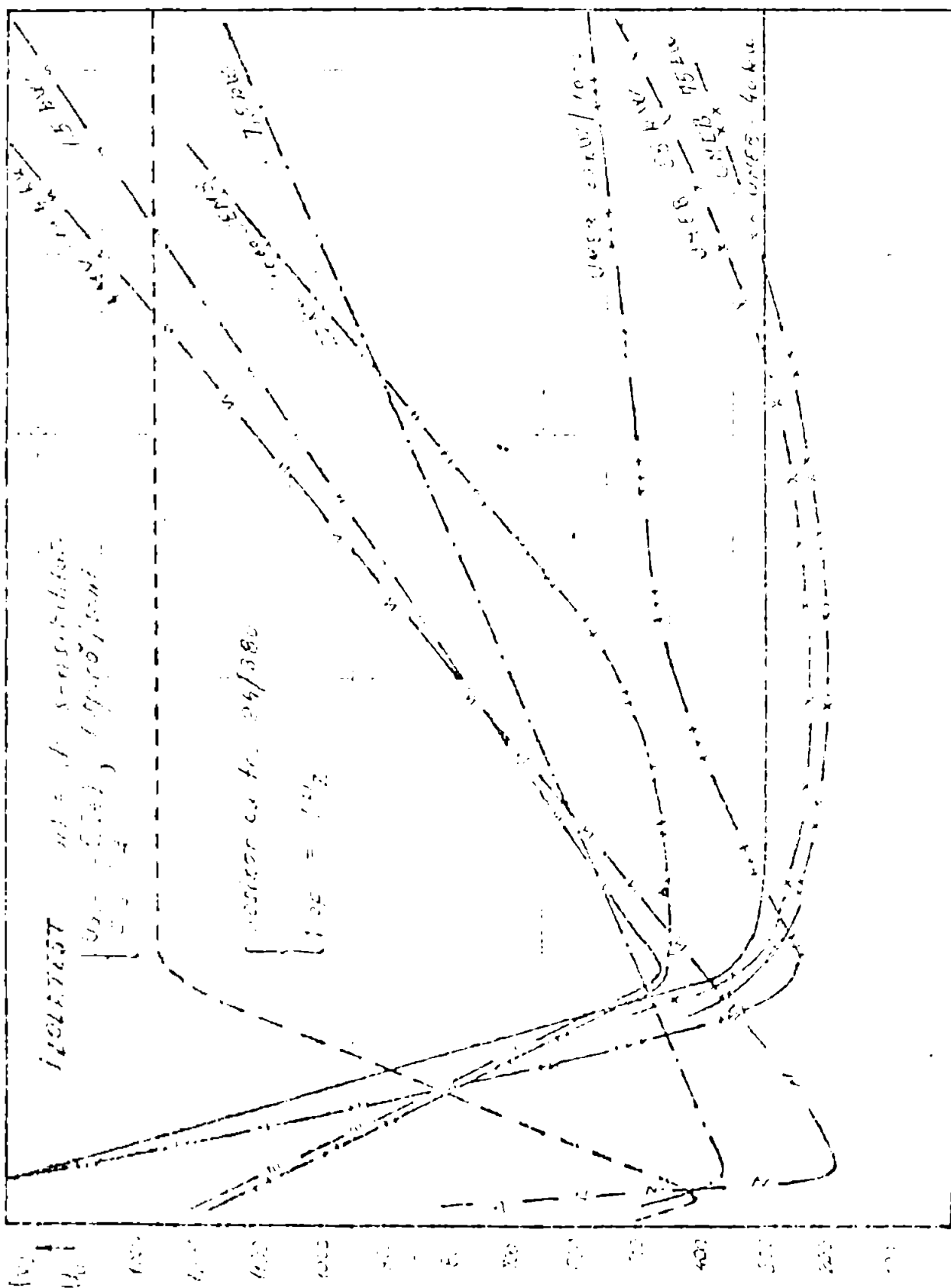
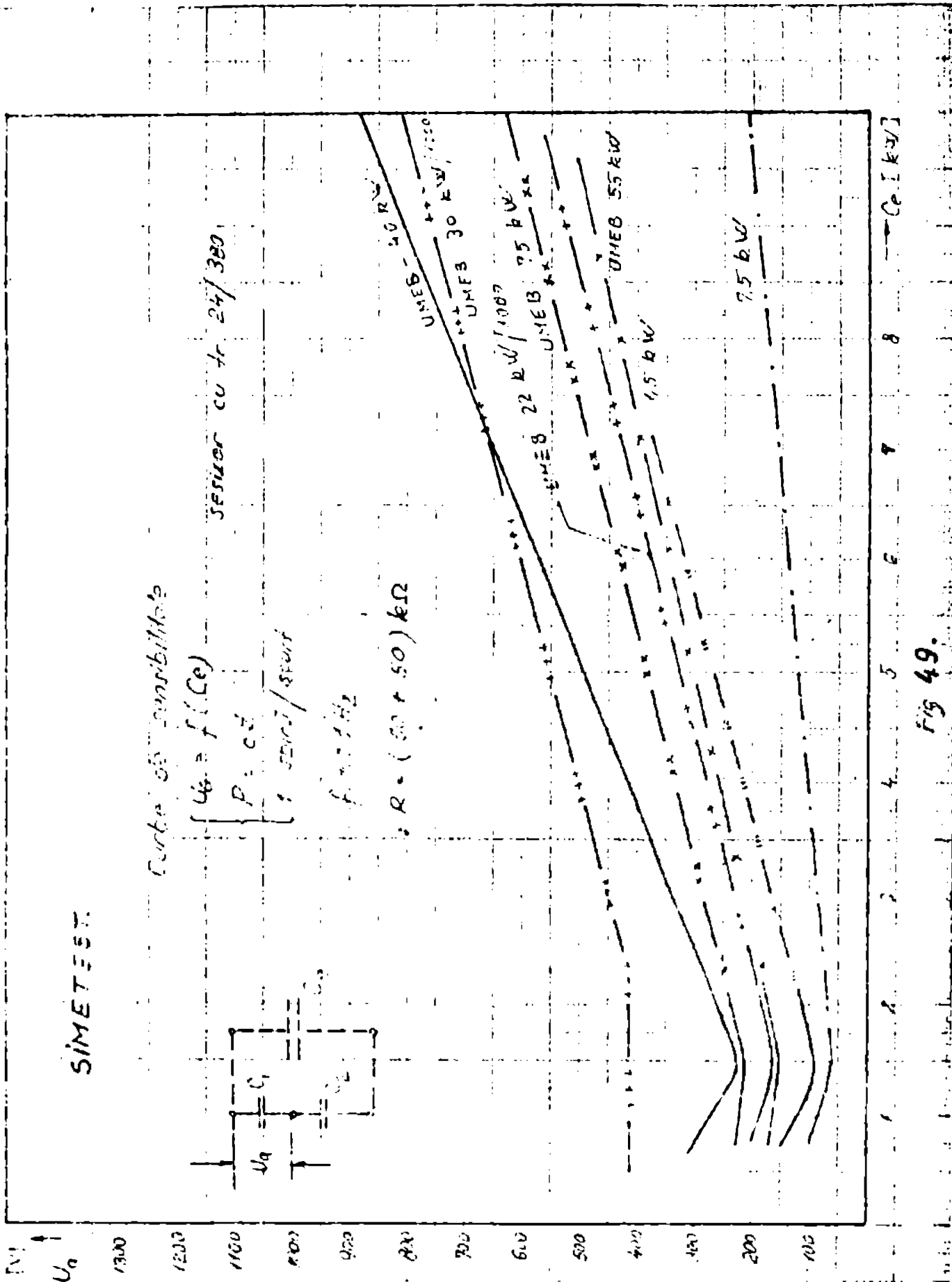


Fig. 4.7.



S-au realizat încercări asemănătoare și cu aparatul Simeest pentru mașini cu $P_n = (1,5 - 75)$ kW, rezultând curbele $U_g = f(\sigma_g)$ conform figurii 4.9. Se constată că pentru toate motoarele încercate, acoperindu-se o plajă largă de puteri, $C_{opt} = (1,45 - 1,5) \mu F$. Prin urmare, la acest aparat cu o singură baterie de condensatoare având $1,5 \mu F$ se poate obține o sensibilitate foarte bună pentru toată gama de motoare pînă la 100 kW.

4.5. Verificarea comportării MBR în procese tranzitorii rapide

S-au făcut cercetări experimentale asupra comportării MBR la oscilații de relaxare provocate prin descărcarea unui condensator pe înfășurările sale cu aparatul Izoletest. S-au încercat statoriele a trei motoare asincrone: de 4 kW/3000 rpm, 0,07 kW/3000 rpm și 1,5 kW/1500 rpm. Pentru primele două variația tensiunilor ce interesează a fost înregistrată cu un osciloscop de impuls. Pentru cel de-al treilea motor s-au făcut înregistrări și cu un oscilograf mecanic cu buclă de 16 kHz.

În cazul motorului de 4 kW/3000 rpm s-a oscilografat tensiunea pe fază (fig. 4.10). Etalonarea scării timpului este 0,2 μs/sec/cm, iar pentru tensiune 2,5 V/cm, cu un factor de amplificarea de 10^3 . Așa cum era și de așteptat s-au obținut oscilații amortizate, a căror frecvență se micșorează pe măsura desfășurării procesului.

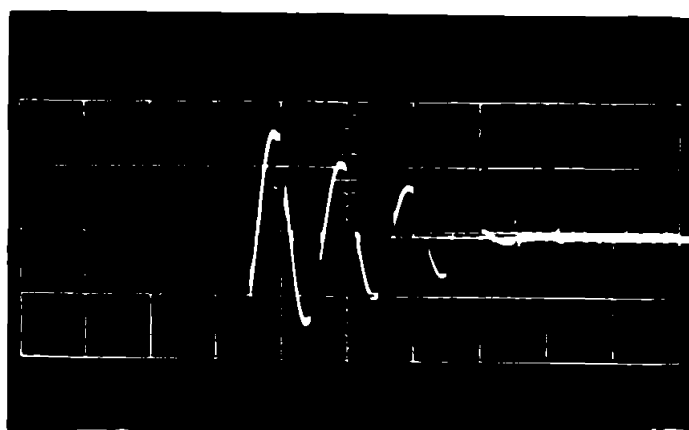


Fig. 4.10. Fotografie tensiunii pe fază pentru motorul de 4 kW.

Pentru a verifica modul cum influențează un defect asupra tensiunii dintre faze, s-a oscilografizat mai întâi tensiunea U_{AB} la motorul fără defecte. Fotogramă este reprezentată în fig. 4.11. Etalonarea scării timpului corespunde la 0,2 msec/cm, iar pe verticală 2 V/cm. Se observă o oscilație de frecvență mare, aproximativ 40 - 45 kHz modulată în amplitudine cu o frecvență în jur de 7 - 8 kHz.

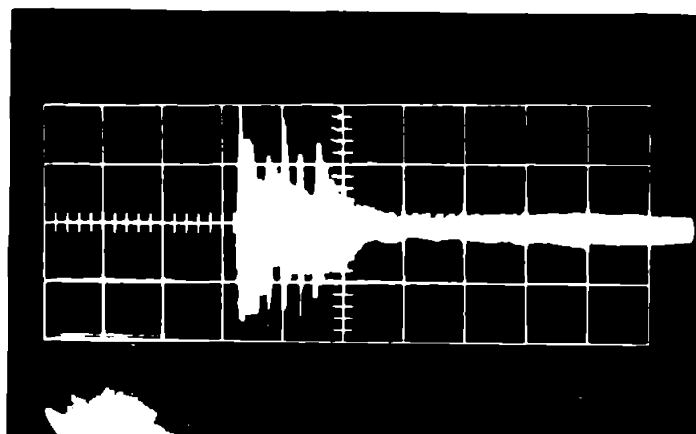


Fig. 4.11. Fotogramă tensiunii U_{AB} pentru motorul fără defecte de 4 kW.

Rezultatul concordă cu observațiile întrucât cele două circuite oscilante formate între bateria de descărcare și faza A, respectiv B nu sînt perfect egale. Ca atare se produc oscilații cu frecvențe puțin diferite ceea ce înseamnă că diferența $U_{AB} = U_A - U_B$ reprezintă oscilații cu frecvențe egale cu suma frecvențelor celor două faze și modulate în amplitudine cu înfășurătoarea de frecvență egală cu semidiferența frecvențelor.

În continuare a fost simulat un defect pe faza A prin planarea unei spire în scurtcircuit în creștăturile mașinii. Din nou s-a oscilografizat tensiunea U_{AB} . Pentru a putea încadra semnalul în scală, s-a redus amplificarea pe verticală de 10 ori. De această dată oscilația cu frecvență mare, avînd amplitudinea foarte mică este practic invizibilă, predominînd tensiunea de batăi de aproximativ 8 kHz (fig. 4.12). Făcînd raportul amplitudinilor oscilațiilor din figura 4.11 și figura 4.12 și ținînd cont de etalonarea pe verticală, rezultă un raport semnal/zgomot:

$$k_g = \frac{4,1 \text{ cm}}{3,1 \text{ cm}} \cdot 10 = 13,25$$

Prin această comparație a rezultat clar influența defectului pe o fază asupra tensiunii între faze defectă și una sănătoasă care constituie deci posibilitatea testării mașinii.

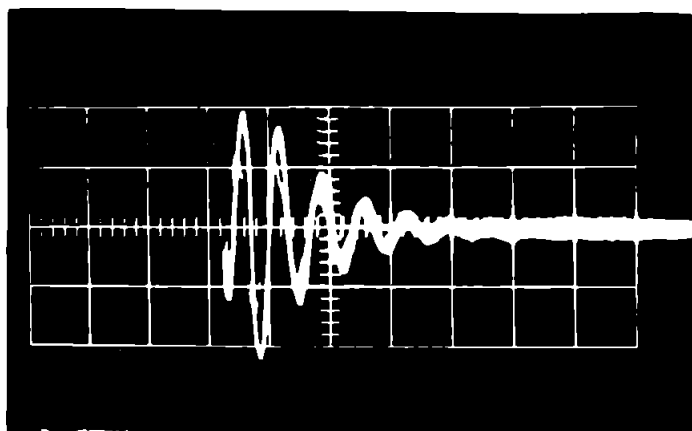


Fig.4.12. Fotogramă tensiunii U_{AB} pentru motorul de 4 kW având o spiră în scurtcircuit pe faza A.

Tensiunea U_{BC} nu este afectată de defectul de pe faza A. Acest lucru este verificat prin oscilogramele din fig.4.13 și fig.4.14 în care se vede că practic sînt identice.

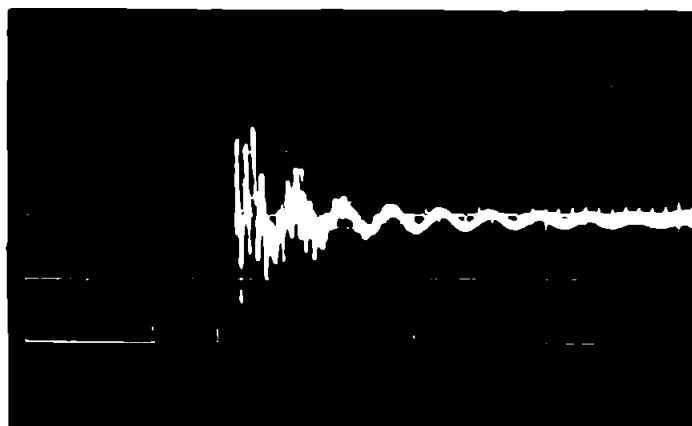


Fig.4.13. Fotogramă tensiunii U_{BC} pentru motorul fără defecte de 4 kW.

Pentru motorul de 1,5 kW/1500 rpm s-a rezultat în urma măsurătorilor experimentale aceeași concluzii referitoare la influența defectului asupra oscilațiilor de bătaie ale tensiunii dintre faze în plus la acest motor s-a urmărit propagarea tensiunii

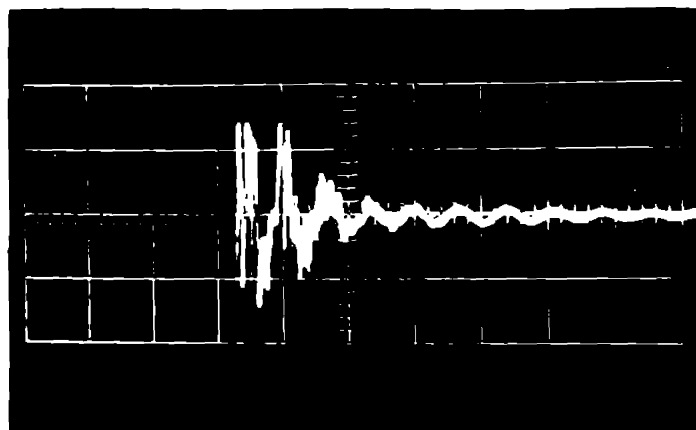


Fig.4.14. Fotograma tensiunii U_{B0} pentru motorul de 4KW avind o spiră în scurtcircuit pe faza A.

ni de-a lungul înfășurării așa că s-a oscilografiat tensiunea la începutul, mijlocul și sfârșitul unei faze, anul fiind izolat. Ca rezultat fotografele din figurile 4.15, 4.16 și 4.17. Pentru toate etalonarea scării timpului este de 0,2 msec/cm.



Fig.4.15. Fotograma tensiunii măsurată la începutul fazei pentru motorul de 1,5 KW.

Se constată că frecvența oscilațiilor este de aproximativ 4 kHz. Atenuarea oscilațiilor de-a lungul înfășurării este destul de slabă, în raportul 1:0,33:0,7. Din înregistrările făcute cu oscilograful mecanic se constată că oscilațiile se amortizează mult mai repede dacă anul este la masă peste o rezistență de 200 Ω și totodată și atenuarea de-a lungul înfășurării este mai

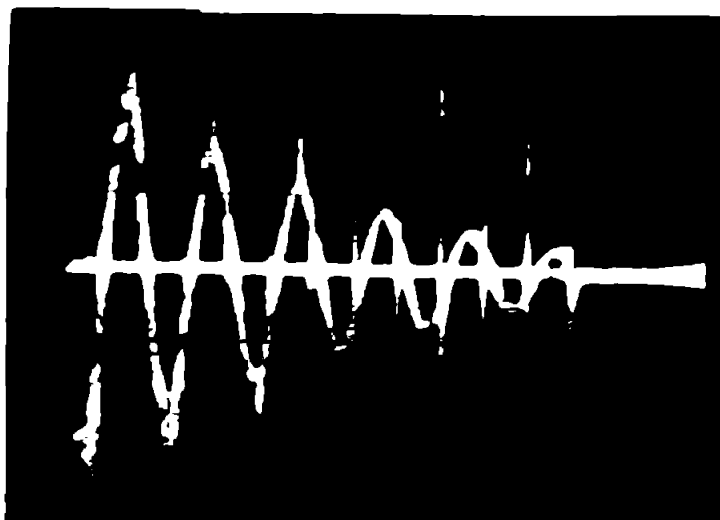


Fig. 4.16. Fotografama tensiunii măsurată la mijlocul fazei pentru motorul de 1,5 kW.

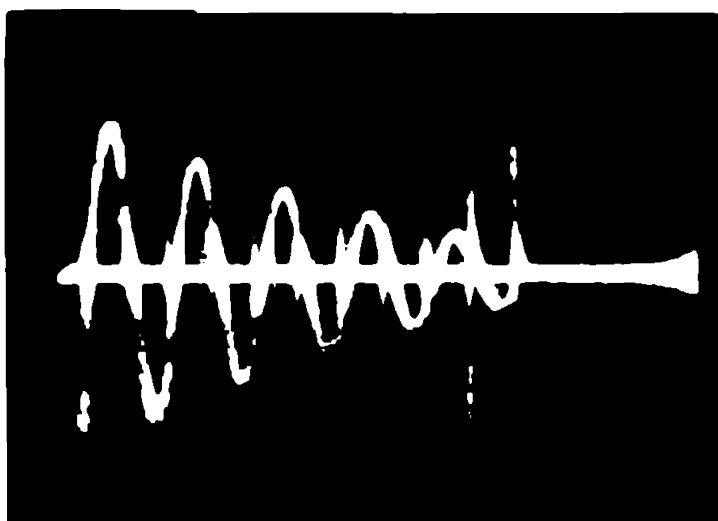


Fig. 4.17. Fotografama tensiunii măsurată la sulul izolat al motorului de 1,5 kW.

accentuată.

În cazul motorului de 0,37 kW/3000 rpm fără defecte s-a înregistrat tensiunea U_{1B} . Scala timpului este 1 msec/cm (fig. 4.10). Se observă că frecvența oscilațiilor este mult mai mică de aproximativ 2,2 kHz. Acest lucru era de așteptat deoarece pe măsură scaderii puterii mașinii electrice inductivitatea înfășurării crește.

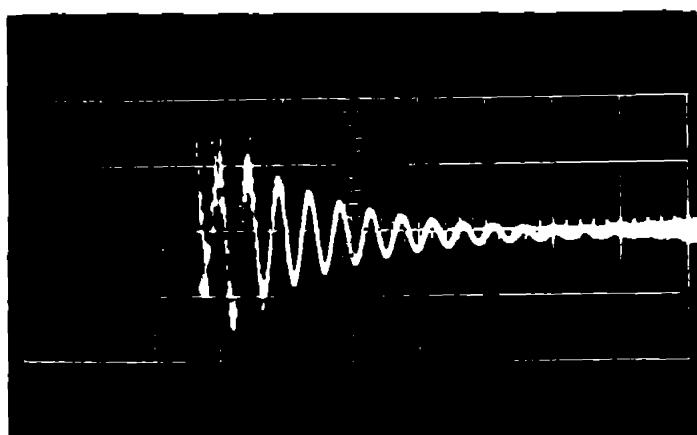


Fig. 4.14. Fotograma tensiunii U_{AB} a motorului de 0,37 KW fără defecte.

4.6. Tecnologia și observații

- Din studiul făcut a rezultat necesitatea testării M&R din punct de vedere electric pe fluxul tehnologic de fabricație intrucat defectele electrice au ponderea cea mai mare valorică în costul produsului. Controlul intermediar contribuie totodată la ridicarea productivității și la micșorarea cantității materialelor rebutate în special cele de import.

- Controlul M&R este în fabricație atât și în caz de depanare trebuie să se execute în condiții apropiate celor din exploatare. Pentru aceasta, cel mai potrivit este a se folosi aparatele care solicită mașina la unde de tensiune, cu care se realizează o încercare complexă a infăgurărilor.

- Aparatele de control portabile a căror documentație de prototip a fost elaborată la Inst. Politehnic Timișoara, prezintă o serie de avantaje și se recomandă a se folosi în orice atelier de reparat M&R cu puteri de pînă la 100KW și tensiuni sub 1000V.

- Încercările experimentale verifică studiile teoretice. Într-adevăr există pentru M&R o capacitate optimă care descifrându-se determină o sensibilitate maximă de sesizare, lucru arătat și în capitolul 2.

- Oscilogrammele obținute pe un număr de trei mașini confirmă modul de comportare a mașinii în procesele transitorii rapide. Oscilațiile de relaxare studiate sînt fenomene de înaltă

frecvență, care se mărește odată cu puterea mașinii și deci trebuie studiate ca stare.

- Tensiunea dintre faze înregistrată corespunde fenomenului de bătăi reprezentând diferențe oscilațiilor ce au loc în cele două înfășurări. Defectul influențează în special asupra amplitudinii și frecvenței înfășurătoare tensiunii de bătăi pe care le mărește proporțional cu gravitatea defectului.

- Aparatele realizate pentru controlul bobinajelor MBR semnalează existența tensiunii de bătăi dintre faze în mod selectiv în funcție de gravitatea defectului.

- Controlul bobinajelor efectuat cu aparatele prezentate este nedistructiv, deși tensiunea de încercare este mare, deoarece energia disipată este mică.

- În exploatare circuitul exterior M_{ext} împreună cu cablul de alimentare poate fi echivalat printr-o capacitate C_{ext} și deci fenomenele de șoc pot fi studiate la fel ca în cazul testării bobinajelor mașinii. În această situație se pune problema ca oscilațiile ce apar să fie cât mai mici posibil, deci se vor lua măsuri pentru ca valoarea lui C_{ext} să fie îndepărtată de cea a lui C_{opt} .

CAPITOLUL 5

CONCLUZII ȘI PERSPECTIVE

Lucrarea a fost elaborată în vederea aprofundării studiului regimurilor tranzitorii ale mașinilor de inducție și sincrone. Aceasta se poate face în mod corect numai prin cunoașterea parametrilor tranzitorii ai mașinii. În scopul determinării acestor parametri, lucrarea prezintă aduce o importanță contribuție.

Unul din regimurile tranzitorii pe larg tratate este procesul de propagare a undei de tensiune în înfășurarea MBR. Aceasta constituie o problemă de actualitate și de viitor datorită pe de o parte, înmulțirii situațiilor funcționale de solicitare a mașinii la unde, impulsuri de tensiune, iar pe de altă parte, datorită creșterii puterii pe unitate, ceea ce implică complicații mai mari în acest proces și deci necesitatea studiului său mai atent.

Lucrarea se încadrează în preocupările catedrei de Electrotehnică și mașini electrice a Facultății de Electrotehnică Timișoara, în domeniul testării înfășurărilor MBR la unde de tensiune, preocupări fructificate prin colaborări cu producția.

Prin studiul efectuat se desprind o seamă de concluzii referitoare la modul de abordare a unor procese tranzitorii ale MBR.

fenomenele tranzitorii care au loc la apariția sau dispariția unei tensiuni la bornele MBR se propagă progresiv de-a lungul înfășurării acestora, proces care se studiază cu ajutorul ecuațiilor (2.1), (2.2).

În general capacitatea între spire se poate neglija având în vedere cuplajul mutual capacitiv alab, datorită plasării înfășurării în crestături.

Parametrii cu care se studiază procesul de propagare a undelor variază în timp de-a lungul înfășurării MBR, lucru pus în evidență în schemele echivalente prezentate.

Propagarea undelor de-a lungul înfășurării MBR depinde de tipul conexiunii și de modul de aplicare a undei: pe o fază,

pe două sau în mod asimetric pe toate trei fazele.

În procesele tranzitorii rapide influența rotorului este neglijabilă datorită blindării sale cauzate de către câmpul magnetic de frecvență înaltă produs de cureții turbionari și ca urmare parametrii tranzitorii ale căror expresii au fost stabilite se consideră ca neinfluențați de rotor.

Pierderile în fier au o influență deosebită asupra fenomenului tranzitoriu discutat, de aceea este absolut necesară introducerea în studiu a parametrului care ține seama de ele.

Metoda prezentată de determinare a pierderilor în fier prin cureții turbionari poate fi aplicată în orice regiune tranzitorie de funcționare a MBR. Calculurile teoretice au fost verificate, rezultând o bună concordanță cu rezultatele experimentale.

Modul de abordare a studiului câmpului electromagnetic din MBR în regiune tranzitorie este corect, lucru confirmat de rezultatele obținute prin particularizare pentru regiune sinusoidală, asimetrică.

Este necesar ca în studiul riguros al oricărui proces tranzitoriu rapid al MBR să se considere parametrii săi tranzitorii, care țin seama atât de cureții turbionari din miezul feromagnetic cit. și de efectul pelicular din conductoare. Prin utilizarea dezvoltărilor asimptotice ale funcțiilor Bessel modificate de spațiul inițial și a două, a fost posibilă obținerea expresiilor parametrilor tranzitorii care pot fi cu ușurință programate și calculate cu ardinatorul electronic.

Penetrarea de difuzie a câmpului electromagnetic în miezul feromagnetic este mult mai lentă decât în conductoarele așezate în orestături, ceea ce este ilustrat și prin valoarea mult mai mare a constantei de timp τ_{exp} față de τ_{exp0} . De aceea introducerea parametrilor tranzitorii care țin cont de configurația miezului și ale unor expresii sunt stabilite în paragraful 3.6 este absolut necesară chiar și în studiul proceselor tranzitorii mult mai lente.

Pentru simplificarea, procesele tranzitorii mai lente se pot studia cu parametrii de orestătură și a capetelor frontale de bobină din curent continuu. În studiul însă a proceselor ultrarapide cum sînt regiunile supratranzitorii din cazul scurt-circuitului brass, conectări, deconectări etc., este necesară utilizarea și a expresiilor parametrilor tranzitorii de orestătură și a capetelor frontale de bobină stabilite în paragraful 3.7 și 3.8.

Expresiile parametrilor tranziterii dau variația în timp a acestora din momentul apariției procesului tranzitoriu, adică de la $t=0+$ până la $t=0+$, reflectând modul de desfășurare a întregului fenomen. La $t=\infty$ se obțin valorile din c.c. ale parametrilor mașinii.

MER în exploatare este solicitată complex în cadrul proceselor tranziterii în care undele de tensiune se propagă de-a lungul înfășurărilor ei. Si controlul intermediar pe fluxul tehnologic de fabricație a MER trebuie să se realizeze în condiții asemănătoare. În acest sens s-au conceput aparatele de control ale bobinajelor MER care se recomandă a fi introduse în toate fabricile și atelierelor de reparat mașini electrice.

Introducerea controlului intermediar pe fluxul tehnologic este necesară în vederea micșorării costului de fabricație prin reducerea substanțială a defectelor electrice, care au o pondere valorică mai mare. De asemenea prin introducerea controlului intermediar se mărește productivitatea muncii și se elimină rebuturile, făcându-se economie de materiale, în special cele de împart (cuprul).

Aparatele de control al bobinajelor MER sînt realizate cu piese indigene, au o construcție simplă, sînt ușor de manipulat și nu necesită personal calificat.

Încercările experimentale verifică studiile teoretice privind modul de comportare a MER în procesele tranziterii. Se constată că practic nu are loc o repartiție inițială, caracteristică a tensiunii datorită valorilor mici ale capacităților între spire și față de masă, ci numai o etapă inductivă în care au loc o serie de oscilații amortizate în timp cauzate de capacitățile echivalentă circuitului exterior și inductivitatea mașinii amortizate de către rezistența electrică a bobinajului și cea echivalentă pierderilor în fier.

Studiile teoretice efectuate în capitolul 2 referitoare la capacitatea circuitului exterior mașinii, au fost verificate și experimental, obținându-se pentru o gamă largă de mașini valoarea capacității pentru care oscilațiile sînt maxime.

Această valoare este optimă în cazul realizării aparatelor de control al bobinajelor MER, dar este de evitat în condiții de exploatare a mașinii pentru evitarea supra-solicitării acestora.

Se pot stabili probleme de perspectivă, sugerate de realizările din cadrul lucrării, ca:

- calculul concret al parametrilor tranzitorii ai MFR pe baza expresiilor stabilite și introducerea lor în ecuațiile fenomenului de propagare a undelor de tensiune date în lucru precum și rezolvarea lor cu ajutorul ordinatelor electronice. În felul acesta se vor putea face aprecieri calitative și cantitative ale modului de evoluție în timp și spațiu a fenomenului;

- aplicând aceeași metodă de studiu prin intermediul potențialului magnetic vector, se poate aborda problema câmpului electromagnetic din MFR în cazul proceselor tranzitorii mai lente, ținându-se seama și de influența existenței miezului feromagnetic rotoric;

- în aceste condiții se determină parametrii tranzitorii statorici și rotorici, respectiv mutuali pentru procese tranzitorii mai lente;

- pe baza metodei prezentate, determinarea parametrilor tranzitorii de creștătură pentru diverse geometrii ale acestuia;

- determinarea pe cale experimentală a parametrilor tranzitorii prin simulare de regimuri particulare ale mașinii, a cărei înfășurare este parcursă de curentul treaptă;

- în cazul mașinii electrice alimentate cu convertor, studiul ansamblului celor două elemente în vederea stabilizării unei capacități potrivite a convertorului în vederea micșorării vârfurilor de tensiune nedorite ce apar în mod obișnuit la comutație;

- studiul alegerii unei înfășurări și a unei geometrii de creștătură corespunzătoare obținerii vârfurilor de tensiune amintite minime.

Materialul prezentat, pe lângă faptul că aduce o contribuție la studiul fenomenelor tranzitorii a MFR ajută în explicare și a controlului său pe fluxul tehnologic, prin stabilirea expresiilor analitice ale parametrilor tranzitorii este util și în proiectare pentru luarea de măsuri încă în această fază în vederea compartării optime a mașinii în cadrul proceselor specificate.

ALEXA I

DETERMINAREA EXPRESIEI POTENTIALULUI MAGNETIC VECTOR IN CELE TREI DOMENII DE DEFINIIE A SPATIULUI N.F.R., PRODUS DE UN CONDUCTOR

Potentialul magnetic vector in domeniul I

Deoarece în domeniul I $\vec{r}=0(\vec{r}=0)$ și potențialul magnetic este finit la $\rho=0$, soluția ecuației (3.20) este de forma:

$$\vec{R}_n(\rho) = R_{n1} \rho^n$$

iar soluțiile ecuației (3.21) își păstrează forma (3.23) cu observația că $T_{n2}=0$ datorită simetriei configurației față de axa de origine a coordonatei θ . Prin urmare soluția ecuației (3.19) în domeniul I este:

$$\vec{A}_1 = G_0^{(1)} \vec{e}_\theta + D_0^{(1)} \vec{e}_\theta + \sum_{n=1}^{\infty} D_n^{(1)} \rho^n \cos n\theta \quad \text{unde } D_n^{(1)} = R_{n1} \cdot T_{n1}$$

Această soluție corespunde domeniului I făcând abstracție de solenație din punctul P. Echivalând această solenație cu un conductor filiform parcurs de curentul $\vec{I}(p)$, potențialul magnetic vector dat de acesta este:

$$\vec{A}_1^* = \frac{\mu_0 \vec{I}(p)}{2\vec{r}} \ln \frac{1}{|\rho-r|}$$

unde:

$$\ln |\rho-r| = \ln \sqrt{\rho^2+r^2-2\rho r \cos \theta} =$$

$$= \begin{cases} \ln \rho - \sum_{n=1}^{\infty} \frac{1}{n} \left(\frac{r}{\rho}\right)^n \cos n\theta & \text{pentru } \rho > r \\ \ln r - \sum_{n=1}^{\infty} \frac{1}{n} \left(\frac{\rho}{r}\right)^n \cos n\theta & \text{pentru } \rho < r \end{cases}$$

Aplicând metoda suprapunerii efectelor, deoarece mediul este liniar, se obține potențialul magnetic în domeniul I:

$$\vec{A}_1 = \vec{A}_1^i + \vec{A}_1^*$$

$$\begin{aligned} \tilde{A}_1(\rho, \rho, \theta) = & G_0^{(1)} \theta + D_0^{(1)} + \sum_{n=1}^{\infty} D_n^{(1)} \rho^n \cos n\theta - \frac{\mu_0 \tilde{I}(\rho)}{2\gamma} \ln \rho + \\ & + \frac{\mu_0 \tilde{I}(\rho)}{2\gamma} \sum_{n=1}^{\infty} \frac{1}{n} \left(\frac{\rho}{r}\right)^n \cos n\theta \quad \text{pentru } \rho < r \quad (A1.1) \end{aligned}$$

$$\begin{aligned} \tilde{A}_1(\rho, \rho, \theta) = & G_0^{(1)} \theta + D_0^{(1)} + \sum_{n=1}^{\infty} D_n^{(1)} \rho^n \cos n\theta - \frac{\mu_0 \tilde{I}(\rho)}{2\gamma} \ln \rho + \\ & + \frac{\mu_0 \tilde{I}(\rho)}{2\gamma} \sum_{n=1}^{\infty} \frac{1}{n} \left(\frac{r}{\rho}\right)^n \cos n\theta \quad \text{pentru } \rho > r \quad (A1.2) \end{aligned}$$

Potențialul magnetic vector în domeniul II

Având în vedere simetria mașinii, și în domeniul II $T_{n2} = 0$. Pe de altă parte, axa oz nefăcînd parte din domeniul de existență II, $R_{n2} = 0$. În aceste condiții soluția ecuației (3.19) în domeniul II este:

$$\begin{aligned} \tilde{A}_2(\rho, \rho, \theta) = & D_0^{(2)} I_0(r\rho) + G_0^{(2)} K_0(r\rho) + \sum_{n=1}^{\infty} [D_n^{(2)} I_n(r\rho) + \\ & + G_n^{(2)} K_n(r\rho)] \cos n\theta \quad (A1.3) \end{aligned}$$

unde $D_0^{(2)}$, $G_0^{(2)}$, $D_n^{(2)}$, $G_n^{(2)}$ reprezintă produsul corespunzător al coeficienților de același ordin 0 , respectiv n din soluțiile (3.22) și (3.23).

Potențialul magnetic vector în domeniul III

În domeniul III $\tilde{I} = 0$ ($\tilde{V} = 0$), situație în care soluțiile (3.20) sînt de forma:

$$R_n(\rho) = R_{n1} \rho^n + R_{n2} \rho^{-n} \quad \text{pentru } n \neq 0$$

$$R_0(\rho) = R_{01} \ln \rho + R_{02} \quad \text{pentru } n = 0$$

Dar domeniul III se întinde în exteriorul statorului pînă la infinit, unde potențialul magnetic este finit. Pentru îndepli-

alrea acestei condiții trebuie ca:

$$R_{nl} = 0 \quad \text{și} \quad R_{ol} = 0$$

In consecință soluția ecuației (3.19) în domeniul III este:

$$\tilde{A}_3 = G_0^{(3)}\theta + D_0^{(3)} + \sum_{n=1}^{\infty} D_n^{(3)} \rho^{-n} \cos n\theta$$

la care pentru aflarea potențialului magnetic vector se adaugă din aceleași motive ca mai înainte potențialul magnetic vector al conductorului filiform (p). Se obține:

$$\begin{aligned} \tilde{A}_3(\rho, \theta) = & G_0^{(3)}\theta + D_0^{(3)} + \sum_{n=1}^{\infty} D_n^{(3)} \rho^{-n} \cos n\theta - \frac{\mu_0 \tilde{I}(p)}{2\gamma} \ln \rho + \\ & + \frac{\mu_0 \tilde{I}(p)}{2\gamma} \sum_{n=1}^{\infty} \frac{1}{n} \left(\frac{a}{\rho}\right)^n \cos n\theta \end{aligned} \quad (A1.4)$$

In expresiile (A1.1), (A1.2), (A1.3) și (A1.4) notățile $D_0^{(1)}$, $G_0^{(1)}$, $D_n^{(1)}$, $D_0^{(2)}$, $G_0^{(2)}$, $D_n^{(2)}$, $G_n^{(2)}$, $D_0^{(3)}$, $G_0^{(3)}$ și $D_n^{(3)}$ reprezintă constante de integrare și se determină punind condițiile de trecere pentru cele două frontiere ce despart domeniile:

$$\tilde{A}_1(\rho, 0, \theta) = \tilde{A}_2(\rho, 0, \theta)$$

$$\frac{1}{\mu_0} \left(\frac{\partial \tilde{A}_1}{\partial \rho} \right)_{\rho=0} = \frac{1}{\mu} \left(\frac{\partial \tilde{A}_2}{\partial \rho} \right)_{\rho=0}$$

$$\tilde{A}_2(\rho, b, \theta) = \tilde{A}_3(\rho, b, \theta)$$

(A1.5)

$$\frac{1}{\mu} \left(\frac{\partial \tilde{A}_2}{\partial \rho} \right)_{\rho=b} = \frac{1}{\mu_0} \left(\frac{\partial \tilde{A}_3}{\partial \rho} \right)_{\rho=b}$$

Folosind expresiile (A1.2), (A1.3) și (A1.4) aceste condiții se scriu:

$$\begin{aligned} G_0^{(1)}\theta + D_0^{(1)} + \sum_{n=1}^{\infty} D_n^{(1)} \rho^n \cos n\theta - \frac{\mu_0 \tilde{I}(p)}{2\gamma} \ln \rho + \frac{\mu_0 \tilde{I}(p)}{2\gamma} \sum_{n=1}^{\infty} \frac{1}{n} \left(\frac{a}{\rho}\right)^n \cos n\theta = \\ = D_0^{(2)} I_0(\gamma \rho) + G_0^{(2)} K_0(\gamma \rho) + \sum_{n=1}^{\infty} [D_n^{(2)} I_n(\gamma \rho) + G_n^{(2)} K_n(\gamma \rho)] \cos n\theta \end{aligned}$$

$$\begin{aligned} & \frac{1}{\mu_0} \left[\sum_{n=1}^{\infty} a_0^{n-1} D_n^{(1)} \cos n\theta - \frac{\mu_0 \tilde{I}(p)}{2\gamma_0} - \frac{\mu_0 \tilde{I}(p)}{2\gamma} \sum_{n=1}^{\infty} \frac{r^n}{a^{n+1}} \cos n\theta \right] = \\ & = \frac{1}{\mu} \left\{ D_0^{(2)} I_0^{(2)}(rc) + G_0^{(2)} K_0^{(2)}(rc) + r \sum_{n=1}^{\infty} [D_n^{(2)} I_n^{(2)}(rc) + G_n^{(2)} K_n^{(2)}(rc)] \cos n\theta \right\} \\ & D_0^{(2)} I_0^{(2)}(rb) + G_0^{(2)} K_0^{(2)}(rb) + \sum_{n=1}^{\infty} [D_n^{(2)} I_n^{(2)}(rb) + G_n^{(2)} K_n^{(2)}(rb)] \cos n\theta = G_0^{(3)} \theta + \\ & + D_0^{(3)} + \sum_{n=1}^{\infty} D_n^{(3)} b^{-n} \cos n\theta - \frac{\mu_0 \tilde{I}(p)}{2\gamma} \ln b + \frac{\mu_0 \tilde{I}(p)}{2\gamma} \sum_{n=1}^{\infty} \frac{1}{a} \left(\frac{r}{b}\right)^n \cos n\theta \\ & \frac{1}{\mu} \left\{ r D_0^{(2)} I_0^{(2)}(rb) + G_0^{(2)} K_0^{(2)}(rb) + r \sum_{n=1}^{\infty} [D_n^{(2)} I_n^{(2)}(rb) + G_n^{(2)} K_n^{(2)}(rb)] \cos n\theta \right\} = \\ & = \frac{1}{\mu_0} \left[-\frac{\mu_0 \tilde{I}(p)}{2\gamma b} - \frac{\mu_0 \tilde{I}(p)}{2\gamma} \sum_{n=1}^{\infty} \frac{r^n}{b^{n+1}} \cos n\theta - \sum_{n=1}^{\infty} D_n^{(3)} b^{n-1} \cos n\theta \right] \end{aligned}$$

Intrucit aceste relații trebuie să fie satisfăcute pentru orice valoare a lui θ , rezultă sistemul de ecuații:

$$G_0^{(1)} = 0$$

$$D_0^{(1)} - \frac{\mu_0 \tilde{I}(p)}{2\gamma} \ln a = D_0^{(2)} I_0^{(2)}(rc) + G_0^{(2)} K_0^{(2)}(rc)$$

$$r D_n^{(1)} + \frac{\mu_0 \tilde{I}(p) r^n}{2\gamma a^{n+1}} = D_n^{(2)} I_n^{(2)}(rc) + G_n^{(2)} K_n^{(2)}(rc)$$

$$-\frac{\mu \tilde{I}(p)}{2\gamma_0} = r D_0^{(2)} I_0^{(2)}(rc) + r G_0^{(2)} K_0^{(2)}(rc)$$

$$\frac{\mu}{\mu_0} a_0^{n-1} D_n^{(1)} - \frac{\mu \tilde{I}(p) r^n}{2\gamma a^{n+1}} = r D_n^{(2)} I_n^{(2)}(rc) + r G_n^{(2)} K_n^{(2)}(rc)$$

$$G_0^{(3)} = 0$$

$$D_0^{(2)} I_0^{(2)}(rb) + G_0^{(2)} K_0^{(2)}(rb) = D_0^{(3)} - \frac{\mu_0 \tilde{I}(p)}{2\gamma} \ln b$$

$$D_n^{(2)} I_n(rb) + G_n^{(2)} K_n(rb) = D_n^{(3)} b^{-n} + \frac{\mu \tilde{I}(p) r^n}{2\gamma a b^n}$$

$$r D_0^{(2)} I_0'(rb) + r G_0^{(2)} K_0'(rb) = - \frac{\mu \tilde{I}(p)}{2\gamma b}$$

$$r D_n^{(2)} I_n'(rb) + r G_n^{(2)} K_n'(rb) = - \frac{\mu}{\mu_0} a D_n^{(3)} b^{-n-1} - \frac{\mu \tilde{I}(p) r^n}{2\gamma b^{n+1}}$$

rezolvând sistemul în funcție de constantele de integrare se găsește:

$$G_0^{(1)} = 0$$

$$D_0^{(1)} = \frac{\mu \tilde{I}(p)}{2\gamma r c b} \frac{[a K_0'(r_0) - b K_0'(r_b)] I_0(r_0) - [a I_0'(r_0) - b I_0'(r_b)] K_0(r_0)}{I_0'(r_0) K_0'(r_b) - I_0'(r_b) K_0'(r_0)} + \frac{\mu \tilde{I}(p)}{2\gamma} \ln c$$

$$G_0^{(2)} = - \frac{\mu \tilde{I}(p)}{2\gamma r c b} \cdot \frac{a I_0'(r_0) - b I_0'(r_b)}{I_0'(r_0) K_0'(r_b) - I_0'(r_b) K_0'(r_0)}$$

$$D_0^{(2)} = \frac{\mu \tilde{I}(p)}{2\gamma r c b} \cdot \frac{a K_0'(r_0) - b K_0'(r_b)}{I_0'(r_0) K_0'(r_b) - I_0'(r_b) K_0'(r_0)}$$

A1.6

$$G_0^{(3)} = 0$$

$$D_0^{(3)} = \frac{\mu \tilde{I}(p)}{2\gamma r c b} \frac{[a K_0'(r_0) - b K_0'(r_b)] I_0(r_b) - [a I_0'(r_0) - b I_0'(r_b)] K_0(r_b)}{I_0'(r_0) K_0'(r_b) - I_0'(r_b) K_0'(r_0)} + \frac{\mu \tilde{I}(p)}{2\gamma} \ln c$$

$$D_n^{(1)} = \frac{\mu \tilde{I}(p) r^n}{\gamma r c^{2n+1}} \frac{I_n(r_0) S_{1n}(r_b) - K_n(r_0) P_{1n}(r_b)}{P_{1n}(r_b) S_{2n}(r_0) - P_{2n}(r_0) S_{1n}(r_b)} - \frac{\mu \tilde{I}(p) r^n}{2\gamma a c^{2n}}$$

$$D_n^{(2)} = \frac{\mu \tilde{I}(p) r^n}{\gamma r c^{n+1}} \cdot \frac{S_{1n}(r_b)}{P_{1n}(r_b) S_{2n}(r_0) - P_{2n}(r_0) S_{1n}(r_b)}$$

$$G_n^{(2)} = - \frac{\mu \tilde{I}(p) r^n}{\gamma r c^{n+1}} \cdot \frac{P_{1n}(r_b)}{P_{1n}(r_b) S_{2n}(r_0) - P_{2n}(r_0) S_{1n}(r_b)}$$

$$D_n^{(3)} = \frac{\mu \tilde{I}(p) r^{\alpha} b^{\alpha}}{\gamma r^{\alpha} c^{\alpha+1}} \cdot \frac{I_n(\gamma b) S_{1n}(\gamma b) - K_n(\gamma b) P_{1n}(\gamma b)}{P_{1n}(\gamma b) S_{2n}(\gamma c) - P_{2n}(\gamma c) S_{1n}(\gamma b)} - \frac{\mu_0 \tilde{I}(p) r^{\alpha}}{2 \gamma n}$$

in care s-a notat:

$$P_{1n}(\gamma x) = I_n^{\circ}(\gamma x) + \frac{\mu n}{\mu_0 \gamma x} I_n(\gamma x) \quad \text{unde } x=c, b$$

$$P_{2n}(\gamma x) = I_n^{\circ}(\gamma x) - \frac{\mu n}{\mu_0 \gamma x} I_n(\gamma x)$$

$$S_{1n}(\gamma x) = K_n^{\circ}(\gamma x) + \frac{\mu n}{\mu_0 \gamma x} K_n(\gamma x)$$

$$S_{2n}(\gamma x) = K_n^{\circ}(\gamma x) - \frac{\mu n}{\mu_0 \gamma x} K_n(\gamma x)$$

(A1.7)

Pentru a respecta condiția pusă inițial că punctul r se găsește la mijlocul creștării, pe circumferința interioară a statorului, în expresiile stabilite se pune $r=c$. Pe de altă parte se face o schimbare de notație pentru a scoate în evidență curentul $\tilde{I}(p)$:

$$A_0^{(1)} = \frac{1}{\tilde{I}(p)} D_0^{(1)}$$

$$A_0^{(2)} = \frac{1}{\tilde{I}(p)} D_0^{(2)}, \quad B_0^{(2)} = \frac{1}{\tilde{I}(p)} C_0^{(2)}$$

$$A_0^{(3)} = \frac{1}{\tilde{I}(p)} D_0^{(3)}$$

(A1.8)

$$A_n^{(1)} = \frac{1}{\tilde{I}(p)} D_n^{(1)}$$

$$A_n^{(2)} = \frac{1}{\tilde{I}(p)} D_n^{(2)}, \quad B_n^{(2)} = \frac{1}{\tilde{I}(p)} C_n^{(2)}$$

$$A_n^{(3)} = \frac{1}{\tilde{I}(p)} D_n^{(3)}$$

ANEXA 2

DETERMINAREA SOLUTIILOR x_k ALE ECUAȚIEI (3.62)

Ecuația (3.62) de forma:

$$\frac{a^2}{x} \left(\frac{2}{2} - 1 \right) - \frac{cb}{(b-c)^2} x \sin x + n \frac{b+c}{b-c} + 1 \cos x = 0$$

este o ecuație transcendentă de variabilă independentă x . Se se rezolvă numeric conform schemei logice și programului dat.

Pentru verificarea corectitudinii expresiei (3.63) a potențialului magnetic vector s-a elaborat schema logică și programul de calcul a sumei:

$$SUM = 2 \sum_{k=1}^n \frac{1}{x_k} \cdot \frac{f_1(x_k)}{f_2(x_k)}$$

rezultând egală cu valoarea expresiei:

$$= \frac{n \left(\frac{b+c}{b-c} - 1 \right) \frac{b-c}{b-c} + \frac{b}{b-c}}{n^2 \left(\frac{2}{2} - 1 \right) + n \frac{(b+c)}{(b-c)} + n}$$

Acest rezultat era de așteptat deoarece verifică faptul că potențialul magnetic vector este nul la $t=0+$.

În schemele logice și programele de calcul s-au folosit notațiile din capitolul 3. S-au aplicat concret pentru datele motorului de fabricație MFT tip IB₃100L de 3 KW.

EQUAȚIE

INITIALIZARE VALORI
C, B, μ, μ₀, V, S,
y/ε, K

CALL SOLXPK(H, K, XPK)

SUNT = 0

I = 1

1

$$\alpha_s = \text{mod} \left(\frac{XPK(I) * (b - c)}{b - c}, 2\pi \right)$$

$$\alpha_i = \text{mod} (XPK(I), 2\pi)$$

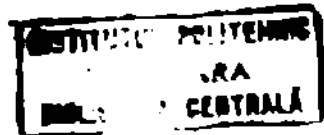
$$t_s = \frac{n \left(\frac{\mu}{\mu_0} - 1 \right)}{XPK(I)^2} * \sin \alpha_s +$$

$$+ \frac{b}{XPK(I) * (b - c)} * \cos \alpha_s$$

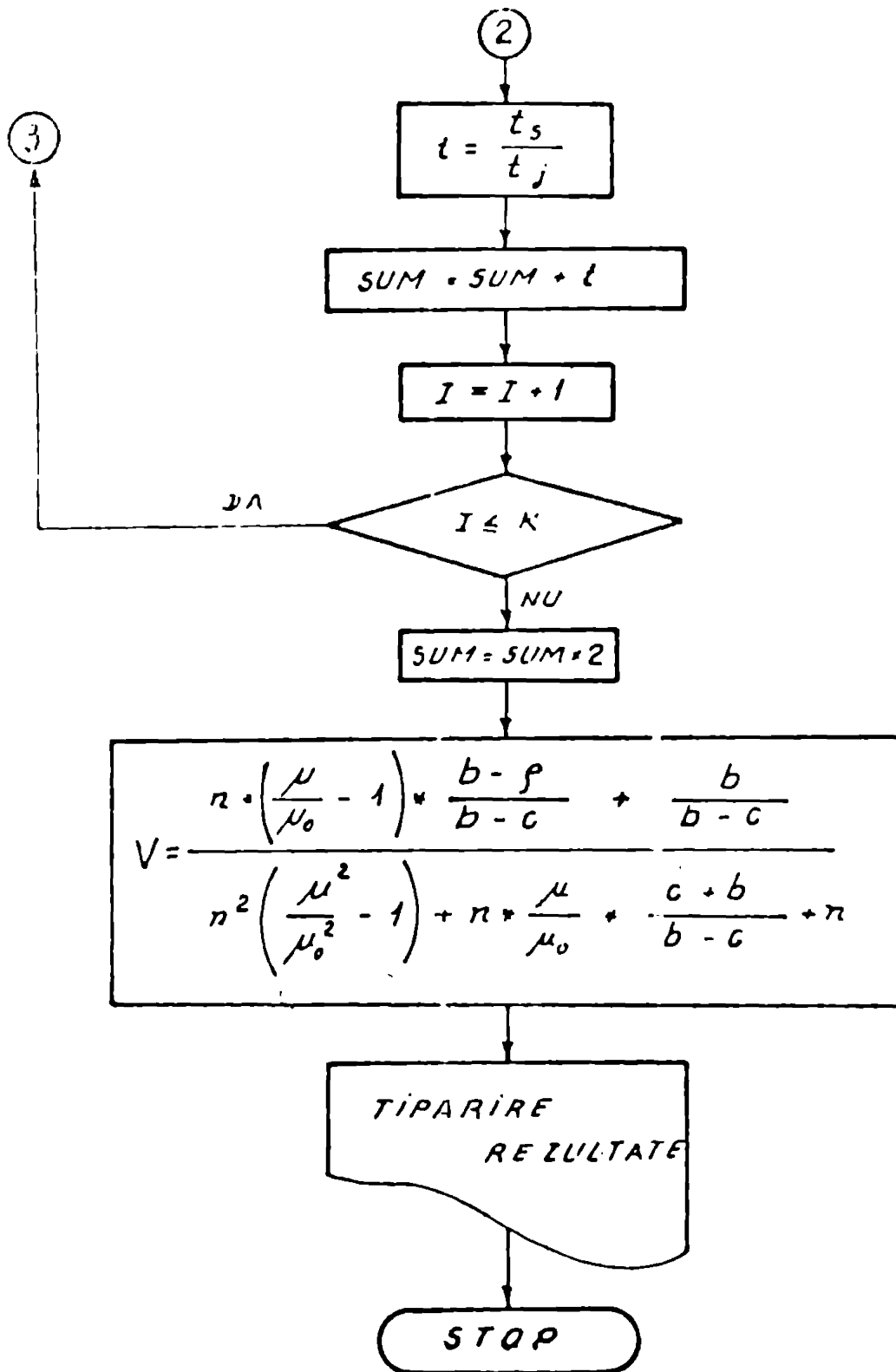
$$\left(\frac{n^2 \left(\frac{\mu^2}{\mu_0^2} - 1 \right)^2}{XPK(I)^2} + \frac{cb}{(b-c)^2} + \frac{n\mu}{\mu_0} * \frac{c+b}{b-c} + n \right) *$$

$$\sin \alpha_i - \left(\frac{n^2 \left(\frac{\mu^2}{\mu_0^2} - 1 \right)}{XPK(I)^2} - \frac{cb}{(b-c)^2 * XPK(I)} \right) * \cos \alpha_i$$

2



- 15 -



SOLYPK (N, K, XPK)

$$X_{05} = \sqrt{\frac{n^2 \left(\frac{\mu^2}{\mu_0^2} - 1 \right) (b-c)^2}{c b}}$$
$$t_p = \sqrt{\pi} ; \epsilon = 10^{-4}$$

I = 0

$n_r = \frac{x_{as}}{t_p}$

I_{nr} = 0

4

I_{nr} = I_{nr} + 1

$$X_d = I_{nr} \cdot t_p$$
$$X_s = X_d - \frac{t_p}{2} + \epsilon$$

CALL REZEC (X_d, X_s, N, X, K_{od})

K = 0

NU

DA

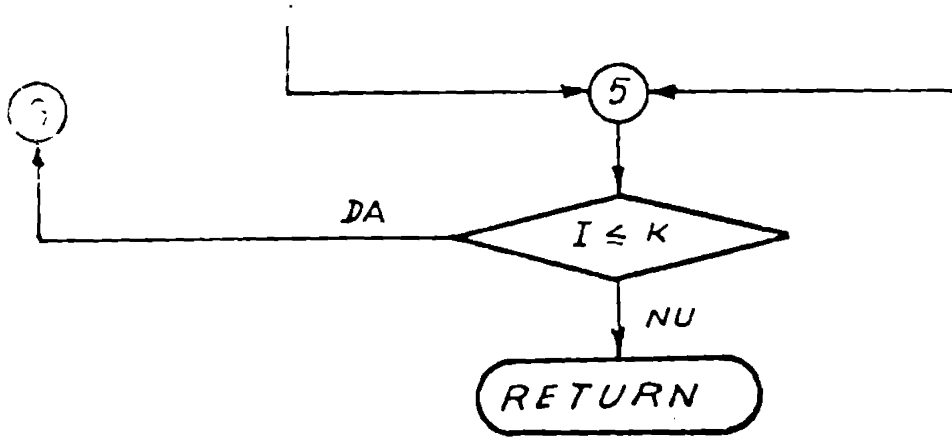
SOLUTIE
INEXISTENTA

I = I + 1

XPK (I) = X

5

6

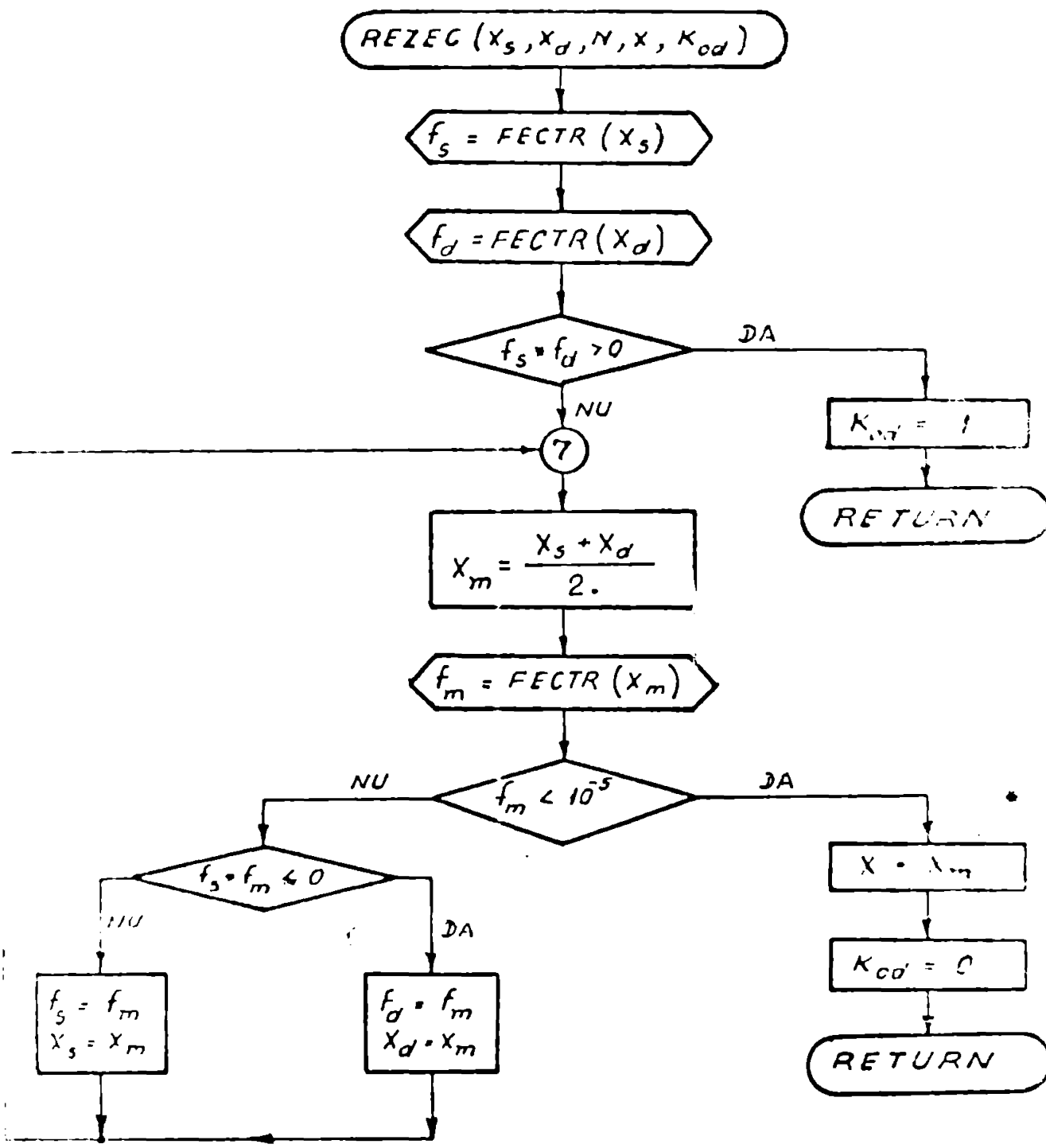


FECTR (X, N)

$$\alpha_r = \text{mod}(X, 2\pi)$$

$$\text{FECTR} = \left(\frac{\left(\frac{\mu}{\mu_0} - 1 \right) \cdot N^2}{x} - \frac{x c b}{(b-c)^2} \right) \cdot \sin \alpha_r + N \cdot \left(\frac{\frac{\mu}{\mu_0} \cdot (c+b)}{(b-c)} + 1 \right) \cdot \cos \alpha_r$$

RETURN



ANEXA 2'

DETERMINAREA PIERDERILOR ÎN CURENȚI TURBIONARI

În cazul regimului sinusoidal al M.E.F.

S-a elaborat scheme logică și programul de calcul a pierderilor prin curenți turbionari în miezul feromagnetic al unei MEF în cazul regimului sinusoidal. Funcțiile sinus și cosinus integral care intervin în expresia pierderilor în fier sînt programate prin aplicarea metodei trapezelor [3].

Programul elaborat poate fi utilizat pentru orice mașină sincronă sau de inducție funcționînd în regim sinusoidal. A fost aplicat concret pentru un motor de fabricație "electromotor" Timișoara, tip IB₃100L de 3 KW și 1500 rpm.

PROGRAM PFE

INIZIALIZARE VALORI
 $m, \mu, \mu_0, \rho_p, \sqrt{\epsilon}, l_{fe}, \omega$
 $N, I_{ef}, c, y/\delta, q, a, b.$

$$COEF = \frac{4m\mu^2}{\pi} \cdot \rho_p \sqrt{\epsilon} l_{fe} \omega^2 N^2 I_{ef}^2 c$$

$$\beta = \sqrt{\omega \mu \sqrt{\epsilon}}$$

$$\alpha_b = 2\beta b$$
$$\alpha_c = 2\beta c$$

$$sib = si(\alpha_b)$$

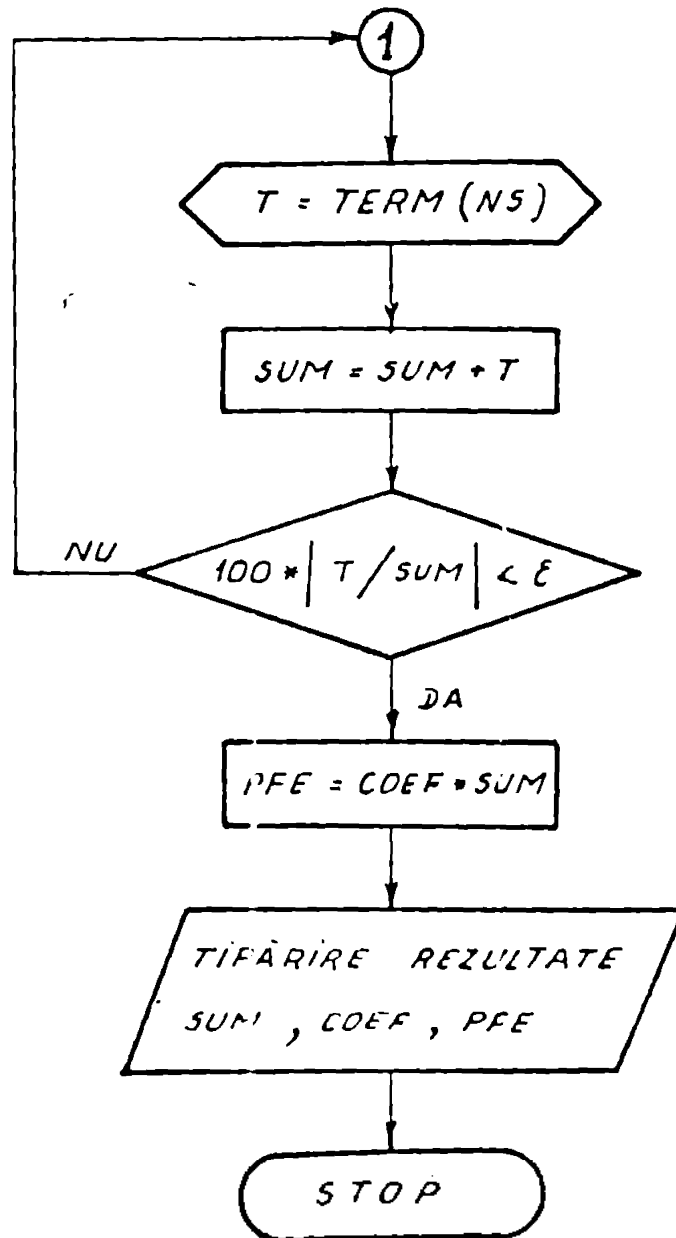
$$sic = si(\alpha_c)$$

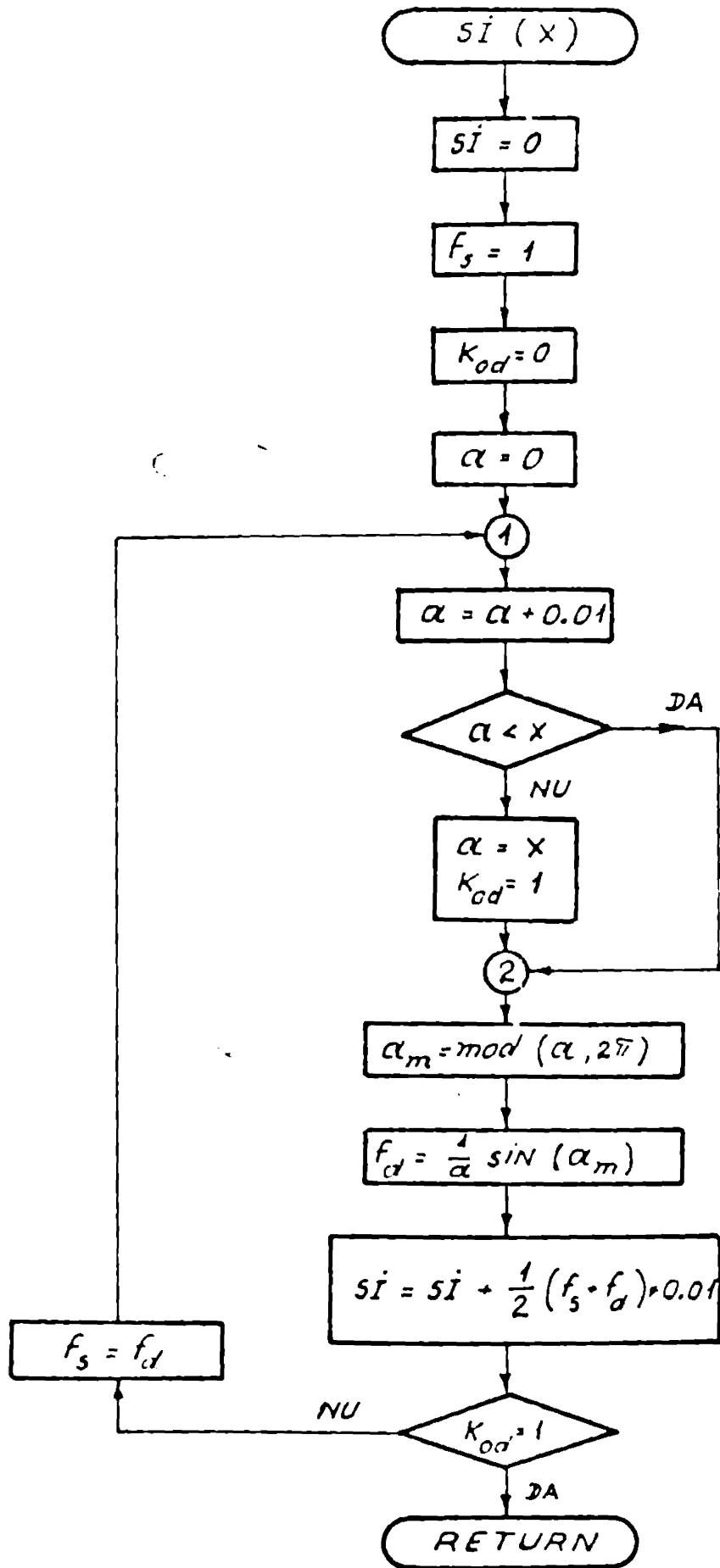
$$cib = ci(\alpha_b)$$

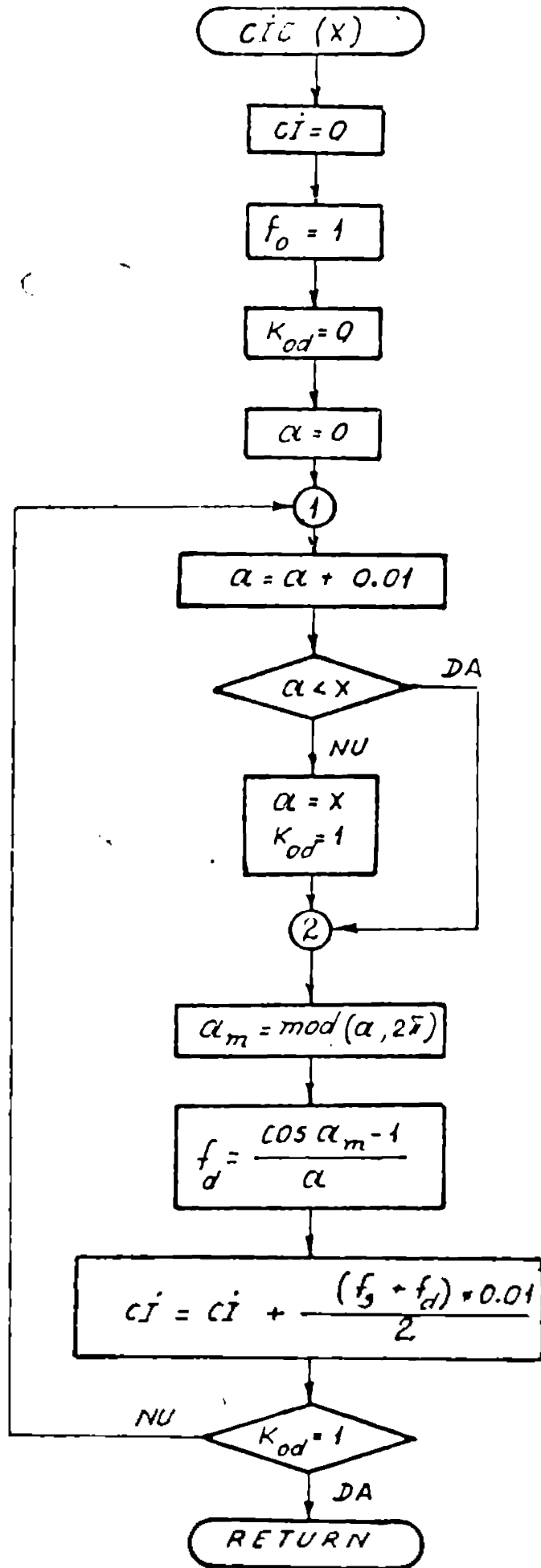
$$cic = ci(\alpha_c)$$

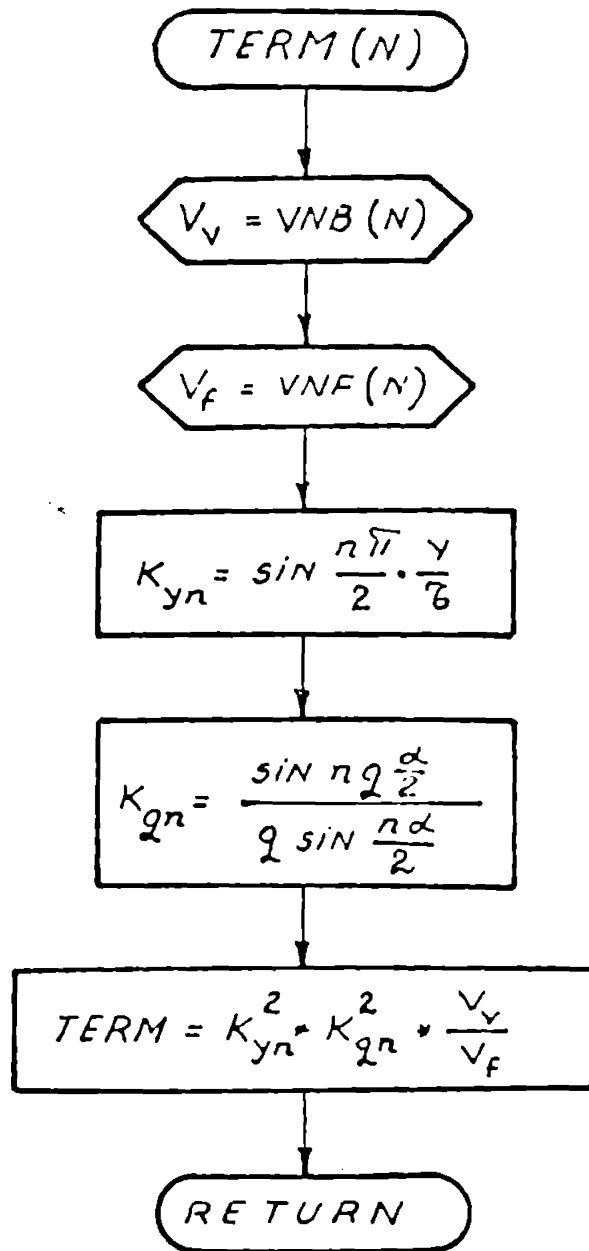
$$NS = 1$$
$$SUM = 0$$

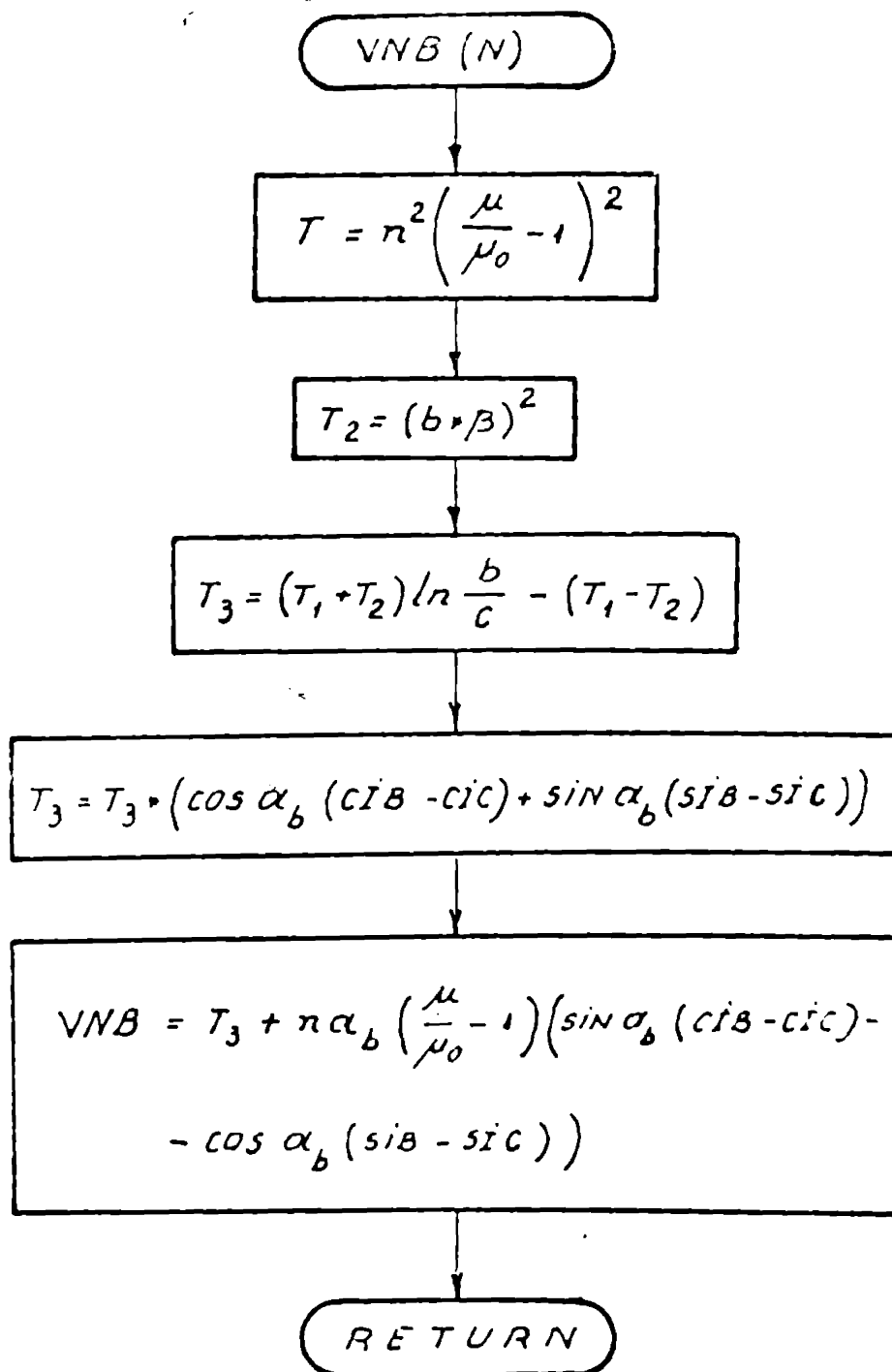
1

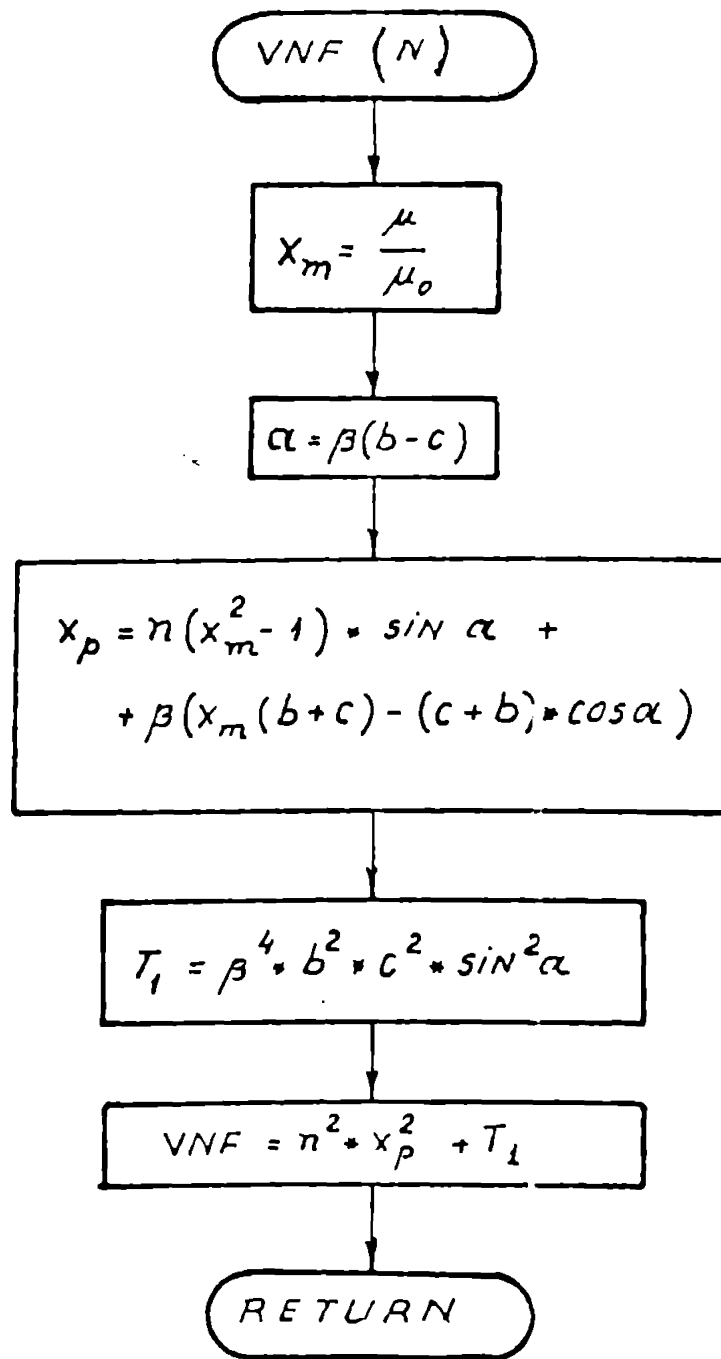












A N E X A 3

DETERMINAREA POTENTIALULUI MAGNETIC IN CRESTATURA

Soluția ecuației (3.116) este de forma:

$$\tilde{A}_{1,III} = K_{11,III} \operatorname{sh} \gamma_c y + K_{21,III} \operatorname{ch} \gamma_c y \quad (A3.1)$$

în care:

$$\gamma_c = \sqrt{\rho \mu_c \sigma_c} \quad (A3.2)$$

Soluția ecuației (3.117) este:

$$\tilde{A}_i = C_{1i} y + C_{2i}, \text{ unde } i = II, IV, V, VI \quad (A3.3)$$

Constantele de integrare $K_{11,II}$, $K_{21,II}$, C_{1i} și C_{2i} se determină din condițiile de frontieră între domenii, unde potențialul magnetic vector A și componenta tangențială a lui H se conservă. Se completează cu legea circuitului magnetic aplicată pe la baza nivelului n și deasupra acestuia. Se studiază trei cazuri:

A3.1. Nivelul n parcurs de curentul $\tilde{I}(p)$ se găsește în stratul inferior. Atunci condițiile specificate mai sus se exprimă astfel:

$$\frac{1}{\mu_0} \left(\frac{\partial \tilde{A}_I}{\partial y} \right)_{y=(n-1)h} = 0$$

$$\frac{1}{\mu_0} \left(\frac{\partial \tilde{A}_I}{\partial y} \right)_{y=nh} = \frac{\tilde{I}(p)}{b_1}$$

$$\frac{1}{\mu_0} \left(\frac{\partial \tilde{A}_I}{\partial y} \right)_{y=h_1} = \frac{1}{\mu_0} \left(\frac{\partial \tilde{A}_{II}}{\partial y} \right)_{y=h_1} = \frac{\tilde{I}(p)}{b_1}$$

$$(\tilde{A}_I)_{y=h_1} = (\tilde{A}_{II})_{y=h_1}$$

$$\frac{1}{\mu_0} \left(\frac{\partial \tilde{A}_{II}}{\partial y} \right)_{y=h_1+h_2} = \frac{1}{\mu_0} \left(\frac{\partial \tilde{A}_{III}}{\partial y} \right)_{y=h_1+h_2} = \frac{\tilde{I}(p)}{b_1}$$

$$(\tilde{A}_{II})_{y=h_1+h_2} = (\tilde{A}_{III})_{y=h_1+h_2}$$

$$\frac{1}{\mu_0} \left(\frac{\partial \tilde{A}_{III}}{\partial y} \right)_{y=h_1+h_2+h_3} = \frac{1}{\mu_0} \left(\frac{\partial \tilde{A}_{IV}}{\partial y} \right)_{y=h_1+h_2+h_3} = \frac{\tilde{I}(p)}{b_1}$$

$$(\tilde{A}_{III})_{y=h_1+h_2+h_3} = (\tilde{A}_{IV})_{y=h_1+h_2+h_3}$$

$$\frac{1}{\mu_0} \left(\frac{\partial A_{IV}}{\partial y} \right)_{y=h_1+h_2+h_3+h_4} = \frac{1}{\mu_0} \left(\frac{\partial A_V}{\partial y} \right)_{y=h_1+h_2+h_3+h_4} = \frac{I(p)}{b_5}$$

$$(\tilde{A}_{IV})_{y=h_1+h_2+h_3+h_4} = (\tilde{A}_V)_{y=h_1+h_2+h_3+h_4}$$

$$\begin{aligned} \frac{1}{\mu_0} \left(\frac{\partial A_V}{\partial y} \right)_{y=h_1+h_2+h_3+h_4+h_5} &= \frac{1}{\mu_0} \left(\frac{\partial A_{VI}}{\partial y} \right)_{y=h_1+h_2+h_3+h_4+h_5} \\ &= \frac{\tilde{I}(p)}{b_6} \end{aligned}$$

$$(\tilde{A}_V)_{y=h_1+h_2+h_3+h_4+h_5} = (\tilde{A}_{VI})_{y=h_1+h_2+h_3+h_4+h_5}$$

unde: $\tilde{I}(p) = \mathcal{L}[i(t)]$

Făcînd înlocuirile în primele două condiții, rezultă:

$$K_{11} = - \frac{\mu_c \tilde{I}(p)}{b_1 \gamma_c} \cdot \frac{\text{sh } \gamma_c h(n-1)}{\text{sh } \gamma_c h}$$

$$K_{21} = \frac{\mu_0 \tilde{I}(p)}{b_1 \gamma_c} \cdot \frac{\text{ch } \gamma_c h(n-1)}{\text{sh } \gamma_c h}$$

Rezultă potențialul magnetic vector în stratul inferior, de la baza creștăturii ca fiind:

$$\tilde{A}_I(p, y) = \frac{\mu_c \tilde{I}(p)}{b_1 \gamma_c \text{sh } \gamma_c h} \quad \text{pentru } y < \text{sh} \quad (A3.4)$$

$$\tilde{A}_I(p, y) = \frac{\mu_0 \tilde{I}(p)}{b_1 \gamma_c \text{sh } \gamma_c h} \text{ch } \gamma_c [y - h(n-1)] \quad (A3.5)$$

Determinarea constantelor \tilde{C}_{111} și \tilde{C}_{211} se realizează din condiția a treia și a patra, obținîndu-se:

$$\tilde{C}_{111} = \frac{\mu_0 \tilde{I}(p)}{b_1}$$

$$\tilde{C}_{211} = \frac{\mu_0 \tilde{I}(p)}{b_1 \gamma_c \text{sh } \gamma_c h} \text{ch } \gamma_c [h_1 - h(n-1)] - \frac{\mu_0 \tilde{I}(p) h_1}{b_1}$$

Făcînd înlocuirile, se obţine potenţialul magnetic vector în izolaţia dintre straturi:

$$\tilde{A}_{III}(p, y) = \frac{\mu_0 \tilde{I}(p)}{b_1} \left\{ y - h_1 + \frac{\mu_2 \operatorname{ch} \gamma_c [h_1 - h(n-1)]}{\mu_0 \gamma_c \operatorname{sh} \gamma_c h} \right\} \quad (A3.6)$$

Din condiţiile a 5-a şi a 6-a se obţin constantele K_{1III} şi K_{2III} :

$$K_{1III} = \frac{\mu_0 \tilde{I}(p)}{b_1} \left\{ \frac{1}{\gamma_c} \operatorname{ch} \gamma_c (h_1 + h_2) - \frac{1}{\gamma_c \operatorname{sh} \gamma_c h} \operatorname{sh} \gamma_c (h_1 + h_2) \operatorname{ch} \gamma_c [h_1 - h(n-1)] - \frac{\mu_2 h_2}{\mu_0} \operatorname{sh} \gamma_c (h_1 + h_2) \right\}$$

$$K_{2III} = \frac{\mu_0 \tilde{I}(p)}{b_1} \left\{ \frac{1}{\gamma_c \operatorname{sh} \gamma_c h} \operatorname{ch} \gamma_c (h_1 + h_2) \operatorname{ch} \gamma_c [h_1 - h(n-1)] - \frac{1}{\gamma_c} \operatorname{sh} \gamma_c \cdot (h_1 + h_2) + \frac{\mu_2 h_2}{\mu_0} \operatorname{ch} \gamma_c (h_1 + h_2) \right\}$$

rezultă astfel potenţialul magnetic vector în stratul superior:

$$\tilde{A}_{III}(p, y) = \frac{\mu_0 \tilde{I}(p)}{b_1} \left\{ \frac{1}{\gamma_c} \operatorname{sh} \gamma_c (y - h_1 - h_2) + \frac{1}{\gamma_c \operatorname{sh} \gamma_c h} \operatorname{ch} \gamma_c [h_1 - h(n-1)] \cdot \operatorname{ch} \gamma_c (y - h_1 - h_2) + \frac{\mu_2 h_2}{\mu_0} \operatorname{ch} \gamma_c (y - h_1 - h_2) \right\} \quad (A3.7)$$

Constantele de integrare C_{1IV} şi C_{2IV} se obţin din condiţiile a şaptea şi a opta, fiind cunoscut $\tilde{A}_{III}(p, y)$:

$$C_{1IV} = \frac{\mu_0 \tilde{I}(p)}{b_1}$$

$$C_{2IV} = \frac{\mu_0 \tilde{I}(p)}{b_1} \left\{ \frac{\mu_0}{\mu_0 \gamma_c} \operatorname{sh} \gamma_c h_3 + \frac{\mu_0}{\mu_0 \gamma_c \operatorname{sh} \gamma_c h} \operatorname{ch} \gamma_c [h_1 - h(n-1)] \operatorname{ch} \gamma_c h + h_2 \operatorname{sh} \gamma_c h_3 - h_1 - h_2 - h_3 \right\}$$

Atunci potenţialul magnetic vector în domeniul IV rezultă:

$$\tilde{A}_{IV}(p, y) = \frac{\mu_0 \tilde{I}(p)}{b_1} \left\{ y - h_1 - h_2 - h_3 + \frac{\mu_0}{\mu_0 \gamma_c} \operatorname{sh} \gamma_c h_3 + \frac{\mu_0}{\mu_0 \gamma_c \operatorname{sh} \gamma_c h} \operatorname{ch} \gamma_c [h_1 - h(n-1)] \operatorname{ch} \gamma_c [h_1 - h(n-1)] \operatorname{ch} \gamma_c h_3 + h_2 \operatorname{ch} \gamma_c h_3 \right\} \quad (A3.8)$$

Folosind a noua și a zecea condiție se determină constantele \tilde{A}_{1V} și \tilde{A}_{2V} :

$$\tilde{A}_{1V} = \mu_0 \frac{\tilde{I}(p)}{b_5}$$

$$\tilde{A}_{2V} = \frac{\mu_0 \tilde{I}(p)}{b_1} \left\{ \frac{\mu_c}{\mu_0 \gamma_c} \operatorname{sh} \gamma_c h_3 + \frac{\mu_0}{\mu_0 \gamma_c \operatorname{sh} \gamma_c h} \operatorname{ch} \gamma_c [h_1 - h(n-1)] \cdot \right. \\ \left. \cdot \operatorname{ch} \gamma_c h_3 + h_2 \operatorname{ch} \gamma_c h_3 - \frac{b_1}{b_5} (h_1 + h_2 + h_3 + h_4) \operatorname{sh} \gamma_c h_3 \right\}$$

Prin înlocuirile corespunzătoare, se obține potențialul magnetic vector în domeniul V:

$$\tilde{A}_V(p, y) = \frac{\mu_0 \tilde{I}(p)}{b_1} \left\{ \frac{b_1}{b_5} (y - h_1 - h_2 - h_3 - h_4) + h_4 + \frac{\mu_0}{\mu_0 \gamma_c} \operatorname{sh} \gamma_c h_3 + \right. \\ \left. + \frac{\mu_c}{\mu_0 \gamma_c \operatorname{sh} \gamma_c h} \operatorname{ch} \gamma_c [h_1 - h(n-1)] \operatorname{ch} \gamma_c h_3 + h_2 \operatorname{ch} \gamma_c h_3 \right\}. \quad (A3.9)$$

Din condiția a 11-a și a 12-a se calculează constantele \tilde{A}_{1VI} și \tilde{A}_{2VI} :

$$\tilde{A}_{1VI} = \mu_0 \frac{\tilde{I}(p)}{b_6}$$

$$\tilde{A}_{2VI} = \frac{\mu_0 \tilde{I}(p)}{b_1} \left\{ \frac{b_1}{b_5} h_5 + h_4 + \frac{\mu_0}{\mu_0 \gamma_c} \operatorname{sh} \gamma_c h_3 + \frac{\mu_0}{\mu_0 \gamma_c \operatorname{sh} \gamma_c h} \operatorname{ch} \gamma_c [h_1 - h(n-1)] \cdot \right. \\ \left. \cdot \operatorname{ch} \gamma_c h_3 + h_2 \operatorname{ch} \gamma_c h_3 - \frac{b_1}{b_6} (h_1 + h_2 + h_3 + h_4 + h_5) \right\}$$

În final se obține și potențialul magnetic vector în gita orostăturii:

$$\tilde{A}_{VI}(p, y) = \frac{\mu_0 \tilde{I}(p)}{b_1} \left\{ \frac{b_1}{b_6} (y - h_1 - h_2 - h_3 - h_4 - h_5) + \frac{b_1}{b_5} h_5 + h_4 + \frac{\mu_0}{\mu_0 \gamma_c} \operatorname{sh} \gamma_c h_3 + \right. \\ \left. + \frac{\mu_0}{\mu_0 \gamma_c \operatorname{sh} \gamma_c h} \operatorname{ch} \gamma_c [h_1 - h(n-1)] \operatorname{ch} \gamma_c h_3 + h_2 \operatorname{ch} \gamma_c h_3 \right\}. \quad (A3.10)$$

A3.2. Nivelul n, parcurs de curentul $\tilde{I}(p)$ se găsește în stratul superior.

În această situație condițiile de determinare a constantelor de integrare se scriu:

$$\frac{1}{\mu_0} \left(\frac{\partial \tilde{A}_I}{\partial y} \right)_{y=h_1} = \frac{1}{\mu_0} \left(\frac{\partial \tilde{A}_{II}}{\partial y} \right)_{y=h_1} = \frac{1}{\mu_0} \left(\frac{\partial \tilde{A}_{III}}{\partial y} \right)_{y=h_1+h_2} =$$

$$= \frac{1}{\mu_0} \left(\frac{\partial \tilde{A}_{III}}{\partial y} \right)_{y=h_1+h_2} = \frac{1}{\mu_0} \left(\frac{\partial \tilde{A}_{III}}{\partial y} \right)_{y=h_1+h_2+(n-1)h} = 0$$

$$(\tilde{A}_I)_{y=h_1} = (\tilde{A}_{II})_{y=h_1}$$

$$(\tilde{A}_{II})_{y=h_1+h_2} = (\tilde{A}_{III})_{y=h_1+h_2}$$

$$\frac{1}{\mu_0} \left(\frac{\partial \tilde{A}_{III}}{\partial y} \right)_{y=h_1+h_2+h_3} = \frac{\tilde{I}(p)}{b_1}$$

$$\frac{1}{\mu_0} \left(\frac{\partial \tilde{A}_{III}}{\partial y} \right)_{y=h_1+h_2+h_3} = \frac{1}{\mu_0} \left(\frac{\partial \tilde{A}_{IV}}{\partial y} \right)_{y=h_1+h_2+h_3} = \frac{\tilde{I}(p)}{b_1}$$

$$(\tilde{A}_{III})_{y=h_1+h_2+h_3} = (\tilde{A}_{IV})_{y=h_1+h_2+h_3}$$

$$\frac{1}{\mu_0} \left(\frac{\partial \tilde{A}_{IV}}{\partial y} \right)_{y=h_1+h_2+h_3+h_4} = \frac{1}{\mu_0} \left(\frac{\partial \tilde{A}_V}{\partial y} \right)_{y=h_1+h_2+h_3+h_4} =$$

$$= \frac{\tilde{I}(p)}{b_5}$$

$$(\tilde{A}_{IV})_{y=h_1+h_2+h_3+h_4} = (\tilde{A}_V)_{y=h_1+h_2+h_3+h_4}$$

$$\frac{1}{\mu_0} \left(\frac{\partial \tilde{A}_V}{\partial y} \right)_{y=h_1+h_2+h_3+h_4+h_5} = \frac{1}{\mu_0} \left(\frac{\partial \tilde{A}_{VI}}{\partial y} \right)_{y=h_1+h_2+h_3+h_4+h_5} =$$

$$= \frac{\tilde{I}(p)}{b_6}$$

$$(\tilde{A}_V)_{y=h_1+h_2+h_3+h_4+h_5} = (\tilde{A}_{VI})_{y=h_1+h_2+h_3+h_4+h_5}$$

Pe baza primei condiții care reprezintă legea circuitului magnetic se trage concluzia că potențialul magnetic vector rămâne constant și egal cu cel corespunzător coordonatei $y=h_1+$

$+h_2+h(m-1)$ pînă la această coordonată. Prin urmare din valorile intensității cîmpului magnetic la $y=h_1+h_2+h(m-1)$ și $y=h_1+h_2+mh$ se deduc constantele K_{1III} și K_{2III} :

$$K_{1III} = - \frac{\mu_0 \tilde{I}(p)}{b_1 \gamma_c \operatorname{sh} \gamma_c h} \operatorname{sh} \gamma_c [h_1+h_2+h(m-1)]$$

$$K_{2III} = \frac{\mu_0 \tilde{I}(p)}{b_1 \gamma_c \operatorname{sh} \gamma_c h} \operatorname{ch} \gamma_c [h_1+h_2+h(m-1)]$$

Deci potențialul magnetic în stratul superior este:

$$\tilde{A}_{III}(p, y) = \frac{\mu_0 \tilde{I}(p)}{b_1 \gamma_c \operatorname{sh} \gamma_c h} \operatorname{ch} \gamma_c [y-h_1-h_2-h(m-1)] \quad (A3.11)$$

pentru $y \geq h_1+h_2+mh$

Atunci potențialul magnetic în stratul inferior și izolația dintre straturi este:

$$\tilde{A}_I(p, y) = \tilde{A}_{II}(p, y) = \frac{\mu_0 \tilde{I}(p)}{b_1 \gamma_c \operatorname{sh} \gamma_c h} \quad (A3.12)$$

Acceași expresie o are potențialul magnetic vector în stratul superior dar sub nivelul m :

$$\tilde{A}_{III}(p, y) = \frac{\mu_0 \tilde{I}(p)}{b_1 \gamma_c \operatorname{sh} \gamma_c h} \quad \text{pentru } y < h_1+h_2+mh \quad (A3.13)$$

Din condițiile de frontieră între domeniul III și IV se deduce:

$$\sigma_{1IV} = \frac{\mu_0 \tilde{I}(p)}{b_1}$$

$$\sigma_{2IV} = \frac{\mu_0 \tilde{I}(p)}{b_1 \gamma_c \operatorname{sh} \gamma_c h} \operatorname{ch} \gamma_c [h_3-h(m-1)] - \frac{\mu_0 \tilde{I}(p)}{b_1} (h_1+h_2+h_3)$$

Rezultă potențialul magnetic vector în domeniul IV:

$$\tilde{A}_{IV} = \frac{\mu_0 \tilde{I}(p)}{b_1} \left\{ y-h_1-h_2-h_3 + \frac{\mu_0}{\mu_0 \gamma_c \operatorname{sh} \gamma_c h} \operatorname{ch} \gamma_c [h_3-h(m-1)] \right\} \quad (A3.14)$$

Determinarea constantelor de integrare σ_{1V} și σ_{2V} se face din condițiile de frontieră între domeniul IV și V:

$$\sigma_{1V} = \frac{\mu_0 \tilde{I}(p)}{b_5}$$

$$\sigma_{2V} = \frac{\mu_0 \tilde{I}(p)}{b_1} \left\{ h_4 + \frac{\mu_0}{\mu_0 \gamma_0 \operatorname{sh} \gamma_0 h} \operatorname{ch} \gamma_0 [h_3 - h(m-1)] - \frac{b_1}{b_5} \cdot (n_1 + h_2 + h_3 + h_4) \right\}$$

Atunci, potențialul magnetic vector în domeniul V are expresia:

$$\tilde{A}_V(p, y) = \frac{\mu_0 \tilde{I}(p)}{b_1} \left\{ \frac{b_1}{b_5} (y - h_1 - h_2 - h_3 - h_4) + h_4 + \frac{\mu_0}{\mu_0 \gamma_0 \operatorname{sh} \gamma_0 h} \cdot \operatorname{ch} \gamma_0 [h_3 - h(m-1)] \right\} \quad (A3.15)$$

Constantele σ_{1VI} și σ_{2VI} ce urmează a fi determinate din ultimele două condiții, rezultă:

$$\sigma_{1VI} = \frac{\mu_0 \tilde{I}(p)}{b_5}$$

$$\sigma_{2VI} = \frac{\mu_0 \tilde{I}(p)}{b_1} \left\{ \frac{b_1}{b_5} h_5 + h_4 + \frac{\mu_0}{\mu_0 \gamma_0 \operatorname{sh} \gamma_0 h} \operatorname{ch} \gamma_0 [h_3 - h(m-1)] - \frac{b_1}{b_6} (n_1 + h_2 + h_3 + h_4) \right\}$$

Se poate scrie și potențialul magnetic în domeniul VI ca fiind:

$$\tilde{A}_{VI}(p, y) = \frac{\mu_0 \tilde{I}(p)}{b_1} \left\{ \frac{b_1}{b_6} (y - h_1 - h_2 - h_3 - h_4 - h_5) + \frac{b_1}{b_5} h_5 + h_4 + \frac{\mu_0}{\mu_0 \gamma_0 \operatorname{sh} \gamma_0 h} \operatorname{ch} \gamma_0 [h_3 - h(m-1)] \right\} \quad (A3.16)$$

A3.3. Nivelul n parcurs de curentul $I(p)$ se află în câmpul creației la înălțimea $h_1 + h_2 + h_3 + h_4 + h_5 + h_6$

Având în vedere că s-a presupus $\mu_{r0} = \infty$, din legea circuitului magnetic rezultă că intensitatea câmpului magnetic este nulă sub nivelul n, deci potențialul magnetic vector este constant în tot spațiul creației indiferent de domeniu:

$$\begin{aligned} \tilde{A}_I(p, y) &= \tilde{A}_{II}(p, y) = \tilde{A}_{III}(p, y) = \tilde{A}_{IV}(p, y) = \tilde{A}_V(p, y) = \\ &= \tilde{A}_{VI}(p, y) = \frac{\mu_0 \tilde{I}(p)}{b_1 \gamma_0 \operatorname{sh} \gamma_0 h} \end{aligned} \quad (A3.17)$$

ANEXA 4

DETERMINAREA PARAMETRELOR TRAZITORIA AI
LATURILOR DE SPIRA

Problema constă în aflarea originalelor expresiilor operaționale (3.136) - (3.143). Pentru aceasta, termenilor componenți li se aplică fie formula de inversiune Mellin-Fourier, fie formula dezvoltării generalizate a lui Heaviside. Acest lucru se poate realiza având în vedere următoarele:

- funcția $\frac{\text{sh } \gamma_0 h}{\gamma_0} = \frac{\text{sh } \sqrt{p} \mu_0 \sigma_0 h}{\sqrt{p} \mu_0 \sigma_0}$ este o funcție întreagă

având având lin $\lim_{p \rightarrow 0} \frac{\text{sh } \sqrt{p} \mu_0 \sigma_0 h}{\sqrt{p} \mu_0 \sigma_0} = h$ și deci punctul singular excep-

țional din origine al ei este operant;

- ecuația $\text{sh } \gamma_0 h = \text{sh } \sqrt{p} \mu_0 \sigma_0 h = 0$, necunoscuta fiind operatorul p , are rădăcini simple, inclusiv zero. Rezolvarea ecuației se face echivalând funcția hiperbolică cu cea corespunzătoare trigonometrică:

$$\text{sh } \sqrt{p} \mu_0 \sigma_0 h = j \sin j \sqrt{p} \mu_0 \sigma_0 h = 0$$

a cărei rădăcini sînt:

$$p_K = - \frac{K^2 \gamma^2}{\mu_0 \sigma_0 h^2} \tag{A4.1}$$

Se face notația:

$$\gamma_E = \mu_0 \sigma_0 h^2 \tag{A4.2}$$

care este denumită constanta de tip α a spirii. Se obține:

$$p_K = - \frac{K^2 \gamma^2}{\gamma_E} \text{ unde } K = 0, 1, 2, 3, \dots \tag{A4.3}$$

În expresiile operaționale a căror originale trebuie să aflăm, pe lângă imaginile unor funcții treaptă, apar în general

termeni componenți de forma:

$$F(p) = \frac{F_1(p)}{p F_2(p)} \quad (A4.4)$$

căreia i se poate aplica formula de inverșiare a lui Heaviside, conform căreia funcția originală este:

$$\mathcal{L}^{-1}[F(p)] = \frac{F_1(0)}{F_2(0)} + \sum_{K=1}^{\infty} \frac{F_1(p_K)}{p_K F_2'(p_K)} \cdot p_K^t \quad (A4.5)$$

sau de forma:

$$F(p) = \frac{F_1(p)}{F_2(p)} \quad (A4.6)$$

a căreia funcția originală este:

$$\mathcal{L}^{-1}[F(p)] = \sum_{K=1}^{\infty} \frac{F_1(p_K)}{F_2'(p_K)} \cdot p_K^t \quad (A4.7)$$

În ambele expresii (A4.5) și (A4.7) p_K este dat de (A4.3).

ANEXA 5

DETERMINAREA COORDONATELOR PUNCTULUI Z_K OBTINUT
PRIN APLICAREA TRANSFORMĂRII CONFORME PUNCTULUI Z_K

Integrând expresia (3.175), se obține:

$$z = K_1 \int \frac{dz}{\sqrt{z(z+1)}} + K_2$$

de unde rezultă:

$$z = K_1 \ln (2 \sqrt{z(z+1)} + 2z + 1) + K_2$$

sau

$$z = K_1 \operatorname{argch} (1 + 2z) + K_2 \quad (A5.1)$$

Se determină constantele K_1 și K_2 :

- pentru $z=0$, $Z=0$ și deci $K_2=0$

- pentru $z=jb_1$, $Z=1$ și rezultă $K_1 = \frac{b_1}{\sqrt{2}}$

Observație: s-a avut în vedere că $\ln j = j\sqrt{-1}$ iar $j = \sqrt{-1}$
Prin urmare se obține:

$$z = \frac{b_1}{\sqrt{2}} \operatorname{argch}(1 + 2z) \quad (A5.2)$$

Se determină funcția inversă: $Z=f(z)$

Se obține:

$$z = \frac{1}{2} \left(\operatorname{ch} \frac{\sqrt{2}z}{b_1} - 1 \right) \quad (A5.3)$$

Se pune acum condiția ca punctul $z_K(x_K + jy_K)$ în care se găsește al K -lea conductor, să se regăsească în punctul $Z_K(X_K + jY_K)$

$$x_K + jy_K = \frac{1}{2} \operatorname{ch} \frac{\sqrt{2}(x_K + jy_K)}{b_1} - 1$$

de unde rezultă:

$$x_K = \frac{1}{2} \operatorname{ch} \frac{\sqrt{2}x_K}{b_1} \cos \frac{\sqrt{2}y_K}{b_1} - \frac{1}{2} \quad (A5.6)$$

$$\gamma_K = \frac{1}{2} \operatorname{sh} \frac{\gamma_{x_K}}{b_1} \operatorname{ain} \frac{\gamma_{y_K}}{b_1} \quad (\text{A5.7})$$

BIBLIOGRAFIA

1. Abetti A., Adams G.E., Maginnis F.J. - Oscillation of coupled windings. AIEE-Power Apparatur and Systems, 1955.
2. Abetti A., Johnson J.B., Schultz A.J. - Surge phenomena in large unit-connected steam turbine generators. AIEE Trans., 1952.
3. Abetti P.A. - Electrostatic voltage distribution and transfer in 3-winding transformers. Trans.AIEE/III, 1954.
4. Adamuț I. - Contribuții la rezolvarea ecuațiilor de propagare pe linii electrice lungi multifilare cu pierderi, capacități și influențe mutuale. St.cerc.electroenerg. și electrotehn. nr.4, 1967.
5. Adamuț I. - Contribuții privind propagarea undelor pe lanțuri de cuadripoli. Electrotehnica nr.5, 1970.
6. Abramovici B.N. - Metod opredelenia parametrov sinhronih mašin na TMA. Izvestija vuzov ucebain zavedenii. Energetika, nr.5, 1979.
7. Anget A. - Complimente de matematici pentru inginerii din electrotehnica și telecomunicații. Ed.tehn. București, 1966.
8. Antoniu I.S. - Regimuri tranzitorii. Manualul inginerului electrician. Vol.1, Ed. tehn., București, 1955.
9. Antoniu I.S., Adamuț I.A. - Contributions a la definition de la vitesse de propagation d'un signal sur les chaines de quadripoles. Rev.roum.sci.techn.electrotech. et energ., nr.5, 1966.
10. Apăreai C. - Verificarea izolației mașinilor electrice cu tensiune redusă

- continuu. Electrotehnica, nr. 5, 1966.
11. Aramă T. - Teoretica. Ed. tehn., București, 1976.
12. Avakian V.A. - K voprosi vibrodiagnotiki tehnologiceskih defectov elektriceskih masin. Moskva, 1977.
13. Bătanov V.S.,
Vihrev V.I.,
Suvarov N.I. - K voprosu o veroiatnostnoi funkcii raspredelenia najvitkovih napriajenii v obmotke asinhronovo dvigatelja s ucetom volnovih parametrov. Rukopisi dsp.v. Informato ar. 27, 1976.
14. Baltensperger P.,
Layr H. - Überspannungen beim Abschalten von Hochspannungsmotoren. BBT Mitteilungen, 1953.
15. Băla C.V., Tugulea A. - efectul pelicular tranzitoriu și parametrii tranzitorii ai barelor conductoare masive de secțiune dreptunghiulară așezate în creștăturile mașinilor electrice. Stud. și cercet. de energ. și electroteh. Tom 17, nr. 3, 1967.
16. Battersby G.A.,
Mansel A.P. - Some notes on winding analysis and the measurement of machine parameters. Int. J. Elec. Eng. S. Ekspres informația. Elektriceskie mașini i aparati, nr. 2, 1977.
17. Eins C., Lawerson P. - Analiz i rasčet elektriceskih i magnitnih polei. energija. Moskva, 1976.
18. Bluminski A.P. - Aparat pentru înnoșcarea izolației între spirele mașinilor electrice. Vestn. Proislozhenosti, nr. 6, 1961.
19. Baran E. - Calitatea și fiabilitatea produselor. Ed. did. și ped., București, 1976.

20. Babakov J.A.,
Rufjak W.M. - Instalație pentru controlul nedistructiv al infășurărilor statorului la turbo și hidrogenatoare. *Elektrotechnika, URSS*, nr.7, 1977.
21. Brinkii E.A.,
Danilevici I.,
Iakovlev W. - *Elektronnaitnie polia v elektriceskih mašinah. Energia. Leningrad, 1979.*
22. Böning W. - Vereinfachte Theorie des Spannungsgestornes auf die Ständerwicklung von Turbogeneratoren. *Arch. Electr.*, 1961.
23. Burkov L.P. - Gerostarea infășurărilor statorului turbogeneratorului de 200 MW. *Elektriceskie stații, URSS*, nr.12, 1978.
24. Beitman G. - Matematicească teoria răspândirii electromagnetice a undelor. *Trad. lb. engleză. Moscva, 1950.*
25. Claja W., Vascan T. - Generator de impulsuri repetate pentru studiul comportării la impuls și defectoscopia mașinilor electrice, *Electrotehnică*, nr.5, 1963.
26. Ciobaș I. - K raschetu perehedainh proceasov v demfernih kontaktah elektriceskih mašin. *Elektricesstvo*, nr.6, 1978.
27. Ciupeanu A. - Mașini electrice. *Seriul românesc, Creația*, 1977.
28. Cornick K.J.,
Thompson T.K. - Steep-fronted switching voltage transients and their distribution in motor winding. *Proc. IEE*, vol. 129, Pt.B, nr.2, 1982.
29. Doci G. - *Ukovedstvo k prakticeskemu primeneniju preobrazovania Lapace i Z_s - preobrazovanie. Moskva, 1971.*
30. Danilevici I.,
Dobrovski W.,
Kasovski I. - *Parametri elektriceskih mašin paramenovo toka. Nauka - Moskva - Leningrad, 1965.*

31. Demidovitch B.,
Loren I. - Elemente de calcul numeric. .
Editions mir., Moskou, 1979.
32. Doljuk S. - Die Isolationen von Statorwicklungen in Hochspannungs Maschinen. Brown-Boveri Mitt., nr.5, 1964.
33. Dordea T. - Masini electrice. Ed.did.și ped., București, 1977.
34. Dordea T. - Proiectarea și construcția mașinilor electrice. Timișoara, 1979.
35. Arnoldi A.P. - Otenka constructionoi nadejnosti malih elektriceskih mašin. Elektromehanika, nr.4, 1970.
36. Frehn H. - Möglichkeiten der experimentellen Analyse des Luftspaltfeldes elektrischer Maschinen. ETZ.1-90, nr.4, 1969.
37. Heymann H.P.,
Leighton H.B., Sands M.
38. Galan H. - Fizica modernă. vol.2, Trad. lb. engleză, Ed.tehn., București, 1970.
39. Goldberg O.D.,
Lorcker B. - Cimpul electromagnetic al unei înfășurări percorse de curent alternativ monocfazat despuse în interiorul unei mașini electrice idealizate. St.și.cerest. energ.și electrotehn., tom 17, nr.3, 1967.
40. Goveckov V.A. - O nadejnosti asizorenih dvigatelei, Vestnik el.-apom., nr.9, 1962.
41. Hennaker L., Nolle L. - Elektriceskie i magnitnie polia. Energia, Moskva, 1968.
42. Heller B., Teverka A. - Berechnung von Kurzschlussströmen beim Teilkurzschluss in der Statorwicklung einer leerlaufenden Synchro maschine. Arch. Electrotehn., nr.1, 1979.
43. Heller B., Teverka A. - Impulsni procesi v. elektriceskih mašin. Moskva Energia, 1973.

43. Hallas B., Veverka A. - Les phenomenes de choc dans les machines electriques. Dunod, Paris, 1963.
44. Hadley H.K. - Typ Testing Set of the Asiacron Motors-electrical Review, nr.10, 1963.
45. Hanzlov B.I. - Descoperirea ^{scurt} circuitelor între spire la rotoarele turbogeneratoarelor. Elektriceskie stanții, URSS, nr.6, 1953.
46. Hortopan Gh. - Contribuția inst.de cercetări electrotehnice la rezolvarea problemelor de încercare la impuls. Electrotehnica, nr.6, 1962.
47. Jahnke b. - Tafeln hoherer Funktionen, 1960.
48. Jerve G.K. - Promisiunile ispitovnia elektriceskih masin. Leningrad, 1960.
49. Juran J.K., Gryna P.M. - Calitatea produselor, tratat practic de planificare, proiectare și control. Trad. lb. engleză, SIA, ed.tehn., București, 1973.
50. Kacru Ishikawa, Kaseba Ikuro - Controlul de calitate. Ed.tehn., București, 1973.
51. Kalemen A. - Acționări electrice. Ed.dif. și ped., București, 1979.
52. Kazovski A. - Parahodnie protessii elektriceskih masin puzemnogo toka. AN oaksve - Leningrad, 1962.
53. Karady G. - Die Prüfung der Isalierung von Induktions motoren mit stoospannung. electric, nr.17, 1963.
54. Kaganov Z.G. - Khiblijenie ostedi reseta volnovo go naprijajenia v. ograjajenoi obnotke elektriceskoi masini. elektricesstvo, nr.11, 1970.
55. Kaganov V.A., Kaganov J.G. - Rasprostranenie voln v obnotkach elektriceskiah masin. elektricesstvo, nr.4, 1949.

56. Karasov V.I.,
Skljanin A.V. - I resoceta posnaprijenii v
transformatorih obmotkah. Elek-
tricitetvo, nr.11, 1952.
57. Kenonsuke S.Y., Sapilev
G.A., Mericov K.A. - Elektriceskie masini. Spetsialnii
kurs. "Vissiaia skola. Moskva 1975
58. Klaus H., Linsal H.H. - Optimierung eines Wicklungsprüf-
verfahrens zur Selektion von
Windungsschüssen und Fehlern in
Kurzschlussläufen. Elektrik, nr.
9, 1976.
59. Kränkel D.,
Schuler R. - Kontrolle der Windungsfestigkeit
bei Spulnwicklungen rotierender
Hochspannungsmaschinen. Brown -
Boveri Mitt., nr.4, 1976.
60. Kravcenko A.B. - Ispitania elektriceskih masin
posle kapitalnogo i srednogo
remontov. Prom.energetika, nr.7,
1977.
61. Kalakovski V.B. - Profilakticheskie ispitania isola-
tšii krupnih elektriceskih masin.
Gosenergizdat, Moskva-Leningrad
1961.
62. Kuznetsov V.I.,
Artenov S.G. - Osnovnye faktori, spetsializatsie
nadejnosti elektriceskie masin.
Vestnik elektro-prom., nr.9, 1962.
63. Kuhlmann K. - Theoretische Elektrotechnik, vol.
III: Grundzüge der Theorie elek-
trischen Maschinen, Basel, Verlag,
1949.
64. Kerény D., Rozsa P. - Über die Berechnung des Strosspa-
nungsverteilung Maschinenwick-
lungen. Arch. Elektrotech., 1969.
65. Lorenzen H.W., Quante H.,
Meyer A. - The electric Stress imposed upon
a high-voltage winding of an asyn-
chronous machine by impulse vol-
tage. IChE-Conf.Proceedings,
Laussane, Switzerland, sept.1964.

66. Lavdas P.D. - O metoda de diagnosticare funcțională a izolației mașinilor electrice de înaltă tensiune, Puti povigenia nađejnosti electr. mașinai, Kiev, 1977.
67. Lafosse R. - Manual pratique de mesures electriques et d'essais machines Ed. Dunod, Paris, 1959.
68. Makarov B. - Magnitoe pole v subtovoi zone elektriceskoi mașini. Elektro-technika, nr.7, 1976.
69. Manzwarta K. - On surge voltage distribution in a spiral penstock winding, ICBM, Conf. Proceedings, Lausanne, Switzerland, sept. 1984.
70. Mocanu C.I. - Aproximații ale efectului pelicular într-un dielectric conductor. Studii și cercet. energ. și electro-techn. tom 17, nr.3, 1967.
71. Monast H.H. - La repartition des tensions de choc sur les enroulements statiques des machines tournantes. Revue Gen. de l'Electr. nr.9, 1950.
72. Murano M., Fujai T., Nishikawa H. - Voltage exaltation in interrupting inductive current by vacuum switches. IEEE Trans. Power Apparatus and Systems. Vol. PAS-93, 1974.
73. Murano M., Fujai T., Nishikawa H. - Three phase simultaneous interruption in interrupting inductive current using vacuum switches. IEEE Trans. Power Apparatus and Systems. Vol. PAS-93, 1974.
74. Osano T., Kabata H. - A.C. Commutatorless and Brushless Motor. IEEE Trans. Power Apparatus and Systems, July-August 1972.
75. Stierlich H. - Aparat pentru încercarea izolației dintre spirele bobinelor de înaltă tensiune. Deutsche Elektrotechnik, nr.11, 1955.

76. Mason J.H.
- The resistance of sheet insulation to surface discharge. Proc. Inst., nr.36, 1966.
77. Kosenova O.S.,
Mikhailov V.I.
- Generator impulsiv dlia izledovaniia perenapriazhenii v rotornih obmotok. Elektromekhanika, nr.10, 1975.
78. Myskis A.D.
- Advanced Mathematics for Engineers special courses. Mir Publishers Moskva, 1975.
79. Nedelcu V.
- Regisurile de functionare ale masinilor de c.a. Ed. Teha., Bucuresti, 1963.
80. Niculescu A.,
81. Nitu V.I.
- Masini electrice. Craiova, 1975.
- Fiabilitatea instalatiilor energetice, Ed. Acad., 1973.
82. Jovac I.
- Studiul tehnic si experimental privind imbunatatirea performantelor motorului asincron. Contract INT 79/1905.
83. Nurnberg W.
- Die Prufung elektrischer Maschinen und die Untersuchungen der magnetischen Felder. Berlin, Verlag, 1959.
84. Parteani G.I.,
Antoniu I.S.
85. Popescu C.
- Compartarea masinilor electrice la unda de soc. Ed. Acad., 1957.
- Curs de materiale electrotehnice. Ed. did. si ped., Bucuresti, 1961.
86. Pirone J.
- Theorie generale des phenomenes oscillatoires dans les enroulements des transformateurs. Rev. gen. electr., 1940.
87. Postnikov I.M.
- Obobshchennia teorii i perehodnye protsessy elektricheskikh masin. Tehnika, Kiev, 1966.
88. Postnikov I.M.,
Kasergois I.D.,
Postnikov V.I.
- Magnitnoe pole i parametri razmagnoeniia masivno rotornoi masini pri malih skolizheniiakh. Elektrichestvo, nr.9, 1977.

89. Rădulescu E. - Bazele teoretice ale electrotehnicii. București, 1956.
90. Rădulescu E. - Bazele electrotehnicii, Probleme. Ed. did. și ped., București, 1961.
91. Rădulescu E., Timotin Al., Tugulea A. - Introducerea parametrilor tranzitorii în studiul circuitelor liniare având elemente nefili-forme și pierderi suplimentare. St. cercet. energ. electr., nr. 4, 1966.
92. Rădulescu E., Timotin Al., Tugulea A. - O teorie generală a parametrilor liniei tranzitorii și liniilor electrice lungi în prezența solului. St. cercet. energ. electr., nr. 3, 1966.
93. Rădulescu E., Timotin Al., Tugulea A. - The Propagation Equations with Transient Parameters for Long Lines with losses. Rev. Roum. sci. techn. Ser. electrotechn. et. energ., nr. 4, 1970.
94. Richter H. - Instalațiile mașinilor electrice Ed. tehn., București, 1960.
95. Richter H. - Mașini electrice. Ed. tehn., București, 1950.
96. Ribakov V. G. - Analiz pričin otkazov elektriceskih mašin nalai nezidnosti pri zapitanii na dolgovocinosti i nadejnosti. Elektrotehničeskaja prom., nr. 5, 1971.
97. Rodstein I. S. - Priti porisena nadejnosti elektriceskih mašin. Energetika, nr. 11, 1965.
98. Rindberg E. - Fenomene tranzitorii în sisteme electromagnetice. Trad. lb. engleză, Ed. tehn., București, 1959.
99. Ryshik I. M., Gredstein I. S. - Lurson, Produktum Integral Tafeln. Berlin, 1963.

100. Say M.G. - Electrical engineer's reference book. London, 1976.
101. Sivokobilenko V. - O predelenie parametrov i kharakteristik mashin poremagoteka. Energetika nr.5, 1976.
102. Sivokobilenko V.P., Kostenko V.I. - Prognozirovanie sroka sluzbi izolatsii elektrodvigatelya. Elektr.stantsii, nr.1, 1977.
103. Schwarz K.K. - Performance requirements and test methods for high voltage s.c.-motor insulation. Proc. IEE Anglia, vol.116, nr.10, 1969.
104. Schuler E. - Fertigungskontrollen bei Hochspannungsmaschinen mit Wicklungen. Brown-Boveri Mitt., nr.3, 1976.
105. Sklearov A.E. - Determinarea locului unui defect in izolatie sectiilor de bobinaj ale masinilor electrice. Vestn.Elektroprom.nr.2,1963.
106. Smolenski A.V. - Elektromagnitnaia polia i protseki v elektriceskikh mashinakh i in fiziceskoe modelirovanie. Energiia, 1969.
107. Stefanides H.V., Eichenberger E. - Überspannungen an Generatoren in Blockschaltung und Massnahmen zu ihrer Begrenzung. Bull.AEE, nr. 61, 1970.
108. Sugiyama T., Hishiwaki T., Takeda E. - Measurements of Synchrotas Machine parameters under operating condition. IEE Trans. Vol.PAS 101, nr.4, 1982.
109. Szara T. - Quadrupolul electric. M. Tehn. Bucuresti, 1964.
110. Tamas M. - Determinarea marimilor de stare ale cimpului electromagnetic dintr-o MMR in regim tranzitoriu. Vol.1 Des.con.pt.MTR, 1964.

111. Tănase M. - Contribuții la studiul propagării undelor de-a lungul mașinii electrice. *TEEI* sept.1964, Craiova.
112. Tănase M. - Senzior autoprotejat de semnale. Brevet OSIM nr.54019/1963.
113. Tănase M. - Solator rotativ. Invenție, brevet OSIM nr.297/20.1.1963.
114. Tănase M. - Izolstest - prototip IPTT-SPMIF.
115. Tănase M. - Bobinotest - prototip IPTT-SPMIF.
116. Teron V.P.,
Ivlantien V.A. - Prognozovanie rabotosposobnosti izolacii obmotok pogrujnih elektrodvigatelsi v processe ekspluatcii. *Prom.energetika*, nr.2, 1970.
117. Timotin Al.,
Hortopan V., Ibrim A.,
Preda M. - Lecții de bazele electrotehnicii. Adăditi.și ped., București, 1970
118. Timotin Al.,
Cugules A. - Parametrii tranzitorii longitudinali ai liniei coaxiale. *St.cerc. energ.electr.*, tom.17, nr.3, 1967.
119. Timotin Al. - Sur l'integration des equations a parametres transitoires du type exponentiel. *Rev.roum.scien.tech. Serie electr.etenergetique*, nr.4, 1969.
120. Timotin Al. - Wave propagation on unifilar line with ground return. *Rev.roum.scien.tech.Serie electr.et energ.*, nr.2, 1970.
121. Tisnec A. - Siguranța în exploatare a autoarelor electrice. *Electricstvo*, nr. 11, 1964.
122. Plonov A.M.,
Lamski A.A. - *Acușțiile fizicii matematice. Ed. tehn.*, București, 1956.
123. Pitko A.I.,
Sciastlivii G.G. - *Matematiceskoe i fiziceskoe modelirovanie elektromagnitnih poloi v elektriceskih mașinah peremennogo toka.* Nauk - Kiev, 1976.
124. Vajsov A.I. - *Rechenodnie processi v mașinah peremennogo toka.* energia-Leningrad, 1960.

125. Wittins J. - Die Schwingungsgleichungen eines idealisierten Hochspannungs Transformators. Arch. Elektr. 1950.
126. Wagner K.W. - Elektromagnetische Wellen Verlag Birkhauser-Basel/Stuttgart, 1953.
127. Wagner K.W. - Das Eindringen einer elektromagnetischen Welle in eine Spule mit Windungskapazität. Elektrotechn. u. Masch.-Bau., 1915
128. Wagner K.W. - Operatorenrechnung und Laplace'sche Transformation mit Anwendungen in Physik und Technik, Leipzig, 1962.
129. Watson W., Manohar G. - Synchronous machine operational impedances from low voltage measurements at the stator terminals. IEE Trans.vol.PAS 93, nr.3, 1974.
130. Wright M.T., Yang S.J., McLeay K. - General theory of fast-fronted interturn voltage distribution in electrical machine windings. IEE Proc.Electr.Power Appl., vol. 130, nr.4, 1983.
131. Wenger S. - Statorspannungsbeanspruchung der Wicklungen rotierender elektrischer Hochspannungsmaschinen. ELIN-Zeitschrift, 32, 1982.
132. Yang S.J., Dhariwal R.S. - Characteristics of large machine stator coils when subjected to a sharp-fronted impulse voltage. IEEE Conf. Proc., Lausanne, Switzerland, sept. 1984.
133. ■ ■ ■ - Manualul Inginerului, vol.1, Ed. tehn., Bucuresti, 1965.
134. ■ ■ ■ - Wicklungs Isolationsprüfsysteme High voltage test Systems - ASEA Masfley, editia D.190.2, 1979.
135. ■ ■ ■ - STAS 1093-65
136. ■ ■ ■ - Non-destructive techniques evaluate machine winding life. Electrical Times, Anglia, nr.9, 1971.
137. ■ ■ ■ - Contract cercetare ştiinţifică nr.6655/5.05.1973 IPT-Electrotehnică.